



# عالم الذرة

مجلة هيئة الطاقة الذرية السورية

مجلة دورية تصدر ستّ مرات في السنة عن هيئة الطاقة الذرية في الجمهورية العربية السورية. وتهدف إلى الإسهام في نشر المعرفة العلمية باللغة العربية في الميدانين الذري والتسوي وفي كل ما يتعلق بهما من تطبيقات.

أيار-حزيران 2002

السنة السابعة عشرة

العدد التاسع والسبعون

المدير المسؤول

**الدكتور إبراهيم عثمان**

المدير العام لهيئة الطاقة الذرية

هيئة التحرير

**الدكتور توفيق قسام** (رئيس هيئة التحرير)

**الدكتور فؤاد العجل**

**الدكتور محمد قعقع**

**الدكتور محمد فؤاد الرباط**

**الدكتور أحمد الحاج سعيد**

## شروط الترجمة والتأليف للنشر في مجلة عالم الذرة

- 1- ترسل نسختان من مادة النشر باللغة العربية مطبوعتان بالآلة أو مكتوبتان بالخير بخط واضح، على وجه واحد من الورقة، وبفراغ مضاعف بين السطور.
- 2- يُكتب على ورقة مستقلة عنوان مادة النشر واسم الكاتب وصفته العلمية وعنوانه مع ملخصين لها أحدهما بالعربية والآخر باللغة الإنكليزية حصراً، في حدود عشرة أسطر لكل منهما، ويطلب من كل من المؤلف والمترجم كتابة اسمه كاملاً، باللغتين العربية والأجنبية، ولقبه العلمي وعنوان مراسلته.
- 3- يُقدم المؤلف أو المترجم في ورقة مستقلة قائمة بالمباريات التي تشكل الكلمات المفتاحية (Key Words) والتي توضح أهم ما تضمنته المادة من حيث موضوعاتها وغايتها ونتائجها والطرق المستخدمة فيها) وبما لا يتجاوز عشر عبارات باللغتين العربية والإنكليزية.
- 4- إذا سبق نشر هذا المقال أو البحث في مجلة أجنبية، ترسل الترجمة مع صورة واضحة عن هذه المادة المنشورة. ويستحسن إرسال نسخة الأصل المطبوع والأشكال (الرسوم) الأصلية، إن وجدت، ولو على سبيل الإعارة.
- 5- إذا كانت المادة مؤلفة أو مجمعة من مصادر عدّة، يذكر الكاتب ذلك تحت العنوان مباشرة كأن يقول «تأليف، جمع، إعداد، مراجعة...» ويرفق المادة بقائمة مرقمة للمراجع التي استقاها منها.
- 6- إذا تضمنت المادة صوراً وأشكالاً، ترسل الصورة الأصلية وكذلك الأشكال مخططة بالخير الأسود على أوراق مستقلة، إلا إذا كانت موجودة في المادة المطبوعة بلغة أجنبية (كما جاء في الفقرة 4)، مرقمة حسب أماكن ورودها.
- 7- يرسل مع المادة قائمة بالمصطلحات العلمية العربية المستخدمة فيها مع مقابلاتها الأجنبية إذا لم تكن واردة في معجم الهيئة للمصطلحات العلمية والتقنية في الطاقة الذرية، الذي تم نشره في أعداد المجلة (2-18).
- 8- تكتب المصطلحات وكذلك أسماء الأعلام باللغتين العربية والأجنبية عند ورودها في النص أول مرة ومن ثم يُكتفى بإيراد المقابل العربي وحده سواء أكان هذا المقابل كاملاً أم مختزلاً. وتستعمل في النص المؤلف أو المترجم الأرقام العربية 1, 2, 3، إنهما وردت مع مراعاة كتابتها بالترتيب العربي من اليمين إلى اليسار. وإذا ورد في نص معادلة أو قانون أحرف أجنبية وأرقام فتكتب المعادلة أو القانون كما في الأصل الأجنبي.
- 9- يُشار إلى الحواشي، إن وجدت، بإشارات دالة ( \* , + , x , ... ) في الصفحة ذاتها، كما يشار في المتن إلى أرقام المصادر والمراجع المدرجة في الصفحة الأخيرة، وذلك بوضعها ضمن قوسين متوسطين [ ] .
- 10- تُرقم مقاطع النص الأجنبي والنص العربي بترتيب واحد في حالة الترجمة.
- 11- يرجى من السادة المترجمين مراعاة الأمانة التامة في الترجمة.
- 12- تخضع مادة النشر للتقييم ولا تُرد إلى أصحابها نشرت أم لم تنشر.
- 13- يمنع كل من الكاتب أو المترجم أو المراجع مكافأة مالية وفق القواعد المقررة في الهيئة.
- 14- توجه المراسلات باسم هيئة التحرير إلى العنوان التالي:

الجمهورية العربية السورية - هيئة الطاقة الذرية - مكتب الترجمة والتأليف والنشر - مجلة عالم الذرة - دمشق - ص. ب 6091

### رسوم الاشتراك

الاشتراك السنوي للطلاب (200) ل.س - الاشتراك السنوي للأفراد (300) ل.س - الاشتراك السنوي للمؤسسات (1000) ل.س  
الاشتراك السنوي للأفراد من خارج القطر العربي السوري (30) دولاراً أمريكياً. وللمؤسسات (60) دولاراً أمريكياً - تتضمن الاشتراكات أجور البريد

بالنسبة للمشاركين من خارج القطر يُرسل رسم الاشتراك إلى العنوان التالي:

المصرف التجاري السوري فرع رقم 13

مزة - جبل - ص.ب 16005

رقم الحساب 2/3012

أو بشيك باسم هيئة الطاقة الذرية السورية

يمكن للمقيمين داخل القطر دفع قيمة الاشتراك بحوالة بريدية على العنوان التالي:

مجلة عالم الذرة - مكتب الترجمة والتأليف والنشر - هيئة الطاقة الذرية السورية - دمشق - ص. ب 6091

مع بيان بوضوح عنوان المراسلة المفضل

أو تدفع مباشرة إلى مكتب الترجمة والتأليف والنشر في الهيئة - دمشق - شارع 17 نيسان

شعور العشق الواحد

سورية 50 ل.س / لبنان 3000 ل.ل / الأردن 2 دينار / مصر 3 جنيه / الجزائر 100 دينار / السعودية 10 ريال و6 دولارات في البلدان الأخرى.

تود مجلة عالم الذرة إعلام الشركات والمؤسسات العاملة في قطاع التجهيزات العلمية والمخبرية كافة والصناعات المتعلقة بها عن فتح باب الإعلان التجاري فيها. للمزيد من الاستفسار حول رغبتكم بنشر إعلاناتكم التجارية الكتابة إلينا على العنوان التالي:

هيئة الطاقة الذرية السورية - مكتب الترجمة والتأليف والنشر

دمشق ص.ب 6091 - الجمهورية العربية السورية

أو الاتصال على رقم الهاتف/7/6111926 - فاكس 6112289

# في هذا العدد

## المقالات

- 7 . . . . . س. م. كايم . . . . .  
ترجمة هيئة التحرير
- 16 . . . . . ه. هيرتسوغ . . . . .  
ترجمة هيئة التحرير
- 31 . . . . . س. م. كايم . . . . .  
ترجمة هيئة التحرير
- بيانات نووية من أجل استخدامات طبية: . . . . .  
مسح عام
- تصوير وظيفي في الحي بتقنيتي التصوير . . . . .  
المقطعي الطبقي SPECT و PET
- بيانات نووية ذات صلة بإنتاج . . . . .  
واستخدام نكليدات مشعة تشخيصية

## أخبار علمية

44. . . . . ليزر نانوي فوق بنفسجي . . . . .  
أين اختفت المادة المضادة كلها؟
44. . . . .  
مغنطيس مصنوع من الكربون . . . . .
46. . . . .  
تعطل كاشف التريينو الياباني بفعل موجة صدم . . . . .
47. . . . .  
ما الذي حدث بـ B و C و S ؟ . . . . .
48. . . . .  
الجسيمات المنساقفة إلى الانعراج . . . . .
50. . . . .  
الأتوفيزياء التجريبية تبلغ سن الرشد . . . . .
52. . . . .  
رؤية جديدة للعبور النفقي المغنطيسي . . . . .
53. . . . .  
بلورات فينتر التقليدية تستمر في الحركة . . . . .
55. . . . .  
أنصاف النواقل تصبح باردة . . . . .
57. . . . .

## (أعمال باحثي الهيئة المنشورة في المجلات العالمية)

## ورقات البحوث

- 60 . . . . . د. علي الحمد وآخرون . . . . .  
محطة مناخية محمولة مع نظام مراقبة الإشعاع النووي  
باستخدام المعالج التحكمي المكروي "BASIC-8052"
- 68 . . . . . د. بشار عبد الغني - مصطفى حمادي . . . . .  
النمذجة الرياضية لليزر CO<sub>2</sub> النبضي الهجين . . . . .
- 74 . . . . . د. إلياس حنا بكرجي وآخرون . . . . .  
دراسة مصدر عينات سيراميك أثرية من موقع مار تقلا  
(عين منين/سورية) بطريقة الفلورة بأشعة X باستخدام نظير مشع
- 77 . . . . . د. إلياس حنا بكرجي وآخرون . . . . .  
تشكيل مركب خشب - بلاستيك من أنواع  
أشجار سورية بالتحريض بأشعة غاما
81. . . . . د. سليمان سلهب وآخرون . . . . .  
تطور أبعاد وحجم الخصى، وعلاقتها بالعمر، ووزن الجسم  
وحجم الآباء في حملان ذكور العواس النامية

- 86 . . . . . تأثير مستويات مختلفة من ملوحة مياه الري على نمو وتشكل . . . . . د. فواز كردعلي، فريد العين. . . . .
- العقد الجذرية وكفاءة تثبيت الآزوت الجوي في نبات السيسبان  
*Sesbania aculeata Pers*، وعلى نمو نبات عباد الشمس  
*Helianthus annuus L* باستخدام تقانة  $^{15}\text{N}$
- 88 . . . . . توزيع النظير  $^{137}\text{Cs}$  في العينات الإسمتية بعد التصلب وأثر الفسل. . . . . د. صلاح الدين تكريتي، أحمد فارس علي . . . . .
- 90 . . . . . تعديل الكود EXTERMINATOR-2 واستثماره . . . . . د. محمد البرهوم، سلمان محمد، . . . . .  
 على الحاسب الشخصي  
 ياسر كاملة
- 93 . . . . . إعداد نظام استعلام مناخي. . . . . د. عماد خضير، محمد موفق نصري . . . . .
- 97 . . . . . إزاحة الكادميوم من حمض الفسفور بواسطة الاستخلاص . . . . . د. سعد الدين خرفان . . . . .  
 سائل - سائل بمذيب الـ TOPO في الكيروسين
- 99 . . . . . معامل الهضم والقيمة الطاقية لبعض المخلفات الزراعية . . . . . د. محمد راتب المصري . . . . .  
 نتيجة تأثير أشعة غاما والمعاملات الكيميائية
- 101 . . . . . تقدير الكفاءة الثبوتية للآزوت الجوي في زراعة . . . . . د. فواز كرد علي، . . . . .  
 مختلطة من السيسبان *Sesbania aculeata* و ذرة السورغوم  
 د. خلف خليفة، د. مصدق جانات  
 العلفية *Sorghum* باستعمال تقانة الآزوت  $^{15}\text{N}$ ، 1: دراسة حقلية في ظروف غير مالحة
- 102 . . . . . دراسة خلية ليثولوجية صناعية لحجز النورم النفطي . . . . . محسن علي موسى . . . . .  
 المطروح بجوار حقول النفط السورية

## كتب حديثة مختارة

- 106 . . . . . فيزياء مكاشيف الجسيمات . . . . . (تأليف: د. غرين) . . . . .  
 (عرض وتحليل: شلدون ل. ستون)
- 107 . . . . . مدخل إلى الدينامية اللاخطية التجريبية: . . . . . (تأليف: لورنس ن. فيرجن) . . . . .  
 دراسة حالة في الاهتزازات الميكانيكية  
 (عرض وتحليل: فرنسيس س. مون)

## ملخصات باللغة الإنكليزية عن الموضوعات المنشورة في هذا العدد. . . . . 116.

يُسمح بالنسخ والنقل عن هذه المجلة للاستخدام الشخصي بشرط الإشارة إلى المرجع،  
 أما النسخ والنقل لأهداف تجارية فغير مسموح به إلا بموافقة خطية مسبقة من الهيئة.





# بيانات نووية من أجل استخدامات طبية: مسح عام\*

م. م. كايم  
معهد الكيمياء النووية، مركز بحوث بولش، ألمانيا.

## ملخص

عُرِضت مقدمة موجزة لبيانات نووية تستخدم في المجال الطبي. يتطلب اختيار النظير المشع للاستخدام الطبي معرفة دقيقة ببيانات الاضمحلال الإشعاعي. وتفضل النظائر القصيرة العمر المفردة الفوتون والمصدرة لجسيمات  $\beta^+$  من أجل استقصاءات تشخيصية، في حين تفضل النظائر المشعة الأطول عمراً المصدرة لإشعاع جسيم من أجل علاج باطني بالإشعاع. من ناحية أخرى، هناك حاجة لبيانات المقطع العرضي لتفاعل نووي من أجل أمثلة طرق الإنتاج. ونوقش، بالإضافة إلى النظائر المشعة، استخدام الإشعاع المؤين في العلاج. وحقق العلاج بالتشعيع الخارجي مكاناً مرموقاً في المجال الطبي. نوقش بإيجاز دور البيانات النووية التي تلزم لحسابات جرعة التشعيع. وجرى التعرض، في مجال العلاج بالبروتونات، إلى نواتج التنشيط التي لا تزال مهمة حتى الآن. وجرى أخيراً تقديم ملخص حول منهجية تطوير ملف بيانات نووية من أجل الاستخدامات الطبية.

الكلمات المفتاحية: تفاعل نووي، مقطع فعال، بيانات اضمحلال، تشخيص، علاج، ملفات بيانات.

## مقدمة

ويعتد النشاط الإشعاعي فريداً في خواصه حيث يمكن أن يُوظف في التشخيص والعلاج كليهما. ففي الأول، يوظف بسبب حساسية كشفه العالية، وفي الثاني يوظف من خلال التأثيرات البيولوجية لإشعاعه. وعليه، يمكن تصنيف النظائر المشعة، اعتماداً على خصائص اضمحلالها واستخدامها، إلى فئتين: نكليدات مشعة تشخيصية، ونكليدات مشعة علاجية. وفي السنوات الأخيرة، حظيت النظائر المشعة العلاجية باهتمام شديد، وبخاصة تلك التي تلائم العلاج الباطني بالإشعاع [1 و 2]. ولا تزال هناك حاجة ماسة لبحوث في مجال البيانات النووية ذات الصلة بإنتاج واستخدام الفئة الأخيرة من النظائر المشعة.

بعد فترة وجيزة من اكتشاف ه. بكريل H. Becquerel للنشاط الإشعاعي في عام 1896، بدأت الأفكار تتنامى حول إمكانية تطبيق هذه الظاهرة في مجال الطب. وقد كان جورج دي هفسي G. de Hevesy، عالم الكيمياء الفيزيائية المولود في هنغاريا، أول من أدخل الواسمات المشعة في علم الأحياء. وبعد ذلك، اتبع عدد من العلماء الآخرين هذا المفهوم. وتلقت تطبيقات الوم عموماً والطب النووي خصوصاً قوة دافعة من خلال ظهور المفاعلات النووية واستخداماتها في تصنيع عدد كبير من النظائر المشعة. وقد ساهم كثيراً في تطوير الكيمياء الحيوية، عبر استخدام طرائق في الزجاج *in vitro* توفر مركبات عضوية موسومة بنظائر مشعة مصدرة لجسيمات  $\beta^-$ ، مثل:  $^3\text{H}$ ،  $^{14}\text{C}$ ،  $^{32}\text{P}$ ،  $^{35}\text{S}$ ،  $^{125}\text{I}$ ، إلخ.. كذلك جرى إدخال ضروب من المستحضرات الصيدلانية الموسومة بنظائر مشعة مصدرة لإشعاعات  $\gamma$ ، كنظائر:  $^{18}\text{F}$ ،  $^{51}\text{Cr}$ ،  $^{99\text{m}}\text{Tc}$ ،  $^{131}\text{I}$ ، إلخ.. من ناحية ثانية، يبدو أن النظائر المشعة المعوزة للنترون تكون أكثر ملاءمة لعدد من الدراسات التشخيصية؛ ولهذا السبب، بذلت جهود متواصلة لتطوير سيكلوترونات ومسرعات مخصصة لإنتاج هذا النوع من النظائر المشعة. وفي الوقت الراهن، طرأ تطور ملحوظ على تقانة إنتاج النظائر؛ فاستخدمت المفاعلات والسيكلوترونات على حدٍ سواء من أجل تحقيق أغراض هذا الإنتاج. ويشكل الاستخدام المناسب للبيانات النووية جزءاً مكملاً لأي عملية إنتاج. كذلك، يشهد حقل الطب النووي التشخيصي (أي الدراسات التشخيصية المستخدمة لواسمات مشعة) وضعاً مزدهراً [2 و 1]، كما يتطلب المزيد من النظائر المشعة والمستحضرات الصيدلانية المشعة من أجل تحريّ مختلف ظواهر الكيمياء الحيوية.

وإضافة إلى النظائر المشعة، تبين أن للإشعاع المؤين العديد من التطبيقات في العلاج. فعلاوة على الفوتونات والإلكترونات والترونات، ظهرت استخدامات متزايدة للجسيمات المشحونة العالية الطاقة - كالبروتونات، و  $^4\text{He}$ ، والأيونات الثقيلة ( $^{22}\text{Ne}$ ، إلخ) - في علاج أنواع مختلفة من الأورام والأمراض الخبيثة؛ وتعدّ الحاجة للبيانات، في هذا السياق، واسعة وشاملة. كذلك، تعد النمذجة لنقل الإشعاع أمراً ذا أهمية حتى نستطيع لإجراء حساب دقيق لجرعة التشعيع.

في هذا المقال التمهيدي، سنقدم في خطوط عريضة دور البيانات النووية في التشخيص والعلاج؛ وسيجري تجميع مواضيع المناقشة مع بعضها تحت عنوانين رئيسيين هما: "بيانات النظائر المشعة" و "علاج بالتشعيع الخارجي". وفي ختام المقال، سيعالج موضوع تطوير ملف بيانات نووية من أجل الاستخدامات الطبية.

\* نشر هذا المقال في مجلة *Radiochimica Acta* 89, 2001. ترجمة هيئة التحرير - هيئة الطاقة الذرية السورية.

## أهمية البيانات النووية لبرامج نظائرية ذات صلة بالطب

تتطلب برامج الطب النووي المستخدمة لنظائر مشعة نوعين من البيانات، بيانات خاصة بالأضمحل الإشعاعي، وأخرى ذات علاقة بالمقطع الفعال للتفاعل النووي. وفيما يلي، سنناقش بإيجاز النوعين المذكورين من البيانات.

## بيانات الأضمحل الإشعاعي

تتيح هذه البيانات حساب جرعة التشعيع التي يتعرض لها المريض جراء تلقيه النشاط الإشعاعي. والمنهجية المتبعة في أرجاء العالم كافة لحساب الجرعة الباطنية هي تلك التي قدمتها "شكيلة ميرد MIRD Formalism" التي وضعت من قبل اللجنة الطبية لجرعة الإشعاع الباطنية (MIRD Medical Internal Radiation Dose Committee) المنبثقة عن جمعية الطب النووي في الولايات المتحدة وعن عدد آخر كبير من المشاركين والمستشارين. وبموجب هذه الشكلية تقدر الجرعة بواسطة الصيغة التالية:

$$\bar{D} = 2.13\bar{c} \sum_i n_i \bar{E}_i \Phi_i$$

فوتونات مفردة Single Photon Emission Computed Tomography (SPECT)، والتصوير المقطعي الطبقي بإصدار بوزترونات Positron Emission Tomography (PET)، أصبح الطلب على النظائر المشعة المصدرة للإشعاع الملائم عظيماً. أما بالنسبة للنظائر المشعة العلاجية، تغدو الجرعة العالية بعد الدراسة المتأنية أمراً مرغوباً فيه. من ناحية ثانية، لا بد من توفر إمكانية جيدة لكشف الإشعاع من أجل تقدير دقيق للجرعة. وفي حال استخدام نظائر مصدرة لأشعة  $\beta^-$  الصافية (مثل  $^{32}\text{P}$  و  $^{90}\text{Y}$ ، إلخ..). لا يمكن قياس توزيع النشاط الإشعاعي من خارج الجسم؛ لذلك تصبح مقياسية الجرعة في التطبيقات الوثيقة الصلة بالموضوع أمراً يعتمد على التجريب. لهذا تكون بيانات الأضمحل ذات أهمية بالغة في اختيار واستخدام نظير مشع في المعالجة الطبية. ويبين الجدول 1 بعض النماذج الهامة من بيانات الأضمحل ذات الصلة بالموضوع.

بشكل عام، البنية النووية وبيانات الأضمحل معروفة جيداً؛ وقد سُخِّرَتْ جهود كبيرة من أجل وضع ملفات ومكبيات للبيانات [4 - 6].

الجدول 1- بيانات نووية وثيقة الصلة بالتطبيقات الطبية للنظائر المشعة

نوع البيانات	كميات	تطبيقات رئيسة
بيانات الأضمحل الإشعاعي	- عمر النصف - طاقات وشدات أشعة $\alpha$ و $\beta$ و $\gamma$ - نسبة تفرع $EC/\beta^+$ - $IT^*$ ، معامل التحويل - شدات أشعة $x$ و إلكترونات أوجيه - مخطط الأضمحل	● اختيار النظير المشع من أجل الاستخدام الطبي (تشخيص، علاج) ● حساب جرعة التشعيع الداخلية
بيانات التفاعل النووي	بيانات نترونية - مقاطع فعالة للتبعثر والأسر - تكاملات التجاوب - ( $n$ )، جسيم مشحون مقاطع فعالة للتفاعل - مردودات الانشطار بيانات جسيم مشحون - عتبات التفاعل - وظائف الإثارة - بيانات تفاضل وتكامل - مردودات الهدف الرقيق والسميك	● إنتاج النظائر المشعة بالمفاعل ● إنتاج النظائر المشعة بالسيكلوترون

\*  $IT = \text{isomeric Transition} = \text{تحول متساوغي (أيزوميري)}$

حيث  $\bar{c}$  هو التركيز التراكمي للنشاط الإشعاعي  $(\text{Bq} \cdot \frac{\text{kg}}{\ln 2})$

و  $n_i$  عدد الجسيمات أو الفوتونات المصدرة لكل اضمحل،

و  $\bar{E}_i$  وسطي الطاقة للإشعاع المصدر،

و  $\Phi_i$  هو الجزء من الإشعاع الذي امتصه العضو،

و  $T_{\text{eff}}$  هو عمر النصف الفعال للنظير المشع داخل العضو.

وتتوفر عدة نسخ محوسبة لشكيلة ميرد. فعلى سبيل المثال، هناك ما يسمى "جرعة مير Dose - MIR" (وهي برنامج يعتمد على حاسوب شخصي) [3]. وتساعد حسابات الجرعة لاتخاذ القرار فيما إذا كان النظير المشع موضع الدراسة مناسباً للتطبيقات التشخيصية. والمبدأ الأساسي في جميع الاستقصاءات التشخيصية هو أن تكون الجرعة الإشعاعية للمريض من أقل سوية ممكنة.

وهنالك مظهر ثانٍ، لبيانات الأضمحل الإشعاعي على جانب من الأهمية، يتعلق بالكشف عن الإشعاع المصدر. ومع التزايد المستمر لأهمية التصوير المقطعي الطبقي الإصداري emission tomography: التصوير المقطعي الطبقي المحوسب بإصدار



تشتمل الطرق الأكثر شيوعاً المستخدمة في إنتاج النظائر بالمفاعل على العمليات (n, γ)، و (انشطار n)، و (جسيم مشحون n). وعموماً، يمتلك التفاعل (n, γ) مقطعاً فعالاً عالياً عند طاقات ترونية حرارية، الأمر الذي يجعل مردود المنتج عالياً إلى حد ما. غير أن العائق الجدي لهذه العملية هو النشاط الإشعاعي المنخفض الذي يجعل النظير المشع أقل مواءمة للتطبيقات الطبية. ويمكن، من خلال طرائق مختلفة، تحسين النشاط الإشعاعي النوعي (العودة إلى مقال Qaim في هذا العدد حول ما يتعلق بالنظائر المشعة التشخيصية). ومع ذلك يبقى العائق المذكور آنفاً أمراً واقعاً من حيث المبدأ. أما عملية الانشطار، فتعد طريقة مناسبة جداً لإنتاج عدد كبير من النظائر المشعة بشكل "دون إضافة حامل". وعلى أية حال، تكون المعالجة الكيميائية المتضمنة شاملة. وعموماً، يكون المقطعان الفقلان للتفاعلين (n, p) و (n, α) ضعيفين، لذلك تستخدم هاتان العمليتان لإنتاج عدد قليل فقط من النظائر المشعة الواقعة في منطقة عناصر الكتلة الخفيفة. وبشكل عام، تكون البيانات النووية التي يُحتاج إليها في برامج إنتاج النظائر المشعة ذات طبيعة متكاملة (على سبيل المثال - وسطي المقاطع الفعالة لطيف الانشطار التروني) وغالباً ما تتوفر في المكتبات الخاصة بالبيانات الترونية المقدرة.

لقد وضعت قاعدة بيانات المقطع الفعال لإنتاج النظائر المشعة بالمفاعل وتوطدت بصورة جيدة. ولا توجد حاجة لإجراء أي قياسات وتقديرات جديدة، إلا من أجل بعض النظائر المشعة الخاصة التي لاتزال قيد التطوير (على سبيل المثال، تلك المنتجة عن طريق الأسر التروني المضاعف). وفيما يتعلق بقدرة التنبؤ لكل من النظرية النووية والمنهجية العلمية، فقد أمكن، بواسطة النموذج الإحصائي، التوصل إلى توصيف جيد ومعقول لتفاعلات (n, γ) و (n, p) و (n, α) ذات الطاقة المنخفضة، كما أمكن، بواسطة المنهجية العلمية، التنبؤ بمردودات الانشطار بدقة كبيرة.

تقوم بيانات المقطع الفعال بدور هام جداً في إنتاج النظائر المشعة بالسكيلوترون [9] و [10]. وبسبب التدني السريع لطاقة القذيفة في مادة الهدف، يكون المجال الطاقي المغطى ضمن الهدف عريضاً نسبياً، وبما أن المقطع الفعال للتفاعل يتغير بسرعة مع تغير الطاقة، فمن غير المناسب اعتماد مقطع فعال وسطي على كامل المجال الطاقي. والأفضل هو الحاجة إلى كامل تابع الإثارة للعملية النووية ليصبح قادراً على حساب المردود بدقة معقولة. هنالك نقطة أخرى هامة وهي عدد القنوات المشاركة في التفاعل. فعلى سبيل المثال، عند طاقة قذف واردة قدرها 20 MeV، هنالك ست قنوات تفاعل ذات مقاطع فعالة هامة. ومن وجهة نظر تقدير موازنة النشاط، يفتقر إجمالاً معرفة المقاطع الفعالة لتلك العمليات كافة. ويتحقق إنتاج النظائر المشعة باستخدام بروتونات أو دوترونات أو جسيمات  $^3\text{He}$  أو  $\alpha$ . و معرفة جميع المقاطع الفعالة للتفاعل أمر ضروري؛ وبذلك يصبح الطلب على البيانات شاملاً. أما من الناحية العملية، لا يوجد سوى عدد قليل فقط من النظائر المشعة التي تنتج عبر تفاعلات مُحرضة بجسيمات غير البروتونات. لذلك فبالإمكان التنبؤ بالمتطلبات البيانية. تستخدم في السكيلوترونات الصغيرة الحجم تفاعلات منخفضة الطاقة

وفيما يتعلق بالاستخدامات الطبية، قامت لجنة MIRD بتجميع بيانات لحوالي 250 من النكليدات المشعة تتضمن مخططات الاضمحلال وثابت جرعة التوازن [7]. وفي الواقع، تُشكل هذه البيانات الأساس لمزيد من العمل البحثي في مجال الطب النووي. لكن لا يستبعد أن يلقي نظير مشع ما استخداماً كبيراً على الرغم من أن بعض خصائص اضمحلاله لاتزال غير معروفة تماماً. وقد توجد بعض المجالات تعاني من نقص تشمل شدات أشعة  $\beta^-$  و  $\gamma$  وتفرع اضمحلال إصدارات  $\beta^+$  و  $EC^*$ ، وطيف و شدات إلكترونات أوجيه، إلخ. وتؤدي جميع أنواع هذا النقص إلى شيء من عدم الدقة في حساب جرعة الإشعاع وفي التقدير الكمي لتأثير الإشعاع المؤنن.

لقد تطورت النظرية والمنهجية النوويتين بقدر يكفي للتنبؤ ببيانات الاضمحلال لنوى طبيعية وبدقة معقولة؛ لكن هذه التنبؤات تصبح أقل موثوقية من أجل النوى الخفيفة وتلك البعيدة عن خط الاستقرار. ومع ذلك أظهر في السنوات الأخيرة مجالان في الطب النووي شيئاً من النقص في بيانات الاضمحلال. واحد يخص العلاج الباطني بالإشعاع (والعلاج القصير الأجل) بواسطة نظائر مشعة تصدر إشعاعات لينة، مثل أشعة  $\alpha$ ، وإلكترونات أوجيه، وجسيمات  $\beta^-$  أو  $\beta^+$  ذات الطاقة المنخفضة. والمجال الآخر، يتعلق بدراسات التصوير المقطعي الطبقي بإصدار البوزترونات PET التي تستخدم مصدرات  $\beta^+$  الأطول عمراً وغير الشائعة. وفي هذه الحالة، لا يمكن الحصول على بيانات اضمحلال دقيقة (كطاقات وشدات الأشعة المصدرة) إلا إذا توفر النظير المشع، موضع الدراسة، بشكل نقي (عن طريق اختيار تفاعل إنتاج وفصل كيميائي أو كيميائي مناسب). وهناك مثال حديث على ذلك يتمثل بالنظير  $^{120}\text{gI}$  ( $T_{1/2} = 1.35$  ساعة) المصدر لجسيمات  $\beta^+$  والذي يمكن أن يكون له استعمال مفيدة. وقد أعطيت له قيمة تفرع اضمحلال  $\beta^+$  تقع ما بين 39 و 81%، لكن دراسات كيميائية - إشعاعية حديثة وضعت له قيمة  $3\% \pm 56$  [8]. وهكذا نجد أنه على الرغم من توفر كميات ضخمة من بيانات الاضمحلال قد يفتقر ضرورياً، في بعض الأحيان، إجراء قياسات جديدة ودقيقة على بعض النظائر المشعة المختارة.

### بيانات التفاعل النووي

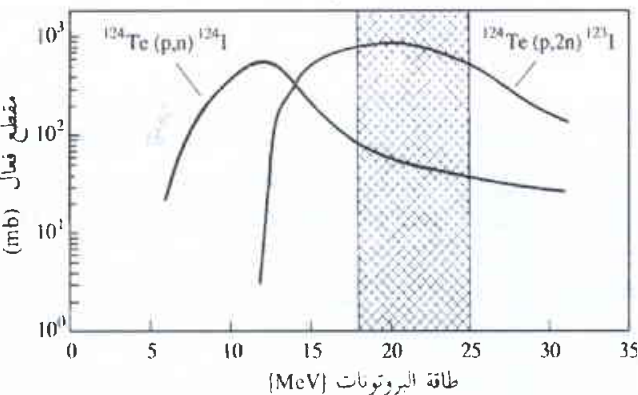
هنالك حاجة إلى هذه البيانات في برامج إنتاج النظائر المشعة، وفي الدرجة الأولى من أجل أمثلة طرق الإنتاج. وبما أن النظائر المشعة تُنتج داخل المفاعلات أو بالسكيلوترونات، يتطلب الأمر بيانات حول المقطع الفعال للتفاعل المحرض بالترونات والجسيمات المشحونة في أي معاً. وتكون مجالات الطاقة المستخدمة لهذا الإنتاج واسعة إلى حد ما. وفي حالة الترونات غالباً ما تكون الطاقة الحرارية وكذلك طيف ترون الانشطار على قدر من الأهمية؛ وفي الجسيمات المشحونة تمتد مجالات الطاقة ما بين بضعة MeV و لغاية عدة مئات MeV. يبين الجدول 1 ملخصاً لبيانات المقطع الفعال اللازمة في برامج إنتاج النظائر المشعة. وفيما يلي، نبين بإيجاز أهمية البيانات النووية في الإيفاء ببعض المتطلبات النوعية للمنتج.

\* EC = electron Capture = أسر تروني.

والى جانب الشوائب النظرية التي نوقشت أعلاه، تزايد الوعي في السنوات الأخيرة حول الشوائب الأيزوميرية أيضاً. فهناك عدة نظائر مشعة، من النوع المهم استخدامه في الأبحاث الطبية، لديها حالات أيزوميرية مزعجة إلى حد ما. وكأمثلة على هذه النظائر نذكر:  $^{94m}\text{Tc}$  ( $^{94}\text{Tc}$ )، و  $^{120\text{g}}\text{I}$  ( $^{120\text{m}}\text{I}$ )، إلخ. ولا يمكن، بتعديل دقيق لنافذة الطاقة (كما سبق التنويه به أعلاه)، التحكم بالشوائب النظرية. وبما أن نسبة المقطع الفعال الأيزوميري تتعلق أساساً بنوع التفاعل الحاصل [13] يغدو ضرورياً التحري عن جميع طرق الإنتاج الممكنة، ومن ثم اختيار التفاعل والمجال الطاقي اللذين يعطيان أفضل النتائج. ومن الواضح أن تقوم البيانات النووية هنا بدور فائق الأهمية.

أوضحت بيانات المقطع الفعال للتفاعل النووي، المتعلقة بإنتاج نظائر مشعة شائعة الاستخدام بالسيكلوترون، من الأمور المعروفة تماماً. وقد صدرت مؤخراً عن الوكالة الدولية للطاقة الذرية نشرة "TECDOC" [14]، أعدت كحصول لبرنامج بحث منسق (CRP) حول "إنتاج النظائر المشعة الطبية" تصف البيانات الموصى بها في المجالات الطاقة المرغوبة. وعموماً، يتطلب الأمر إجراء قياسات جديدة أثناء البحث عن طريق بديلة لإنتاج نظير مشع مفيد أو أثناء القيام بعمل تطوري لنظير مشع يحتمل أن يكون هاماً. إن مجالي الطب النووي المتطورين بسرعة والمنوه عنهما أعلاه، أي العلاج الباطني بالإشعاع ودراسات PET التي تستخدم مصدرات  $\beta^+$  الأطول عمراً، يتطلبان قدراً كبيراً من العمل التجريبي للبيانات النووية.

وفيما يتعلق بحسابات النموذج النووي، أمكن تحقيق درجة متفاوتة من النجاح في حالة التفاعلات المحرزة بجسيمات مشحونة. ويمكن بصعوبة وصف المقاطع الفعالة لنوى الهدف الخفيفة الكتلة بواسطة الحسابات النموذجية. أما في مجالي الكتلة المتوسطة والثقيلة، فقد لاقى كلا النموذجين "مركب / مركب أولي" و "مركب أولي / هجين" نجاحاً جزئياً (مستخدمين، على سبيل المثال، الكودين STAPRE / GNASH و ALICE IPPE، على التوالي). وعموماً، لا يمكن لحسابات أولوية أن تحقق متطلبات الدقة اللازمة في برامج إنتاج النظائر المشعة؛ ولذلك كانت الدراسات التجريبية أمراً ضرورياً في غالبية الحالات.



الشكل 1- تابعا الإنارة لتفاعلي  $^{124}\text{Te}(p, n)^{124}\text{I}$  و  $^{124}\text{Te}(p, 2n)^{123}\text{I}$ . المجال الطاقي المناسب من أجل إنتاج  $^{123}\text{I}$  هو  $E_p = 25.0 \rightarrow 18.0 \text{ MeV}$  (وذلك اعتماداً على البيانات الواردة في المرجعين 11 و 12).

مثل  $(p, n)$ ، و  $(p, \alpha)$ ، و  $(d, n)$ ، و  $(d, \alpha)$ ، إلخ. وعند الطاقات الأعلى من جهة ثانية، تُوظف عادة تفاعلات  $(p, nx)$ . وفي بعض الحالات الخاصة تطبق عملية (تشظية  $p$ ).

ومن تابع إثارة معين، يمكن حساب المردود المتوقع لمنتج ما من أجل مجال طاقي محدد عن طريق استخدام الصيغة التالية:

$$Y = \frac{N_L \cdot H}{M} I(1 - e^{-\lambda t}) \int_{E_1}^{E_2} \left( \frac{dE}{d(\rho x)} \right)^{-1} \sigma(E) dE.$$

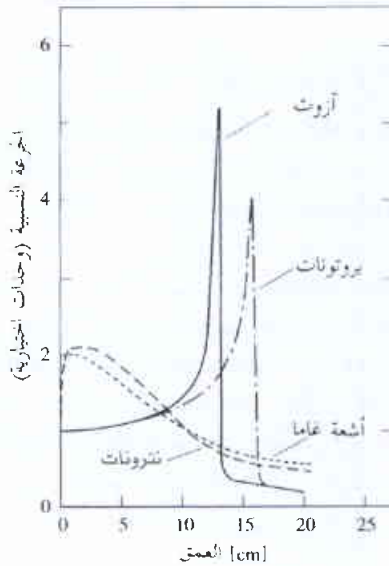
حيث  $N_L$  هو عدد أفوغادرو، و  $H$  الإغناء (الوفرة النظرية) للتكليس الهدف، و  $M$  هو العدد الكلي لعنصر الهدف، و  $I$  تيار القذيفة، و  $\left( \frac{dE}{d(\rho x)} \right)$  قدرة التوقف، و  $\sigma(E)$  المقطع الفعال عند الطاقة  $E$ ، و  $\lambda$  هو ثابت الاضمحلال للمنتج، و  $t$  زمن التشعيع. تمثل قيمة المردود المحسوب (بموجب المعادلة السابقة) المردود الأعظمي الذي يمكن توقعه جراء عملية نووية معطاة.

تشمل أمثلة عملية نووية من أجل إنتاج نظير مشع بالسيكلوترون اختيار مجال طاقة القذيفة الذي سيعطي أعظم مردود للمنتج وأقل مردود للشوائب المشعة. وبينما يمكن إزالة الشوائب اللانظرية المنتجة بعمليات فصل كيميائية، يمكن فقط الحد من سوية الشوائب النظرية إما باستخدام نظائر مغناة كمواد هدف و / أو باختيار حذر ودقيق لمجال طاقة الجسيمات المؤثرة في الهدف.

وعلى سبيل المثال، يمكن اتباع طرق مختلفة لإنتاج النظير المشع  $^{123}\text{I}$  ( $T_{1/2} = 13.2$  ساعة)، وهو تكليس هالوجيني يُستخدم لوسم جزيئات حيوية، من أجل دراسات تشخيصية باستعمال التصوير المقطعي الطبقي SPECT. يُقدم إنتاج هذا النظير المشع، عبر التفاعل  $^{124}\text{Te}(p, 2n)^{123}\text{I}$  مثلاً جيداً على أهمية البيانات النووية. فلإقلال من سوية الشوائب النظرية في النظير  $^{123}\text{I}$  المنتج يغدو ضرورياً استخدام النظير  $^{124}\text{Te}$  عالي الإغناء كمادة هدف. من جهة ثانية، وبسبب التفاعل المنافس  $^{124}\text{Te}(n, p)^{124}\text{I}$ ، لا يمكن استبعاد شائبة  $^{124}\text{I}$  استبعاداً تاماً حتى ولو كان  $^{124}\text{Te}$  مغنى بنسبة 100%. واعتماداً على قياسات تابع الإثارة التي وصفت في المرجعين [11 و 12]، يبين الشكل 1 أن المجال الطاقي للبروتونات من أجل إنتاج  $^{123}\text{I}$  هو  $E_p = 25.0 \rightarrow 18.0 \text{ MeV}$ ، بمعنى أنه يجب اختيار طاقة البروتونات الواردة قدرها 25.0 MeV واختيار ثخانة الهدف من التلوريوم التي تسبب تدني الطاقة الواردة إلى 18.0 MeV فقط. وفي هذه الشروط، سيصل مردود  $^{123}\text{I}$  عند نهاية القصف (EOB) إلى 565 MBq/μAh، كما ستصل سوية شائبة  $^{124}\text{I}$  في  $^{123}\text{I}$  إلى حوالي 1%. وإذا كان الوصول إلى سوية شوائب أقل لا يزال مرغوباً، فلا بد عندئذ من إجراء مزيد من التعديل على نافذة الطاقة. يتضح مما سبق أنه من الضروري التعرف بدقة على توابع الإثارة لمختلف التفاعلات المشاركة.

وللشوائب المشعة تأثير مزدوج، فهي أولاً تؤثر عكسياً على تابع انتشار الخط في عملية التصوير، إنها ثانياً تسبب للمريض جرعة تشعيع معززة. وإذا كان مقدار الشائبة الأطول عمراً عالياً جداً فإنها ستعرض للخطر كامل الميزة التي يتمتع بها النظير المشع القصير العمر المراد استخدامه. وقد يغدو ضرورياً، عندئذ، التفتيش عن طريق بديلة لإنتاج النظير المشع المرغوب فيه.

## أهمية البيانات النووية في العلاج بالتشعيع الخارجي



يشمل العلاج بالتشعيع الخارجي استخدام الإلكترونات، وأشعة X، وأشعة  $\gamma$  عالية الطاقة، أو الهدرونات (نترونات، بروتونات، أيونات ثقيلة، إلخ). إن استخدام الإلكترونات المنخفضة الطاقة (المصدرة من منابع مشعة أو المزودة من مسرعات صغيرة)، وأشعة X (من مصادر تقليدية)، والإلكترونات عالية الطاقة (المزودة بواسطة LINAC)، والفوتونات العالية الطاقة (المنتجة كإشعاع كبح في تآثر الإلكترونات عالية الطاقة مع العناصر الثقيلة) يشكل تطبيقاً علاجياً تقليدياً معيارياً. وتمثل التأثيرات الداخلة فيها ظواهر مفهومة جيداً في الفيزياء الذرية، كما أن البيانات اللازمة لنوعي العلاج بالإلكترونات والفوتونات موثقة تماماً. وحالة الفوتونات عالية الطاقة جداً هي الحالة الوحيدة التي يمكن أن تحدث فيها عمليات فوتونية نووية مثل  $(\gamma, n)$  و  $(\gamma, 2n)$ ، إلخ. عندئذ، تصبح التوزيعات الطاقية والزاوية للنترونات المصدرة ذات أهمية من وجهتي نظر النقل والتدريع الإشعاعيين كليهما. إضافة لما سبق، قد تشكل أيضاً بعض نواتج التنشيط.

الشكل 2- توزع الجرعة كتابع للعمق لكل من أشعة  $\gamma$ ، والنترونات، والبروتونات، وأيونات الأزوت داخل النسيج (الشكل مُمهاياً من المرجع 15). يطلق على المنطقة حول الجرعة الأعظمية، في حالة الجسيمات المشحونة، اسم منطقة "قمة- براغ".

يوجد اعتباران هامان في العلاج الإشعاعي، أولهما: الانتقال الخطي للطاقة linear energy transfer (LET)، والكفاءة البيولوجية النسبية (RBE) relative biological efficiency. وقد يكون لاستخدام

الجدول 2- بيانات نووية وثيقة الصلة بالعلاج الهدروني

تطبيقات رئيسة	كميات	نوع البيانات
● حساب أطراف النترونات	- مقاطع فعالة مرنة ولا مرنة	بيانات النترونات
● حسابات نقل الأشعة	- إصدار ثانوي للنترون وأشعة $\gamma$	
	(مقاطع فعالة تفاضلية وتفاضلية مضاعفة).	
● حساب معاملات kerma	- إصدار جسيم مشحون	
	( $\alpha, t, d, p$ )	
	(مقاطع فعالة تفاضلية وتفاضلية مضاعفة)	
● تحديد موازنة النشاط	- مقاطع فعالة للتنشيط	
● تقدير نضوب الحزمة البروتونية	- مجموع المقاطع الفعالة اللامرنة	بيانات البروتونات
● حساب توزيع الطاقة ونقل الإشعاع	- إصدار نترونات، وجسيمات مشحونة، وأشعة $\gamma$ (مقاطع فعالة الإشعاع تفاضلية وتفاضلية مضاعفة)	
	- الطاقات الوسطية لمقدورات خفيفة	
● تقدير RBE	- أطراف مرتدة للمنتج	
● تحديد موازنة نشاط وجرعة إضافية من خلال اضمحلال	- مقاطع فعالة للتنشيط	

الهدرونات، مقارنة بالعلاج التقليدي، ميزة الحصول على انتقائية فيزيائية أفضل، أو بمعنى آخر، الحصول على بروفيل جرعة مُحسّن وكفاءة بيولوجية أعلى يتوافقان مع قتل أو تخريب أعظم داخل الورم [15]. لكن الهدرونات المختلفة تتباين في خصائصها. وتقران في الشكل 2 علاقة العمق - جرعة للفوتونات والنترونات والبروتونات وأيونات الأزوت. ومن الواضح أن للنترونات والفوتونات توزعاً متماثلاً للجرعة، بينما تزداد الجرعة مع زيادة عمق الاختراق من أجل الجسيمات المشحونة لتصل إلى أعظم قيمة لها في منطقة قمة - براغ Bragg - peak region. لا تبدي النترونات هذا البروفيل الفيزيائي المتقدم للجرعة، لكنها تختلف عن الفوتونات في كفاءتها البيولوجية النسبية RBE. والهدف النهائي للعلاج بالهدرونات هو بلوغ أعظم قدر من الانتقائية الفيزيائية والبيولوجية [يمكن الرجوع إلى إسهامات كل من Jones و Wambersie حول ما يتعلق بالأساس المنطقي للعلاج الهدروني، والتي نشرت في العدد 89 من مجلة Radiochim Acta (2001)].

وفي العلاج بالأيونات، يتدخل نوعا التأثيرات الذرية والنووية كلاهما؛ ويزداد إسهام النوع الأخير من التأثيرات مع ازدياد الطاقة. أما تأثيرات النترونات فهي إلى حد ما صعبة الفهم لأنها

سبق أن نوقشت إمكانية توفر بيانات نووية متوسطة الطاقة من أجل المداواة الإشعاعية، كما خضعت الاحتياجات الجديدة الناشئة عن ظهور طرق جديدة في المداواة إلى مراجعات عامة مستمرة [16،17]. وفي الآونة الأخيرة، تشكلت، برعاية من الهيئة العالمية لوحدة وقياسات التشعيع International Commission Radiation Units and measurements، مجموعة دراسة متمكنة في مجال البيانات النووية اللازمة للمداواة الإشعاعية بالنيوترونات والبروتونات [18]. ويُقدّم التقرير النهائي لمجموعة الدراسة الآتفة الذكر [18] معلومات بشأن المقاطع الفعالة للتفاعل النووي المحرض بالنيوترونات ومعاملات kerma التي تصل لغاية 150 MeV، إضافة إلى معلومات أخرى بشأن مقاطع فعالة محرّضة بالبروتونات تصل لغاية 250 MeV. هذا، ويتسع مدى طاقة النيوترونات المستخدم حالياً إلى حوالي 70 MeV؛ لكنه، بسبب احتمال استخدام طاقات أعلى في المستقبل، فقد أعطى التقرير المذكور بيانات لغاية 150 MeV. وقد أمكن الحصول على البيانات المذكورة جميعها من خلال الجمع ما بين التجربة والنظرية. ولهذا الغرض، تمّت الاستفادة من كود النموذج النووي "GNASH" والذي يدمج النظريات لكل من النواة المركبة، وحالة ما قبل التوازن preequilibrium، والتأثرات المباشرة. كذلك، جرى تسخير حسابات النموذج الضوئي optical model calculations لتقدير إجمالي مجموع المقاطع الفعالة للتبعثر المرن واللامرن.

وفي العلاج بالهدرونات، يُحتاج قبل كل شيء إلى بيانات نووية للنظائر الهامة لكل من العناصر: H، وC، وN، وO، وAl، وSi، وP، وCa، وFe، وCu، وW، وPb، علماً أن العناصر الأخيرة من هذه المجموعة تُستخدم كمواد مُسَدّدة وتدريعية. هذا، وتدعو الحاجة إلى كثير من المعلومات التفصيلية بالنسبة للعناصر الأعظم أهمية، بينما تكون الحاجة إلى مثل هذه المعلومات أقل بالنسبة لعناصر أخرى أقل أهمية؛ وقد اتبع التقرير المذكور أعلاه [18] في نهجه هذه الاستراتيجية. نواتج التنشيط

بوجه عام، لا يعمد تنشيط مكوّنات النسيج عملية خطيرة أو ذات أهمية كبيرة، ولهذا السبب لم ينشر سوى القليل من الدراسات التي تتعلق بتشكيل نواتج التنشيط سواء نُفّذ العلاج بالنيوترونات أو بالبروتونات. من ناحية ثانية، لا يمكن، في عدة حالات خاصة، إهمال عملية التنشيط؛ وسوف ناقش فيما يلي بعضاً من هذه الحالات.

تؤدي تأثيرات النيوترونات السريعة مع النوى خفيفة الكتلة إلى تشكل كميات معنوية من التريتيوم ( $T_{1/2} = 12.3$  سنة). وفي دراسة شاملة استخدمت فيها نيوترونات d(Be) بطاقة 53 MeV [19]، تبين أن المقاطع الفعالة ( $n, t$ ) لأخف العناصر تكون كبيرة على نحو استثنائي (ما بين 10 و 400 mb). من ناحية ثانية، يكون المقطع الفعال الإصداري للتريتيوم (نواة التريتيوم) ثابتاً عند حوالي 5 mb بالنسبة للعناصر التي لها  $Z > 20$ . ومن الأنشطة الأخرى، التي جرت مراقبتها، النظير  $^7\text{Be}$  ( $T_{1/2} = 53.3$  يوم)، لكن مقطعه الفعال يقع ضمن مجال الـ  $20 \mu\text{b}$  [20]. وجرى أيضاً مراقبة عدة نواتج قصيرة أو طويلة العمر في المجال الكتلي المتوسط، لها مقطع فعال تشكلي يراوح بين 5 إلى 10 mb [19-21].

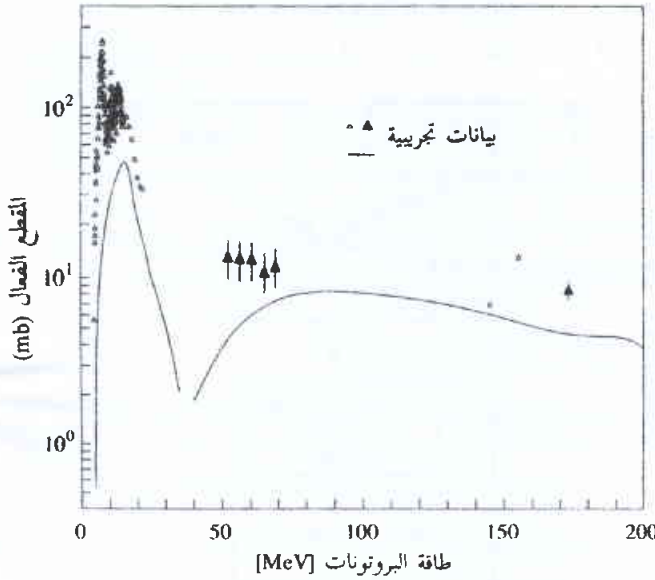
تتضمن العديد من الظواهر النووية التي لا يمكن دائماً حسابها بطريقة يُعَوّل عليها.

وفي العلاج بالنيوترونات، هناك حاجة إلى المقاطع الفعالة من أجل تشكل النيوترونات الثانوية وأشعة  $\gamma$  والجسيمات المشحونة؛ ويقدم الجدول 2 خلاصة موجزة جداً بهذا الشأن، حيث تلزم البيانات فيه لتقدير الجرعة المتحصنة عند المريض. وهناك حاجة إلى معلومات تتعلق بالنيوترونات الثانوية وأشعة  $\gamma$  من أجل حساب نقل الإشعاع عبر مسافات كبيرة. وتُعدّ البيانات حول إصدار الجسيمات المشحونة في تفاعلات محرّضة بنيوترونات سريعة أمراً بالغ الأهمية من أجل حساب الحرارة الموضّعة في النسيج. ويُعبّر عن التأثير بعبارات "معامل kerma" (الطاقة الحركية المتحررة ضمن المادة kinetic energy released in matter). وغالباً ما تُقدّر دقة المقاطع الفعالة المحرّضة بالنيوترونات بمقارنة معاملات kerma المشتقة من مقاطع فعالة مع تلك التي تم الحصول عليها تجريبياً. إذا أعطت المقاطع الفعالة "معامل kerma" متفقاً مع القياسات التجريبية، تزداد الثقة في تنبؤات الجرعة المتحصنة بواسطة كود النقل.

وفي العلاج بالبروتونات، توجد حاجة إلى المقاطع الفعالة من أجل تشكل النيوترونات وأشعة  $\gamma$ ، وكذلك من أجل تشكل جسيمات مشحونة ثانوية. وتلزم مثل هذه المعلومات لحساب كل من نقل الإشعاع وجرعة التشعيع. ويُقدّم الجدول 2 خلاصة موجزة لبيانات اللازمة. والفائدة الرئيسية لهذا العلاج هي القدرة على علاج أورام متوضعة في العمق قريباً من بنى حرجية. وهذا يمكن تحقيقه نظراً، بشكل رئيسي، إلى الانتقائية العالية لقمة براغ.

أما العلاج بحزمة الأيونات الثقيلة، فيجري باستخدام أيونات:  $^{12}\text{C}$  و  $^{14}\text{N}$  و  $^{20}\text{Ne}$  و  $^{28}\text{Si}$  و  $^{40}\text{Ar}$ ، مع أن المستخدم حالياً هو  $^{12}\text{C}$  فقط. من جهة ثانية، يُعدّ العلاج تقنية متخصصة؛ وعلى الرغم من إمكاناته العظيمة ليس له سوى تطبيقات محدودة. وهناك طريقة علاجية تتمثل بإعطاء مركب يعتمد على البورون، والذي يجري تشعيعه بواسطة مصدر خارجي من النيوترونات فوق الحرارية بعد تراكمه في العضو المحتوي على الورم (علاج بالأسر النيوتروني للبورون BNCT boron capture therapy). تؤدي العملية النووية  $^{10}\text{B}(n, \alpha)^7\text{Li}$  إلى تحرر جسيمات  $\alpha$  كثيفة التأين قصيرة المدى، ومرتدات  $^7\text{Li}$  المسببة للتأثير العلاجي. البيانات الطيفية

يتضح من المناقشة المذكورة أعلاه أن هناك حاجة للبيانات الطيفية الأساسية في العلاج الإشعاعي. وإلى جانب إجمالي المقاطع الفعالة للتبعثر المرن واللامرن، هناك حاجة لأطياف إصدار كل من أشعة غاما والنيوترونات، والجسيمات المشحونة. المعتمدة على الطاقة وزاوية الإصدار. وبسبب الجهد العظيم الواجب توظيفه في مثل هذه الدراسات، لا يتوفر سوى عدد محدود من طواقم البيانات التجريبية لعناصر الهدف ذات الأهمية البيولوجية؛ ولهذا كان جلياً وجود اعتماد كبير على النظرية. وبما أن متطلبات الدقة ليست على قدر من الإلحاح كما هو الحال عليه في البيانات اللازمة لإنتاج نظائر مشعة تشخيصية، لذلك يمكن عموماً قبول البيانات المنتبأ بها عبر حسابات نموذج نووي.



الشكل 3- تابع الإثارة للعملية  $^{14}\text{C}(p,x)^{14}\text{N}$ . انظر المرجع [14] من أجل إجراء جمع تفصيلي للبيانات حتى 20 MeV. تمت مهابة الشكل من المرجع [28].

تقريباً. وبالمقارنة مع جرعة تشعيع كلية قدرها 2 Sv لكل جلسة علاجية، فإن التعزيز في جرعة التشعيع الناجم عن اضمحلال مصدريات  $\beta^+$  قصيرة العمر سيقدّر بحوالي 25%. أما بالنسبة لتوزيع الجرعة، فيُعدّ الجمع ما بين تقائتي PET والعلاج بالبروتونات أمراً واعداً جداً [2]. ومن وجهة النظر المثالية، يكون الجمع في آن واحد بين هاتين التقائتين أمراً مرغوباً فيه؛ لكن ذلك صعب جداً من الناحية التقنية حيث يتطلب وضع العربة العلاجية المتنقلة وآلة PET قريبتين جداً من بعضهما (حول المريض). وقد تبين أن إجراء استقصاء بواسطة PET بعد العلاج بالأيونات (باستخدام النظير  $^{11}\text{C}$  المتشكل أثناء الجلسة العلاجية) هو أكثر ملاءمة ويُمارس لدى بضعة مراكز علاجية.

كخلاصة لما سبق، قد لا تكون للمقاطع الفعالة للتنشيط أهمية بالغة في التطبيقات العلاجية العامة؛ لكنها تغدو ذات أهمية كبيرة عند متابعة بعض المظاهر العلاجية الخاصة.

### إنشاء ملف بيانات نووية

تشتمل عملية إنشاء ملف بيانات نووية من أجل استخدامات مختلفة على عدة مراحل (الشكل 4). وتُجرى قياسات تجريبية باستخدام التنشيط والطرائق الطيفية في آن واحد. ومن الأهمية بمكان أن تتضمن البيانات التي جرى نشرها وصفاً كاملاً للتجربة ولتختلف مصادر الخطأ مع مقاديرها المحسوبة. أما المصدر الثاني للبيانات فهو النظرية. وقد جرى تطوير العديد من النماذج النووية للتنبؤ بمقاطع فعالة غير معروفة. ويطلق اسم "تقييم" على عملية الجمع بين البيانات التجريبية والنتائج النظرية للحصول على أفضل قيم للمقاطع الفعالة. ويحاول المقيّم أن يشتق "أفضل" القيم من مجموعة تجارب ناقصة ونماذج نظرية ذات موثوقية جزئية فقط. وغالباً ما يضطر إلى إجراء عدة عمليات ضبط أو تعديل من خلال الممارسة. وفي مجالات للطاقة حيث لا يوجد سوى القليل من القياسات إما بسبب نقص التجهيزات أو بسبب صعوبات تجريبية، يستدعي الأمر الاعتماد بشكل

وعلى هذا الأساس، وباستثناء التريتيوم، لا توجد أهمية تذكر للنواتج المشعة المتشكلة في العلاج بالبروتونات؛ لكن تنشيط المواد التدريجية والمُسَدَّدة يُعدّ أمراً ذا أهمية.

وتوجد في الأدبيات العلمية دراسات شاملة حول تشكل نواتج التنشيط في تفاعلات محرّضة بالبروتونات [22-24]، ومهما يكن من أمر، لم تخضع العناصر المناسبة بيولوجياً إلى بحوث تفصيلية. وفي حقل العلاج بالبروتونات، نُفِّد عدد قليل من الدراسات التجريبية التي تناولت الاتجاهات الأربعة التالية:

أ - تشكل مصدريات  $\beta^+$  القصيرة العمر، كالنظائر:  $^{11}\text{C}$  ( $T_{1/2} = 20.3$  دقيقة)، و  $^{13}\text{N}$  ( $T_{1/2} = 10.0$  دقيقة)، و  $^{18}\text{F}$  ( $T_{1/2} = 110.0$  دقيقة).

ب - تراكم النظير  $^7\text{Be}$  ( $T_{1/2} = 53.3$  دقيقة).

ج - تشكل نواتج تنشيط متوسطة الكتلة، كالنظائر:  $^{22}\text{Na}$  ( $T_{1/2} = 2.6$  سنة)، و  $^{42}\text{K}$  ( $T_{1/2} = 12.4$  ساعة)، و  $^{48}\text{V}$  ( $T_{1/2} = 16.0$  يوم)، و  $^{51}\text{Cr}$  ( $T_{1/2} = 27.7$  يوم)، والخ.

د - تراكم نشاط طويل العمر داخل المُسَدَّات كالنظير  $^{54}\text{Mn}$  ( $T_{1/2} = 312.2$  يوم)، الخ.

أمكن من الدراسات السابقة التوصل إلى استنتاج هام مفادُه أن الكمية المتراكمة من  $^7\text{Be}$  هي كمية مهملة [25]. وبصورة مماثلة، تبين أن نواتج التنشيط المتوسطة الكتلة هي أيضاً ليست معنوية [26]. غير أن تنشيط المُسَدَّات محسوس [27]. ومن الضروري اتخاذ الاحتياطات المناسبة لحماية الموظفين القائمين على العلاج. ويُعدّ تشكل مصدريات  $\beta^+$  قصيرة العمر أمراً على قدر كبير من الأهمية؛ لذلك سنعمد إلى مناقشته بشيء من التفصيل.

هنالك أهمية معنوية للمقاطع الفعالة التشكيلية الخاصة بمصدريات  $\beta^+$  قصيرة العمر، لكن المعلومات المتاحة عبر كامل المجال الطاقوي لها تبقى نوعاً ما هزيلة وغير كافية. وبين الشكل 3 [28] نتائج قياسات وتحليل حديثة تمّ إجراؤها على تشكل النظير  $^{11}\text{C}$  ( $T_{1/2} = 20.3$  دقيقة) من  $^{14}\text{N}$ . وبينما تتوفر بيانات شاملة حتى 20 MeV [14]، فإن قاعدة البيانات تبقى هزيلة عند طاقات أعلى. وجددير بالذكر أن الذي يساهم في تشكل النظير المذكور عمليتان رئيسيتان بعتبتين مختلفتين، هما:  $^{11}\text{C}(p,\alpha)^{14}\text{N}$ ، و  $^{11}\text{C}(p,2p2n)^{14}\text{N}$ . ومن المتوقع أن يكون هناك إسهام بسيط من التفاعل  $^{11}\text{C}(p,\alpha)^{15}\text{N}$ ؛ ويُرى الشكل 3 أيضاً حساباً نظرياً يعتمد الكود الهجين المسبق التركيب "ALICE-IPPE" الذي يقوم بدمج إصدار جسيمات  $\alpha$ . ومن الواضح أن النظرية هي التي تولّد، إلى حد ما، شكل تابع الإثارة، ولو أن المقادير تتباين بشكل ملموس.

تُعدّ بيانات المقطع الفعال من أجل تشكل مصدريات  $\beta^+$  قصيرة العمر هامة من ناحيتين: الأولى، من أجل تقدير الجرعة الإضافية التي يسببها النظير للمريض، والثانية من أجل التوضيح الدقيق لتوزيع الجرعة المتعلق بالمعالجة. بشأن الناحية الأولى، أُجري تقدير للكبد [28] باعتباره عضو المنبع، و حزمة بروتونية بطاقة 200 MeV وبشدة قدرها  $5 \text{ nA/cm}^2$ . وتُقدّر الجرعة التي تسببها النظائر  $^{11}\text{C}$ ، و  $^{13}\text{N}$ ، و  $^{15}\text{O}$  بـ 500 mSv.

يغدو ضرورياً إجراء قياسات أو حسابات جديدة. وإذا أظهرت تجارب التأكد من الصحة موثوقية جيدة يغدو من الضروري أيضاً إجراء بعض الاختبارات الداعمة، وبخاصة توصيف الأخطاء وإيضاح حدود الاستخدام. وهكذا، تُعتبر البيانات المتحصل عليها بهذه الطريقة بيانات موصى بها، وتشكل في حد ذاتها "ملفاً file" لبعض التطبيقات الخاصة. توجد في الأدبيات العلمية أنواع عديدة من ملفات البيانات التي يجري تنسيقها بواسطة واحد أو أكثر من مراكز رئيسة للبيانات النووية، ألا وهي:

- NNDC، بروكهافن - الولايات المتحدة الأمريكية.
- مصرف بيانات OECD-NEA، باريس - فرنسا.
- قسم البيانات النووية التابع للوكالة الدولية للطاقة الذرية، فيينا - النمسا.
- مركز البيانات النووية، أوبنيسك - روسيا.

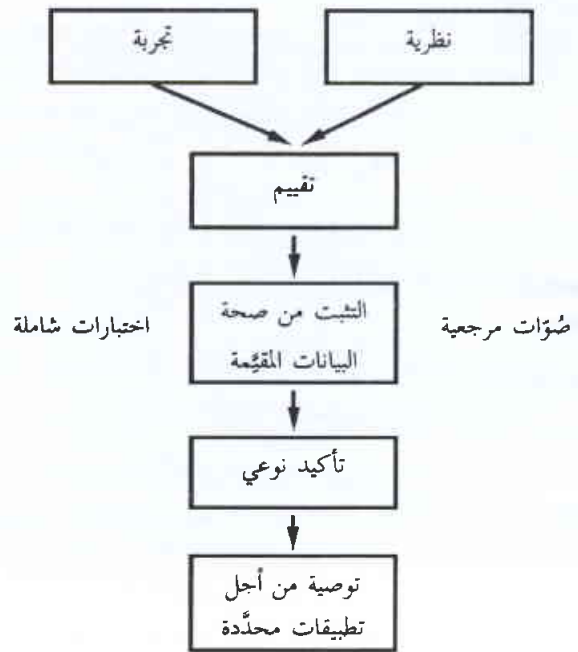
من جهة ثانية، نجد أن معظم الملفات تعالج بيانات ذات علاقة بالطاقة. وفيما يتعلق بالاستخدامات الطبية، لاتزال الجهود الموزعة حتى تاريخه متواضعة نوعاً ما ومعظمها موجه نحو العلاج بالترونات. كذلك، لاتزال منهجية التقييم، (وخاصة من أجل البيانات المتعلقة بالتطبيقات التشخيصية) حتى تاريخه، غير متطورة بالقدر الذي يعادل التطور الحاصل في البيانات ذات العلاقة بالطاقة. وهناك نوعان من الجهود الحديثة الشاملة التي يتوقع لها ملء الفجوات الموجودة حالياً في البيانات، أحدهما يتعلق بالنظائر المشعة التشخيصية [14]، بينما يعالج الآخر موضوع العلاج بالهدرونات [18]. ومهما يكن من أمر، لاتزال الحاجة ملحة إلى مزيد من الجهود التفصيلية اللازمة لتعزيز معرفتنا حول ما يتعلق بنواحٍ عدة ذات علاقة بالتشخيص والعلاج.

## REFERENCES

- [1] Stöcklin, G., Qaim, S. M., Rösch, F.: The impact of radioactivity on medicine. *Radiochimica Acta* 70/71, 249 (1995).
- [2] Qaim, S. M.: Radioactivity in medicine: achievements, perspectives and role of nuclear data. *Proc. Int. Conf. Nuclear Data for Science and Technology*. Trieste, Italy, May 1997 (Reffo, G., Ventura, A., Grandi, C, Eds.), Italian Physical Society 59, 31 (1997).
- [3] Stabin, M.: *MIR-DOSE 2 Program*. Oak Ridge National Laboratory. Oak Ridge. Tennessee, USA (1985).
- [4] Pfennig, G., Klewe-Nehenius, H., Seelmann - Eggebert, M.: *Karlsruher Nuklidkarte*. Forschungszentrum Karlsruhe, Germany (1995).
- [5] Browne, E., Firestone, R. B.: *Table of Radioactive Isotopes*. (Shirley, V S., Ed.), Wiley, London (1986).
- [6] *Nuclear Data Sheets*, Periodic issues.
- [7] Weber, D. A., Eckerman, K. G., Dillman, L. T., Ryman, J. C.: *MIRD-Radionuclide Data and Decay Schemes*. Society of Nuclear Medicine, New York (1989).

## المراجع

## تطوير بيانات نووية من أجل تطبيقات محددة



الشكل 4- خطوات في عملية تطوير ملف بيانات نووية من أجل تطبيقات محددة.

قوي على النظرية. ويكون هدف الخطوة اللاحقة التأكد من صحة البيانات المقیمة؛ وهذا يتحقق عموماً من خلال بعض الصوآت المرجعية benchmarks أو الاختبارات الشاملة. وفي حال حدوث انحرافات كبيرة

- [8] Hohn, A., Coenen, H. H., Qaim, S. M.: Positron emission intensity in the decay of  $^{120}\text{I}$ . *Radiochimica Acta* 88, 139 (2000).
- [9] Qaim, S. M.: Nuclear data relevant to cyclotron produced short - lived medical radioisotopes. *Radiochimica Acta* 30, 147 (1982).
- [10] Qaim, S. M.: Medical radioisotopes and nuclear data. *Proc. IAEA - Consultants Meeting on Data Requirements for Medical Radioisotope Production*. Tokyo, Japan, April 1987 (Okamoto, K., Ed.), Report INDC(NDS)-195, IAEA, Vienna (1988), p. 25.
- [11] Kondo, K., Lambrecht, R. M., Wolf, A. P.:  $^{123}\text{I}$  production for radiopharmaceuticals XX. Excitation functions of the  $^{124}\text{Te}(p,2n)^{123}\text{I}$  and  $^{124}\text{Te}(p,n)^{124}\text{I}$  reactions and the effect of target enrichment on radionuclidic purity. *Int. J. Appl. Radiat. Isot.* 28,395 (1977).
- [12] Scholten, B., Kovacs, Z., Tarkanyi, f., Qaim, S. M.: Excitation functions of  $^{124}\text{Te}(p,xn)^{124,123}\text{I}$  reactions from 6

- to 31 MeV with special reference to the production of  $^{124}\text{I}$  at a small cyclotron. *Appl. Radiat. Isot.* 46, 255 (1995).
- [13] Qaim, S. M.: Recent developments in the study of isomeric cross sections. *Proc. Int. Conf. Nuclear Data for Science and Technology. Gatlinburg, Tennessee, USA, May 1994* (Dickens, J. K., Ed.), American Nuclear Society, La Grange Park, Illinois (1994), p.186.
- [14] Gul, K., Hermanne, A., Mustafa, M. G., Nortier, F. M., Oblozinsky, P., Qaim, S. M. (Chairman), Scholten, B., Shubin, Y., Takacs, S., Tarkanyi, F. T., Zhuang, Y.: *Charged Particle Cross Section Database for Medical Radioisotope Production. IAEA - TECDOC 1211, Vienna (2001)*, pp. 1 - 284.
- [15] Kraft, G., Kraft-Weyrather, W., Taucher - Scholz, G., Scholz, M.: What kind of radiobiology should be done at a hadron therapy centre? *Advances in Hadrontherapy. (Amaldi, U., Larsson, B., Lemoigne, Y, Eds.), Elsevier, Amsterdam (1997)*, p. 38.
- [16] Kocherov, N. P. (Compiler): *Status of Data Needed for Radiation Therapy and Existing Developing Activities in Member States. IAEA-Consultants Meeting, December 1996, Report INDC (NDS)-365, IAEA, Vienna (1997)*.
- [17] Broerse, J. J., DeLuca, Jr., P. M., Dietze, G., Haight, R. C., Hirauka, T., Kawashima, K., Kocherov, N., Menzel, H. G., Olsson, N., Wambersie, A., White, R. M., Zoetelief, J.: *Nuclear Data for Neutron Therapy: Status and Future Needs. IAEA-TECDOC-992, Vienna, December (1997)*.
- [18] Barschall, H. H., Chadwick, M. B. (Chairman). Jones, D. T. L., Meulders, LP, Schumacher, H., Young, PG.: *Nuclear Data for Neutron and Proton Radiotherapy and for Radiation Protection. ICRU Report 63, Bethesda, March (2000)*.
- [19] Qaim, S. M., Wolfle, R.: Triton emission in the interactions of fast neutrons with nuclei. *Nucl. Phys. A* 295, 150 (1978).
- [20] Scholten, B., Qaim, S. M., Stöcklin, G.: A systematic study of  $(n, ^7\text{Be})$  reactions on medium and heavy mass nuclei induced by 53 MeV  $d(\text{Be})$  - breakup neutrons. *Radiochimica Acta* 62, 107 (1993).
- [21] Qaim, S. M., Wu, C. H., Wölflle, R.:  $^3\text{He}$  - particle emission in fast neutron induced reactions. *Nucl. Phys. A* 410, 421 (1983).
- [22] Bodemann, R., Lange, H.- J., Leya, L., Michel, R., Schickel, Th., Rösel, R., Herpers, U., Hofmann, H. J., Dittrich, B., Suter, M., Wölflle, W., Holmquist, B., Conde, H., Malmberg, P.: Production of residual nuclei by proton - induced reactions on C, N, O, Mg, Al and Si. *Nucl. Instr. Meth. Phys. Res. B* 82, 9 (1993).
- [23] Schickel, Th., Sudbrock, F., Herpers, U., Gloris, M., Lange, H. - J., Leya, I., Michel, R., Dittrich - Hannen, B., Synal, H. - A., Suter, M., Kubik, P. W., Blann, M., Filges, D.: Nuclide production by proton induced reactions on elements ( $6 \leq z \leq 29$ ) in the energy range from 200 MeV to 400 MeV. *Nucl. Instr. Meth. Phys. Res. B* 114, 91 (1996).
- [24] Michel, R., Bodemann, R., Busemann, H., Daunke, R., Gloris, M., Lange, H.- J., Klug, B., Krins, A., Leya, I., Lüpke, M., Neumann, S., Reinhardt, H., Schnatz - Buttgen, M., Herpers, U., Schickel, Th., Sudbrock, F., Holmquist, B., Conde, H., Malmberg, P., Suter, M., Dittrich - Hannen, B., Kubik, P. W., Synal, H. - A., Filges, D.: Cross sections for the production of residual nuclides by low - and medium - energy protons from the target elements C, N, O, Mg, Al, Si, Ca, Ti, V, Mn, Fe, Co, Ni, Cu, Sr, Y, Zr, Nb, Ba and Au. *Nucl. Instr. Meth. Phys. Res. B* 129, 153 (1997).
- [25] Fassbender, M., Scholten, B., Qaim, S. M.: Radiochemical studies of  $(p, ^7\text{Be})$  reactions on biologically relevant elements in the proton energy range of 50 To 350 MeV. *Radiochimica Acta* 81, 1 (1998).
- [26] Fassbender, H., Shubin, Yu. N., Qaim, S. M.: Formation of activation products in interactions of medium energy protons with Na, Si, P, S, Cl, Ca and Fe. *Radiochimica Acta* 84, 59 (1999).
- [27] Fassbender, M., Shubin, Yu. N., Lunev, V P, Qaim, S. M.: Experimental studies and nuclear model calculations on the formation of radioactive products in interactions of medium energy protons with copper, zinc and brass: Estimation of collimator activation in proton therapy facilities. *App. Radiat. Isot.* 48. 1221 (1997).
- [28] Fassbender, M., Scholten, B., Shubin, Yu. N., Qaim, S. M.: Activation cross section data for  $(p,x)$  processes of therapeutic relevance. *Proc. Int. Conf. Nuclear Data for Science and Technology. Trieste, Italy, May 1997* (Reffo, G., Ventura, A., Grandi, C., Eds.), Italian Physical Society 59, 1646 (1997).■

# تصوير وظيفي في الحي بتقنيتي التصوير المقطعي الطبقي PET و SPECT

د. هيرتسوغ  
معهد الطب - مركز بحوث يولنش - ألمانيا

## ملخص

تسمح الطرائق الطبية النووية برؤية تشكيلة من العمليات الاستقلابية والفيزيولوجية في جميع أنحاء الجسم. وبالرغم من اكتشاف أن التصوير الومضاني المستوي مفيد في العديد من المسائل، فإن الحصول على المعلومات المكانية المفصلة عن العضو المريض لا يمكن أن يتم إلا بطرائق التصوير المقطعي الطبقي. وباعتماد على استخدام النكليد المشع، هنالك إجراءان ملائمان من التصوير المقطعي الطبقي: التصوير المقطعي الطبقي الخوسب بإصدار فوتونات مفردة (SPECT)، والتصوير المقطعي الطبقي بإصدار بوزترونات (PET). يصف الجزء الأول من هذه الورقة التطور التاريخي لهاتين الطريقتين بالإضافة إلى أسسهما التقنية والمنهجية. ولشرح التنوع الكبير لتطبيقاتهما الممكنة، جرى تقديم نظرة شاملة لإجراءات SPECT و PET المستخدمة في البحوث بالإضافة إلى الممارسات الطبية. وعلاوة على ذلك، تمت مقارنة الطريقتين و لفت النظر لمزايا كل منهما.

الكلمات المفتاحية: توهين، رسم، خيبت، إرواء، نكليد مشع، منظومة، تصوير مقطعي طبقي، قفاء.

## مقدمة

تطورت خلال العقود الثلاثة الأخيرة إجراءات تصوير فعالة جديدة في الطب لتحسين تشخيص الأمراض. تختلف الطرائق في أسسها الفيزيائية التي تعتمد عليها والصور الممكن إنجازها والميزر الزمني ونوعية المعلومات التي تنتجها. فبينما تقع قوة التصوير المقطعي الطبقي الخوسب (CT) والتصوير المقطعي الطبقي ذي التجاوب المغنطيسي (MRT) والفوق صوتي (US) في عارضة المعلومات البنيوية، فإن الميزرات الرائعة لطرائق الطب النووي تكمن في قابليتها لتصوير تشكيلة من العمليات الاستقلابية والفيزيولوجية في جميع أنحاء الجسم. ومن أجل هذا، توسم الركازات، التي تشترك في عمليات الاستقلاب والفيزيولوجيا، بالنكليدات المشعة. تُنتج قياسات الإشعاع الصادرة عن هذه النكليدات أنواعاً مختلفة من المعلومات الضرورية للتشخيص. وللملاحظة البعد الزمني وكذلك المكانية للمعلومات يجب تطبيق طرائق التصوير المقطعي الطبقي. وتبعاً للنكليد المشع المستخدم هنالك إجراءان مختلفان للتصوير المقطعي الطبقي متاحان في الطب النووي: التصوير المقطعي الطبقي بإصدار فوتونات مفردة single photon emission computed tomography (SPECT)، والتصوير المقطعي الطبقي بإصدار بوزترونات positron emission tomography (PET).

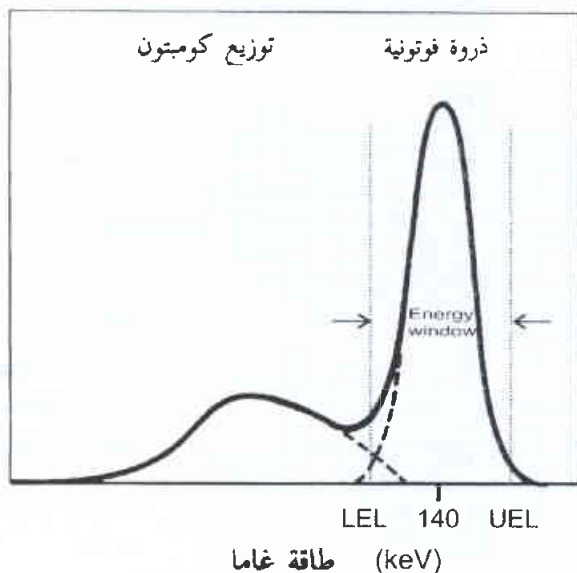
إن الغرض من هذا الاستعراض هو أن نصف باختصار التطور التاريخي لهاتين الطريقتين بالإضافة إلى أسسهما التقنية والمنهجية. ولتوضيح التنوع الكبير للتطبيقات الممكنة، جرى تقديم أمثلة على إجراءات SPECT و PET المستخدمة في البحوث بالإضافة إلى الممارسات السريرية.

## التطور التاريخي لـ PET و SPECT

أعدت الاقتراحات الأصلية المتعلقة بـ SPECT و PET سابقاً في أوائل الستينيات من القرن الماضي من قبل كول Kuhl وإدواردز Edwards [1] ومن قبل رانكوفتس Rankowitz ومعاونيه [2]. ولكن خوارزميات إعادة البناء غير الكافية المتوفرة في ذلك الوقت قد أعاقت الإدخال الناجح لهذه الأساليب. أصبحت الخوارزميات المتقدمة متوفرة بابتكار CT وتطورها المبكر من قبل كورماك Cormack [3] وهاونسفيلد Hounsfield [4]. لقد تطورت أولى منظومات SPECT التجارية في نهاية السبعينيات من القرن الماضي عندما وضعت كاميرات أشعة غاما التقليدية المستعملة في التصوير الومضي المستوي على حامل خاص يسمح بدوران كاميرات غاما حول مريض مستلق على ظهره. وبخاصة من أجل التطبيقات الدماغية أصبحت منظومات المكشاف الحلقي متوفرة. ولتحسين حساسية الـ SPECT تستخدم المنظومات التجارية الحالية اثنتين أو ثلاث أو حتى أربع من كاميرات غاما. وإلى جانب تحسين الحساسية أصبحت المنظومات ثابتة أكثر فأكثر من الناحية الميكانيكية إلى درجة أنها استخدمت في الأعمال السريرية الروتينية بأزمة قياس تقل عن عشر دقائق.

وبموازاة تطور الـ SPECT، أدخلت نباط PET أولاً وبشكل رئيسي في البحوث البيئية حيث تكون السيكلوترونات اللازمة لإنتاج مُصدِّرات البوزترونات القصيرة العمر متوفرة على الأغلب. تستخدم معظم هذه المنظومات تجميعات حلقيّة أو شبه حلقيّة من مكاشيف يوديد الصوديوم (NaI) تحيط بالمريض. هنالك تحسّن مستمر في منظومات PET بالنسبة إلى الحساسية وتميز الصورة باستخدام بلورات BGO بدلاً من بلورات





الشكل 2- طيف الطاقة للمصدر غاما  $^{99m}\text{Tc}$  مؤلف من ذروة فوتونية وطيف كومبتون. نافذة طاقة لكاميرا غاما مع سوية طاقتها الأدنى (LEL) وسوية طاقتها الأعلى (UEL) متمركزة عند الحد الأعظمي للذروة الفوتونية. يوجد تراكب بين توزيع كومبتون والذروة الضوئية.

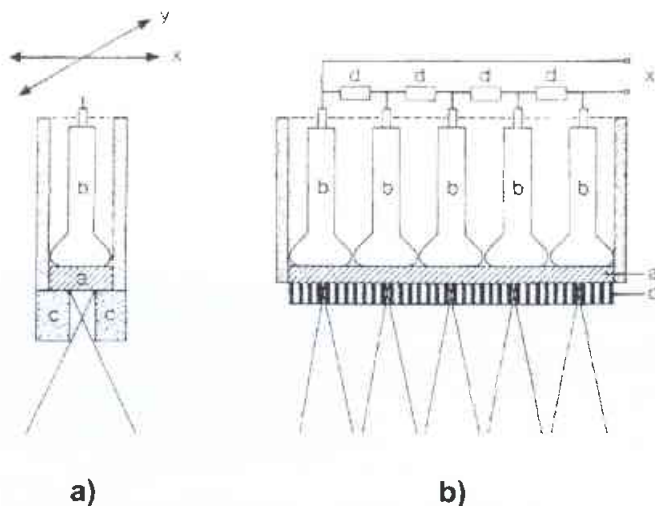
الفعالية ضمن الجسم. في حالة مصدريات الفوتونات المفردة يتم الحصول على هذه المعلومات بمساعدة مسدّات من الرصاص أو التنغستين التي لا تسمح إلا لذلك الإشعاع بالوصول إلى المكشاف الذي يأتي من اتجاه تحدده ثقب المسدّد (الشكل 1). ويمكن الحصول مسبقاً على بيانات حول دخول الفعالية إلى العضو، وخروجها منه، ويُعدّ ذلك كتابع للزمن، بمكاشيف وميضية مفردة توضع على العضو تحت الدراسة. ولأخذ معلومات صورة ثنائية الأبعاد، ينبغي استخدام مجموعة من مكاشيف وميضية مفردة، كتلك المتوفرة في كاميرا غاما (الشكل 1b). تتألف كاميرا غاما من بلورة واحدة كبيرة من NaI التي تُركّب عليها صفييف من المضاعفات الضوئية [5]. تُرى الفوتونات الضوئية الناتجة من أشعة  $\gamma$  خلال بلورة NaI بواسطة عدة مضاعفات ضوئية متجاورة. ولتركيز دخول أشعة  $\gamma$  توزن الإشارات الناتجة من المضاعفات الضوئية بواسطة شبكة مقاومات مناسبة. وفوق ذلك، هنالك مسدّد موضوع أمام بلورة NaI يستثني تقريباً كل إشعاع غير قادم من اتجاه عمودي على سطح كاميرا غاما. يوجد العديد من أنواع المسدّات، مثل النظر باتجاه مائل. وعلى أية حال لن نناقش هذا الأمر هنا.

وفي الوقت الذي يكون فيه وجود مسدّد ميكانيكي ضرورياً من أجل قياس مصدريات الفوتونات المفردة بواسطة التصوير الومضاني المستوي أو SPECT، فإن هذه المسدّات الميكانيكية ليست ضرورية من أجل PET التي تستخدم ما يسمى التسديد الإلكتروني. يبيّن الشكل 3 الأسس الفيزيائية لـ PET. نجد هنا أن البوزترون هو النتيجة الأولية لاضمحلال النشاط الإشعاعي. وهو تبعاً لطاقته، التي هي نوعية للتكليف المشع الفردي، ينتقل لمسافة قصيرة بين أقل من مليمتراً واحد وعدة مليمترات يقترّب بعدها من حالة الاستقرار، بحيث يكون قادراً على أن يتفاعل مع إلكترون من مادة مجاورة. وكتيجة لذلك يتفاتي الجسميمان وينتجان زوجاً من

NaI، ويادخال مخططات مكشاف الكتالة وتقنيات الاكتساب الثلاثية الأبعاد.

## الأسس الفيزيائية والتقنية لـ PET و SPECT منظومة المكشاف

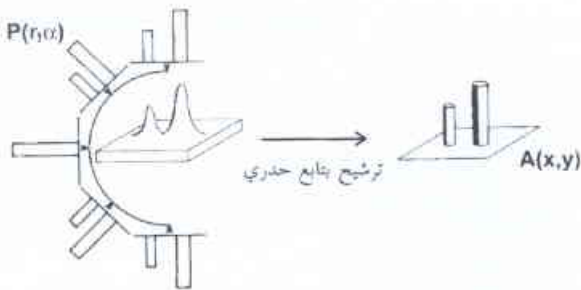
العنصر الأولي في أية منظومة مكشاف طبي نووي هو المكشاف الومضي. يبيّن الشكل 1a مثل هذا المكشاف الذي يتألف على الأقل من بلورة وميضية ومضاعف ضوئي. وتكون البلورة الومضية حساسة لطاقة الإشعاع  $\gamma$  الذي تصدره التكليدات المشعة المستخدمة في الطب النووي، بغض النظر عن كونها مصدريات فوتونات مفردة أو بوزترونات. يثير إشعاع  $\gamma$  المادة الومضية بحيث تصدر فوتونات ضوئية يضرب قسم منها الكاتود الضوئي للمضاعف الضوئي مسبباً تأثيراً ضوئياً ينتج إلكترونات. يجري تضخيم هذه الإلكترونات ضمن أنبوب المضاعف الضوئي مما يؤدي إلى نبضة فولطية متناسبة مع عدد الفوتونات الضوئية المنتجة ضمن البلورة الومضية، وبهذه الطريقة تكون متناسبة مع طاقة إشعاع  $\gamma$  الوارد. يبيّن الشكل 2 طيف الطاقة لمصدر الفوتون الضوئي المفرد  $^{99m}\text{Tc}$ . يتألف طيف الطاقة لهذا المصدر بطاقة  $\gamma$  مفردة وحيدة، فقط من قسمين. تكون النهاية العظمى للذروة الفوتونية عند طاقة  $\gamma$  للتكليف المشع. يمثل طيف كومبتون Compton التوزيع الطاقوي للفوتونات  $\gamma$  التي فقدت جزءاً من طاقتها بسبب تبعثر كومبتون ضمن الجسم تحت الاستقصاء أو في البلورة الومضية. ومن أجل فصل إشعاع  $\gamma$  الحقيقي عن ذلك الذي غير اتجاهه بفعل تبعثر كومبتون، تستخدم إلكترونات التفريق للتمييز بين الذروة الفوتونية وتوزيع كومبتون. تعرف الدارة المفترقة سوية الطاقة الأخفض والأعلى ولهذا فإن نافذة الطاقة داخل هذه السويات تحوي الذروة الفوتونية. ويجب إتمام قياس حادثة الإشعاع بالمكشاف الومضي بالمعلومات حول اتجاه الإشعاع، إذا كان المراد بناء صورة لتوزيع



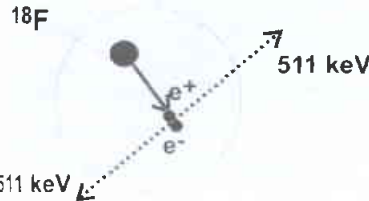
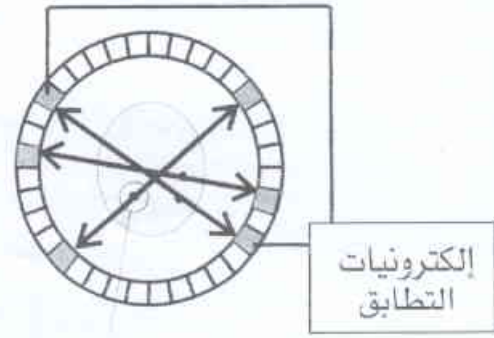
الشكل 1- مكشاف ومضي (على اليسار) يتألف من بلورة وميضية (a)، مضاعف ضوئي (b)، ومسدّد (c) يحصر اتجاه الإشعاع المكتشف. تتألف كاميرا غاما (على اليمين) من حزمة مضاعفات ضوئية b محمولة على بلورة وميضية مفردة من NaI (a) ومسدّد (c). تستخدم شبكة من مقاومات (d) لوزن نبضات المضاعفات الضوئية المختلفة بغرض توضع (x) الإشعاع المرئي.

أول من قدّم هذا الشكل من المعادلة الرياضية الألماني رادون وذلك يطلق عليها اسم تحويل رادون [9]. إنها تصل بين توزيع الفعالية الثنائي الأبعاد  $A(x,y)$  المُعَبَّر عنه بالإحداثيات الديكارتية وبين التكاملات الخطية  $P(r,\alpha)$  المُعَبَّر عنها بالإحداثيات القطبية. التكامل الخطي هو مجموع كل الفوتونات المقاسة بمكشاف ينظر إلى الجسم بزاوية محددة  $\alpha$ . ويحدّد النظر الحقيقي للمكشاف بالإحداثيات القطبية  $r$  و  $\alpha$  (انظر أيضاً الشكل 7). لم تأخذ المعادلة (1) بعين الاعتبار الفوتونات الصادرة بالنشاط الإشعاعي، وإنما المنتصبة والمتبعثرة داخل الجسم. تعتمد كمية الامتصاص والتبعثر على كثافة وشكل نسيج الجسم وعلى الميزرات الفيزيائية للتكامل المشع. هنالك اختلافات معتبرة في معالجة هذه التأثيرات بالـ SPECT و PET. وفي حال إمكانية تجاهل هذه التأثيرات أو تصحيحها بشكل مقنع، فإن العمل للتوصل من بيانات الإسقاط المسجلة  $P(r,\alpha)$  إلى تركيز الفعالية المجهول  $A(x,y)$ ، أي حل المعادلة (1) بالنسبة إلى  $A(x,y)$  هو ذاته من أجل PET و SPECT. إن أكثر طرائق إعادة البناء استخداماً من أجل الحصول على  $A(x,y)$  هي الإسقاط الراجع المرشح [10]. وطبقاً لمصطلح الإسقاط الراجع فإن البيانات المسجلة من عدة معاينات  $\alpha$  يعاد إسقاطها باستمرار على المستوي  $x,y$ . على كل حال، يعطي تراكم جميع بيانات الإسقاط الراجع فقط صورة مشوشة عن توزيع الفعالية الحقيقي. ولذلك يجب تدقيق هذه البيانات باستخدام مرشح مناسب مثل المرشح الحدري الذي يَضْمَمُ مركبات التواترات العالية مفضلاً ذلك على التواترات المنخفضة (الشكل 4). تمثل الصورة الناتجة تركيز الفعالية المطلوب  $A(x,y)$ . إن الإسقاط الراجع المرشح في معظم التطبيقات هو طريقة إعادة البناء المختارة كما هو الحال في جميع الدراسات حيث تسجل كمية كافية من الفوتونات بواسطة مكاشيف إشعاعية وحيث يكون تباين الفعالية بين البنى المهمة المتجاورة غير عالي. وإذا لم يتم تحقيق هذين الشرطين، يصبح الناتج الصناعي المخطط (المقلّم) مرئياً. يمكن تجنب مثل هذا الناتج الصناعي بطريقة إعادة بناء بديلة تُحَسِّبُ صورة الفعالية بشكل تكراري بطريقة جبرية. يمكن اشتقاق هذه الطريقة من وجهة النظر الإحصائية والعديدية، وقد تم وصف الطريقة العديدة هنا بشكل مختصر. ووفق هذا المنهج يمكن إعادة كتابة المعادلة (1) كجداء مصفوفات:

جسم معاد بناؤه إسقاط رجعي



الشكل 4- مبدأ الإسقاط الرجعي المرشح. تكون بيانات الإسقاط المختلفة مسفطة رجعياً في مكان التصوير وفاقلة التراكم، منتجةً جسماً غير واضح يُستنبط منه الجسم المرغوب المعاد بناؤه المرغوب بعد استخدام ترشيح حدري.



الشكل 3- مبدأ قياس التطابق باستخدام حلقة من مكاشيف وميضية مع مكاشيف مقابلة مرتبطة بالإلكترونيات التطابق. يشير مخطط الجزء المتغير المحرق إلى إصدار بوزترون التكامل المشع  $^{18}F$  وإصدار فوتونين 511 keV بعد أن يجتمع البوزترون مع إلكترون.

الفوتونات يصدران في اتجاهين متعاكسين بطاقة مقدارها 511 keV، تطابق كل منهما الطاقة السكونية للإلكترون واحد. تُجمع المكاشيف الوميضية في الـ PET غالباً كحلقة. وإذا ما ضرب فوتونان من الزوج الفوتوني مكشافين من الحلقة خلال نافذة زمنية قصيرة جداً (مثلاً 12 نانو ثانية) يُفترض أن هذين الفوتونين ينتميان إلى عملية الفناء نفسها (قياس تطابق الشكل 3). ولهذا، يُعتبر موضع الذرة المشعة موجوداً على خط التوصل بين المكشافين (= تسديد إلكتروني). وبهذه الطريقة يتم الحصول على المعلومة المتعلقة باتجاه إشعاع -  $\gamma$  دون أي تسديد ميكانيكي. وقد استمر التسديد بين حلقات المكشاف المجاور حتى بضع سنين مضت، ولهذا كان توجيه إشعاع -  $\gamma$  يتم ضمن مستوي واحد مما يسمح بنمط اكتساب ثنائي الأبعاد (2D) فقط. توفر أجهزة التصوير المقطعي الطبقي PET الحديثة نمط اكتساب ثلاثي الأبعاد (3D) تتحد فيه مكاشيف الحلقات المتجاورة بواسطة إلكترونيات التطابق [6,7]. تُظهر مثل هذه المنظومات الثلاثية الأبعاد زيادة في الحساسية تفوق حساسية المنظومة الثنائية الأبعاد بثلاث مرات إلى خمس.

### إعادة بناء الصورة

لما كان التصوير المستوي، مثل التصوير الإشعاعي التقليدي أو التصوير الومضاني المستوي، يختصر التوزيع الثلاثي الأبعاد ضمن الجسم إلى معلومة مُسقطّة ثنائية الأبعاد، فإن إجراءات التصوير المقطعي الطبقي تعطي عرضاً تاماً ثلاثي الأبعاد. ومن أجل ذلك يجب اكتساب بيانات إسقاط من عدة معاينات حول الجسم يمكن الحصول عليها باستخدام حلقة من المكاشيف أو باستخدام كاميرا غاما واحدة - أو أكثر - تدور حول المريض [8]. إن العلاقة الأساسية التي تجمع بين بيانات الإسقاط المقاسة خارج الجسم وبين تركيز الفعالية داخل الجسم تعطى في المعادلة:

$$P(r,\alpha) = \int_{L(r,\alpha)} A(x,y) dl(r,\alpha) \quad (1)$$

عديدة. وعلى أية حال، تبدي بعض إجراءات إعادة البناء المكرر مثل طريقة ML-EM ضجيجاً عالي التواتر عند القيام بإجراء تكرارات عديدة، رغم أن تقارب الطريقة مضمون. وفوق ذلك، فإن زيادة الضجيج تعتمد على إنجاز البرنامج النوعي. ولتجنب مثل هذا الضجيج، اقترحت تعديلات لخوارزميات إعادة البناء و/أو معالجة تالية للترشيح. وفي كلتا الحالتين يصبح تميز الصورة أسوأ بحيث تتم زيادة تأثير الحجم الجزئي، ويمكن للدقة الكمية ل PET أن تنخفض [15].

طُوِّرت خوارزميات مناسبة ل 3D-FBT من أجل إعادة بناء بيانات مكتسبة مع نمط 3D، [17,16]. ورغم أنه لا يمكن حل المعادلة (1) بشكل صحيح من أجل حالة 3D، فإن عدة مقاربات من أجل 3D-FBF استخدمت بنجاح مع منظومات PET تجارية. وفي الوقت نفسه فقد بُرهن على أن دقتها الكمية أصبحت مرضية. وفوق ذلك من الممكن إعادة تخزين بيانات 3D في المخططات الجيبية بحيث يمكن إعادة بنائها كما هو معروف من نمط اكتساب 2D. وفي حالة إعادة تخزين شريحة مفردة يتم تجميع الإسقاطات المائلة في المخطط الجيبية 2D العائد إلى المستوى الذي تُقَاطع فيه الإسقاطات المائلة المحور المركزي. وتوزع طريقة إعادة التخزين المتعدد الشرائح الإسقاطات المائلة في المخططات الجيبية لهذه المستويات التي تُقَاطع بالإسقاط المائل [18]. تُطَبَّق طريقة إعادة تخزين فورييه (FORE) توزعاً موزوناً للمخططات الجيبية 2D بحيث تعتبر العلاقة بين المستويات المستقيمة والمستويات المائلة في الطريق الصحيح نظرياً [19]. يمكن إعادة بناء المخططات الجيبية 2D الناتجة عن طرائق إعادة التخزين المختلفة بواسطة الإسقاط الراجع المرشح التقليدي 2D أو بطريقة البناء المكرر.

### إجراءات التصحيح

يجب أن تكون المعلومات المتوفرة في صور SPECT أو PET المعاد بناؤها خطيةً للفعالية الأساسية، أي يجب أن يُمثَّل تركيز الفعالية المضاعف في نسيج معين بقيمة عنصورية مضاعفة في الصورة المعاد بناؤها. ومن ناحية أخرى، فإن الإشعاع الصادر بسبب الفعالية يكون مشوّهاً بعدة طرق قبل أن يصل إلى المكاشيف الومضية والإلكترونيات المكتسبة. ويمكن لأشعة -  $\gamma$ ، في طريقها عبر نسيج الجسم، أن تتعثر و/أو تُمتص (الشكل 5). وفوق ذلك، يمكن أن يؤدي الوقت الضائع للمكاشيف إلى نتائج خاطئة. يجب أن يؤخذ التطابق العشوائي في PET بعين الاعتبار (الشكل 5b). ومن أجل تأمين الخطية لقياس الإشعاع لا بدّ من تصحيح هذه التأثيرات [20].

### تصحيح التوهين

كما هو مبين في المعادلات التالية، يتعلق أحد الاختلافات الرئيسية بين SPECT و PET بتصحيح تلك الفوتونات التي تمّ امتصاصها داخل الجسم (الشكل 5).

تبدو معادلة الإسقاط ل SPECT على الشكل التالي:

$$P(r, \alpha) = \int_{L(r, \alpha)} A(x, y) \times \exp \left( - \int_{L(r, \alpha)} \mu(x, y) dl(r, \alpha) \right) dl(r, \alpha), \quad (4)$$

$$P_n = Z_{mn} a_m \quad (2)$$

حيث تدل  $P_n$  على مصفوفة تشمل جميع عناصر الإسقاط، وتمثل  $a_m$  بيانات الفعالية عند عنصورات الصورة  $m$  مثل توزيع الفعالية المجهول. تصف عناصر المصفوفة  $Z_{mn}$  الطريقة التي تساهم فيها حوادث التطابق الصادرة عن عنصورة الصورة  $m$  في الإسقاط المفرد  $P_n$ . وعموماً لا يمكن حل هذه المعادلة من أجل المصفوفة المجهولة  $a_m$ . وبدلاً عن ذلك يتم حلها بطريقة مغايرة مثل استعمال الخوارزمية كالتالي:

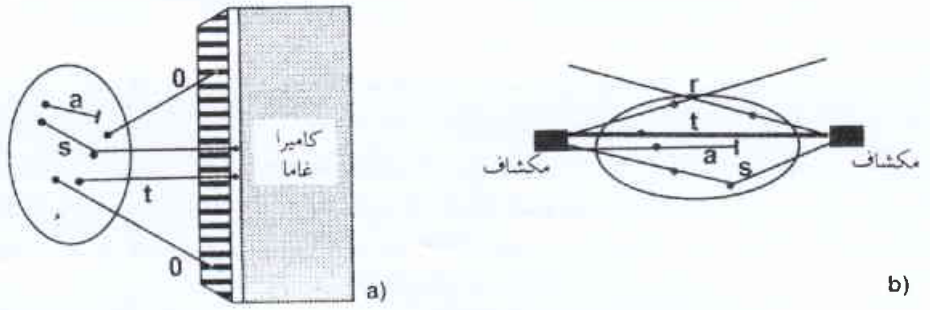
$$a_m^{n+1} = a_m^n \sum \frac{Z_{mn} P_n}{Z_{nm} a_m^n}. \quad (3)$$

تمثل هذه المعادلة طريقة الحد الأقصى المتوقع (EM) للاحتمال الأعظمي (ML) من أجل إعادة البناء المكرر [11]. يُنصح باستخدام إعادة البناء المكرر خاصة في حالة الإحصاءات المنخفضة والصور العالية التباين. كانت المثالب المبكرة لهذه الطريقة تتمثل في زمن الحوسبة الطويل جداً - وهي المشكلة التي حُلَّت بواسطة الحواسيب السريعة وبادخال بارامترات التسريع [12] بالإضافة إلى طريقة المجموعة الجزئية الموجهة [13]. إن الدقة الكمية المؤتمنة في إجراء ML-EM الأصلي قد لا تكون مضمونة من أجل الحلول الأخرى. وبالنظر في الأدبيات نجد الكثير من الاقتراحات المختلفة من أجل إعادة البناء المتكرر لتطبيقات كل من SPECT و PET قد نشرت في السنوات الأخيرة [14].

وكما تمّ توضيحه سابقاً يكون المرشح الحدري (الممر العلوي) هو جزء التكامل للإسقاط الراجع المرشح، ويوازن ميزات الممر السفلي لحد الإسقاط الراجع. ومن أخطر مساوئ ترشيح الممر العلوي تضخيم الضجيج الإحصائي الموجود في العذات المقيسة. ومن أجل هذا، يكون المرشح الحدري مقتصرأ على التواترات المنخفضة و/أو يُضَاعَف مع تابع نافذة مناسب لإضعاف ميزات الممر العلوي للمرشح الحدري. وكمثال على توابع النافذة هذه نافذة هان Hann، شب - لوغان Shepp-Logan، هامينغ Hamming، بارترزين Parzen أو بترورث Butterworth. وبالرغم من الترحيب بتخفيض الضجيج الإحصائي العالمي التواتر، فيجب على المرء أن يأخذ بالاعتبار أن تميز الصورة يصبح أسوأ إذا قورن باستخدام المرشح الحدري الأصلي. يؤدي تميز الصورة المنخفض إلى تخطيط أسوأ للتفاصيل الصغيرة وإلى تخفيض كمال الصورة. إن لتمييز الصورة المنخفض العائد إلى استخدام نافذة حدية التواتر عواقب مشابهة كاستخدام منظومة مكشاف بتمييز ذاتي منخفض. وفي الحالتين يزداد تأثير الحجم الجزئي. يسبب هذا التأثير تقديراً بخساً للفعالية الملاحظة القريبة من الفعاليات المنخفضة مغالاة تقدير قرب تراكيز الفعالية العالية، ويكون مناسباً بشكل خاص للبنى الصغيرة. ولتخفيض مثل هذه الأخطاء بالتوافق مع كبت كافٍ للضجيج يجب أن يتم اختيار توابع النافذة وحدّ التواتر الأعلى لها بعناية فائقة.

رغم أن إعادة البناء المكرر لايشمل مشكلة المرشح كما نوقش منذ قليل، إلا أن هنالك بعض الميزات الأخرى يجب أن تؤخذ بعين الاعتبار. وبصورة عامة، إن إعادة البناء المكرر تسمح بتمييز للصورة قريب لتمييز المسح الأمثل. على أية حال، يعتمد تميز الصورة النهائي عملياً على خوارزم إعادة البناء الفردي وعلى إنجاز النوعي. وهكذا يجب ضبط أداء التميز للبرنامج الفردي. تقول القاعدة العامة بأن التميز يصبح أفضل مع إعادة التكرار مرات

قياس PET كميًا. وإذا لم يتم هذا التصحيح، من أجل تقصير زمن الاكتساب في دراسات كامل الجسم مثلاً، يكون الحكم على نتائج PET كيفياً فقط. وعلاوة على ذلك، فإن الصور المعاد بناؤها في حالة عدم إجراء تصحيح التوهين تُظهر تشوهات خطيرة.



إن تراكيز الفعالية، التي تكون نفسها في داخل الجسم وعلى حدوده، قد صُوِّرت بشكل مختلف تماماً مع زيادة تقدير للفعالية على الحدود. كما أن

صورة ال PET بدون تصحيح التوهين ليست خطية. هنالك أسلوب جديد يهدف إلى تحقيق مسح نقل قصير جداً بدون فقد نسبة الإشارة إلى الضجيج، يكمن في استخدام مصدرات فوتونات مفردة بدلاً من مصدرات بوزترونات من أجل مصدر النقل. يمكن بهذه الحالة قياس عدّات أكثر في وقت أقصر بكثير. وإذا تمّ قياس النقل بواسطة مصدرات البوزترونات فقط، فسنحتاج إلى فوتون واحد من أجل معلومة النقل، ويُستخدم الفوتون الآخر فقط لتعريف خط الاستجابة (انظر الشكل 6). وإذا كان من الممكن تعيين خط الاستجابة بطريقة أخرى مثل تقني مسار مصدر النقل، فلا حاجة لمصدّرات البوزترونات. وبدلاً عن ذلك يمكن استخدام مصدّرات فوتونات مفردة لها الطاقة نفسها ولكن بعمر نصف أطول بكثير مثل مُصدّر الفوتونات المفردة  $^{137}\text{Cs}$  بطاقة فوتون تساوي 662 keV [21, 22]. وبالنظر لطاقة الفوتون الأعلى، فإن بيانات التوهين المقاسة تختلف عن تلك الصحيحة من أجل 511 keV رغم أن صورة النقل هي من الناحية العملية متطابقة وهنالك طريقة لتصحيح هذا الفرق تتمثل في تعديل عوامل التوهين المقيسة إلى طاقة الفوتون 511 keV. وهنالك طريقة أخرى تتمثل في تقطيع صورة النقل المعاد بناؤها وإدخال معاملات التوهين المعيارية من أجل مختلف النسيج. تؤدي الطريقة التي ذكرت أخيراً إلى معاملات توهين خالية من الضجيج AF. ويمكن باستخدام هذا الأسلوب تخفيض زمن النقل إلى عشر دقائق فقط من أجل خمسة مواقع طبقية. وفوق ذلك يتم تجنب التشوهات بين مختلف أجزاء الجسم.

وبعكس PET، فإن مسح النقل المعمول بـ SPECT لا يمكن مباشرة من تحقيق تصحيح التوهين بشكل دقيق لأن مسار التكامل  $L'(r, \alpha)$  الواصل بين نقطة الإصدار إلى سطح الجسم يبقى غير معروف. ولذلك، فإن معادلة الإسقاط من أجل SPECT [4] لا يمكن حلّها بصورة تحليلية، مثلاً بالإسقاط الراجع المرشّح. يهتّل حدّ التوهين تماماً في بعض التطبيقات بفرض  $\mu=0$ ، أي يعني عامل التوهين للهواء. ورغم هذا التبسيط فإن SPECT بدون تصحيح التوهين برهنت على أنها مفيدة جداً في كثير من التطبيقات السريرية، وبخاصة دراسات القلب، (انظر لاحقاً). ويمكن بالنظر إلى الدماغ أو التجويف البلطي تسويغ فرض ثبات  $\mu$ ، وهذا يعني أن قيمتها بالنسبة إلى الماء تبلغ  $0.154 \text{ cm}^{-1}$ . ويتطلب السماح بتصحيح التوهين السابق لإعادة البناء أن تكون بيانات الإسقاط حول المريض تماماً،

الشكل 5- إشعاع صالح ( $t = \text{صحيح}$ ) وغير صحيح يُرى بكاميرا غاما و/أو زوج مكشاف متطابق إشعاع مبهر ( $s$ ) وتطابقات عشوائية ( $r$ ). يُنص جزء من الإشعاع ضمن الجسم ( $a$ ). تقبل كاميرا غاما فقط تلك المعلومة ( $t$ ) التي تتطابق مع اتجاه ثقب المسدّد، بينما تُرفض بقية الفوتونات ( $0$ ).

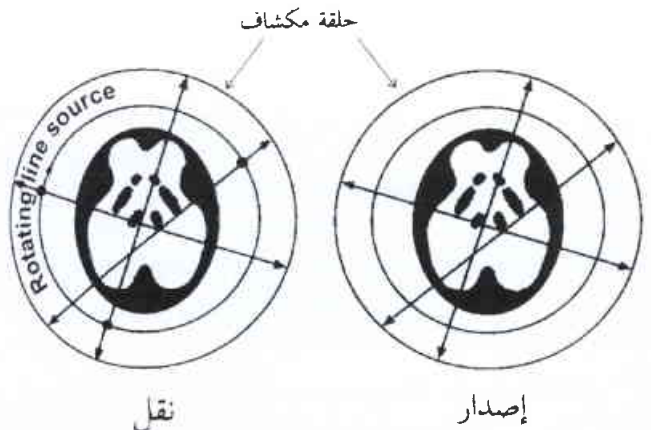
بينما تصف المعادلة التالية الإسقاطات الملائمة ل PET:

$$P(r, \alpha) = \int_{L(r, \alpha)} A(x, y) dl(r, \alpha) \times \exp \left( - \int_{L(r, \alpha)} \mu(x, y) dl(r, \alpha) \right) \quad (5)$$

$$AF = \exp \left( - \int_{L(r, \alpha)} \mu(x, y) dl(r, \alpha) \right) \quad (6)$$

$$P^{corr}(r, \alpha) = P(r, \alpha) / AF = \int_{L(r, \alpha)} A(x, y) dl(r, \alpha) \quad (7)$$

يوضح الشكل 6 العلاقات (5) - (7). الميزة الحاسمة ل PET هي أن التكامل على توزيع الفعالية  $A(x, y)$  والصيغة الأسية الحاوية  $\mu(x, y)$  هما حدّاً جداء يمكن تحديدهما على مرحلتين، واحدة تلو الأخرى. ولكي نصحح توهين الفوتون، يحدّد عامل التوهين (6) AF عادة بواسطة قياس النقل، مثلاً، عشر دقائق غالباً قبل حقن الواسم. ومن أجل هذا التصحيح يتم الحصول على المعادلة (7) لشكل صيغة تحويل رادون (1) ويمكن حلّها كما تمّ شرحه سابقاً. إن تصحيح التوهين أساسي إذا أُريد بأن يكون



الشكل 6- في ال PET يعطي قياس النقل عوامل التوهين للتصحيح من أجل الامتناس على الخطوط نفسها التي يسجل فيها مسح الإصدار حوادث التطابق.

نجد BGO في معظم مساحات PET لأن كثافتها أكثر ملاءمة من أجل طاقة 511 keV لفوتونات PET من تلك التي لـ NaI.

ونظراً لاستحالة استبعاد جميع الفوتونات المتبعثرة بواسطة تمييز الطاقة، كان من الضروري تطبيق معالجات إضافية للتصحيح. اقترح العديد من الطرائق المختلفة. أسهل الطرائق هي في تعديل تصحيح التوهين من المرتبة الأولى باستخدام  $\mu$  مساوياً  $0.12 \text{ cm}^{-1}$  بدلاً من  $0.154 \text{ cm}^{-1}$ . ويتضعف تصحيح التوهين يكون تضمن تصحيح التبخر ممكناً بطريقة ما. إن الأسلوب الرئيس هو في تقنية النافذة الثنائية الطاقة. وهنا تسجل البيانات في نافذة الذروة الفوتونية بالإضافة إلى تسجيلها في النافذة التي تغطي توزيع كومبتون. يفترض أن الفوتونات المتبعثرة  $p_{\text{Compton}}$  المقيسة داخل نافذة كومبتون وداخل الذروة الفوتونية لها نسبة ثابتة  $\kappa$ ، ولهذا يمكن إجراء التصحيح طبقاً لـ:

$$p^{\text{corr}} = p^{\text{pp}} - \kappa \cdot p_{\text{Compton}} \quad (10)$$

حيث تدل  $p^{\text{pp}}$  على جميع الحوادث - غير المتبعثرة والمتبعثرة - المسجلة داخل الذروة الفوتونية [25]. المشكلة الأساسية هي أن  $\kappa$  تابعة للجسم تماماً. وبالإضافة إلى هذه الطريقة السهلة طورت طرائق تصحيح أكثر تعقيداً [26 - 28] مما أدى إلى تحسين مهم في الدقة الكمية لـ SPECT في كثير من التطبيقات.

رغم أن الأساس هو نفسه فإن مشكلة التبخر في PET تختلف في بعض المظاهر عن تلك الموجودة في SPECT. فطبقاً لطاقة الفوتون الأعلى، تكون كمية الفوتونات المتبعثرة أقل. ومن ناحية أخرى تقدم مساحات PET الحديثة نمط اكتساب - 3D، حيث تراجع الحواجز التي تمنع التبخر وبذلك يمكن أن يتم تبخر 50% من التطابقات المقيسة. تستخدم إحدى طرائق التصحيح نمط تبخر كلاين - نيشينا Klein-Nishina وتتطلب قياس النقل الإضافي لتجميع معلومات عن المادة المتبعثرة [26]. اقترح إجراء أسهل من قبل ستيرنز Stearns [30]. يقاس من أجل نمط قياس 2D منبع نقطي في الهواء وفي الماء، حيث يمكن نمذجة تابع تبخر وتطبيق نمط تصحيح قائم على طرح التفاضلي [31]. ويمكن رغم التصحيحات أن يوجد جزء تبخر متبقٍ يبلغ 5% إلى 10%. تكمن المشكلة النوعية من أجل 3D-PET في الإشعاع المتبعثر القادم من خارج حقل الرؤية. ويجب هنا أن تكون الطريقة المثلى هي أسلوب الطاقة الثنائي المطبق على كل عنصر مكشاف، والذي يحتاج مع ذلك إلى زيادة معتبرة في كلفة الإلكترونيات.

### تصحيح الوقت الضائع

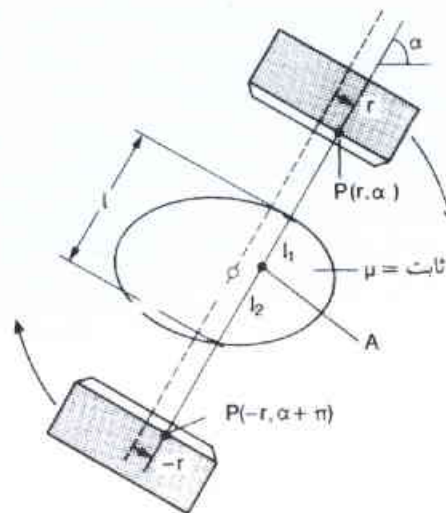
تُظهر جميع المكاشيف الومضانية تأثير الوقت الضائع إذا كانت سرعة العدّ المقيسة عالية. يتعلق الوقت الضائع بجميع الفوتونات (غير المتبعثرة والمتبعثرة) المرئية في المكاشيف. ولتصحيح الوقت الضائع يتم إجراء قياس معايرة يربط العدّ الناتج من مصدر فعالية مع الفوتونات المقيسة فعلاً حقيقة بواسطة نسائك مكاشيف مفردة. أما بالنسبة إلى PET فإن الوقت الضائع لا يتعلق بمعدّل التطابق فقط بل بجميع الفوتونات التي تتضمن أيضاً الفوتونات الناتجة من الفعالية خارج حقل الرؤية.

ثم تُوسط هندسياً المناظر المقابلة (الشكل 7). وبسبب هذا التجميع ويفرض أن  $\mu$  ثابتة من أجل إعادة بناء قسم التصوير المقطعي الطبقي يمكن اشتقاق العامل التالي AF من أجل ما يسمى بتصحيح التوهين من المرتبة الأولى [23].

$$AF = (1 - \exp(-\mu l)) / \mu l \quad (8)$$

وبهذا تكون معادلة الإسقاط من أجل هذه المقاربة على الشكل:

$$p^{\text{corr}}(r, \alpha) = p^{\text{geo}}(r, \alpha) / AF = \int_{l_1(r, \alpha)}^{l_2(r, \alpha)} A(x, y) dl(r, \alpha) \quad (9)$$



الشكل 7- مبدأ الإسقاطات المتعاكسة من أجل تحقيق تصحيح توهين المرتبة الأولى لبيانات SPECT.

ونجد في المشابه هنا إلى PET أن الإسقاط الراجع المرشح يجمع الإسقاطات إلى نصف الدائرة الواحدة فقط. وبالاستناد إلى هذا الأسلوب طُوّر تصحيح التوهين من المرتبة الثانية من أجل بيانات SPECT، بإدخال خطوة معالجة واحدة أو أكثر (بالتقريب التكراري) من أجل زيادة الدقة في التصحيح [24].

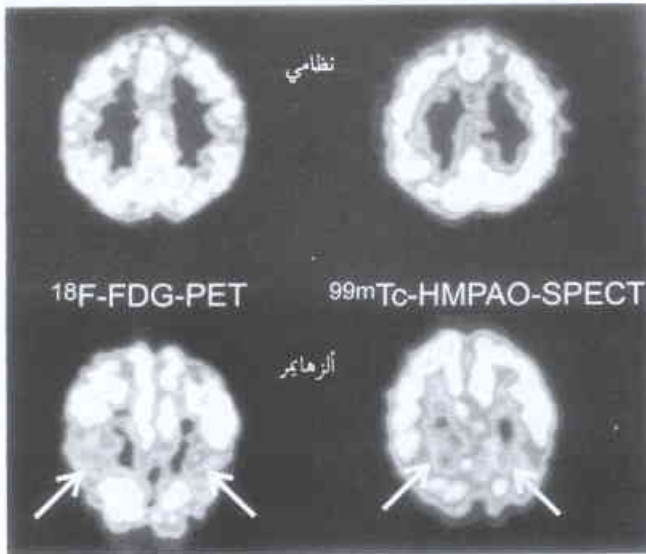
### تصحيح التبخر

يمكن للفوتون أن يغيّر اتجاهه داخل الجسم بسبب تبخر كومبتون كما هو واضح في الشكل 5. تسبب مثل هذه الفوتونات خلفية منخفضة التواتر وتخفف التباين في الصورة. وتكمن الوسائل الرئيسة لحذفها بتمييز الطاقة. ينتج عن تبخر كومبتون فقدان في الطاقة ولهذا تسهم الفوتونات في توزيع كومبتون المبيّن في الشكل 2. يعرف تمييز الطاقة الإلكتروني نافذة الطاقة حول الذروة الفوتونية حيث تكون العتبة الأخفض في الفصل بين الفوتونات المتبعثرة والفوتونات غير المتبعثرة. ويوجد دوماً كما هو مبيّن في الشكل 2 تراكب صغير. ومن جهة أخرى يجب أن توضع عتبة الطاقة الأخفض بشكل لا تكون فيه عالية جداً حتى لا يتم فقد الكثير من الفوتونات اللامتغيرة ومن الحساسية. إن عرض نافذة الطاقة المعبر عنه بالنسبة المئوية لطاقة الذروة الفوتونية يعتمد على خرج الضوء للمادة البلورية الومضية. وعلى هذا الأساس فإن NaI المستخدم من أجل SPECT ملائم أكثر من BGO. وبالرغم من نافذة طاقتها أعرض فإننا

الميزة النوعية لـ SPECT هي في إمكانية دراسات الواسم المتعدد حيث تحقن الصيدلانيات المشعة المختلفة، التي لكل منها نكليد مشع آخر (وطاقة  $\alpha$  منفصلة)، في الوقت نفسه أو معاً. تسمح كاميرات - غاما عملياً بدراسات نافذة متعددة مع نوافذ طاقة مختلفة مما يتيح إمكانية فصل النكليدات المشعة.

### SPECT في الأمراض العصبية

يُستخدم أغلب تصوير SPECT للدماغ HMPAO [34] أو ECD [35]، الموسوم بـ  $^{99m}\text{Tc}$  (وأحياناً  $^{123}\text{I}$ -IMP حتى الآن [36] في اليابان خاصة) لاقتفاء جريان الدم الدماغى الموضوعى (rCBF). وغالباً ما يجري البحث عن انخفاض الـ rCBF حيث أن ذلك يحصل عند وجود اضطرابات مختلفة في الدماغ. يبين الشكل 8 مثلاً نموذجياً لتشخيص مرض الزهايمر Alzheimer. يوجد في خرف الزهايمر شكل نموذجي من الإرواء القليل في منطقة قشرة العظم القذالي الجداري ويمكن أن يساعد في التشخيص التفاضلي من بين الأنواع الأخرى من الخرف. وأيضاً يثبت rCBF-SPECT قيمتها في الصرع [37]. وإذا ما أخذت rCBF-SPECT بين نوبتين مرضيتين من الصرع (inter-ictal) فإن الانخفاض الموضوعي لتمثل أو أخذ الواسم يؤخذ بعين الاعتبار لكونه متوافقاً مع بؤرة الصرع. وعلى أية حال، إذا ما تمت الدراسة أثناء - أو بعد نوبة الصرع مباشرة (ictal أو حول الـ ictal بالترتيب) فعندئذ يُستدل على بؤرة الصرع بزيادة جريان الدم. وقد تمّ تبيان أن طرح صور الـ interictal من صور الـ ictal يؤدي إلى حساسية في التشخيص أفضل [38]. وتستطيع rCBF-SPECT أن تبين بعد الاحتشاء الدماغى مباشرة تغيرات الإرواء، بالرغم من بقاء CT طبيعياً. وفي مرحلة متأخرة تشير المناطق التي أظهرت نقصاناً في rCBF إلى عجز وظيفي بسبب نقص الدخول (المورد) من المنطقة المحتشية.



الشكل 8- بالمقارنة مع جسم طبيعي هنالك فعالية إشعاعية أقل في قشرة العظم القذالي الجداري لدى مريض مصاب بمرض الزهايمر (الأسهم). يمكن تبيان هذه النتيجة بـ SPECT باستخدام  $^{99m}\text{Tc}$ -HMPAO (الذي يدل على نقصان في تدفق الدم) بالإضافة إلى  $^{18}\text{F}$ -FDG-PET (وهو يدل على نقصان متوافق لاستقلاب الغلوكوز).

### التصحيح من أجل التطابقات العشوائية

إن هذا النوع من التصحيح نوعي من أجل PET. يحصل التطابق العشوائي إذا كان فوتونان مفردان منتسبان إلى إصداري بوزترون مختلفين قد جرى تسجيلهما بمكشافين متعاكسين ضمن نافذة زمن التطابق واعتبرا بصورة زائفة كحادث تطابق (الشكل 5b). تسبب التطابقات العشوائية خلفية منخفضة التواتر. يوجد إجراءان لتصحيح التطابقات العشوائية. تستخدم الطريقة القائمة على المكونات hardware نافذة زمن التطابق المتأخر الذي يملك الطول نفسه لنافذة التطابق الأصلية. تعتبر جميع التطابقات التي جرى عدها في المجال الثاني عشوائية وتطرح مباشرة من التطابقات المقيسة (فوراً). تنجز الطريقة الثانية تصحيحاً محسوباً [32]. تقاس في هذه الحالة أيضاً معدلات العدّ المفردة للمكاشيف الوحيدة  $S_i$  ويعرف معدلات العدّ هذه وأمد نافذة زمن التطابق  $\tau$  تعطى التطابقات العشوائية R بالعلاقة:

$$R = 2\tau S_i S_j \quad (11)$$

التي تطرح من التطابقات المقيسة كخطوة سابقة لإعادة البناء.

### تطبيقات SPECT

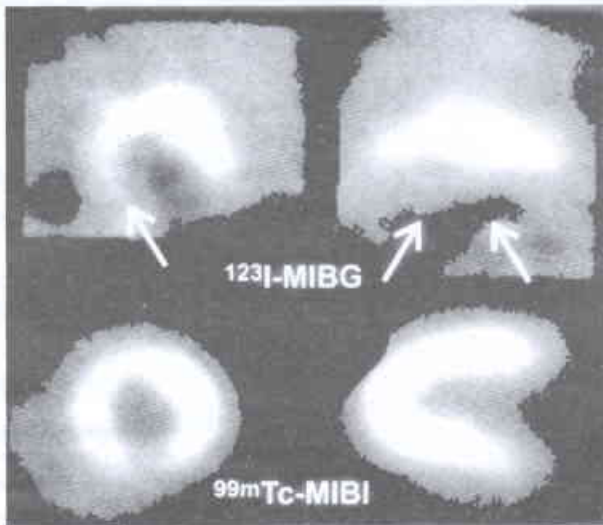
يمكن أن تتوفر التطبيقات السريرية الوثيقة الصلة بتصوير SPECT من أجل جميع أعضاء الجسم عملياً بدءاً من الدماغ إلى الرئة والقلب والكبد ونزولاً حتى القدمين. وتشير معظم النشرات عند النظر في الأدبيات إلى مشاكل الأمراض القلبية والعصبية. تتجلى الميزة النوعية لـ SPECT في أن زمن الاكتساب لـ SPECT مع مكاشيفه الدوّارة ببطء حول المريض أطول مما هو في منظومات المكشاف الحلقي PET - الشرط الأساسي لـ SPECT هو أن توزيع الصيدلانيات المشعة المحقونة في المريض يبقى عملياً مستقرّاً أثناء دوران المكشاف حول المريض. ولهذا يجب أن تعطى هذه الصيدلانيات المشعة وفق الحاجة فقط حيث أن التخلص منها بعد أخذها في العضو يكون بطيئاً.. وفوق ذلك، يجب أن يكون عمر النصف للنكليد المشع طويلاً بصورة كافية. يمكن أن يكون زمن التدوير من أجل الاكتسابات الدينامية، البالغ 2 دقيقة، مناسباً لتسجيل إطار زمن مفرد بواسطة منظومة SPECT الثلاثية الرأس، التي تعطى مثلاً صورة ساكنة عالية النوعية في 15 دقيقة.

يقترن نجاح الطب النووي بصورة عامة، وكذلك نجاح SPECT، اقتراناً قوياً بالنكليد المشع الصناعي، وأعني  $^{99m}\text{Tc}$ . فهو يصدر إشعاع فوتون مفرد وحيد الطاقة 140 keV (انظر الشكل 2). وفوق ذلك فإن لـ  $^{99m}\text{Tc}$  عمر نصف مناسباً يبلغ حوالي ست ساعات ( وهذا ليس قصيراً جداً لغرض التخزين والتصوير وليس طويلاً جداً من أجل مقياسية الجرعة)، وهو يتلاءم مع منظومة التوليد التي تعطى أسبوعياً إلى الزبون [33]. ولهذا فإن منظومة SPECT، وبالعكس PET، لا تعتمد على وجود سيكلوترون قريب. لقد طوّرت صناعة الصيدلانيات المشعة على مرّ السنين عدة عتائد تحوي مركبات مولّدة طبيعية موسومة بـ  $^{99m}\text{Tc}$ . وبالإضافة إلى ذلك، هنالك مُصنّرات فوتونات أخرى مستخدمة مثل  $^{123}\text{I}$  أو  $^{201}\text{Tl}$  التي يبلغ عمر نصفها 13.2 ساعة و 3 أيام بالترتيب.

منخفض للمقنفي أثناء دراسة الجهد مع طلب الطاقة المتزايد. يحرض الجهد بالممارسة الرياضية أو بحقن الدوبوتامين. يمكن استخدام مقنفيات لإرواء العضلة القلبية أيضاً لتتبع النتائج بعد عملية الجرى الجانبي أو رأب الوعاء التاجي اللمعي الجلدي (PTCA). وتتجلى ميزات مقنفيات الإرواء الموسومة بـ  $^{99m}\text{Tc}$  عند مقارنتها بعوامل التصوير المعيارية السابقة، بنوعية التصوير الأفضل وملاءمة ناتج المولد  $^{99m}\text{Tc}$ .

صممت الحموض الدسمة الموسومة - $^{123}\text{I}$  لفحص استقلاب طاقة العضلة القلبية القائمة على أساس أكسدة الحموض الدسمة بحوالي 60% من  $^{123}\text{I}$ -HDA [49]، و  $^{123}\text{I}$ -BMIPP [50]، و  $^{123}\text{I}$ -pPPA [51]، وطبقت كأداة للتحري عن الأشخاص المصابين باعتلال عضلة القلب [52].

يجري فحص اضطرابات تعصيب العضلة القلبية التلقائي، والتي توجد مثلاً في اعتلال عضلة القلب المتعددة وزراعة القلب والداء السكري بـ  $^{123}\text{I}$ -MIBG [53] (الشكل 10).



الشكل 10- يشير انخفاض أخذ  $^{123}\text{I}$ -MIBG في العضلة القلبية الخلفية إلى عدم انتظام الأعصاب القلبية الذاتية لدى مريض بالسكري. يعرض واسم الإرواء  $^{99m}\text{Tc}$ -MIBI الإرواء النظامي.

### SPECT في علم الأورام

بالرغم من أن تشخيص وتتبع أورام الأمراض الخبيثة هو في المقام الأول من عمل علم الأشعة المستوية CT و MRT أو فوق الصوتية، فإن الطب النووي يستطيع أن يساعد في حالة النتائج غير الواضحة وفي توصيف نوع الورم باستخدام قدرته النوعية في الاستقلاب والمستقبل والتصوير المستبعد. ومن أمثلة ذلك نقائل خزن اليود في الأورام الخبيثة الدرقية ونقائل العظم الحساس للفسفات الناتج عن كثير من السرطانات. أن يكون التصوير المستوي في كثير من الحالات كافياً، في حين يكون SPECT ضرورياً لتحسين التخطيط المكاني. وبعكس PET التي تقدم  $^{18}\text{F}$ -FDG لتصوير أنواع مختلفة وكثيرة من الأورام، فإن على SPECT أن يختار ذلك المقنفي الذي يكون مناسباً من أجل نوع الورم الموضوع

وبالرغم من هيمنة الـ PET أصلاً، فقد اكتشف المزيد من دراسات في النواقل العصبية في أدبيات SPECT. ومعظم هذه المركبات موسومة بـ  $^{123}\text{I}$ . إن حجم هذه الذرة مناسب لتحل محل مجموعة الميتيل أثناء الوسم الكيميائي الإشعاعي. وبعكس PET، حيث الوسم بـ  $^{11}\text{C}$  لا يغير السلوك الكيميائي الحيوي للمستحضر الصيدلاني، فإنه يجب أن تأخذ بعين الاعتبار سلوكاً بديلاً عند استخدام  $^{123}\text{I}$ . يمكن أن يكون عمر النصف الطويل لـ  $^{123}\text{I}$  ميزة على PET لأنه يمكن عمل مسح SPECT بعد عدة ساعات من الحقن، وهذا ما يمكن أن يكون ملائماً في بعض التطبيقات. إن  $^{123}\text{I}$ -β CIT المقنفي لنقل الدوبامين المخي مثال حديث على ذلك. لقد أظهر هذا المقنفي صورة مثالية بعد يوم من الحقن. يعطي  $^{123}\text{I}$ -β CIT نتائج مشابهة للمقنفي PET وهو  $^{18}\text{F}$ -L-Dopa وذلك بإظهاره تمثلاً منخفضاً في المرضى المصابين بمرض باركنسون [39]. ومن المقنفيات الموسومة بـ  $^{123}\text{I}$  لمربوطات المستقبلات دوامين  $^{123}\text{I}$ -IBZM<sub>2</sub> [40] أو  $^{123}\text{I}$ -IBF [41] ومربوطة المستقبل بنزوديازيبين المركزية  $^{123}\text{I}$ -ايومازينيل [42]. لقد جرى اختبار هذه المقنفيات في العديد من الاضطرابات العصبية والنفسية [43]. اقترح في السنوات الأخيرة العديد من مقنفيات النقل العصبي الأخرى الموسومة بـ  $^{123}\text{I}$  والتي لا يمكن تفصيلها هنا.

لقد برهن  $^{123}\text{I}$ MT، الحمض الأميني الموسوم إشعاعياً، أنه مفيد جداً في تخطيط أورام الدماغ [44] معطياً نتائج مشابهة كمقنفي PET ميثيونين - $^{11}\text{C}$  (الشكل 9) [45]. وبالمقارنة مع الغلوكوز المنقوص الأكسجين الموسوم بـ  $^{18}\text{F}$  FDG (انظر لاحقاً)، يمكن الحصول على معلومات متممة حول امتداد الورم.



الشكل 9- يبين SPECT أحداً متزايداً من حمض أميني موسوم إشعاعياً في ورم النجميات من الدرجة الثانية باستخدام  $^{123}\text{I}$ -α ميتيل تايروزين بالإضافة إلى PET باستخدام الحمض الأميني الطبيعي ميثيونين الذي يبقى غير متغير من الناحية الكيميائية الحيوية عند وسمه بـ  $^{11}\text{C}$ .

### SPECT في الأمراض القلبية

في الروتين السريري الذي يتم يومياً، تتعامل معظم دراسات SPECT مع القلب. ولاتزال تستعمل هنا المقنفيات المشعة مثل  $^{99m}\text{Tc}$ -MIBI [46] وتروفيوسمين -  $^{99m}\text{Tc}$  [47] وحتى TL 201 لإرواء العضلة القلبية وبخاصة إذا كان هنالك إشارات لمرض انسداد الشريان التاجي مثل الذبحة الصدرية. والبروتوكول المعروف هو في جمع دراسة الراحة مع دراسة الجهد بحيث تُخطَّط أو تُصوَّر المناطق السيفة التروية بامتصاص

تحت البحث كما هو مبين في الأمثلة التالية: أو كترنويد  $^{111}\text{In}$  ملائم من أجل تصوّر مستقبل الستاتين الجسدي الذي يعبر عن الورم [54]. يستخدم  $^{123}\text{I}$ -MIBG أيضاً في تشخيص مرض القواتم وورم الأرومة العصبية [55]. طُبّق  $^{67}\text{Ga}$  لتتبع معالجة الأورام اللمفاوية [56] وسرطان الرئة [57]. وفوق ذلك فإن التخطيط الومضاني المناعي للأورام يقوم على كثير من المضادات الوحيدة النسيلة المختلفة الموسومة بـ  $^{99\text{m}}\text{Tc}$  أو  $^{123}\text{I}$  أو  $^{111}\text{In}$  [58].

### تطبيقات SPECT الأخرى

استخدمت SPECT أيضاً لدراسة أمراض الكبد باستخدام غروانيات كبريت  $^{99\text{m}}\text{Tc}$  [59] و  $^{99\text{m}}\text{Tc}$ -GSA [60]. جرى تصوير الوعائيم الدموي الكهفي في الكبد والشذوذات الوعائية في البطن بواسطة خلايا الدم الموسومة بـ  $^{99\text{m}}\text{Tc}$  [61 و 62]. أنجزت دراسات SPECT في الكلية بواسطة  $^{99\text{m}}\text{Tc}$ -DSMA كمؤشر على أداء الأنبوب الكلوي [63]. طُبّق  $^{67}\text{Ga}$  في مجالات مختلفة مثل سرطان الرئة [57] وفي الورم اللمفاوي بعد المعالجة [56] وفي الأحماع المختلفة [64]. لقد قدمت SPECT معلومات مهمة في التشخيص والإنذارات من أجل مشاكل تقويم الأعضاء المتعلقة بالأطراف السفلى [65].

### تطبيقات PET

غالباً ما تعتبر PET أداة بحث مكلفة جداً لكي تصبح ذات أهمية عامة من أجل استخدامها في الروتين السريري. يصبح التغيير في هذا الوضع واضحاً بازدياد الانتشار العالمي السريع للمسحات PET من عدة دزينات عام 1990 إلى أكثر من 300 دزينة عام 2000. إن عمر النصف لأغلب مصادر البوزترونات المستخدمة الذي يتراوح من 2 دقيقة من أجل  $^{15}\text{O}$  و 10 دقائق من أجل  $^{13}\text{N}$  و 20 دقيقة من أجل  $^{11}\text{C}$  إلى 109 دقائق من أجل  $^{18}\text{F}$ ، كما أن الحاجة لسكوترون مجاور لإنتاج هذه التكليدات المشعة هي أحد الأسباب لتوسع PET البطيء نسبياً. ومن ناحية أخرى يبرهن الفلوكوز المنقوص الأكسجين الموسوم بـ  $^{18}\text{F}$  (FDG) أنه ملائم تماماً في كثير من التطبيقات السريرية ويمكن شحنه من السكوترون إلى موقع PET ضمن نصف قطر يبلغ مئات الكيلومترات. ومنذ عام 1979 فإن FDG الذي يعود إلى عمل سوكولوف Sokoloff بالفلوكوز المنقوص الأكسجين الموسوم بـ  $^{14}\text{C}$  [66] من أجل دراسة استقلاب الفلوكوز الحي، استخدم بنجاح في الأمراض العصبية والأمراض القلبية وفيما بعد في علم الأورام خاصة.

### PET في علم الأورام

يستطيع FDG-PET في كثير من الأورام المختلفة أن يُظهر الأورام الحبيبة المرتدة وانتقالها وفي بعض الأحيان الأورام الأولية المجهولة، أفضل من الوسائل العلاجية الأخرى كـ CT أو MRT [67]. وفوق ذلك فإن FDG-PET مفيد في تتبع العلاجات الإشعاعية والكيميائية عندما تشير علامات الورم الدموي إلى وجود ارتدادات أو انتقالات لا يمكن وصفها أو تبيانها بـ CT أو MRT. تشكل هذه الميزات السبب الرئيس للانتشار العالمي السريع لـ PET. يبيّن الشكل 11 مثلاً على صورة الانتقال الذي لا يرى في أية طريقة أخرى.

الشكل 11- يُظهر فحص جميع الجسم بالتصوير المقطعي الطبقي PET بعد الحقن بـ FDG ثلاثة انتقالات ورمية (الأسهم) من سرطان البروستات التي لا تظهر بإجراءات التصوير الأخرى.

### PET في الأمراض العصبية

كان الاستخدام الأولي لـ FDG في الدراسات البحثية والسريرية للدماغ [68 و 69]. ولما كان الدماغ يتلقى 90% من طاقته بأكسدة الفلوكوز، فإن مضاهي الفلوكوز FDG قادر أن يبيّن القصور أو الفرط في الوظائف. وُجد النقص في أخذ FDG الذي يشير إلى قصور وظيفي في الدماغ في حالة الصرع (الشكل 12)، وفي الاحتشاء وفي الحرف [70]. وبسبب التزاوج الوثيق بين جريان الدم الدماغية واستهلاك الفلوكوز الدماغية في الأنسجة الطبيعية [71]، وكذلك في أمراض عديدة، فإن الهدف من FDG-PET شبيه بدراسات الإرواء بطريقة SPECT. وبالرغم من أن العديد من هذه الدراسات يستخدم SPECT في الوقت الحاضر، فإنه لا يزال هناك حاجة إلى PET إذا بقيت المشكلة الخاصة تتطلب صورة عالية الميز من PET. ويمكن أن تكون هذه هي الحالة عندما نبحث عن بؤرة صرع صغيرة قاصرة الاستقلالية [37].

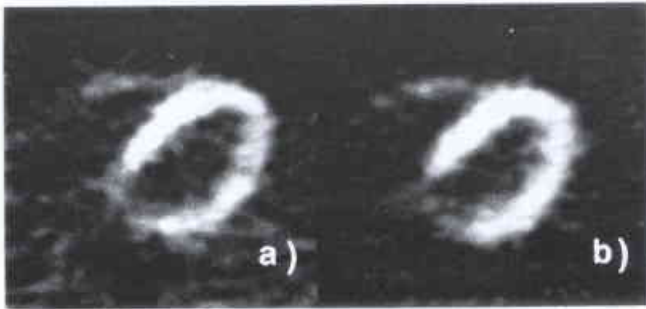
وإذا أصبحت أجزاء من الدماغ نشطة جداً بالمقارنة مع الأجزاء الأخرى بسبب تحريض خارجي أو عقلي، فيمكن وصف أو تبيان هذه المناطق من فرط الوظيفة بازدياد الأخذ لـ FDG. استخدمت مثل هذه التحريات، في السنوات الأخيرة، الماء -  $^{15}\text{O}$  أو بوتانول -  $^{15}\text{O}$  بحيث



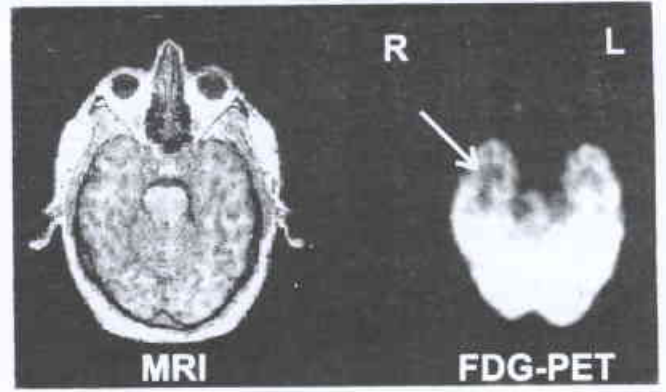
الحركية، وكذلك في الاكتئاب وانفصام الشخصية [74 - 77]. حيث أن المعرفة الأولية عن منظومة الناقل العصبي تكون مطلوبة في الأبحاث على الحيوانات أو في الدراسات ما بعد الموت. يمكن ل PET أن يؤكد هذه النتائج في الجنس البشري في الحلي. يحقق الوسم الإشعاعي عادة بمصدر البوزترون  $^{11}\text{C}$  (عمر النصف = 20 دقيقة) ولذلك فإن الميزات الكيميائية الحيوية (البيوكيميائية) لجزيئات الناقل الموسوم لا تتغير [78]. يقود التحليل الحركي للمقتفي لبيانات PET إلى تعيين كمون الارتباط وكثافة المستقبلات العصبية وإلى ألفة الارتباط بين المستقبل والعقار. وصل قليل من رباطات النواقل العصبية فقط إلى ما له صلة بالموضع السريري مثل  $^{18}\text{F}$ -L-Dopa الذي يساعد على التشخيص التفاضلي لمرض باركنسون وفي تتبع المعالجة [79]. ومن مواضيع البحوث المفيدة جداً مع إمكانية التطبيقات على الروتين السريري، هنالك دراسة التأثير بين المستحضرات الصيدلانية النفسية ومركبات PET النوعية مثل رباط المستقبل دويامين راكلوبريد -  $^{11}\text{C}$  ورباط مستقبل الطاقة المصلية ألتانسرين [81].

### PET في الأمراض القلبية

الحقل الثالث السريري الذي نجحت فيه طريقة PET هو علم الأمراض القلبية. فاستخدام مؤشرات جريان الدم مثل  $^{13}\text{NH}_3$  [82] أو ماء  $^{12}\text{O}$ - [83] أو  $^{82}\text{Rb}$  [84] أنجزت دراسات الجريان القلبي بصورة مشابهة لما تم في SPECT (الشكل 14) [85]. ورغم أن PET تعطي مميزات أفضل وهي ملائمة تماماً للجمع بين دراسة الراحة ودراسة الجهد مستخدمة نظائر قصيرة العمر، فإن هذه النظائر قد حجبت الاستعمال الواسع الانتشار لهذه الطريقة نظراً لضرورة وجود سيكلوترون مجاور أو مولد عالي الثمن (من أجل  $^{82}\text{Rb}$ ). والأكثر أهمية في ما يظهره استخدام PET في الأمراض القلبية هو التعرف على النسيج القابل للحياة أو النمو في جوار الاحتشاء [86]. ولما كان نسيج العضلة القلبية القليلة الارتواء قرب الاحتشاء يظهر أخذاً عالياً نسبياً من FDG، فيمكن استخدام هذه النتيجة في تقرير ما إذا كان النسيج لا يزال قابلاً للحياة بحيث سيستفيد من التدخل العلاجي كجراحة الإمرار الجانبي أو PTCA. وإذا كان احتشاء العضلة القلبية غير قابل للشفاء، فلا ضرورة لمثل هذا التدخل العلاجي. وكما رأينا سابقاً في SPECT، تُستخدم الحموض الدسمة

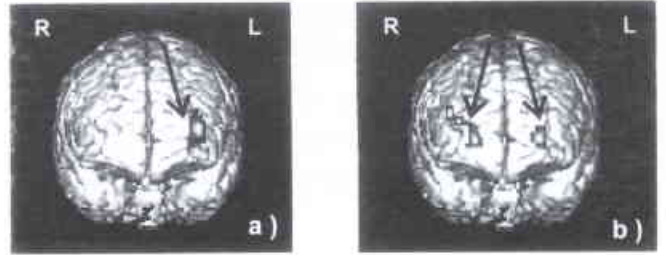


الشكل 14- صور PET لأخذ عضلة القلب من المقتفي  $^{13}\text{N}$  أمونيا جريان دم قلب لمقطع طبيعي عند الراحة (a)، وأثناء حقن ثنائي بيريدامول (b) الذي يزيد من جريان الدم بما يشبه الممارسة الرياضية. يُرى تزايد جريان الدم بشكل خاص بواسطة الحفلية الأدنى.



الشكل 12- بصور النقصان في FDG في مجال الفص الصدغي الأيمن بؤرة الصرع المشكوك فيها لمرضى يعاني من التوبة المرضية. لا يبين التصوير المقطعي الطيفي ذو التجاوب المغناطيسي (MCI) أي اضطراب.

يمكن قياس تتابع التحريض وفقاً للاضمحلال السريع للتكسيد المشع  $^{15}\text{O}$  ذي العمر القصير (مثلاً 1- راحة، 2- حركات بطيئة لإبهام اليد، 3- حركات أسرع لإبهام اليد، 4- حركات سريعة جداً لإبهام اليد). تتوزع هذه المقتفيات بعد الحقن ضمن الأوردة خلال الدماغ بصورة مترابطة مع rCBF. أنجزت المئات من هذه الدراسات من قِبَل علماء الأعصاب بحيث أن كثيراً من التفاصيل الخاصة بالمنظومات الحركية والحسية بالإضافة إلى عمليات الإدراك الأعلى يمكن تصورها وتبينها. يبين الشكل 13 مثلاً على هذه الدراسة التي تتطلب التعلم والذاكرة [72]. وبالإضافة إلى العديد من المسائل المتعلقة بالبحوث الأساسية فإن الدراسات المتعلقة بالنشاط العصبي يمكن أن تكون مفيدة للمريض الفرد. فمثلاً، من الممكن تبيان لغة مهمة أو مساحات تحكم آلي في جوار روم الدماغ الخبيث قبل أن ينتقل بفعل الجراحة.



الشكل 13- عند التعلم (a) لأزواج الكلمات غير المترابطة (مثل بيت -نهر، يانو - شارع) نجد هنالك حداً أعظماً من تزايد في جريان الدم في القشرة الجبهوية اليسرى (السهم). ونجد أثناء الاسترجاع (b) لجزء من أزواج الكلمات فعالية إضافية في القشرة الجبهوية اليمنى (السهم). تُعرض فقط نهاية عظمى من ازدياد جريان الدم على المنظر السطحي لصورة MRI المعيارية.

هنالك المئات من المستحضرات الصيدلانية المشعة المصدرة للبوذرونات، وبخاصة رباطات النواقل العصبية والحموض الأمينية التي اقترحت لدراسات الدماغ. فالحموض الأمينية مثل ميثونين -  $^{11}\text{C}$  (الشكل 9) ملائمة بشكل خاص للمساعدة في التشخيص التفاضلي لأورام الدماغ الخبيثة ولتتبع الدراسات [73]. طبقت المستحضرات الصيدلانية المشعة التي لها ألفة مع منظومة النواقل العصبية في أبحاث علم الأمراض العصبية وأبحاث علم الوراثة النفسية مثل مرض باركنسون وغيره من الاضطرابات

لـ SPECT "غير طبيعية" ولهذا يحتاج إدخالها / استخدامها على الأغلب زمناً طويلاً، ويتطلب ذلك تحريات أساسية وأحياناً اختبارات عقيمة عديدة. وبالرغم من الميزات الكمية والكيميائية الإشعاعية، فإن إتاحة PET بقيت محدّدة بسبب كلفة المساحات وبسبب السيكلوترون والكيمياء الإشعاعية. وكما ذكر سابقاً فإن تقدم الكيمياء الإشعاعية لـ SPECT في السنوات الأخيرة قد أفسحت المجال أمام إمكانية نقل الخبرة الأصلية التي تمت في مجال بحوث PET إلى الأداة السريرية المستخدمة في SPECT التي هي أرخص وأكثر انتشاراً وروتينية. إن المستحضر الصيدلاني المشع في PET الذي لا يستطيع الـ SPECT أن يقدم مضاهياً له هو FDG، وهو الحصان العامل في PET. وهنا بُني جسر بين PET و SPECT بإدخال كاميرات غاما متطابقة ثنائية الرأس. وبالإضافة إلى نمط SPECT العادي، تقدم منظومات SPECT المضاعفة الرأس هذه انضمام المسدّات الميكانيكية مع مجموعة إلكترونيات مكشافات كاميراتي غاما في مجموعة دارات متطابقة. وفي هذه الطريقة، يمكن أن يستخدم جهاز SPECT أيضاً في تصوير PET. ومع أن الأداء الإجمالي لمثل هذه المنظومات يبقى أضعف أو أقل من منظومات PET الدقيقة، فقد سمح باستخدام FDG الذي أصبح مهماً بشكل خاص في تطبيقات علم الأورام إذا لم تكن معدّات PET الأعلى ثمناً متوفرة.

لدراسة استقلاب طاقة الاحتشاء القلبي. وهنا توسم بلمعيات الحموض الأمينية الطبيعية بـ  $^{11}\text{C}$  لدراسة اعتلال العضلة القلبية مثلاً [87].

### المقارنة بين SPECT و PET

بالرغم من أن الميزات النوعية لـ SPECT ولـ PET قد تمت مقارنتها سابقاً، إلا أننا سنوجز بعض الصلات والاختلافات بين هاتين الواسيلتين من التصوير المقطعي الطبقي في الطب النووي هنا. ولما كان التسديد الإلكتروني لـ PET يعطي حساسية أفضل بعامل يصل إلى 100 مرة أكثر من SPECT، فإن إمكانية لعمل قياس نقل دقيق وتصحيح توهين مضبوط هو السبب في أن تكون PET كمية. وبالمقابل تعتبر SPECT أكثر كفاءة إذ تعطي سرعات عدّ أكثر من كون معايرتها بالكيان الفيزيائي للفعالية بالنسبة للحجم. ومع ذلك، هنالك تقدم مُعتبر في السنوات الأخيرة في تحسين القدرات الكمية لـ SPECT. وبسبب الحساسية الأفضل تستطيع PET أن تسجل أطر زمنية أقصر في الدراسات الدينامية. إن الوسم الإشعاعي للجزيئات الفعالة استقلابياً بمصدّرات البوزترونات  $^{13}\text{N}$ ،  $^{15}\text{O}$  أو  $^{11}\text{C}$  لا تغيّر السلوك الكيميائي الحيوي للجزيء الموسوم إشعاعياً بحيث أن تطوير مستحضرات صيدلانية مشعة جديدة يمكن أن يستند إلى على معرفة طبية حيوية سابقة. تعتبر المستحضرات الطبية المشعة

### REFERENCES

### المراجع

- [1] Kuhl, D. E., Edwards R. Q.: Image separation radioisotope scanning Radiology 80, 653-662 (1963).
- [2] Rankowitz, S. Robertson, J. S., Higinbotham, W.A., Niell, A.M.: Positron scanner for locating brain tumors. IRE Int. Conv. Rec. 9. 49 - 56 (1962).
- [3] Cormack, A. M.: Representation of a function by its line integrals, with some radiological applications. II. J. Appl. Phys. 35, 2908-2913 (1964).
- [4] Hounsfield, G. N.: Computerized transverse axial scanning (tomography) Part 1: Description of system. Brit J. Radiol. 46. 1016-1022 (1973).
- [5] Anger, H. O.: Multiple plane tomographic scanner. In: Tomographic imaging in Nuclear Medicine (Freedman, G. S. ed.). New York, Society of Nuclear Medicine, 1973, pp. 2-18.
- [6] Karp, J. S., Muehlechner, G., Marnkoff, D. A., Ordonez, C. E., Ollinger, J. M., Daube-Witherspoon, M. E., Haigh, A. T., Beerbohm, D. J.: Continuous-slice PENN-PET: A positron tomograph with volume imaging capability. J. Nucl. Med. 31, 617-627 (1990).
- [7] Cherry, S. R., Dahlbom, M., Hoffman, E.J.: 3D PET using a conventional multislice tomograph without septa, J. Comput. Assist. Tomogr. 15, 655-668 (1991).

- [8] Budinger, T. F., Gullberg, G. T., Huesman, R. H.: Emission computed tomography. In: Image reconstruction from projections (Herman, G. T. ed). Springer, Berlin 1979, pp. 147-246.
- [9] Radon, J.: Über die Bestimmung von Funktionen durch ihre Integralwerte längs gewisser Mannigfaltigkeiten. Sächsische Gesellschaft Wissenschaft, Leipzig, Math. Phys. 69. 262-277 (1917).
- [10] Ramachandran, G. N., Lakshminaraynan, A. V.: Three-dimensional reconstruction from radiographs and electron micrographs: Application of convolutions instead of Fourier transforms. Proc. Nat. Acad. Sci. 9. 2236 (1971).
- [11] Shepp, L. A., Vardi, Y.: Maximum likelihood reconstruction for emission tomography. Trans. Med. Imag. MI-1, 113-122 (1982).
- [12] Schmidlin, P., Bellemann, M. E., Brix, G.: Iterative reconstruction of PET images using a high-overrelaxation single-projection algorithm. Phys. Med. Biol. 42, 569-82 (1997).
- [13] Hudson, H. M., Larkin, R. S.: Accelerated image reconstruction using ordered subsets of projection data. IEEE Trans. Med. Imaging 20, 100-108 (1994).
- [14] Kay, J.: Statistical models for PET and SPECT data. Statistical Method in Med. Res. 3, 5-21 (1994).

- [15] Hoffman, E. J., Huang, S. C., Phelps, M. E.: Quantification in positron emission computed tomography: I. Effect of object size. *J. Comput. Assist. Tomogr.* 3, 299-308 (1979).
- [16] Defrise, M., Townsend, D., Clack, R.: Three-dimensional image reconstruction from complete projections. *Phys. Med. Biol.* 34, 573-587 (1989).
- [17] Kinahan, P. E., Rogers, J. G.: Analytic three-dimensional image reconstruction using all detected events. *IEEE Trans. Nucl. Sci.* 36, 964-968 (1989).
- [18] Daube-Witherspoon, M. E., Muehllehner, G.: Treatment of axial data in three-dimensional PET. *J. Nucl. Med.* 28, 1717-1724 (1987).
- [19] Defrise, M., Kinahan, P. F., Townsend, D. W., Michel, C., Sijm, M., Newport, D. F.: Exact and approximate rebinning algorithms for 3 D PET data. *IEEE Trans. Med. Imaging* 16, 145-158(1997).
- [20] Bergström, M., Bohm, C., Ericson, K., Eriksson, L., Litton, J.: Corrections for attenuation, scattered radiation, and random coincidences in a ring detector positron emission transaxial tomograph. *IEEE Trans. Nucl. Sci.* 27, 435-444 (1980).
- [21] DeKemp, R. A., Nhamias, C.: Attenuation correction in PET using single photon transmission measurement. *Med. Phys.* 21, 771-778 (1994).
- [22] Karp, J. S., Muehllehner, G., Qu, H., Yan, X. H.: Singles transmission in volume-imaging PET with a  $^{137}\text{Cs}$  source. *Phys. Med. Biol.* 40, 929-944 (1995).
- [23] Larsson, S. A.: Gamma camera emission tomography. *Acta Radiol. (suppl. Stockholm)* 363, 28-32 (1980).
- [24] Chang, L. T.: A method for attenuation correction in radionuclide computed tomography. *IEEE Trans. Nucl. Sci.* 25, 638-643 (1978).
- [25] Jaszczak, R. J., Greer, K. L., Floyd Jr., C. E., et al.: Improved SPECT quantification using compensation for scattered photons. *J. Nucl. Med.* 25, 893-900 (1984).
- [26] Msaki, R., Axelsson, B., Dahl, C. M., Larsson, S. A.: Generalized scatter correction method in SPECT using point scatter distribution functions. *J. Nucl. Med.* 28, 1861-1869 (1987).
- [27] Mukai, T., Links, J. M., Douglass, K. H., Wagner Jr., H. N.: Scatter correction in SPECT using non-uniform attenuation data. *Phys. Med. Biol.* 33, 1129-1140 (1988).
- [28] Ljungberg, M., Strand, S.-E.: Attenuation and scatter correction in SPECT for sources in a nonhomogeneous object: A Monte Carlo study. *J. Nucl. Med.* 32, 1278-1284(1991).
- [29] Watson, C. C., Newport, D., Casey, M. E.: A single scatter simulation technique for scatter correction in 3D PET. In: *Proc 1995 Int. Meeting Fully 3D-Image Reconstruction in Radiology and Nuclear Medicine* (Grangeat, P., Amans, J. L. eds.). Kluwer Academic Publ, Dordrecht, 1996. pp. 215-219.
- [30] Stearns, C. W.: Scatter correction method for 3D PET using 2D fitted Gaussian functions. *J. Nucl. Med.* 36, 105P (1995).
- [31] Bergström, M., Eriksson, L., Bohm, C., Blomqvist, G., Litton, J.: Correction for scattered radiation in a ring detector positron camera by integral transformation of the projections. *J. Comput. Assist. Tomogr.* 7, 42-50 (1983).
- [32] Hoffman, E. J., Huang, S. C., Phelps, M. E., Kuhl, D. E.: Quantification in positron emission computed tomography: 4. Effect of accidental coincidences. *J. Comput. Assist. Tomogr.* 5, 391-400 (1981).
- [33] Harper, P. V., Beck, R., Charleston, D., Lathrop, K. A.: Optimization of a scanning method using  $^{99m}\text{Tc}$ . *Nucleonics* 22, 50-54 (1964).
- [34] Novotnik, D. P., Canning, L. E., Cumming, S. A., Harrison, R. C., Higley, B., Nechvatal, G., Pickett, R. D., Piper, I. M., Bayne, V. J., Forster, A. M., Weisner, P. S., Neirinckx, R. D., Volckert, W.A., Troutner, D. E., Holmes, R. A.: Development of a  $^{99m}\text{Tc}$ -labelled radiopharmaceutical for cerebral blood flow imaging. *Nucl. Med. Commun.* 6, 499-506 (1985).
- [35] Walovitch, R. C., Hill, T. C., Garrity, S. T., Cheeseman, E. H., Burgess, B. A., O'Leary, D. H., Watson, A. D., Ganey, M. V., Morgan, R. A., Williams, S. J.: Characterization of Technetium-99m-L-ECD for brain perfusion imaging. Part I: Pharmacology, of Technetium-99m-ECD in non human primates. *J. Nucl. Med.* 30, 1892-1901 (1989).
- [36] Winchell, H. S., Baldwin, R. M., Lin, T. H.: Development of I-123 labeled amines for brain studies: Localization of  $^{123}\text{I}$ -iodophenylalcyamines in rat brain. *J. Nucl. Med.* 21, 940-946 (1980).
- [37] Duncan, J. S.: Imaging and epilepsy. *Brain* 120, 339-377 (1997).

- [38] O'Brien, T. J., So. E. L., Mullan, B. P., et al.: Subtraction ictal SPECT co-registered to MRI improves clinical usefulness of SPECT in localizing the surgical focus. *Neurology* 50, 445-454 (1998).
- [39] Maraganore, D. M., O'Connor, M. K., Bower, J. H., Kuntz, K. M., McDonnell, S. K., Schaid, D. J.; Rocca, W. A.: Detection of preclinical Parkinson disease in at-risk family members with use of [<sup>123</sup>I]beta-CIT and SPECT: an exploratory study. *Mayo Clinic Proceedings* 74. 681-685 (1999).
- [40] Kung, H. F., Alavi, A., Kung, M. P., Chang, W. Noto, R., Pan, S., Billings, J., Sorgentoni, K., Rauch, A., Reilly, J.: I-123-IBZM: A new CNS D2 receptor agent: Biodistribution and dosimetry in humans. *J. Nucl. Med.* 30. 834 (1989).
- [41] Buck, A., Westera, G., Sutter, M., Albani, C., Kung, H.F. von Schulthess, G.K.: Iodine-123-IBF SPECT evaluation of extrapyramidal diseases. *J. Nucl. Med.* 36, 1196-1200 (1995).
- [42] Holl, K., Deisenhammer, E., Dauth, J., Carmann, H., Schubiger, P. A.: Imaging benzodiazepine receptors in the human brain by Single Photon Emission Computed Tomography SPECT. *Nucl. Med. Biol.* 16, 757-763 (1989).
- [43] Kegeles, L. S., Munn, J. J.: In vivo imaging of neurotransmitter systems using radiolabeled receptor ligands. *Neuropsychopharmacology* 17, 293-307 (1997).
- [44] Langen, K.-J., Coenen, H. H., Roosen, N., Kling, P., Muzik, O., Herzog, H., Kuwert, T., Stöcklin, G., Feinendegen, L. E.: SPECT studies of brain tumors L-3-[<sup>123</sup>I]Iodo- $\alpha$ -methyltyrosine (<sup>123</sup>IMT): First clinical results and comparison with PET and <sup>124</sup>IMT. *J. Nucl. Med.* 31, 281-286 (1990).
- [45] Langen, K. J., Ziemons, K., Kiwit, J. C. W., Herzog, H., Kuwert, T., Bock, W. J., Stöcklin, G., Feinendegen, L. E., Müller-Gärtner, H. W.: 3-[<sup>123</sup>I]Iodo-(methyltyrosine and [methyl-<sup>11</sup>C]-L - methionine uptake in cerebral gliomas: A comparative study using SPECT and PET. *J. Nucl. Med.* 38,517-522 (1997).
- [46] Wackers, F. J. Th., Berman, D. S., Maddahi, J., et al.: Technetium-99m hexakis 2-methoxyisobutyl isonitrile: Human biodistribution, dosimetry, safety, and preliminary comparison to thallium-201 for myocardial perfusion imaging. *J. Nucl. Med.* 30, 301-311 (1989).
- [47] Jain, D., Wackers, F. J. Th., Mattera, J., et al.: Biokinetics of technetium-99m-tetrofosmin: myocardial perfusion imaging agent: Implications for a one-day imaging protocol. *J Nucl. Med.* 34, 1254-1259 (1992).
- [48] Lebowitz, E., Greene, M. W., Fairchild, R., et al.: Thallium-201 for medical use. *I. J. Nucl. Med.* 16,151-155 (1975).
- [49] Höck, A., Freundlieb, C., Vyska, K., Lösse, B., Erbel, R., Feinendegen, L. E: Myocardial imaging and metabolic studies with 17-<sup>123</sup>I-iodoheptadecanoic acid in patients with idiopathic congestive cardiomyopathy. *J. Nucl. Med.* 24, 22-28 (1983).
- [50] Knapp Jr., F. R. Kropp, J.: BMIPP-design and development. *Int. J. Card. Imaging* 15, 1-9 (1999).
- [51] Reske, S. N., Sauer, W., Machulla, H. J., Winkler, C.: 15-p-I-123-iodophenyl-pentadecanoic acid as a tracer of lipid metabolism: Comparison with C-14-palmitate in murine tissues. *J. Nucl. Med.* 25, 1335-1342 (1984).
- [52] Corbett, J. R.: Fatty acids for myocardial imaging. *Semin. Nucl. Med.* 29, 237-258 (1999).
- [53] Sisson, J. C., Shapiro, B., Meyers, L. J., et al.: Meta-iodobenzyl-guanidine to map scintigraphically the adrenergic nervous system in man. *J. Nucl. Med.* 28, 1625-1636 (1987).
- [54] Lamberts, S. W. J., Bakker, W. H., Reubi, J.-C., Krenning, E. P.: Somatostatin-receptor imaging in the localization of endocrine tumours. *N. Engl. J. Med.* 323, 1246-1249 (1990).
- [55] Takahashi, N., Suzuki, T., Yamaya, K., Funyu, T.: The usefulness of [<sup>123</sup>I]-metaiodobenzylguanidine [<sup>123</sup>I]-MIBG scintigraphy performed one week after administration in diagnosing pheochromocytoma. *Int. J. Urol.* 6. 331-336 (1999).
- [56] Front, D., Israel, O.: The role of 67Ga-scintigraphy in evaluating the results of therapy. of lymphoma patients. *Semin. Nucl. Med.* 25, 60-71 (1995).
- [57] Chiti, A., Schreiner, F. A., Crippa, F., Pauwels, E. K., Bombardieri, E.: Nuclear medicine procedures in lung cancer. *Eur. J. Nucl. Med.* 26, 533-555 (1999).
- [58] Bischof Delaloye, A., Delaloye, B.: Tumor imaging with monoclonal antibodies. *Semin. Nucl. Med.* 25, 144-164 (1995).
- [59] Van Heertum, R. L., Yudd, A. P., Brunetti, J. C., Pennington, M. R., Gualtieri, N. M.: Hepatic SPECT

- imaging in the detection and clinical assessment of hepatocellular disease. *Clin. Nucl. Med.* 17, 948-953 (1992).
- [60] Roca, I., Ciofetta, G: Hepatobiliary scintigraphy in current pediatric practice. *Q. J. Nucl. Med.* 42, 113-118 (1998).
- [61] Siegel, A., Mazurek, R.: Early dynamic SPECT acquisition for the imaging of hepatic hemangiomas; utilizing Tc-99m labeled red blood cells. *Clin. Nucl. Med.* 22, 745-748 (1997).
- [62] Van Heertum, R. L., Brunetti, J. C., Yudd, A. P: Abdominal SPECT imaging. *Semin. Nucl. Med.* 17, 230-246 (1987).
- [63] William, E. D.: Renal single photon emission computed tomography: Should we do it? *Semin. Nucl. Med.* 22, 112-121 (1992).
- [64] Palestro, C. J., Torres, M. A.: Radionuclide imaging of nonosseous infection. *Q. J. Nucl. Med.* 43, 46-60 (1999).
- [65] Etchebehere, E. C., Etchebehere, M., Gamba, R., Belangero, W., Camargo, E. E: Orthopedic pathology of the lower extremities: Scintigraphic evaluation in the thigh, knee, and leg. *Semin. Nucl. Med.* 28, 41-61 (1998).
- [66] Sokoloff, L., Reivich, M., Kennedy, C., DesRosiers, M. H., Patlak, C. S., Pettigrew, K. D., Sakurada, O., Shinohara, M.: The [ $^{123}\text{C}$ ]deoxyglucose method for the measurement of focal cerebral glucose utilization: Theory, procedure and normal values in the conscious and anesthetized albino rat. *J. Neurochem.* 28, 897-916 (1977).
- [67] Strauss, L. G., Conti, P. S.: The applications of PET in clinical oncology. *J. Nucl. Med.* 32, 623-648 (1991).
- [68] Phelps, M. E., Huang, S. C., Hoffman, E. J., Selin, C., Sokoloff, L., Kuhl, D. E: Tomographic measurement of local cerebral glucose metabolic rate in humans with (F-18)2-fluoro-2-deoxy-D-glucose: Validation of method. *Ann. Neurol.* 6, 371-388 (1979).
- [69] Reivich, M., Kuhl, D., Wolf, A., Greenberg, J., Phelps, M., Ido, T., Casella, V., Fowler, J., Hoffman, E., Alavi, A., Som, P, Sokoloff, L.: The [ $^{123}\text{F}$ ]fluorodeoxyglucose method for the measurement of local cerebral glucose utilization in man, *Circ. Res.* 44, 127-139 (1979).
- [70] Mazziotta, J. C., Phelps, M.E.: Positron emission tomography studies of the brain. In: *Positron Emission Tomography and Autoradiography* (Phelps, M. E., Mazziotta, J. C., Schelbert, H. R., eds). Raven Press, New York 1986, p. 493.
- [71] Sokoloff, L.: Relationships among local functional activity, energy metabolism, and blood flow in the central nervous system. *Fed. Proc.* 40, 2311-2316 (1981).
- [72] Krause, B. J. Halsband, U., Schmidt, D., et al.: Neurofunctional correlates of encoding and retrieval in declarative associative learning. *NeuroImage* 5, S620 (1997).
- [73] Hübner, K. F., Purvis, J. T., Mahaley Jr., S. N., Robertson, J. T., Rogers, F., Gibbs, W. D., Partin, C. L., Brain tumour imaging by positron emission computed tomography using  $^{11}\text{C}$ -labelled amino acids. *J. Comput. Assist. Tomogr.* 6, 544-550 (1982).
- [74] Burns, H. D., Harmill, T. G., Eng, W. S., Francis, B., Fioravanti, C., Gibson, R. E.: Positron emission tomography neuroreceptor imaging as a tool in drug discovery, research and development. *Curr. Opin. Chem. Biol.* 3, 388-394 (1999).
- [75] Farde, L., The advantage of using positron emission tomography in drug research. *Trends Neurosci.* 19, 211-214 (1996).
- [76] Wong, W. F., Pearlson, G. D., Tune, L. E., Young, L. T., Meltzer, C. C., Dannals, R. F., Ravert, H. T., Reith, J., Kuhar, M. J., Gjedde, A.: Quantification of neuroreceptors in the living human brain: IV. Effect of aging and elevations of D2-like receptors in schizophrenia and bipolar illness. *J. Cereb. Blood Flow Metab.* 17, 331-342 (1997).
- [77] Kapur S. A.: New framework for investigating antipsychotic action in humans: Lessons from PET imaging. *Mol. Psychiatry* 3,135-140 (1998).
- [78] Sedvall, G., Farde, L., Nyback, H., Pauli, S., Persson, A., Savic, I., Wiesel, F. A.: Recent advances in psychiatric brain imaging, *Acta Radiol. Suppl.* 374, 113-115 (1990).
- [79] Garnett E. S., Nahmias, C., Firmau, G.: Central dopaminergic pathways in hemiparkinsonism examined by positron emission tomography. *Can. J. Neurol. Sci.* 11, 174-179 (1984).
- [80] Farde, L., Hall, H., Ehrin, E., Sedvall, G: Quantitative analysis of D2 dopanmine receptor binding in the living human brain by PET. *Science* 231, 258-261 (1986).
- [81] Sadzot, B., Lemaire, C., Maquet, R, Salmon, E., Plenevaux, A., Degueldre, C., Hermanne, J. P.,

- Guillaume, M., Cantineau, R., Comar, D., et al.: Serotonin 5HT<sub>2</sub> receptor imaging in the human brain using positron emission tomography and a new radioligand. [<sup>18</sup>F]altanserin: Results in young normal controls. *J. Cereb. Blood Flow Metab.* 15, 787-797 (1995).
- [82] Smith, G. T., Huang, S. C., Nienaber, C. A., Krivokapich, J., Schelbert, H. R.: Noninvasive quantification of regional myocardial blood flow with N-13 ammonia and dynamic PET. *J. Nucl. Med.* 29, 940 (1988).
- [83] Walsh, M. N., Bergmann, S. R., Steele, R. L., et al.: Delineation of impaired regional myocardial perfusion by positron emission tomography with H<sub>2</sub>(15)O. *Circulation* 78, 612-620 (1988).
- [84] Gould K. L., Goldstein, R. A., Mullani, N. A.: Economic analysis of clinical positron emission tomography of the heart with rubidium-82, *J. Nucl. Med.* 30, 707-717 (1989).
- [85] Herzog, H.: Basic ideas and principles for quantifying regional blood flow with nuclear medical techniques. *Nuklearmedizin* 35, 181-185 (1996).
- [86] Brunken, R., Schwaiger, M., Grover-McKay, M. et al.: Positron emission tomography detects tissue metabolic activity in myocardial segments with persistent thallium perfusion defects. *J. Am. Coll. Cardiol.* 10, 557-567 (1987).
- [87]. Schelbert, H. R., Henze, E., Sochor, H., Grossman, R. G., Huang, S. C., Barrio, J. R., Schwaiger, M., Phelps, M. E.: Effects of substrate availability on myocardial C-11 palmitate kinetics by positron emission tomography in normal subjects and patients with ventricular dysfunction. *Am. Heart J.* 111, 1055-1064 (1986).■



# بيانات نووية ذات صلة بإنتاج واستخدام نكليدات مشعة تشخيصية\*

س. م. كاجم  
معهد الكيمياء النووية - مركز أبحاث يوليش - ألمانيا

## ملخص

يُقدّم هذا المقال عرضاً موجزاً لأنماط البيانات النووية ونوعيتها والتي تلزم لإنتاج واستخدام النكليدات المشعة التشخيصية. وتُحدّد بيانات الاضمحلال الإشعاعي صلاحية استخدام النظير المشع في دراسات الاقتفاء في الحي وذلك من حيث علاقتها بكل من التصوير وجرعة التشعيع الداخلية. تسمح بيانات المقطع الفعال لتفاعل نووي بأمتلّة طرق الإنتاج. وتُستخدم لأغراض إنتاج المفاعلات والسيكلوترونات كلاهما؛ وقد نوقشت البيانات النووية التي تتطلبها كل من طريقتي الإنتاج ووضعها المراهن، وجرى توجيه اهتمام خاص للنكليدات المشعة المناسبة للتصوير المقطعي الطبقي الإصداري (بنوعيه PET و SPECT). كذلك تمّت مناقشة الخلاف ما بين عمليتي الإنتاج والمفاعل والإنتاج بالسيكلوترون لمنظومة توليد  $^{99m}\text{Tc} / ^{99}\text{Mo}$  المستخدمة على نطاق واسع. وجرى أيضاً تقديم عرض موجز لبعض الاعتبارات الخاصة المتعلقة بالإنتاج السيكلوتروني للنكليدات المشعة. وفي النهاية، نوقش بشكل تفصيلي كل من: الاحتياجات إلى بيانات دقيقة قرب عتبات التفاعل، والحس للجسيمات المتاحة في سيكلوترون صغير، والتأثير الناجم عن زيادة طاقة الجسيم الراجم، والتشكل لشوائب أيزوميرية؛ وأخذ بعين الاعتبار الدور الذي تلعبه حسابات النموذج النووي في التنبؤ ببيانات مجهولة.

**الكلمات المفتاحية:** نكليدات مشعة تشخيصية، بيانات الاضمحلال، جرعة التشعيع الداخلية، المقطع الفعال لتفاعل نووي، ناتج الإنتاج، النقاوة النكليدية الإشعاعية، نسبة أيزوميرية، حسابات النموذج النووي، التصوير المقطعي الطبقي الإصداري، تصوير مقطعي طبقي محوسب بإصدار فوتونات مفردة، تصوير مقطعي طبقي بإصدار بوزترونات.

## مقدمة

يُصنّف النظير المشع المستخدم طبياً كـنكليد مشع تشخيصي أو علاجي اعتماداً على خواص اضمحلاله. وسوف يناقش هذا المقال النظائر المشعة التشخيصية بشكل عام وبيانات إنتاجها بشكل خاص. ونبين فيما يلي المعايير الرئيسة للاستخدام التشخيصي:

- خواص فيزيائية ملائمة، أي أن يتمتع النكليد المشع بكفاءة كشف عالية تتوافق مع أخفض جرعة تشعيع ممكنة للمريض.

- خواص كيميائية حيوية ملائمة، وبخاصة ماتعلق منها بانتقائية العضو organ selectivity وقابليته للتوافق مع الحركيات الحيوية bio - kinetics

من حيث الخواص الفيزيائية، لا بد لعمر النصف أن يكون قصيراً (من بضع دقائق إلى بضع ساعات)، ومن الأفضل أن يحدث الاضمحلال عبر إصدار IT (انتقال أيزوميري)، أو EC (أسر إلكتروني)، أو  $\beta^+$ . إضافة لما سبق، لا بد للنشاط الإشعاعي النوعي للمنتج النهائي أن يكون عالياً إلى حد ما. وعموماً، تُصنّف النظائر المشعة التشخيصية في مجموعتين، وهما: مصدرات  $\gamma$  (مثل:  $^{67}\text{Ga}$ ،  $^{111}\text{In}$ ،  $^{201}\text{Tl}$ ، إلخ.)، ومصدرات  $\beta^+$  (مثل:  $^{18}\text{F}$ ،  $^{15}\text{O}$ ، إلخ.). وفي حال إصدار النظير المشع لأشعة  $\gamma$  مفردة، فإن

تقنية الكشف المسماة بالتصوير المقطعي الطبقي المحوسب بإصدار فوتونات مفردة (SPECT) هي التي سيمكن استخدامها. أما في حالة النظائر المصدرة لجسيمات  $\beta^+$ ، يكون مفيداً جداً استخدام التصوير المقطعي الطبقي بإصدار بوزترونات (PET). وغالباً ما يُطلق على التقنيتين المذكورتين معاً اسم "التصوير الطبقي المقطعي الإصداري emission tomography". وبحكم طبيعتها الكمية، وسرعتها، وميزها الأعلى، تُعدّ تقنية PET أعظم قيمة ونفعاً من تقنية SPECT، ولو أن الأخيرة تلقى قدرأ أعظم من الاستخدام بسبب الانخفاض الملموس في تكاليفها الخاصة بكل من النكليدات المشعة، والتجهيزات، والتشغيل. وقد جرى تقديم وصف تفصيلي للتقنيتين التشخيصيتين المنوه بهما في مقالٍ للباحث Herzog تمّ نشره في هذا العدد.

بالنسبة للصفات الكيميائية الحيوية، فإن لها صلة ضعيفة بالبيانات النووية، وهي تعتمد على المجموعة الوظيفية للجزيء التي سبق أن ارتبط بها النظير المشع. ومن الواضح أن النظائر المشعة قصيرة العمر تكون مناسبة من أجل ظواهر كيميائية حيوية سريعة، كامتصاص الغلوكوز والأكسجين؛ في حين نجد أنه في حالة عمليات أبطأ، كالاصطناع البروتيني، فإن الحاجة ستكون إلى نظائر مشعة أطول عمراً.

\* نشر هذا المقال في مجلة (Radiochim Acta, Vol 89, 223 - 232 (2001). ترجمة هيئة التحرير - هيئة الطاقة الذرية السورية.

للحصول على المزيد حول هذا الموضوع). ومن الناحية المبدئية، يُعدّ تفاعل التنشيط الشهير قابلاً للتطبيق على عمليات التنشيط كافة، سواء كانت محرّضة بالنترونات أو محرّضة بالجسيمات المشحونة؛ ولو أن هناك، عملياً، اختلافات يمتد بين الحالتين المذكورتين، حيث تبدي النترونات عموماً توزيعاً طيفياً في حين أن الجسيمات المشحونة تفقد طاقتها سريعاً أثناء اجتيازها للوسط. وفيما يلي، سناقش، بشكل منفصل، البيانات النووية ذات الصلة بتصنيع النظائر المشعة داخل المفاعل أو بواسطة السيكوترون.

## إنتاج النظائر المشعة داخل المفاعل النووي

### التفاعلات النووية

خضع موضوع إنتاج التكليدات المشعة داخل المفاعل النووي إلى مراجعات مستمرة خلال العقود الأربعة الماضية [1]. وسيقتصر هذا المقال على معالجة المظاهر الخاصة بالبيانات النووية. وفيما يلي نستعرض توصيفاً للعمليات النووية ذات الصلة:

### تفاعل (n, γ)

وهو التفاعل الأكثر شيوعاً حدوثه داخل مفاعل نووي ما. ولأن هذه العملية لا تشتمل على عبء تفاعل فإنه من الممكن تحريضها بواسطة نترونات إما حرارية أو فوق حرارية أو سريعة، ولو أن المقطع الفعّال الأكثر مواءمة يكون للنترونات الحرارية. ويبيّن الجدول 1 عدداً من الأمثلة لنظائر مشعة تمّ تصنيعها عبر هذه الطريقة، ومن بينها النظائر الثلاثة:  $^{99}\text{Mo}$ ، و  $^{125}\text{Xe}$ ، و  $^{131\text{m}}\text{Te}$ ، والتي هي، على التوالي، الأسلاف لكل من النظائر الشائع استخدامها:  $^{99\text{m}}\text{Tc}$ ، و  $^{125}\text{I}$ ، و  $^{131}\text{I}$ . والفائدة الرئيسية للإجراء المذكور تكمن في المنهجية البسيطة في حين يكمن المآخذ الرئيس في النشاط الإشعاعي النوعي المنخفض. وبالإمكان معالجة الناحية الأخيرة، أي تحسين النشاط الإشعاعي النوعي، عبر عملية زيلارد - Szilard - Chalmer's process أو عبر تحضير مولد generator preparation، أي عن طريق ناتج الاضمحلال الحسيلة تفاعل (n, γ).

### تبعثر لامرون

جرى في السنوات الأخيرة تنشيط عدد من الحالات الأيزوميرية عبر عملية (n, n'γ) وبخاصة تلك التي لها سبينات نووية عالية. وبعض تلك التكليدات المشعة، مثل:  $^{117\text{m}}\text{In}$ ، و  $^{119\text{m}}\text{Sn}$ ، و  $^{195\text{m}}\text{Pt}$ ، يجري إنتاجها بنشاط إشعاعي نوعي أعلى وذلك من خلال العملية (n, n'γ) عوضاً عن التفاعل (n, γ) [2].

### أسر تسلسلي نتروني

في بعض الأحيان، قد يُنتج النظير المشع عبر أسر تسلسلي لائنين من النترونات (انظر الجدول 1). لكن، لهذه العملية استخدام محدود حيث أنها تحدث داخل مفاعل التدفق العالي فقط. ويبدو أن لهذه العملية فائدة مميزة في المجال الخاص بالمعادن الترابية النادرة حيث تكون المقاطع الفعّالة للأسرالنتروني عالية جداً.

## بيانات النشاط الإشعاعي: حساب جرعة التشعيع الداخلية

كما ذُكر آنفاً، فإن الخواص الفيزيائية هي التي تحدد اختيار نظير مشع للاستخدام الطبي. لكنه من الضروري أن يؤخذ بعين الاعتبار كل من بيانات الاضمحلال والسلوك البيولوجي للمركّب الموسوم بالنظير المشع عند حساب جرعة التشعيع الداخلية، أي عند حساب الجرعة التي يسدها التكليد المشع المتناول إلى عضو ما. ولهذا، فإن عمر النصف الفعّال للمركّب الصيدلاني المشع داخل العضو هو عبارة عن جمع ما بين عمري النصف الفيزيائي والبيولوجي.

والمعلومات المتوفرة حول بيانات الاضمحلال كثيرة وواسعة، وهذا - على الأقل - صحيح بالنسبة للنظائر المشعة الشائعة الاستخدام في تقنيتي PET و SPECT. وقد سبق للباحث كويم Qaim، في فصل تمهيدي جرى نشره في العدد 89 من مجلة Radiochim. Acta، أن قدّم عرضاً موجزاً لأنواع البيانات الضرورية في حسابات جرعة التشعيع الداخلية. وقد لقيت طرائق حساب الجرعة الداخلية اهتماماً واسعاً، كما أضحي يتوفر لها حالياً كودات حاسوبية معروفة جيداً تُدعى كودات ميرد MIRD codes. وفي موضع آخر من العدد 89 من المجلة المذكورة آنفاً، قام الباحث Herzog بمناقشة حساب الجرعة في دراسات تشخيصية تستخدم تقنيتي PET و SPECT. ولا بد من الإشارة هنا إلى أن معيار الجرعة الدنيا في دراسات تشخيصية يجعل الطلب ملخاً وثقيلاً حول ما يتعلق بالنقاوة التكليدية الإشعاعية radionuclidic purity للمركّب الصيدلاني المشع. وفي حال وجود شيء من التلوث، وبخاصة عندما يكون لدينا نظير بعمر نصف طويل يصدر أشعة جسيمية، فإن ذلك سيؤدي إلى جرعة تشعيع إضافية. لذلك، كان من الضروري اختيار طريقة التصنيع التي يكون بموجبها التكليد المشع منتجاً محتوياً على أخفض كمية ممكنة من الشوائب. وعموماً، يجري التحكم بالشوائب النظرية عن طريق انتقاء بيانات الإنتاج المناسبة، كما يتم التحكم بالشوائب غير النظرية بواسطة الفصل الكيميائي النظيف. ولا بد من القول إن حسابات MIRD تعتمد عموماً على فرضية أن التكليد المشع موضوع الدراسة هو من ذلك النوع الذي يتمتع بأعلى نقاوة ممكنة.

وفي السنوات الأخيرة، تطوّرت اعتبارات القياس الدقيق للجرعة معلومات أكثر تفصيلاً بشأن أشعة جسيمية منخفضة الطاقة ولكن عالية الشدة (مثل إلكترونات التحويل وإلكترونات أوجيه) والتي تترافق مع بعض التكليدات المشعة التشخيصية [كذلك التي يحدث الاضمحلال فيها بواسطة الأسر الإلكتروني (EC) أو الانتقال الأيزوميري (IT)]. وتكون الأشعة منخفضة الطاقة المذكورة آنفاً غير قابلة للكشف بواسطة التجهيزات المستخدمة في الطب النووي لكنها تسبب بجرعة إضافية. لذلك، تُبذل حالياً جهود جديدة من أجل اختبار معاملات التحويل لانتقالات نووية ذات علاقة بالنظائر المشعة المستخدمة في تقنية SPECT.

## المقاطع الفعّالة للتفاعل النووي وحصيلات الإنتاج

تُعدّ المقاطع الفعّالة لتفاعل نووي ذات أهمية كبيرة في عملية إنتاج النظائر المشعة (يمكن الرجوع إلى الفصل التمهيدي بقلم الباحث Qaim



## عملية (انشطار, n)

شاملة أمراً إلزامياً خصوصاً في حال استخدام عملية الانشطار لأغراض الإنتاج. كذلك، يغدو الطلب على النقاوة أمراً ملحاً جداً وبخاصة فيما يتعلق بمحتوى الشوائب المصدرة لأشعة  $\alpha$ . وكمثال على ذلك فصل النظير  $^{99}\text{Mo}$  من سبيكة  $^{235}\text{U Al}_3$ ؛ حيث يستخدم  $^{99}\text{Mo}$  المفصول كيميائياً لتحضير منظومة مولد generator system، والتي تتضمن تحميل نشاط  $^{99}\text{Mo}$  على عمود  $\text{Al}_2\text{O}_3$  ومن ثم الإزاحة الدورية لنتاج الاضمحلال  $^{99\text{m}}\text{Tc}$  من خلال عملية الغسيل بمحلول ملحي.

وجدير بالذكر أن المولد  $^{99}\text{Mo} / ^{99\text{m}}\text{Tc}$  يُعدّ المنظومة الأعظم شيوعاً من حيث استخدامها في الطب النووي التشخيصي. وبسبب خواص التصوير المثالية للنظير  $^{99\text{m}}\text{Tc}$  مع تقنية SPECT، نجد أن حوالي 80% من إجراءات الطب النووي المتبعة في أرجاء العالم كافة يجري تنفيذها باستخدام هذا النظير المشع. والشكل المولد المذكور آنفاً يجعل إنتاجية  $^{99\text{m}}\text{Tc}$  أمراً سهلاً؛ مع العلم أن هذا النظير يتمتع بنشاط إشعاعي عالٍ جداً، وبالإمكان استخدامه مباشرة لوسم جزيئات حيوية. وبالفعل، تمّ تطوير عدة عتيدات kits، لا تتطلب سوى إضافة بسيطة من محلول الملح المزج الذي يحتوي على  $^{99\text{m}}\text{Tc}$ ، وذلك بهدف الحصول على أنواع محددة من الصيدلانيات المشعة.

وفيما يتعلق بالبيانات النووية، يتطلب بناء منظومة مولد معرفة جيدة بخواص اضمحلال النظير المشع موضع الاهتمام. وبصورة خاصة، تُعدّ أمراً هاماً معرفة عمري النصف للنظير؛ ولو أن متطلبات التدرج تستلزم أيضاً دراية بالأشعة الجسيمية والكهرطيسية سواء المصدرة عن اضمحلال النظير المشع أو تلك المصدرة عن الشوائب في حال وجودها.

ويُستخدم في العلاج العديد من النكليدات المشعة المصدرة لأشعة جسيمية والتي جرى إنتاجها بالمفاعل [حول هذا الموضوع، يمكن الرجوع إلى إسهام آخر للباحث Qaim تمّ نشره في العدد 89 من مجلة Radiochim. Acta]. وتجد بعض هذه النظائر المشعة استخداماً لها في دراسات للتقني ذات صلة بعمليات صناعية، ويعلم الزراعة الإشعاعي، وبظواهر بيئية محددة. وتُستخدم، على نطاق واسع، النكليدات المشعة المصدرة لأشعة لينة:  $^3\text{H}$ ، و  $^{14}\text{C}$ ، و  $^{125}\text{I}$  في دراسات تتضمن استخدام طرائق في الزجاج.

## الوضع الحالي للمقاطع الفعالة للإنتاج

بشكل عام، يُعدّ الوضع الحالي للمقاطع الفعالة الخاصة بالتفاعل المحروض بالترونات وضعاً جيداً، وهذا عائد أساساً إلى البرامج ذات الصلة بالطاقة. فالبينات بشأن الأنواع الثلاثة للعمليات الشائع استخدامها في إنتاج النظائر المشعة الطبية [وهي:  $(n, \gamma)$ ، و (انشطار, n)، و  $(n, z)$ ] هي في الواقع بيانات تمّ تصنيفها [3 - 6] وتقييمها جيداً باستخدام حسابات النموذج النووي [7 - 9]، وكذلك توثيقها [انظر ما ورد في مقال للباحثين Oblozinsky و Schwerer نُشر في العدد 89 من مجلة Radiochim. Acta]. وقد تمّ أيضاً التحقق من صحة بيانات العديد من التفاعلات عن طريق مقارنة قياسات المردود الإجمالي في طيف انشطار

تُعدّ هذه العملية شائعة الاستخدام، كما هو الحال في تفاعل  $(n, \gamma)$ . وعموماً، يمكن بسهولة ويسر إنتاج منتجات (نظائر) تقع على إحدى قمتي مردود الكتلة لعملية الانشطار. وهناك نوعان هامين جداً من النكليدات المشعة الطبية، هما  $^{99}\text{Mo}$  و  $^{131}\text{I}$ ، يجري إنتاجهما عبر انشطار النظير  $^{235}\text{U}$  (الجدول 1). ولهذه الطريقة فائدة عظيمة حيث أنها تقود إلى إنتاج منتجات غير مضاف إليها حامل، أي منتجات ذات نشاط إشعاعي نوعي عالٍ جداً. لكن المآخذ الرئيس يتمثل في المعالجة الكيميائية الواسعة التي تتطلبها هذه العملية.

## عملية (n, Z)

ومن إصدار الجسيمات المشحونة في تفاعلات محروضة بالترونات يستفاد أيضاً في إنتاج بعض النظائر المشعة الخاصة. وعموماً، تحدث هذه التفاعلات في المجال الكتلي الخفيف فقط حيث تكون عتبات التفاعل منخفضة ويكون التنافس بين الجسيم المشحون والإصدار التروني لصالح الأول (الجسيم المشحون). ويُقدّم الجدول 1 بعض الأمثلة لهذا النوع من النظائر. ولهذه الطريقة ميزة كبيرة، إذ تتميز المنتجات الناجمة عنها بنشاط إشعاعي نوعي عالٍ؛ لكن المقاطع الفعالة تكون منخفضة عموماً، باستثناء تلك الخاصة بتشكيل نظيري التريتيوم و  $^{14}\text{C}$ . ويجري إنتاج النظيرين الأخيرين، بشكل حصري تقريباً، عبر العملية  $(n, z)$ .

## تفاعلات ثانوية

في حالات محددة، قد يُحوض الجسيم المشحون المصدر في تفاعل نووي تفاعلاً ثانوياً على نواة مجاورة؛ ويبيّن الجدول 1 حالتين من هذا القبيل. ولفترة زمنية لأبس بها، كان يتم إنتاج النظير  $^{18}\text{F}$  عبر تسلسل التفاعل:  $^6\text{Li}(n, \alpha)^3\text{H} \rightarrow ^{16}\text{O}(t, p)^{18}\text{F}$

لكن مشكلتين رئيسيتين نجمتا عن هذا الإنتاج هما: الحصليات المنخفضة نسبياً للنظير  $^{18}\text{F}$ ، ووجود شائبة التريتيوم. وفي السنوات الأخيرة، حُلّ الإنتاج السيكلوتروني للنظير  $^{18}\text{F}$ ، كلياً محل إنتاجه داخل المفاعل. وبشكل مماثل، أضحي أكثر شيوعاً أيضاً إنتاج النظير  $^{28}\text{Mg}$  بواسطة سيكلوترون ذي طاقة متوسطة.

وقد أضحي مفهوماً أن استخدام تفاعل ثانوي في إنتاج نكليد مشع طبي يتطلب دراسة دقيقة لكل من المقطع الفعال للتفاعل الأولي، والطيف الطاقوي للجسيم المشحون المصدر، يضاف إلى ذلك أيضاً بروقيل الامتصاص للجسيم ضمن الوسط المحيط به. ويُعدّ أي مركّب كيميائي أو شكل سبيكة ما ملائماً جداً لأغراض هذا النوع من الإنتاج؛ فعلى سبيل المثال، يستخدم المركّب  $\text{Li}_2\text{CO}_3$  لإنتاج  $^{18}\text{F}$ ، كما تستخدم سبيكة  $\text{Li} / \text{Mg}$  لإنتاج  $^{28}\text{Mg}$ .

## المعالجة الكيميائية والاستخدامات

رغم أن هذا يتعلق فقط بموضوع البيانات النووية بشكل غير مباشر، إلا أنه من الضروري الإشارة باختصار إلى التقنيات والطرق المستخدمة للحصول على النكليدات المشعة المرغوبة بالشكل المناسب بعد تنشيطها داخل مفاعل نووي. وبعد عملية التثعيب، يغدو إجراء معالجة كيميائية

الجدول 1- تفاعلات نووية شائعة الاستخدام من أجل إنتاج بعض النظائر المشعة داخل مفاعل نووي.

التكليس المشع	عمر النصف $T_{1/2}$	نمط الاضمحلال (%)	الطاقة الرئيسية لأشعة $\gamma$ (%) keV	تفاعل التصنيع	المقطع الفعال (بارن)*
$^{23}\text{Na}$	15.0 h	$\beta^-$ (100)	تفاعل (n, $\gamma$ ) 1369 (100) 2754 (99.9)	$^{23}\text{Na}(n, \gamma)$	0.53
$^{32}\text{P}$	14.3 d	$\beta^-$ (100)		$^{31}\text{P}(n, \gamma)$	0.18
$^{35}\text{S}$	87.5 d	$\beta^-$ (100)		$^{34}\text{S}(n, \gamma)$	0.29
$^{42}\text{K}$	12.4 h	$\beta^-$ (100)	1525 (18.8)	$^{41}\text{K}(n, \gamma)$	1.46
$^{51}\text{Cr}$	27.7 d	EC (100)	320 (9.8)	$^{50}\text{Cr}(n, \gamma)$	15.90
$^{64}\text{Cu}$	12.7 h	$\beta^+$ (18); EC (45); $\beta^-$ (37)		$^{63}\text{Cu}(n, \gamma)$	4.50
$^{75}\text{Se}$	119.8 d	EC (100)	136 (59.0) 265 (59.2) 401 (11.6)	$^{74}\text{Se}(n, \gamma)$	46.00
$^{99}\text{Mo}$	66.0 h	$\beta^-$ (100)	140 (90.7) 740 (12.1)	$^{98}\text{Mo}(n, \gamma)$	0.13
$^{125}\text{Xe}$	16.9 h	$\beta^+$ (0.7); EC (99.3)	188 (54.9) 243 (28.8)	$^{124}\text{Xe}(n, \gamma)$	165.00
$^{131\text{m}}\text{Te}^\dagger$	30.0 h 25.0 min	IT (22); $\beta^+$ (78) $\beta^-$ (100)	774 (38.1) 150 (68.9)	$^{130}\text{Te}(n, \gamma)$	0.23
$^{151}\text{Sm}$	46.3 h	$\beta^-$ (100)	103 (28.3)	$^{152}\text{Sm}(n, \gamma)$	206.00
$^{186}\text{Re}$	89.2 h	$\beta^-$ (92.2); EC (7.8)	137 (8.5)	$^{185}\text{Re}(n, \gamma)$	114.00
أسر تسلسلي تروني					
$^{32}\text{Si}$	172.0 a	$\beta^-$ (100)		$^{30}\text{Si}(n, \gamma)$ $^{31}\text{Si}(n, \gamma)$ (2.6 h)	0.11; 0.3
$^{166}\text{Dy}^\dagger$	81.5 h	$\beta^-$ (100)	82 (13.0)	$^{164}\text{Dy}(n, \gamma)$ $^{165}\text{Dy}(n, \gamma)$ (2.4 h)	2700; 3500
$^{188}\text{W}^\dagger$	69.0 d	$\beta^-$ (100)	291 (0.4)	$^{186}\text{W}(n, \gamma)$ $^{187}\text{W}(n, \gamma)$ (23.7 h)	36; 70
عملية (انشطار) (n,)					
$^{90}\text{Sr}^\dagger$	28.6 a	$\beta^-$ (100)		$^{235}\text{U}(n, f)$	$Y_{\text{cum}}: 5.89\%$
$^{99}\text{Mo}^\dagger$		see above		$^{235}\text{U}(n, f)$	$Y_{\text{cum}}: 6.14\%$
$^{131}\text{I}$	8.0 d	$\beta^-$ (100)	364 (81.2) 637 (7.3)	$^{235}\text{U}(n, f)$	$Y_{\text{cum}}: 2.84\%$
تفاعل (n, z)					
$^3\text{H}$	12.3 a	$\beta^-$ (100)		$^6\text{Li}(n, \alpha)$	940
$^{14}\text{C}$	5730 a	$\beta^-$ (100)		$^{14}\text{N}(n, p)$	1.8
$^{32}\text{P}$		see above		$^{32}\text{S}(n, p)$	0.07
$^{35}\text{S}$		see above		$^{35}\text{Cl}(n, p)$	0.08
$^{37}\text{Ar}$	35.0 d	EC (100)		$^{40}\text{Ca}(n, \alpha)$	0.03
تفاعلات ثانوية					
$^{18}\text{F}$	109.6 min	$\beta^+$ (97); EC (3)		$^6\text{Li}(n, \alpha)^3\text{H} \rightarrow ^{16}\text{O}(t, p)^{18}\text{F}$	
$^{28}\text{Mg}$	20.9 h	$\beta^-$ (100)	401 (36) 1342 (54)	$^6\text{Li}(n, \alpha)^3\text{H} \rightarrow ^{26}\text{Mg}(t, p)^{28}\text{Mg}$	

\* المقاطع الفعالة للأسر وكذلك المقطع الفعال لكل من  $^{14}\text{N}(n, p)$  و  $^6\text{Li}(n, \alpha)$  هي من أجل ترونات حرارية المقاطع الفعالة الأخرى (n, z) هي متوسطات لقيم طيف انشطار الترونات. حصيلة الانشطار هي حصيلة تراكمية ( $Y_{\text{cum}}$ ). من أجل التفاعلات الثانوية، لم يرد في الأدبيات العلمية سوى حصيلة الإنتاج.

† منتجات اضمحلال ذات أهمية أو فائدة:  $^{90}\text{Sr} \rightarrow ^{90}\text{Y}$ ;  $^{99}\text{Mo} \rightarrow ^{99\text{m}}\text{Tc}$ ;  $^{131\text{m}}\text{Te} \rightarrow ^{131}\text{I}$ ;  $^{166}\text{Dy} \rightarrow ^{166}\text{Ho}$ ;  $^{188}\text{W} \rightarrow ^{188}\text{Re}$ .

محدد مع تلك التي جرى تكاملها من توابع إثارة (n, x) (وذلك من أجل توزيع طيف انشطار محدد).

لقد سبق أن نوقش، على نطاق واسع، إنتاج النظائر المشعة بواسطة السيكلوترونات وذلك في العديد من مقالات المراجعة والدراسات العلمية والكتب. وكان ظهور أول تحليل نقدي لمسائل البيانات النووية ذات الصلة من مركز أبحاث يوليش في ألمانيا [10]. وفي القسم التالي من هذا المقال،

أما بالنسبة للعمليات الأقل شيوعاً من حيث الاستخدام كعمليتي (n, n' $\gamma$ ) والأسر التروني المزوج، فيغدو من الضروري أحياناً إجراء قياسات جديدة أو إجراء تقييم للبيانات المتوفرة وبخاصة عند إظهارها لتناقضات كبيرة.

الجدول 2- أنواع المسرعات المستخدمة روتينياً لإنتاج النظائر المشعة.

التصنيف	الخصائص	الطاقة (MeV)	النكليدات المشعة المصنعة
I سوية	• جسيمات مفردة (d)	< 4	<sup>15</sup> O
II سوية	جسيمات مفردة (p)	≤ 11	<sup>11</sup> C, <sup>13</sup> N, <sup>15</sup> O, <sup>18</sup> F
III سوية	جسيمات مفردة أو ثنائية (p, d)	≤ 20	<sup>11</sup> C, <sup>13</sup> N, <sup>15</sup> O, <sup>18</sup> F, <sup>123</sup> I, <sup>67</sup> Ga, <sup>111</sup> In
IV سوية	جسيمات مفردة أو عديدة ( <sup>4</sup> He, <sup>3</sup> He, d, p)	≤ 40	<sup>38</sup> K, <sup>73</sup> Se, <sup>75</sup> Br, <sup>77</sup> Br, <sup>131</sup> I, <sup>81</sup> Rb ( <sup>81</sup> Kr), <sup>67</sup> Ga, <sup>111</sup> In, <sup>201</sup> Tl, <sup>22</sup> Na, <sup>57</sup> Co
V سوية	جسيمات مفردة أو عديدة ( <sup>4</sup> He, <sup>3</sup> He, d, p)	≤ 100	<sup>28</sup> Mg, <sup>72</sup> Se ( <sup>72</sup> As), <sup>82</sup> Sr ( <sup>82</sup> Rb), <sup>117m</sup> Sn, <sup>123</sup> I
VI سوية	جسيمات مفردة (p)	≥ 200	<sup>26</sup> Al, <sup>32</sup> Si, <sup>44</sup> Ti, <sup>67</sup> Cu, <sup>68</sup> Ge ( <sup>68</sup> Ga), <sup>82</sup> Sr ( <sup>82</sup> Rb), <sup>109</sup> Cd, <sup>95m</sup> Tc, etc.

• اقترح أيضاً لهذه السوية مسرع خطي صغير ذو جسيمات ثنائية (p, d).

### مصادر البوزترون

إن معظم الدراسات المتعلقة بتقنية PET، والمنشورة حتى تاريخه، قد نُفذت باستخدام أربعة من مصادر البوزترون القصيرة العمر هي: <sup>11</sup>C (20 = T<sub>1/2</sub> دقيقة)، و <sup>13</sup>N (10 دقائق)، و <sup>15</sup>O (2 = T<sub>1/2</sub> دقيقة)، و <sup>18</sup>F (110 = T<sub>1/2</sub> دقيقة). وعموماً، تستخدم النكليدات المشعة الثلاثة الأولى في موقع الإنتاج. من جهة ثانية، يُعدّ <sup>18</sup>F مناسباً للنقل إلى مراكز مجاورة تستخدم تقنية PET وغير مجهزة بسيكلوترون. وهناك أيضاً اهتمام كبير بالنظيرين من نظائر سلفية مولدة generator parent isotopes أطول عمراً. ويبيّن الجدول 3 خلاصة للطرق الروتينية المستخدمة في إنتاج مصادر <sup>β+</sup> الشائع استخدامها [12، 13].

وعموماً، يجري إنتاج مصادر <sup>β+</sup> العضوية باستخدام تفاعلات نووية منخفضة الطاقة مثل: (p, n)، (p, α)، (d, n)، (d, α)، (α, d)، إلخ. ويُعدّ السيكلوترون الصغير الحجم مناسباً لأغراض الإنتاج هذه. وجرى قياس توابع الإثارة في عددٍ من المخابرة؛ وتُظهر المقاطع الفعالة تارجحاً قوياً يُحتمل عزوه إلى مجموعة السويات المعروفة وغير المترابطة لنواة المنتج. ولأول وهلة، لا يستطيع نمط الحسابات النووية توصيف توابع إثارة كهذه. ولهذا، لم يستخدم سوى إجراءات موافقة إحصائية في محاولة جرت مؤخراً لتقييم البيانات المتوفرة حالياً عبر برنامج بحث منسق (CRP) تابع للوكالة الدولية للطاقة الذرية [14]. ويُظهر الشكل 1 خطأً يائياً موصى به للتفاعل <sup>13</sup>N (P, α) <sup>16</sup>O مأخوذاً عن [14]. على أية حال، تُبدي الحصيلات. الكاملة المحسوبة من توابع الإثارة منحنيات سلسلة (غير متعرجة)، بمعنى أنه يجري، من خلال عملية الإنتاج، استبعاد تأثيرات البنية النووية [12].

تُستخدم حالياً، وبشكل روتيني، في مجال الطب النووي التشخيصي عدة صيدلانيات مشعة تصدر <sup>β+</sup> [13]. وفي هذا السياق، يُعدّ ذا أهمية

سيجري التأكيد على مفاهيم جديدة لأبحاث بيانات نووية ذات علاقة بالإنتاج السيكلوتروني للنكليدات المشعة.

### السيكلوترونات المستخدمة

تمّ خلال العقدين الماضيين تطوير عدة أنواع من السيكلوترونات والمسرعات من أجل تغطية الطلب النوعي الخاص بإنتاج النكليدات المشعة؛ ويبيّن الجدول 2 خلاصة لأنواع هذه السيكلوترونات تتضمن شكلاً مستحدثاً لتصنيف سابق صدر بشأنها [11]. وتمثل آلة الجسيمات المفردة بطاقة  $E_e \geq 4 \text{ MeV}$ ، أي دون عتبة انفصام الدوترون (لتجنب خلفية نترونية)، أصغر أنواع هذه المسرعات؛ وهي من الآلات التي يجري استخدامها على نطاق واسع في أوساط المشافي من أجل إنتاج النظير <sup>15</sup>O.

والمسرع الذي يأتي في مرحلة لاحقة يُصنّف أيضاً كآلة جسيمات مفردة سلبية الأيون بطاقة  $E_p \geq 11 \text{ MeV}$  أو  $12 \text{ MeV}$  والتي تستخدم لإنتاج أربعة مصادر رئيسية لجسيمات <sup>β+</sup>، وهي: <sup>11</sup>C، و <sup>13</sup>N، و <sup>15</sup>O، و <sup>18</sup>F؛ ولو أن غياب الخزمة الدوترونية يُعدّ إلى حدٍ ما مضراً بإنتاج <sup>15</sup>O، كما أن الطاقة البروتونية المنخفضة نوعاً ما تعطي مردوداً منخفضاً للنظير <sup>13</sup>N. والمجموعة اللاحقة من المسرعات ذات المرتبة الأعلى هي آلات ثنائية الجسيمات بطاقتي  $E_p \geq 20 \text{ MeV}$ ، أو  $E_e \geq 10 \text{ MeV}$ ، وهي مناسبة بشكل مثالي لإنتاج النظائر المشعة التي يجري استخدامها في تقنية PET. أما الآلات ذات الطاقة الأعلى فلديها قدرات على إنتاج الكثير من النظائر المشعة الأخرى، وبخاصة عندما يتوفر فيها أيضاً، إلى جانب p و d، النظير <sup>3</sup>He وحزم جسيمات α. من جهة ثانية، تغدو الخزمة البروتونية هي محور الاهتمام عند اعتبار طاقات أعلى من 100 MeV.

### منتجات السيكلوترون والبيانات النووية اللازمة لإنتاجها

تفوق منتجات السيكلوترون على منتجات المفاعل بعدد من الفوائد. فالمنتجات الأولى تتميز بنشاط إشعاعي عالي وجرعة تشعيع منخفضة، وغالباً ما تكون أكثر ملاءمة للتصوير المقطعي الطبقي الإصداري. ونظراً لأنه، في كثير من الحالات، يمكن بسهولة ربط منتجات السيكلوترون مع جزيئات حيوية محددة لذلك كان استخدامها مفيداً جداً من أجل استقصاء وظائف فيزيولوجية في مناطق محددة من الجسم.

وبسبب وجود تنوع في الجسيمات المشحونة المتاحة وبسبب الطيف الواسع للطاقات المستخدمة تصبح الحاجة إلى البيانات النووية أعظم وأشدّ إلحاحاً بالنسبة للنظائر المشعة المنتجة بالسيكلوترون منها بالنسبة لتلك التي يجري إنتاجها داخل المفاعل. وفيما يلي نورد معالجة تفصيلية لبعض المجموعات البارزة من النكليدات المشعة.

الجدول 3- الطرق الروتينية لإنتاج بعض مصادر البوزترون الشائع استخدامها [12، 13].

والنظيران السلفيان

لأكثر المنظومات شيوعاً من

حيث الاستخدام هما  $^{68}\text{Ge}$ و  $^{82}\text{Sr}$  (انظر الجدول 3)،

وهما يمثلان نظائر صعبة

الإنتاج إلى حد ما. ورغم

أن بيانات المقطع الفعال

لتفاعلي (p, xn) الموائمين

المذكورين آنفاً قد تمّ قياسهما

وتقييمهما حديثاً [14]، إلا

أنه، وبسبب مشاكل

استهدافية، تظل عملية

التشطّي [16، 17] أفضل

طريقة مختارة للإنتاج في

كلتا الحالتين. هذا، وأضح

معروفة حصيلات الإنتاج

للنظيرين المذكورين آنفاً.

إن عدد مصادر  $\beta^+$ 

التي تتمتع بإمكانيات مثيرة

هو كبير نسبياً لكن أهميتها النسبية في تغير مستمر؛ وغالباً ما يتطلب

إنتاجها سيكلوترونات أضخم. وقد ثبت، في كثير من الحالات، أن

الآلات التي تُسرّع أربعة أنواع من الجسيمات (p، d، و  $^3\text{He}$ ، و  $\alpha$ )

هي آلات شديدة التنوع ومتعددة الاستعمال. ومن الواضح أن التطوير

لعملية إنتاج ما (للنظائر المشعة) يشتمل على قدر كبير من العمل البحثي

في مجال البيانات النووية.

## مصادر الفوتون

ووجد عدد كبير من النكليدات المشعة تطبيقات له في مجال الطب

النووي التشخيصي باستخدام إما كاميرات  $\gamma$  أو تقنية SPECT كما جرىفي السنوات الأخيرة. ويُعدّ  $^{99\text{m}}\text{Tc}$  ( $T_{1/2} = 6.0$  ساعة) النكليد المشع

الأكثر شيوعاً استخدامه في تقنية SPECT، وهو نظير يجري إنتاجه

باستخدام مفاعل نووي. ويبيّن الجدول 4 قائمة لنكليدات مشعة أخرى

يمكن استخدامها في تقنية SPECT ويجري إنتاجها بواسطة

السيكلوترون؛ ويحتاج جميع هذه النكليدات المشعة في إنتاجها إلى

سيكلوترون متوسط الحجم، ولو أنه يمكن أيضاً في بعض الحالات (كما

هو الحال بالنسبة لكل من:  $^{67}\text{Ga}$ ،  $^{111}\text{In}$ ،  $^{123}\text{I}$ ) استخدام آلات منخفضة

الطاقة قادرة على تحريض تفاعلات (p, n) [18 - 20]. وقد أصبحت

معروفة بيانات المقطع الفعال للتفاعل النووي الخاصة بمعظم العمليات،

كما جرى مؤخراً تقييمها باستخدام كل من حسابات النموذج النووي

وطرائق الموازنة [21]. وإنه لأمر مدهش حقاً أن تبقى متناقضة تلك

البيانات الخاصة بالعملية  $^{124}\text{Xe}$  (p, X) الشائع استخدامها لإنتاج  $^{123}\text{I}$ ،

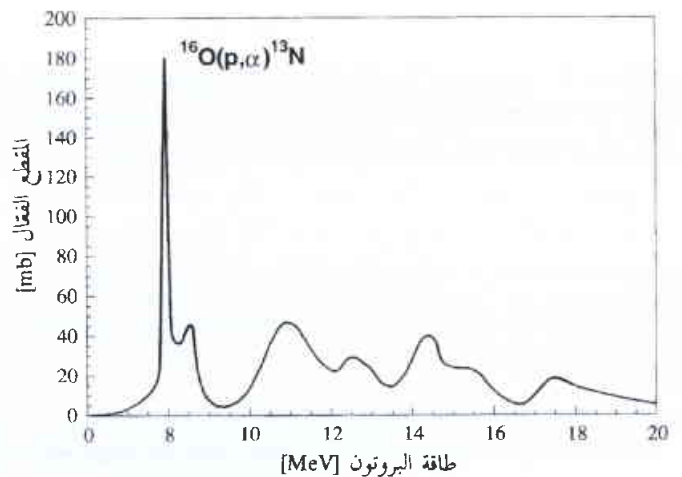
وهو النكليد المشع المستخدم على نطاق واسع في تقنية SPECT.

النكليد المشع	عمر النصف $T_{1/2}$	نمط الأضمحلال (%)	الطاقة الرئيسة للأشعة $\gamma$ keV(%)	بيانات الإنتاج		
				التفاعل النووي	المجال الطاقي (MeV)	حصولية الهدف السميك $\text{MBq(mCi)/}\mu\text{A.h}$
$^{11}\text{C}$	20.4 min	$\beta^+$ (99.8) EC (0.2)	511 (199.6)	$^{14}\text{N}$ (p, $\alpha$ )	13 $\rightarrow$ 3	3820 (103)
$^{13}\text{N}$	10.0 min	$\beta^+$ (100)	511 (200)	$^{16}\text{O}$ (p, $\alpha$ )	16 $\rightarrow$ 7	1665 (45)
$^{15}\text{O}$	2.0 min	$\beta^+$ (99.9) EC (0.1)	511 (199.8)	$^{14}\text{N}$ (d, n) $^{15}\text{N}$ (p, n)	8 $\rightarrow$ 0 10 $\rightarrow$ 0	2368 (64) 2220 (60)
$^{18}\text{F}$	109.6 min	$\beta^+$ (97) EC (3)	511 (194)	$^{18}\text{O}$ (p, n) $^{20}\text{Ne}$ (d, $\alpha$ )	16 $\rightarrow$ 3 14 $\rightarrow$ 0	2960 (80) 1110 (30)
$^{68}\text{Ge}$ ↓ (generator)	271 d	EC (100)		RbBr (p, spall) $^{69}\text{Ga}$ (p, 2n)	800, 500	0.15 (0.0004)
$^{68}\text{Ga}$	68 min	$\beta^+$ (90) EC (10)	511 (180) 1077 (3)			
$^{82}\text{Sr}$ ↓ (generator)	25 d	EC (100)		Mo (p, spall) $^{85}\text{Rb}$ (p, 4n)	800 60 $\rightarrow$ 40	3.7 (0.1) 14.8 (0.4)
$^{82}\text{Rb}$	1.3 min	$\beta^+$ (96) EC (4)	511 (192) 776 (13.4)			

• يمكن حالياً الحصول على نواحي الإثارة التي جرى تقييمها لجميع التفاعلات المبينة هنا (باستثناء عملية التشطّي (spallation process) من [14]. تنفق عمراً الحصيلات المبينة هنا مع تلك المشورة في [14].

رئيسة المنتج " $^{18}\text{F}$ fluoro - 2 - deoxy - D - glucose" والذي يُعرف عادة باسم FDG؛ وقد تمّ تطوير اصطناع هذا المركب الصيدلاني المشع في مركز أبحاث يولش بألمانيا [15]، وأضحّت تتوفر منه حالياً كميات بسوية الكوري عن طريق استخدام مصطنعات آلية خاصة. وفي موقع آخر من العدد الذي نُشر فيه هذا المقال نُوقشت التطبيقات السريرية لعدة قفّاءات مستخدمة في تقنية PET (إسهام الباحث Herzog فيما يتعلق بالتصوير الوظيفي المنشور في هذا العدد.

أما بشأن مصادر  $\beta^+$  المنتجة من مولدات (نظائر سلفية مولدة) فإنها تُجد معظم تطبيقاتها في دراسات PET التي يجري تنفيذها في مراكز غير مجهزة بسيكلوترون.

الشكل 1 - تابع الإثارة للتفاعل  $^{13}\text{N}$   $^{16}\text{O}$ (p,  $\alpha$ ) البيانات مأخوذة عن [14].

الجدول 4- طرائق ورتيبة لإنتاج بعض مصادر الفوتون الشائع استخدامها [10، 13].

بيانات الإنتاج	حصولية الهدف السميك MBq(mCi)/μA h	بيانات الإنتاج		
		المجال الطاقي (MeV)	الفعال النووي	الطاقة الرئيسية لأشعة γ (%)
<sup>67</sup> Ga	185 (5)	26 → 18	<sup>68</sup> Zn (p, 2n) <sup>67</sup> Zn (p, n)	93 (37) 185 (20) (199.6)
<sup>99m</sup> Mo	"	"	<sup>235</sup> U (n, f) <sup>98</sup> Mo (n, γ)	181 (6) 740 (12)
<sup>99m</sup> Tc	"	"	"	"
<sup>111</sup> In	166 (4.5)	25 → 18	<sup>112</sup> Cd (p, 2n) <sup>111</sup> Cd (p, n)	141 (87) 173 (91) 247 (94)
<sup>123</sup> I	137 (3.7) 392 (10.6) 777 (21) <sup>d</sup> 414 (11.2) <sup>d</sup>	14.5 → 10 26 → 23 65 → 45 29 → 23	<sup>123</sup> Te (p, n) <sup>124</sup> Te (p, 2n) <sup>124</sup> I (p, 5n) <sup>123</sup> Xe <sup>c</sup> <sup>124</sup> Xe (p, x) <sup>123</sup> Xe <sup>c</sup>	159 (83)
<sup>201</sup> Tl	18 (0.5) <sup>f</sup>	28 → 20	<sup>201</sup> Tl (p, 3n) <sup>201</sup> Pb <sup>e</sup>	69 – 82 (X-rays) 166 (10.2)

• يمكن حالياً الحصول على أنواع الإثارة التي جرى تقييمها لجميع التفاعلات المبينة هنا (باستثناء التفاعلات المخروسة بالنيوترون) من [21]. تنفق عموماً الحصيلات المبينة هنا مع تلك المنشورة في [21].

a: كميات من هذا النظير المشع مقفلة بوحدة TBq (مئات من الكوري (Ci)) يجري إنتاجها في مراكز متطورة جداً.  
b: طرائق مستخدمة في مخاب أقل تطوراً.

c: يضمحل <sup>123</sup>Xe بواسطة EC (87%) وإصدار β<sup>+</sup> (13%) ليشكل النظير <sup>123</sup>I.

d: يُعدّ هذا حصولية <sup>123</sup>I المتوقعة من اضمحلال <sup>123</sup>Xe خلال فترة زمنية مثلى تقدر بحوالي 7 ساعات.

e: يضمحل <sup>201</sup>Pb بواسطة EC (100%) ليشكل النظير <sup>201</sup>Tl.

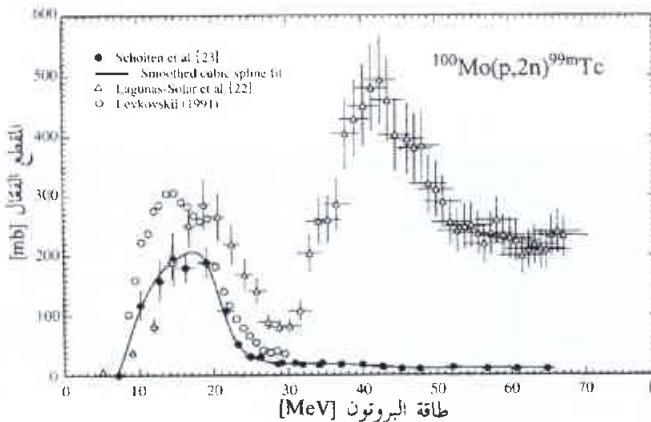
f: يُعدّ هذا حصولية <sup>201</sup>Tl المتوقعة من اضمحلال <sup>201</sup>Pb خلال فترة زمنية مثلى تقدر بحوالي 32 ساعة.

### حول إمكانية الإنتاج بمسرع للمنظومة <sup>99m</sup>Tc / <sup>99</sup>Mo

كان هناك بعض التخوف حول إمكانية الحصول على إمدادات مستمرة من النكليد المشع <sup>99m</sup>Tc والذي يُعدّ الأكثر شيوعاً واستخداماً في تقنية SPECT. ومع الإغلاق المستمر للمفاعلات الهزمية، تغدو معرّضة للخطر الكميات المعروضة من النظير <sup>99</sup>Mo، هو السلف المولد للنظير <sup>99m</sup>Tc. لذلك، جرى تكريس بعض الأفكار نحو إمكانية إنتاج <sup>99</sup>Mo و <sup>99m</sup>Tc بواسطة السيكلوترون. وفي تقرير نشره لاغوناس - سولار Lagunas - Solar وزملاؤهما [22] تطورت المطالبة لتشمل حتى إمكانية الاستعاضة عن المفاعلات جزئياً أو كلياً بسيكلوترونات متوسطة الحجم كطريقة من أجل إنتاج منظومة <sup>99</sup>Mo / <sup>99m</sup>Tc؛ وكان ادعائهم هذا مبنياً على ما وجدوه من ارتفاع ملفت للنظر للمقطع الفعّال الخاص بكل من التفاعلين <sup>99</sup>Mo (p, γ) و <sup>100</sup>Mo (p, 2n) <sup>99m</sup>Tc. وفي دراسة أجريت برعاية من الوكالة الدولية للطاقة الذرية IAEA وأنجز معظمها في مركز أبحاث يولش، تمكن شلتن Scholten وزملاؤه [23] من إجراء بعض القياسات المفتاحية مستخدمين أنواعاً عدة من السيكلوترونات؛ وقد وجد هؤلاء أن المقطع الفعّال للتفاعل <sup>99</sup>Mo (p, γ) <sup>99m</sup>Tc كان صغيراً إلى درجة يمكن إهماله (> 0.2mb). عبر كامل المدى الطاقي المختبر الذي يتراوح ما بين 6 إلى 45 MeV. ويبيّن الشكل 2 نتائج القياسات التي أجريت على النظير <sup>100</sup>Mo عالي الإغناء. وتُعزى الذروة التي تُلاحظ في المقطع الفعّال عند حوالي 17 MeV إلى التفاعل <sup>100</sup>Mo (p, 2n) <sup>99m</sup>Tc؛ وهذا ما عُزّي خطأً، من قبل لاغوناس - سولار وزملاؤهما، إلى العملية

<sup>99m</sup>Tc (p, γ) <sup>98</sup>Mo. وفي العمل البحثي الذي نشره شلتن وزملاؤه [23] لم تُلاحظ الذروة الحادة الثانية عند حوالي 42 MeV والتي أُخبر عن وجودها لاغوناس - سولار وزملاؤهما. وقد قادت دراسة شلتن وزملاؤه إلى الاستنتاج بإمكانية إنتاج النظير <sup>99m</sup>Tc بواسطة السيكلوترون بكميات صغيرة ومن أجل الاستخدام المحلي فقط؛ وبأن الكمية المنتجة من <sup>99</sup>Mo تُعدّ صغيرة وهي، بدون ريب، ذات نشاط إشعاعي نوعي منخفض. وبناء عليه، لا توجد بدائل لمولدات <sup>99</sup>Mo / <sup>99m</sup>Tc المنتجة بواسطة المفاعل. وقد أدت قياسات نُفذت باستخدام الدوترونات، وأجريت بالتعاون بين مركزي أبحاث Brussels / Debrecen، إلى استنتاج مشابه نوعاً ما إلى ماسبق ذكره آنفاً.

وفي الوقت الحالي، هدأت الحالة بشأن الخلاف المذكور آنفاً، حيث أمكن استنباط تجهيزات جديدة لإنتاج <sup>99</sup>Mo الانشطاري. ومهما يكن من أمر، فإن النتائج التي تمّ الاستشهاد بها أعلاه والمناقشة التي اعتمدت عليها تُظهر أهمية الحصول على قياسات دقيقة للمقطع الفعّال، كما تشير



الشكل 2- تابع الإثارة للتفاعل <sup>100</sup>Mo (p, 2n) <sup>99m</sup>Tc

الشكل مأخوذ عن [23]. لم تُلاحظ الذروة الحادة عند حوالي 42 MeV، والتي أفاد بها [22]، من قِبَل مؤلفي [23] الذين استخدموا <sup>100</sup>Mo عالي الإغناء كمادة هدف.

### الحاجة لبيانات دقيقة قرب عتبات التفاعل

مع الاستخدام المتزايد للسيكلوترونات ذات الطاقة المنخفضة في برامج إنتاج النظائر المشعة الطبية، تعززت أهمية بيانات المقطع التفاعلي قرب عتبات التفاعل. ويعتمد كثير من البيانات القديمة على قياسات لتابع الإثارة كانت فيها طاقة الجسيم الوارد عالية إلى حد ما. ومع تدهور الطاقة في الكدسات عبر مسافات واسعة، تصبح البيانات التجريبية للمقطع التفاعلي قرب عتبات التفاعل غير دقيقة. ويمكن هنا للنظرية أن تقدم بعض التوجيه حيث يجري حساب العتبة بشيء من الدقة مقارنة بالمقطع التفاعلي الأعظمي. وبالإمكان إعطاء مثال جيد من خلال قياس تجري مؤخرًا على تابع إثارة التفاعل  $^{124}\text{Te} (p, n) ^{124}\text{I}$  [24]. وبسبب قلة البيانات المتوفرة عند  $E_p \geq 12 \text{ MeV}$ ، فقد اعتُبر التفاعل الأخير غير ملائم لإنتاج  $^{124}\text{I}$ . لكن قياسات جديدة [24] أظهرت أن عتبة التفاعل المذكور هي أقل بحوالي 2.5 MeV. لذلك يمكن، وبشكل مريح، استخدام العملية المذكورة آنفًا لإنتاج النظير  $^{124}\text{I}$  بواسطة سيكلوترون صغير الحجم.

### تأثير زيادة طاقة الجسيم الوارد

من المعروف أنه عند زيادة طاقة الجسيم الوارد يزداد عدد القنوات المتنافسة للتفاعل. وتعدّ التفاعلات المؤدية إلى تشكل شوائب نظيرية هي الأعظم أهمية؛ حيث يمكن إزالة الشوائب غير النظرية بالفصل الكيميائي. وكمثال على ما ذكر، نورد البيانات الخاصة بالتفاعلات  $^{75, 73, 72}\text{Se} (p, xn) ^{75, 73, 72}\text{As}$  [26, 25] التي جرى تبيانها في الشكل 3. ويبدو أن مجال الطاقة  $E_p = 40 - 30 \text{ MeV}$  هو المجال الأعظم فائدة من أجل إنتاج النظير  $^{73}\text{Se}$  ( $T_{1/2} = 7.1$  ساعة) المصدر لجسيمات  $\beta^+$ . فغير مجال للطاقة كهذا يصل مردود النظير  $^{73}\text{Se}$  إلى  $1400 \text{ MBq} / \mu\text{Ah}$  كما تصل سوية ثابتة  $^{72, 75}\text{Se}$  إلى  $> 0.2\%$ . ومن الواضح أن تصبح الاحتياجات البيانية تصبح أعظم كلما ارتفعت طاقة القذف. وعند طاقات عالية تحدث عملية التشظية والتي تقود بدورها تقود إلى عدد كبير من المنتجات. وتعدّوا الاحتياجات البيانية عالية كما يغدو الجهد المبذول في المعالجة الكيميائية كبيراً وشاملاً.

### شوائب نظيرية

النكليدات المشعة السيكلوترونية التي يجري استخدامها عادة (مصدرات للبويزترون، أو نظائر مشعة تستخدم في تقنية SPECT مثل:  $^{123}\text{I}$ ، و  $^{201}\text{Tl}$ ، إلخ.) هي نظائر خالية من أية حالة أيزوميرية أخرى قابلة للقياس. من ناحية أخرى، هناك العديد من النكليدات المشعة التي تتألف من حالتين أيزوميريتين ولها إمكانيات استخدام مفيدة في أعمال بحثية متممة. وفي الواقع، لن تكون هناك أية مشكلة عندما تكون إحدى الحالتين الأيزوميريتين قصيرة العمر بحيث تضمحل وتفقد نشاطها الإشعاعي في الوقت الذي يبدأ فيه استخدام الأيزومير الأطول عمراً.

إلى أن بيانات غير دقيقة وغير معول عليها قد تؤدي إلى تفسيرات خاطئة وإلى تناقضات لامبر لها. ورغم ماسبق ذكره من ملاحظات سلبية بشأن إمكانية إنتاج  $^{99\text{m}}\text{Tc}$  بواسطة سيكلوترون صغير أو متوسط الحجم، لا بد من الإشارة إلى أنه لا يمكن الجزم نهائياً بعدم صلاحية السرعات لإنتاج منظومة  $^{99}\text{Mo} / ^{99\text{m}}\text{Tc}$  - فمن الممكن - في حال توفر مسرع بروتوني عالي الطاقة يمكن استغلاله في إنتاج نوترونات بطريقة التشظي - استخدام انشطار  $^{235}\text{U}$  لإنتاج النظير  $^{99}\text{Mo}$  بكميات كبيرة.

### بعض الاعتبارات الخاصة الواجب مراعاتها في دراسات البيانات النووية

لا بد أن تؤخذ في الحسبان المفاهيم التالية عند القيام بأعمال البحث والتطوير في مجال إنتاج النظائر المشعة بواسطة السيكلوترون.

#### البحث عن طرق بديلة للإنتاج

يغدو ضرورياً تطوير طريقة بديلة للإنتاج وذلك عائد لواحد أو أكثر من الأسباب التالية:

(i) إمكانية الحصول، في السيكلوترون، على جسيم مُسرّع مفرد مع تقييد لطاقته.

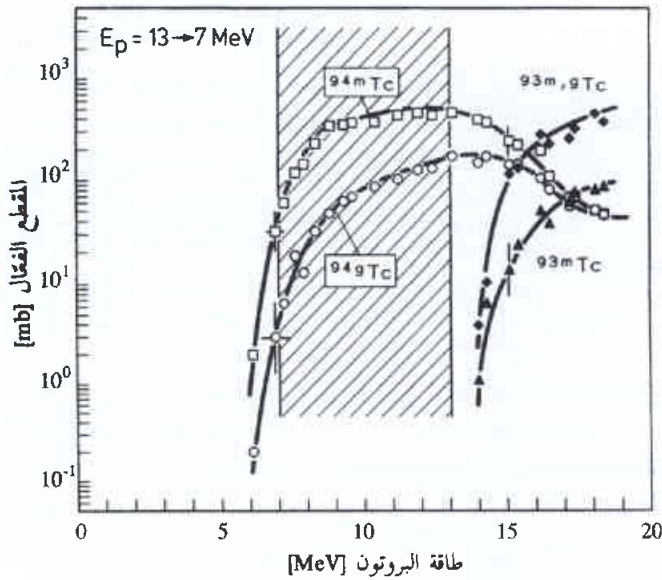
(ii) الطلب على مردود أعلى ونقاوة أعلى للمنتج.

(iii) الطلب على نشاط إشعاعي نوعي أعلى.

وفي تلك الحالات (المبيّنة في الجدول 5) وفي حالات كثيرة أخرى، قد يتطلب إيجاد طريقة بديلة للإنتاج استخدام نظير هدف عالي الإغناء يتمتع بوفرة طبيعية منخفضة جداً. واستنباط العملية  $^{123}\text{I} \rightarrow ^{123}\text{Xe} (p, x) ^{124}\text{Xe}$  يوضح الطلب المتغير على النوعية الخاصة بالنكليدات المشعة ذات الأهمية الطبية. فالوفرة الطبيعية للنظير  $^{124}\text{Xe}$  هي في حدود 0.1% فقط، لذلك كان مكلفاً جداً الحصول على  $^{124}\text{Xe}$  عالي الإغناء. وما أصبح في هذه الأيام تقنية شائعة للإنتاج، لم يكن ممكناً تخيله قبل حوالي 20 سنة مضت.

الجدول 5- استنباط طرق بديلة للإنتاج

النكليد المشع	طريقة شائعة للإنتاج	طريقة بديلة للإنتاج	الوفرة الطبيعية للهدف (%)	الإغناء المستخدم (%)	السبب وراء طريقة بديلة للإنتاج
$^{15}\text{O}$	$^{14}\text{N} (d, n)$	$^{15}\text{N} (p, n)$	0.37	99	سيكلوترون صغير الحجم مجهز بحزمة p فقط
$^{18}\text{F}$	$^{20}\text{Ne} (d, \alpha)$	$^{18}\text{O} (p, n)$	0.20	98	
$^{38}\text{K}$	$^{35}\text{Cl} (\alpha, n)$	$^{38}\text{Ar} (p, n)$	0.06	96	
$^{123}\text{I}$	$^{124}\text{Te} (p, 2n)$ $^{127}\text{I} (p, 5n) ^{123}\text{Xe} \rightarrow$	$^{124}\text{Xe} (p, x) ^{123}\text{Xe} \rightarrow$	0.10	99.9	الطلب على النقاوة
$^{186}\text{Re}$	$^{185}\text{Re} (n, \gamma)$	$^{186}\text{W} (p, n)$	28.60	99.8	الطلب على نشاط إشعاعي نوعي عالٍ

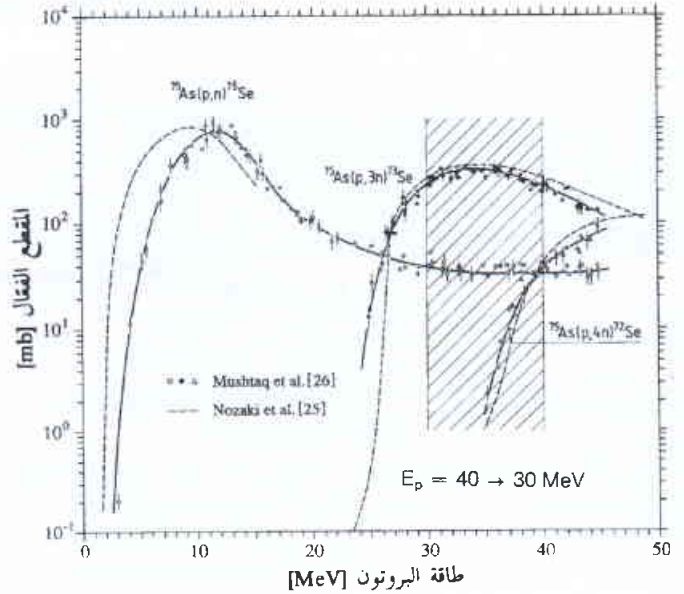


الشكل 4- نواع الإثارة للعمليات  $^{94}\text{Mo}(p, xn)^{94m}\text{Tc}$  المؤدية إلى تشكل كل من:  $^{94m}\text{Tc}$  و  $^{94g}\text{Tc}$ ،  $^{93m}\text{Tc}$ ، و  $^{93m, g}\text{Tc}$ . مجال الطاقة الأمثل لإنتاج  $^{94m}\text{Tc}$  هو  $E_p = 13 \leftarrow 7 \text{ MeV}$ ، ولو أنه لا يمكن بشكل كامل إزالة النشطة الأيزوميرية  $^{94g}\text{Tc}$ . الشكل مأخوذ عن [27].

### الوضع الراهن لبيانات المقطع الفعال وللاختبارات المتكاملة

عند مقارنتها ببيانات إنتاج النكليدات المشعة عبر تفاعلات مُحرضة بالنترون داخل مفاعل نووي، نجد أن بيانات التفاعلات المحرضة بجسيم مشحون بواسطة السيكلوترونات والمسرعات لم تحظ بتقييم ذي قدر كبير من التفصيل. ورغم أن حجم البيانات المتاحة ليس صغيراً [29، 30] إلا أن الجهد الموظف لم يكن كبيراً من أجل تقييم منهجية البيانات الخاصة بالجسيم المشحون. وتم في الآونة الأخيرة فقط لحظ التفاعلات الأكثر شيوعاً من أجل إنتاج مصادر  $\beta^+$  و  $\gamma$  وذلك ضمن إطار برنامج بحث منسق (CRP) قامت به الوكالة الدولية للطاقة الذرية. وقد وجد من خلال هذا البرنامج أن للنظرية استخداماً محدوداً؛ وبالتالي كان التوكيد الرئيس منصّباً على إجراءات الموازنة. وهكذا، أضحت متاحة الآن تلك البيانات المقيّمة الخاصة بالتفاعلات الأخيرة [14، 21]. ولا بد أن يكون اختبار البيانات، عبر قياسات المردود المتكامل وتحت ظروف مُعرّفة جيداً، هو الخطوة اللاحقة؛ ولو أن هذا لم يتحقق حتى تاريخه.

والى جانب النكليدات المشعة التشخيصية التي توطدت أركانها جيداً، هناك عدة نكليدات مشعة لاتقليدية، من النوع الذي يستخدم في أعمال البحث، والتي بدأت تكتسب اهتماماً عالمياً متزايداً [31]. ويتطلب تطوير طرق إنتاج للنكليدات المشعة المذكورة آنفاً أبحاثاً مفصلة في مجال البيانات النووية تشمل على أعمال تجريبية بالإضافة إلى حسابات النموذج النووي.



الشكل 3- نواع الإثارة لتفاعلات النوية  $^{71}\text{Se}(p, xn)^{71}\text{As}$  التي تصور تأثير ازدياد طاقة القذف. مجال الطاقة الأمثل لإنتاج النظير  $^{71}\text{Se}$  هو  $E_p = 40 \leftarrow 30 \text{ MeV}$ . الشكل مأخوذ عن [26].

لكننا قد نواجه بعض الصعوبات في تحليل منحنيات الأضمحلال وفي المحافظة على سوية دنيا من جرعة التشعيع إذا كان الأيزومير الأقصر عمراً هو النظير موضع الاهتمام والاستخدام. وفي هذا السياق، ظهر في الآونة الأخيرة اثنان من الأمثلة الممتعة، وهما النظيران  $^{94m, g}\text{Tc}$  و  $^{120m, g}\text{I}$ . ففي النظير الأول، نجد أن الحالة شبه المستقرة  $^{94m}\text{Tc}$  metastable state ( $T_{1/2} = 53$  دقيقة) هي التي تكون موضع الاهتمام، في حين أن الحالة الأساسية  $^{94g}\text{Tc}$  ground state ( $T_{1/2} = 4.9$  ساعة) هي التي تمثل النكيد المشع المشوّش. أما بالنسبة للنظير الثاني، فتكون الحالة الأساسية  $^{120g}\text{I}$  ( $T_{1/2} = 14$  ساعة) هي المهمة وتكون الحالة شبه المستقرة  $^{120m}\text{I}$  ( $T_{1/2} = 53$  دقيقة) هي المشوّشة. وبالإمكان بطرق مختلفة إنتاج النكليدين المشعّين موضع الاهتمام. ومن الأهمية بمكان معرفة النسبة الأيزوميرية للمقطع الفعال في كل حالة. ويبيّن الشكل 4 تابعي الإثارة المقيسين للتفاعلين:  $^{94}\text{Mo}(p, n)^{94m, g}\text{Tc}$  و  $^{94}\text{Mo}(p, 2n)^{93m, g}\text{Tc}$  [27]. وبينما سيكون ممكناً إزالة الشوائب النظرية  $^{93m, g}\text{Tc}$  من  $^{94m, g}\text{Tc}$  بإجراء انتقاء دقيق لمجال طاقة البروتون داخل الهدف فإنه لن يكون ممكناً (حتى عبر مجال أمثل للطاقة قدره  $E_p = 13 \leftarrow 7 \text{ MeV}$ ) تكون فيه نسبة  $^{94g}\text{Tc} / ^{94m}\text{Tc}$  ثابتة عند 0.07) إزالة الـ 7% لثابتة  $^{94g}\text{Tc}$ . ولم يكن بالمستطاع إحداث تغير في النسبة الأخيرة إلا باستخدام تفاعل نووي آخر مثل:  $^{94m, g}\text{Tc}(^3\text{He}, 2n)^{94m, g}\text{Tc}$  أو  $^{92}\text{Mo}(\alpha, pn)^{94m, g}\text{Tc}$ . وفي حالة الزوج الأيزوميري  $^{120m, g}\text{I}$ ، فقد تمّ استقصاء ثلاثة تفاعلات هي:  $^{122}\text{Te}(p, 3n)^{120m, g}\text{I}$  و  $^{120}\text{Te}(p, n)^{120m, g}\text{I}$  و  $^{120}\text{Te}(d, 2n)^{120m, g}\text{I}$ . وقد وجد أن سوية النشطة  $^{120m}\text{I}$  في  $^{120}\text{I}$  كانت في حدودها الدنيا عند اتباع العملية  $^{120}\text{Te}(p, n)$  [28]. ومن الواضح أن استنباط نظائر جديدة، وبخاصة تلك المحتوية على حالات أيزوميرية، يتطلب قدراً كبيراً من العمل البحثي في أسس الكيمياء النووية.

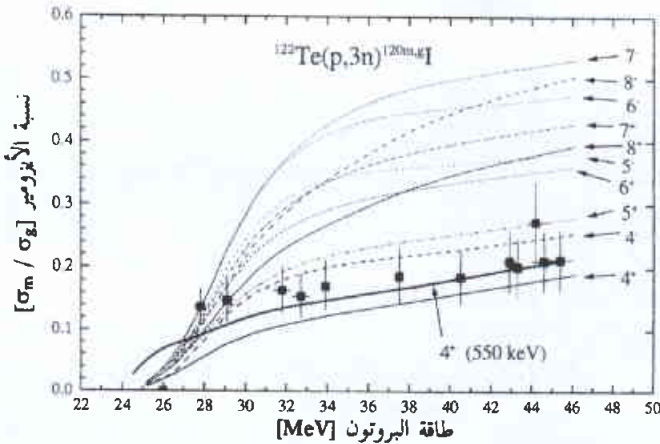
## دور حسابات النموذج النووي

لحسابات النموذج النووي أهمية بالغة في برامج إنتاج النظائر المشعة الطبية، وبخاصة من حيث قدرتها على التنبؤ في حال وجود مقاطع فعالة غير معروفة. وقد تبين أن النموذج الإحصائي المستخدم لشكلية هوزر - فشاباخ Hauser - Feshbach formalism كان ناجحاً جداً في مجال طاقات حتى غاية 20 MeV. وشاع استخدام نموذج الهجين ما قبل المركب precompound - hybrid model عند طاقات أعلى من المجال المذكور آنفاً.

وتساهم في إنتاج النكليدات المشعة داخل المفاعل تفاعلات محرّضة بالنوترون تصل لغاية 20 MeV. ويمكن بواسطة النظرية الحصول على توصيف جيد نوعاً ما لمعظم المقاطع الفعالة للتفاعل. أما بالنسبة للمقاطع الفعالة غير المعروفة فتكون مقدرة النظرية على التنبؤ عالية، خصوصاً عند جمعها مع منظومات معروفة المقطع الفعال. وفي حالة الإنتاج السيكلوتروني للنكليدات المشعة يساهم عدد كبير لقنوات التفاعل في مجالات مختلفة للكتلة. ومن أجل إعادة تمثيل (أو توليد) مقاطع فعالة للإنتاج تكون حسابات النموذج النووي ناجحة بشكل جزئي فقط. وعلى سبيل المثال، لا يمكن للنظرية أن تساعد على ذلك في المجال الخفيف للكتلة والذي يُعدّ مجالاً بالغ الأهمية لتقنية PET. أما بالنسبة للمجالين المتوسط والثقل للكتلة، فيمكن جيداً توصيف منتجات التفاعل، وبخاصة (p, xn) و (d, xn)، لغاية طاقات للجسيم الوارد تصل إلى حوالي 50 MeV (انظر إسهام الباحث Shubin في العدد 89 من مجلة Radiochim. Acta). وبصورة خاصة، قد تكون البيانات المحسوبة مفيدة في تعديل عتبات التفاعل حيث أن الكثير من المنحنيات التجريبية تكون خاطئة إلى حد ما قرب هذه العتبات. وفي تفاعلات أخرى - كتفاعلات (p, α)، و (d, pxn)، و (d, xn)، و (α, xn)، إلخ - قد تحدث انحرافات لأبأس بها بين البيانات التجريبية والمحسوبة [32، 33]. وحتى التفاعلين البسيطين (p, xn) و (d, xn) لا يتولدان جيداً بواسطة النظرية عند طاقات أعلى من 50 MeV. من جهة ثانية، لا بد من التأكيد على أن البيانات المحسوبة قد تكون بقدر كافٍ من الدقة من أجل العلاج بالبروتونات والنوترونات (انظر إسهام الباحث Chadwick في العدد 89 من مجلة Radiochim. Acta). وحيث أن الدقة المتوخاة في أعمال إنتاج النظائر تكون أكثر صرامة لذلك توجب إيلاء تركيز أعظم على البيانات التجريبية.

وعلى نقيض المقطع الفعال الإجمالي لقناة التفاعل، يُعدّ المقطع الفعال الجزئي (أو بمعنى آخر احتمال تشكيل حالة أيزوميرية) أكثر إلحاحاً وذلك بسبب ضرورة تلقيم معلومات كاملة عن البنية النووية. لذلك، لا يمكن للنظرية فقط أن تتنبأ بتتابع الإثارة من أجل تشكيل شوائب أيزوميرية، وتعدو الدراسات التجريبية الداعمة أمراً ضرورياً. وعلى سبيل المثال، نورد الشكل 5 الذي يبين النتائج [34] الخاصة بالزوج الأيزوميري  $^{120m}\text{Te}$ .

وقد تمّ في التفاعل  $^{122}\text{Te}(p, 3n)^{120m}\text{Te}$  تقدير النسبة  $[\sigma_m / \sigma_g]$  بطريقة تجريبية كما تمّ حسابها باستخدام الكود STAPRE. وبينما كان للحالة الأرضية ( $T_{1/2} = 1.4$  ساعة) سبين ( $2^+$ )، لم يكن سبين الحالة شبه المستقرة ( $T_{1/2} = 53$  دقيقة) معروفاً بشكل يقيني أو مؤكد. وتوحي



الشكل 5- النسبة الأيزوميرية  $[\sigma_m / \sigma_g]$  للمقطع الفعال الخاصة بالزوج الأيزوميري  $^{120m}\text{Te}$  في التفاعل  $^{122}\text{Te}(p, 3n)$  وذلك كنسبة لطاقة البروتون. البيانات التجريبية مبيّنة على شكل رموز والنتائج النظرية على شكل منحنيات. يبدو أن النتائج المحسوبة تضد بشدة على طاقة الإثارة للحالة شبه المستقرة، أي على سبينها وزوجيتها. الشكل مأخوذ عن [34].

النتائج المحسوبة لمختلف قيم سبين الحالة شبه المستقرة باحتمال كون سبينها الحقيقي ( $4^+$ ) أو ( $4^-$ ). وتمّ الحصول على أفضل النتائج بافتراض أن طاقة الحالة شبه المستقرة هي 550 keV وأن سبينها هو ( $4^+$ ). وباستخدام الفرضيتين الأخيرتين، أمكن أيضاً توليد النسبة  $[\sigma_m / \sigma_g]$  في العمليتين النوويتين  $^{120m}\text{Te}(p, n)$  و  $^{120m}\text{Te}(d, 2n)$ . بناءً على ما سبق، وإلى جانب العمل التجريبي الدقيق الذي يتطلبه البحث من أجل استنباط نظير مشع طبي يستخدم في تشكيل حالات أيزوميرية، يتطلب هذا البحث أيضاً دراية مفصلة ببنية سويات الطاقة وذلك حتى يغدو ممكناً إجراء حسابات نموذج نووي مُعول عليها وقادرة على إثبات وتأكيد صحة البيانات المقيسة.

## استنتاجات ختامية

تلعب البيانات النووية دوراً هاماً جداً في انتقاء نظير مشع للاستخدام الطبي. وبينما تحدد البنية النووية وبيانات الأضمحلال مواءمة نظير مشع للاستخدام التشخيصي، تحدد بيانات المقطع الفعال للتفاعل إمكانية إنتاجه بشكلٍ نقي. وتستخدم في أغراض الإنتاج المفاعلات والسيكلوترونات كلاهما. وعموماً، تُعدّ بيانات المقطع الفعال من أجل الإنتاج بالمفاعلات معروفة جيداً كما يمكن توليدها بشكلٍ مرضٍ بواسطة حسابات نموذج نووي. من ناحية ثانية، يتطلب الإنتاج بواسطة السيكلوترونات قاعدة بيانات ضخمة والتي تُعدّ، إلى حد ما، جيدة بالنسبة لكلٍ من مصادرات  $\beta^+$  شائعة الاستخدام والنكليدات المشعة المصدرة لفوتون مفرد. لكن إنتاج النكليدات المشعة غير التقليدية يفرض بعضاً من الطلب الملح على قياسات البيانات وعلى تطويرات تقانية وكيميائية إشعاعية. وفي هذا السياق، تكتسب مصادرات  $\beta^+$  الأطول عمراً أهمية متزايدة. ويتألف العديد من النكليدات المشعة التي هي موضع الاهتمام من اثنتين أو أكثر من الحالات الأيزوميرية. ولكي نصبح قادرين على اختيار العملية التي تعطي أدنى كمية من الشائبة الأيزوميرية، يغدو ضرورياً إجراء قياسات مفصلة على النسب الأيزوميرية للمقطع الفعال في جميع القنوات المحتملة



التفاعلات كافة ضمن المجال الخفيف للكتلة، والتفاعلات غير المألوفة [مثل  $(p, \alpha)$ ] ضمن مجالات مختلفة للكتلة، وكذلك النسب الأيزوميرية للمقطع الفعال. وتعدّ الدراسات التجريبية أمراً إلزامياً في جميع الحالات المذكورة آنفاً.

## REFERENCES

## المراجع

- [1] Mani, R. S.: Reactor - produced radionuclides. In: Radionuclides Production, Vol.11, (Helus, F., Ed.), CRC Press, Boca Raton, Florida, USA (1983), pp. 1-45.
- [2] Mirzadeh, S., Knapp, Jr., F. F., Alexander, C. W.: Evaluation of neutron inelastic scattering for radioisotope production. In: Proc. Int. Conf. Nuclear Data for Science and Technology, Gatlinburg, USA, May 1994, (Dickens, J. K., Ed.), American Nuclear Society, La Grange Park, Illinois, USA (1994), p. 1032.
- [3] Mughabghab, S. F., Divadeenam, M., Holden, N. E.: Neutron Cross Sections, Vol. 1. Neutron Resonance Parameters and Thermal Cross Sections. Part A (1981); Mughabghab, S. F.: Part B, Academic Press, New York, USA (1984).
- [4] McLane, V., Dunford, C. L., Rose, R. F.: Neutron Cross Sections, Vol.2. Neutron Cross Section Curves. Academic Press, New York, USA (1988).
- [5] Calamand, A.: Cross sections for fission neutron spectrum induced reactions. In: Handbook on Nuclear Activation Cross Sections. Technical Reports Series No. 156, IAEA, Vienna (1974), p. 273; for an updated version cf. JEF Report 14 (OECD - NEA, Paris, France, 1994).
- [6] Pfennig, G., Klewe-Nebenius, H., Seelmann - Eggebert, W.: Karlsruher Nuklidkarte. Forschungszentrum Karlsruhe, Technik und Umwelt, Karlsruhe (1995).
- [7] Evaluated Nuclear Data File (ENDF / B - VI). NNDC, BNL, Upton, USA
- [8] Joint European Fission and Fusion File (JEFF). OECD - NEA Data Bank, Paris, France.
- [9] Reference Neutron Activation Library, IAEA - TECDOC - , Vienna (2000).
- [10] Qaim, S. M.: Nuclear data relevant to cyclotron produced short - lived medical radioisotopes. Radiochim. Acta 30, 147 (1982).
- [11] Wolf, A. P., Barclay Jones, W.: Cyclotrons for biomedical radioisotope production. Radiochim. Acta 34, 1 (1983).
- [12] Qaim, S. M., Clark, J. C., Crouzel, C., Guillaume, M., Helmeke, H. J., Nebeling, B., Pike, V. W., Stöcklin, G.: PET radionuclide production. In: Radiopharmaceuticals for Positron Emission Tomography. (Stöcklin, G., Pike, V. W., Eds.), Kluwer Academic Publishers, Dordrecht, The Netherlands (1993), pp. 1 - 42.
- [13] Stöcklin, G., Qaim, S. M., Rösch, F.: The impact of radioactivity on medicine. Radiochim. Acta 70 / 71, 249 (1995).
- [14] Qaim, S. M., Tarkainyi, F., Takacs, S., Hermanne, A., Nortier, M., Oblozinsky, P., Scholten, B., Shubin, Y. N., Zhuang, Y.: Positron emitters. In: Charged Particle Cross Section Database for Medical Radioisotope Production. IAEA-TECDOC-1211, Vienna (2001), pp.231-277.
- [15] Hamacher, K., Coenen, H. H., Stöcklin, G.: Efficient stereospecific synthesis of no - carrier - added 2 - [ $^{18}\text{F}$ ] fluoro - 2 - deoxy - D - glucose using aminopolyether supported nucleophilic substitution. J. Nucl. Med. 27, 235 (1986).
- [16] Grant, P. M., Miller, D. A., Gilmore, J. S., O'Brien, Jr., H. A.: Medium - energy spallation cross sections. 1.RbBr irradiation with 800 MeV protons. Int. J. Appl. Radiat. Isot. 33, 415 (1982).
- [17] Phillips, D. R., Peterson, E. J., Taylor, W. A. Jamriska, D. J., Hamilton, V. T., Kitten, J. J., Valdez, F. O., Salazar, L. L., Pitt, L. R., Heaton, R. C., Kolsky, K. L., Mausner, L. F., Kurczak, S., Zhuikov, B. L., Kokhanyuk, V. M., Konyakhin, N. A., Nortier, F. M., van der Walt, T. N., Hanekom, J., Sosnowski, K. M., Carty, J. S.: Production of Sr - 82 for the Cardiogen PET generator: a project of the Department of Energy Virtual Isotope Center. Radiochim. Acta 88,149 (2000).
- [18] Tarkanyi, F., Szelecsenyi, F., Kovacs, Z., Sudar, S.: Excitation functions of proton induced nuclear reactions on enriched  $^{66}\text{Zn}$ ,  $^{67}\text{Zn}$  and  $^{68}\text{Zn}$ . Production of  $^{67}\text{Ga}$  and  $^{66}\text{Ga}$ . Radiochim. Acta 50, 19(1990).
- [19] Tarkanyi, F., Szelecsenyi, F., Kopecky, P., Molnar, T., Ando, L., Mikecz, P., Toth, Gy., Rydl, A.: Cross sections

- of proton induced reactions on enriched  $^{111}\text{Cd}$  and  $^{112}\text{Cd}$  for the production of  $^{111}\text{In}$  for use in nuclear medicine. *Appl. Radiat. Isot.* 45, 239 (1994).
- [20] Scholten, B., Qaim, S. M., Stöcklin, G.: Excitation functions of proton induced nuclear reactions on natural tellurium and enriched  $^{123}\text{Te}$ : Production of  $^{123}\text{I}$  via the  $^{123}\text{Te} (p, n) ^{123}\text{I}$  process at a low - energy cyclotron. *Appl. Radiat. Isot.* 40, 127 (1989).
- [21] Hermanne, A., Gul, K., Mustafa, M. G., Nortier, M., Oblizonsky, P., Qaim, S. M., Scholten, B., Shubin, Y. N., Tarkanyi, F., Takacs, S., Zhuang, Y.: Gamma emitters. In: Charged Particle Cross Section Database for Medical Radioisotope Production. IAEA - TECDOC - 1211, Vienna (2001), pp. 151-200.
- [22] Lagunas - Solar, M. C., Kiefer, P. M., Carvacho, O. F., Lagunas, C. A., Cha, Y. P.: Cyclotron production of new  $^{99m}\text{Tc}$  and  $^{99}\text{Mo}$ . An alternative non - reactor supply source of instant  $^{99m}\text{Tc}$  and  $^{99}\text{Mo} \rightarrow ^{99m}\text{Tc}$  generators. *Appl. Radiat. Isot.* 42, 643 (1991).
- [23] Scholten, B., Lambrecht, R. M., Cogneau, M., Vera Ruiz, H., Qaim, S. M.: Excitation functions for the cyclotron production of  $^{99m}\text{Tc}$  and  $^{99}\text{Mo}$ . *Appl. Radiat. Isot.* 51, 69 (1999).
- [24] Scholten, B., Kovacs, Z., Tarkanyi, F., Qaim, S. M.: Excitation functions of  $^{124}\text{Te}(p,xn)^{124,123}\text{I}$  reactions from 6 to 31 MeV with special reference to the production of  $^{124}\text{I}$  at a small cyclotron. *Appl. Radiat. Isot.* 46, 255 (1995).
- [25] Nozaki, T., Itoh, Y., Ogawa, K.: Yield of  $^{73}\text{Se}$  for various reactions and its chemical processing. *Int. J. Appl. Radiat. Isot.* 30, 595(1979).
- [26] Mushtaq, A., Qaim, S. M., Stöcklin, G.: Production of  $^{73}\text{Se}$  via (p,3n) and (d,4n) reactions on arsenic. *Appl. Radiat. Isot.* 39, 1085 (1988).
- [27] Rösch, F. Qaim, S. M.: Nuclear data relevant to the production of the positron emitting technetium isotope  $^{94m}\text{Tc}$  via  $^{94}\text{Mo} (p,n) -$  reaction. *Radiochim. Acta* 62, 115 (1993); Erratum 75, 227 (1996).
- [28] Hohn, A., Coenen, H. H., Qaim, S. M.: Excitation functions of  $^{124}\text{Te} (d,xn)^{121, 120m,g}\text{I}$  reactions from threshold up to 13.5 MeV: comparative studies on the production of  $^{120g}\text{I}$ . *Appl. Radiat. Isot.* 52, 923 (2000).
- [29] Iljinov, A. S., Semenov, V. G., Semenova, M. P., Sobolevsky, N. M., Udovenko, L. V.: Production of radionuclides at intermediate energies. Landolt - Börnstein, New Series, Group I, Vol. 13, Springer - Verlag, Berlin - Heidelberg, Subvol. A (1991); Subvol. B (1992); Subvol. C (1993); Subvol. D (1994) (Supplement to I / 13A, B, C).
- [30] Semenov, V. G., Semenova, M. P., Sobolevsky, N. M.: Interaction of  $\alpha$  - particles with targets in production of radionuclides at intermediate energies. Landolt - Börnstein, New series, Group I, Vol. 13H, Springer - Verlag, Berlin (1996).
- [31] 8th Workshop on Targetry and Target Chemistry. (Session on Non - Standard Isotope Production. Organizers: McCarthy, T. J., Qaim, S. M.), St. Louis, USA, June (1999).
- [32] Qaim, S. M., Uhl, M., Rösch, F., Szelecsenyi, F.: Excitation functions of (p,  $\alpha$ ) reactions on  $^{64}\text{Ni}$ ,  $^{78}\text{Kr}$  and  $^{86}\text{Sr}$ . *Phys. Rev. C* 52, 733(1995).
- [33] Strohmaier, B., Faßbender, M., Qaim, S. M.: Production cross sections of ground and isomeric states in the reaction systems  $^{93}\text{Nb} + ^3\text{He}$ ,  $^{92}\text{Mo} + \alpha$  and  $^{94, 95}\text{Mo} + p$ . *Phys. Rev. C* 56, 2654 (1997).
- [34] Sudar, S., Hohn, A., Qaim, S. M.: Nuclear model calculations on proton and deuteron induced reactions on  $^{122}\text{Te}$  and  $^{120}\text{Te}$  with particular reference to the formation of the isomeric states  $^{120m,g}\text{I}$ . *Appl. Radiat. Isot.* 52, 937 (2000).■

لمزيد من المعلومات حول "أثر النشاط الإشعاعي في الطب" يرجى العودة إلى العددين: العدد الخاص 52 (تشرين الثاني-كانون الأول) 1997 والعدد 61 (أيار-حزيران) 1999 من مجلة عالم الذرة.



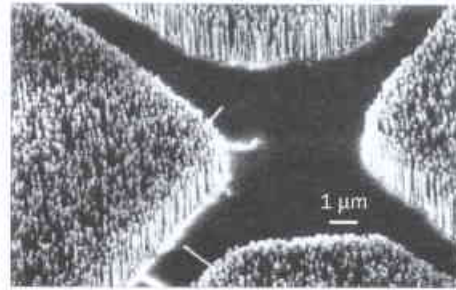
# أخبار علمية



## 1- ليزر نانوي فوق بنفسجي\*

طوّر فريق من العلماء الأمريكيين ليزراً بمقياس نانوي يصدر ضوءاً فوق بنفسجي بدرجة الحرارة العادية وبتمليق coaxing شعيرات صغيرة جداً من أكسيد الزنك لكي تنمو فوق ركازة من السفير، وأوجد بايدون يانغ Peidon Yang وزملاؤه من جامعة كاليفورنيا في بيركلي منبعاً ضوئياً صغيراً جداً يمكن أن يكون له تطبيقات في الحوسبة الضوئية وتخزين البيانات فائقة الكثافة.

تكمّن الليزرزات في قلب نظم البيانات الضوئية، مثل مشغلات الأقراص المتراصّة CD والأقراص الفيديوية الرقمية DVD حيث تُستخدم لقراءة المعلومات المخزّنة على الأقراص. على أي حال، تتحدّد كمية البيانات، التي يمكن تخزينها، بطول موجة الضوء. وقد يسمح استبدال الليزرزات فوق البنفسجية ذات الطول الموجي الأقصر بالليزرزات الحمراء في مشغلات الأقراص بزيادة في سعة التخزين. ويُعدّ أكسيد الزنك منبعاً واعداً للضوء فوق البنفسجي لكونه نصف ناقل له فرجة طاقة بين عصابتي النقل والتكافؤ.



مصنوعات من شعيرات أكسيد الزنك النانوية  
يمكن أن تصدر حزمة ليزرية عند أطوال موجية فوق بنفسجية.

قام يانغ وزملاؤه بتنمية بلّورات من أكسيد الزنك وذلك بإمرار أكسيد الزنك فوق ركازة سفير ساخنة مغطاة بغشاء رقيق من الذهب. وهنا يسلك الذهب كحفّاز لبلّورات أكسيد الزنك النانوية، التي شكّلت مصفوفات من بلّورات دقيقة تشبه الشعرة موجهة بدقة يصل طولها 10µm وقطرها إلى بضعة مئات من النانومتر. كما وجد فريق بيركلي أيضاً أن رؤوس البلّورات النانوية شكّلت مسدسات مسطحة جيداً، مما يعني أن نهايتي البلّورة تعملان كمرآتين طبيعيتين لتجويف ليزري.

ويتبخر الضوء من ليزر نيوديميوم - ياغ Ne-YAG على الأسلاك النانوية، قام يانغ وزملاؤه بتمليق أكسيد الزنك في الضوء الصادر على مجال واسع من الأطوال الموجية. ومع ذلك، عندما ازدادت طاقة حزمة الضخ، نشأت حزمة شديدة من الضوء فوق البنفسجي أحادي اللون (385 nm) وهذا دليل واضح على حدوث إصدار محوّل. ويعتقد الفريق أن النبيلة توحي بطريقة كيميائية بسيطة لإنشاء تجاويف ليزرية صغيرة جداً بدون تدمير البلّورات أو شكّها. ■

## 2- أين اختفت المادة المضادة كلها؟\*\*

تؤكد قياسات ميزونات B أن النموذج المعياري لفيزياء الجسيمات لا يمكن أن يُفسّر لماذا يتركب الكون من المادة بدلاً من المادة المضادة.

من أكبر الألغاز في علم الفيزياء أن الكون يتكوّن برّمته من المادة، وبالرغم من ذلك فإن كميات متساوية من المادة والمادة المضادة ينبغي أن تكون قد تشكّلت أثناء الانفجار العظيم. ولايُبدّ أن تكون جسيمات المادة والمادة المضادة قد أُنفت بعضها البعض منذ ذلك الحين، تاركة وراءها الفوتونات فقط، إلا أن جسيماً مادياً أو نحو ذلك نجح من هذه العملية بطريقة أو بأخرى ليشكّل الكون كما نعرفه. وفي تجربة بابار Babar في ستانفورد بالولايات المتحدة وتجربة بيلي Belle في اليابان، قام الفيزيائيون مباشرةً ولأول مرة بقياس مقدار لانتناظر المادة - المادة المضادة الذي سمح به النموذج المعياري لفيزياء الجسيمات.

صرّح بول هاريسون P. Harrison من كلية الملكة ماري في لندن، وهو الذي يرأس لجنة توجيه تجربة بابار البريطانية بأن: "النتيجة تُحدّد مباشرةً للمرة الأولى مقدار اللانتناظر الرئيس للمادة والمادة المضادة في الطبيعة". على أي حال، وكما هو متوقع، لم تكن اللانتناظرات التي قاستها التجارب كبيرة بما يكفي لتفسير هيمنة المادة على الكون. ولذلك لا يبدّ للعلماء من أن يحثوا خارج نطاق النموذج المعياري - الذي يمكنه أن يتنبأ بنتائج معظم تجارب فيزياء الجسيمات بدرجة عالية من الدقة - وذلك للتوصّل إلى تفسير ذلك.

### ما هو الفرق بين المادة والمادة المضادة في النموذج المعياري؟

هناك عملية تسمى انتهاك زوجية الشحنة (CP) هي المسؤولة عن الاختلاف بين المادة والمادة المضادة في النموذج المعياري. ويقصد بانتهاك زوجية الشحنة أن قوانين الفيزياء تتغير قليلاً عندما يُستبدل الجسيم المضاد بالجسيم وعندما تُقلّب كل الاتجاهات الثلاثة في الفضاء. تمّ الكشف عن انتهاك CP لأول مرة في الكاؤونات (kaons) عام 1964، وكانت تجربتنا بابار وبيلي هما أول تجربتين تكشفان عنه في نوع آخر من الجسيمات - ميزون B. يقول ماثياس نيوبيرت M. Neubert، وهو متخصص في نظرية الجسيمات لدى جامعة كورنيل بالولايات المتحدة: "إن اكتشاف انتهاك CP في منظومة B عمل رائع، والأهمية الخاصة للنتيجة تكمن في أنه تمّت، لأول مرة، ملاحظة لانتناظر كبير لزوجية الشحنة تنبأ به النموذج المعياري".

\* نشر هذا الخبر في مجلة Physics World, July 2001. ترجمة مكتب الترجمة والتأليف والنشر - هيئة الطاقة الذرية السورية.

\*\* نشر هذا الخبر في مجلة Physics World, August 2001. ترجمة مكتب الترجمة والتأليف والنشر - هيئة الطاقة الذرية السورية.

مختلفين. في انتهاك CP المباشر، الذي لوحظ أيضاً في الكاؤونات، تضمحل الجسيمات والجسيمات المضادة بصورة فعلية بطرق مختلفة قليلاً. ومع ذلك، لم يكن الفيزيائيون حتى الآن قادرين على إنجاز الحسابات المعقّدة اللازمة لتحويل هذه النتائج التجريبية إلى قياس لانتاظر المادة - والمادة المضادة.

إن نمط انتهاك CP الذي لوحظ في تجرّبي بابار وييلي ناجم عن تداخل الاضمحلالات بخلط أو بدون خلط. وبينما يتطلب الأمر إلى حد كبير قياس هذا الشكل من الانتهاك - الميزونات B فقط تنجو لمدة  $10^{-12}$  ثانية - فإنه من الأفضل ربط النتائج بالانتاظر الأساسي للمادة والمادة المضادة.

### ما وراء النموذج المعياري

يمثل التحدي الكبير القادم لكلا الفريقين بقياس انتهاك CP في اضمحلالات ميزون B إلى جسيمات تدعى بيونات pions. وهذا قد يقيس زاوية أخرى،  $\alpha$ ، في المثلث الواحد لاختبار الانسجام الداخلي للنموذج المعياري.

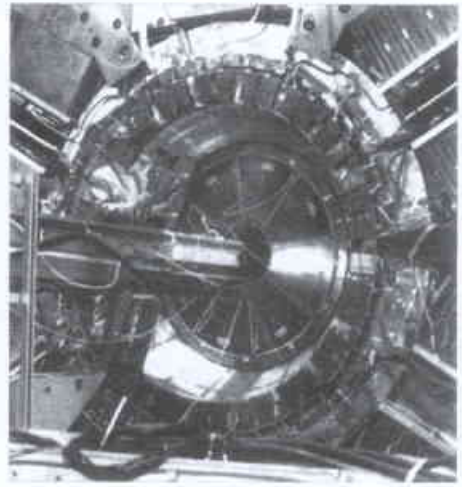
يقول هاريسون: "إذا حالقنا الحظ، ربما نجد عيباً في النموذج المعياري، طالما أن هيمنة المادة في الكون توحى وبقوة إلى وجود أشكال أخرى من انتهاك CP في الطبيعة، لم تشمل عليها النظرية".

وفي عام 1967 أوضح أندريه ساخروف A. Sakharov أنه بالإضافة إلى انتهاك CP، ينبغي تلبية معيارين لكي تهيمن المادة على الكون: فالكون لا يمكن أن يكون في حالة توازن حراري، وهناك ينبغي وجود عمليات محددة يمكن أن تتغير "العدد الباريوني". على أي حال، لم تُلاحظ التفاعلات التي تتغير العدد الباريوني، بالرغم من أن توسعات محدّدة للنموذج المعياري تسمح بها.

يضيف هاريسون قائلاً: "إن نظرية كيفية تشكّل لانتاظر المادة والمادة المضادة في الكون يمكن أن تكون بحاجة إلى تعديل، لكننا سننفذ بأية طريقة بسبب وجود شيء ما لانفهمه تماماً يتعلق بالكون، وبالتالي هنالك أمر جديد ينبغي اكتشافه".

في الواقع تدخل معظم توسّعات النموذج المعياري بارامترات أخرى تنتهك تناظر CP. يقول ماثياس نيوبرت: "إنه لغزٌ، حتى أن هذه الآثار لم تُر في مجموعات البيانات الكبيرة التي تمّ جمعها في مصانع B في كورنيل، وKEK وفيرميلاب". وهنالك لغز آخر، بحسب قوله، يتمثل بحقيقة عدم ملاحظة انتهاك CP في تأثيرات قوية، حيث ينبغي أن يكون التأثير أكبر منه برتبة المقادير في الاضمحلالات الضعيفة.

"ونحن متأكدون من أن النموذج المعياري سيفشل إلى حدّ ما وفوجئنا بحقيقة عدم ملاحظة هذا الفشل عند المستوى الحالي من الدقة التجريبية. وسيقوم الباحثون في الفيزياء الجديدة في مصانع B بإكمال بحوث مباشرة في الفيزياء الجديدة في التجارب عند حدّ الطاقة". ■



مكشاف بابار

إن انتهاك CP في النموذج المعياري يمكن توضيحه بسهولة كبيرة بدلالة مثلث، حيث يتناسب فيه مقدار الانتهاك طردياً مع مساحة المثلث. يبلغ طول قاعدة هذا "المثلث الواحدي" واحدة طول، لذلك يحتاج الفيزيائيون إلى قياس قيمتي طولين آخرين أو زاويتين لحساب مساحته. وكلما قاسوا قيمةً أكثر، كان باستطاعتهم اختبار النموذج بشكل أفضل.

عموماً يتم التعبير عن النتائج التجريبية بـ  $\sin 2\beta$  حيث  $\beta$  هي إحدى الزوايا. فإذا لم يوجد لانتاظر، عندئذ سيكون  $\sin 2\beta$  صفراً. وفي السادس من تموز ذكر فريق بابار أن  $\sin 2\beta = 0.59$ ، بقضبان خطأ قدرها 0.14 (arxiv.org/abs/hep-ex/0107013). أي هنالك فقط احتمال 3 بالمئة ألف ليكون التأثير ناجماً عن تقلبات إحصائية. وفي 23 تموز ذكرت تجربة بييلي في مختبر KEK في اليابان قيمة  $\sin 2\beta = 0.99 \pm 0.14$ .

تمّ بناء كلا المصادمين لتشغيلهما "كمصانع B" وكما تنتج أعداداً كبيرة من ميزونات B - وهي جسيمات تحوي كوارك قاع وكوارك تحت مضاد - وميزونات B مضادة. وبهذا العمل المشترك تمّ قياس  $\sin 2\beta$  عن طريق كشف اضمحلالات جسيمات B إلى جسيمات  $J/\psi$  وكاؤونات حيادية. ويقصد بانتهاك CP أن ميزونات B، بالنسبة لهذه القناة الخاصة، تضمحل بشكل أبطأ قليلاً من جسيماتها المضادة.

لم ينتبأ النموذج المعياري فعلياً بقيمة  $\sin 2\beta$ . فضلاً عن ذلك، على غرار شحنة الإلكترون وكتلته، ينبغي أولاً قياس واحد من حوالي 17 بارامتراً في التجارب قبل تضمينها في النموذج "شخصياً". على أي حال، إن نتائج بابار وييلي تتوافق مع القيمة 0.72 التي اقترحتها تجارب أخرى والاحصاءات المعتمدة على النموذج.

إن انتهاك CP يمكن أن يوضح ذاته بثلاث طرق مختلفة. ففي العملية غير المباشرة التي لوحظت أولاً في الكاؤونات الحياضية في عام 1964، يسمح ميكانيك الكم بتغيير الجسيمات إلى جسيماتها المضادة وإرجاعها إلى ما كانت عليه بعملية تسمى "الخلط". على أي حال، يكون المعدّلان

### 3- مغنطيس مصنوع من الكربون\*

تقول الحكمة التقليدية أن المواد المغنطيسية ينبغي أن تحوي بعض الذرات المعدنية، لذلك فإن اكتشاف نوع من الكربون الصرف الذي يكون مغنطيسياً بدرجة الحرارة العادية رهن بالدعوة للمناقشة.

لعبت المغناط دوراً مهماً في الحضارة منذ الأزمان الأولى، فالاسكندنافيون أبحروا بسفنهم مستخدمين قطعة من حجر مغنطيسي لها شكل السمكة توضع على دعامة عائمة كيوصله. أما اليوم، فبدلاً من توليد الكهرباء، وانتهاء بالأدوات الصغيرة في المطبخ، هذا إذا لم نذكر السيارة والسماعة والحواسيب الحضنية، تُعد المغناط مقومات أساسية في حياتنا اليومية. والمواد التقليدية المستخدمة لصنع المغناط تتضمن الحديد وأكاسيد الحديد (الحجر المغنطيسي والفريت).

لكن العلماء أيضاً اهتموا بتطوير مغناط من مواد جزيئية تكون فيها الذرات الأساسية غير معدنية. ومثل هذه المغناط الخالية من المعدن قد تكون عوازل كهربائية (بحيث تقلل من فقد الطاقة في بعض التطبيقات) وبالتالي قد تكون أرخص وأخف من نظيراتها من المغناط المعدنية، ومع أنه لم يتم حتى الآن سوى اكتشاف حفنة ضئيلة من المغناط الخالية من المعدن فإن خواصها المغنطيسية لا تتحقق إلا بدرجات حرارة منخفضة جداً. وفي مجلة Nature تقدم ماكاروفا Makarova وزملاؤها [1] وصفاً للتمغنط التلقائي في المادة الكربونية الصرفة للكربون C<sub>60</sub> البوليميري، الذي يصبح مغنطيسياً عند درجات الحرارة العادية وفي درجات أعلى منها (حتى 500 كلفن).

تفقد جميع المغناط خاصتها المغنطيسية فوق درجة حرارة حرجة معينة، وتلكن T<sub>c</sub> على سبيل الاختصار، والتي تعرف أيضاً في حالة المغناط الحديدية بدرجة حرارة كوري. وتحت T<sub>c</sub> تترتب العزوم المغنطيسية، أو "سبينات" الإلكترونات في ترتيب المادة بطريقة ما بحيث يحدث التمعغنط الصرف. وبالنسبة لبعض المواد، ولاسيما المغناط الحديدية كالحديد، يقوم الترتيب المغنطيسي برصف جميع العزوم بالتوازي مع بعضها البعض. غير أن هذه هي أبسط بنية مغنطيسية بالنسبة لمغنطيس، ويحتمل أن يكون هنالك أيضاً عدد من البنى الأكثر تعقيداً.

إن أول مغنطيس حديدي جزيئي [2,3] وهو عبارة عن مادة تعتمد مغنطيسيتها على خواص جزيئاتها المكونة لها بدلاً من ذراتها - تم الإعلان عنه في عام 1972. وبعد ذلك تبعه في عام 1986 اكتشاف المغنطيسية الحديدية التي تتضمن إلكترونات p- في مادة قوامها عضوي تحوي الحديد [4]. تُعد هذه خطوة مهمة للأمام لأن المغنطيسية في المركبات الخالية من المعدن ينبغي أن تتضمن إلكترونات من المدارات الذرية p-، وقبل عشرين

عاماً كان يعتبر الترتيب المغنطيسي في المنظومات التي تعتمد بشكل إفرادي على إلكترونات p- مستحيلًا. وقد اكتشف أول مغنطيس عضوي خالي من المعدن قبل عشر سنوات [5]. وأصبح أحد مشتقات الترونيل نتروكسيد مرتباً مغنطيسياً عند درجة حرارة 0.65 كلفن، وهي T<sub>c</sub> منخفضة جداً.

يُعدّ البكمسترفلورين، أو الفلرين اختصاراً، شكلاً متصلاً للكربون مثل الغرافيت أو الألماس. وهو يتألف من 60 ذرة كربون تشكل جزيئاً شبه كروي، ليس له عزم مغنطيسي ذاتي في الشروط العادية. وفيما يتعلق بوجود عزم مغنطيسي، ينبغي نقل إلكترون إلى C<sub>60</sub> من جزيء مانح. وفي الوقت ذاته عندما أعلن عن اكتشاف أول مغنطيس عضوي، أعلن كذلك عن المغنطيسية الحديدية في ملح نقل الشحنة [7] قوامه الفلرين TDAEC<sub>60</sub>، والذي له درجة حرارة كوري قدرها 16 كلفن. وهنالك مثال آخر [8] عن مغنطيس حديدي قوامه الفلرين تم اكتشافه في مشتق للفلرين مطعم بالكوبالتوسين، درجة حرارته T<sub>c</sub> قدرها 19 كلفن. في هذه الحالة، يكون فقط لجزيئات الفلرين سبينات مغنطيسية وبالتالي تكون مسؤولة بمفردها عن المغنطيسية التي تمت ملاحظتها. ويُعدّ الترتيب الاتجاهي حرجاً فيما يتعلق بإنجاز المغنطيسية الحديدية في مشتقات الفلرين [9].

وعلى الرغم من الجهود الكثيرة التي قدمها العلماء، إلا أنهم فشلوا حتى الآن في ملاحظة الترتيب المغنطيسي عند درجة الحرارة العادية وما فوق في مركب عضوي خالي من المعدن. وكانت أعلى درجة حرارة ترتيب عرفت حتى الآن فيما يتعلق بمغنطيس عضوي 36 كلفن بالنسبة لجذر حر قوامه الكبريت [10]. ويمكن لدرجة الحرارة هذه تحت ضغط 16 كيلوبار [11] أن ترتفع إلى 65 كلفن وهي تقع بعيدة جداً عن درجة الحرارة العادية 300 K. وعلى مدى سنوات كان هنالك العديد من التقارير عن ملاحظات حول التمعغنط التلقائي الضعيف فوق درجة الحرارة العادية في مركبات عضوية معالجة بالحرارة. وفي واقع كل حالة، كان من الصعب تحديد خاصة ذاتية، أو حتى إعادة توليد المغنطيسية التي تمت ملاحظتها [12]. ولم يتم إطلاقاً بطريقة منهجية معالجة إمكانية احتمال تجاوز بعض السلوك المغنطيسي المهم لتلك الملاحظات.

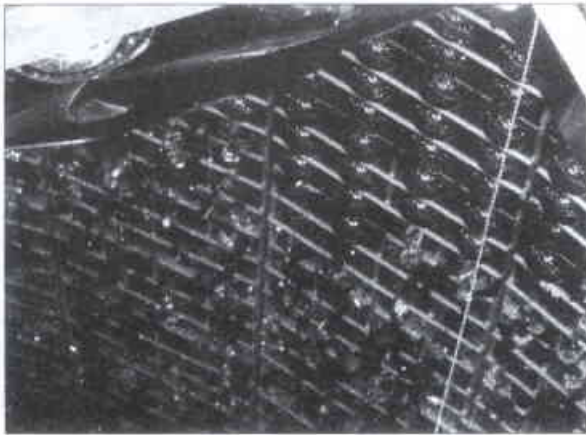
وهذا ما فعلته بالضبط ماكاروفا وزملاؤها [1] حتى الآن. فبعد ملاحظتهم للسلوك المغنطيسي غير المتوقع في عينة من C<sub>60</sub> تمت بلمرتها بضغط ودرجات حرارة عالية، ركزوا على خواصها المغنطيسية. ويقدر كل حد معقول، استثنوا إمكانية الشوائب كونها تمثل منشأ المغنطيسية الملحوظة، وأثبتوا أيضاً قابلية إعادة توليد الأثر. إن المعالجة بالضغط العالي وبدرجة الحرارة العالية يمكن أن تحوّل C<sub>60</sub> من الحالة البلورية للجزيئات المعزولة، المرتبطة مع بعضها البعض بقوى فاندرالس الضعيفة، إلى أطوار بوليميرية ترتبط فيها الجزيئات مع بعضها البعض تشاركياً. ويمكن أن يتشكل بوليمير أحادي البعد وثنائي وثلاثي الأبعاد وذلك بتعديل شروط المعالجة.

## 4- تعطل كاشف التريينو الياباني بفعل موجة صدم\*

في صبيحة يوم 12 تشرين الثاني عندما كان الخزان مليئاً حتى ثلاثة أرباعه، سمع الفنيون هديراً استمر نصف دقيقة أو أكثر في غرفة المراقبة في مرصد سوبر-كاميوكاند الذي بلغت كلفته 100 مليون دولار. وعندما توقف كانت جميع المحطات الكاشفة للضوء تحت الماء التي تمّ توليفها على نحو رائع قد انفجرت، وتوقف المرصد مشلول الحركة. ولن تستطيع هذه المنشأة العودة إلى العمل بكامل طاقتها قبل عام 2007، وقد تكلف الإصلاحات مبالغ تراوح بين 15 - 25 مليون دولار، غير أن العلماء والمسؤولين الحكوميين أعلنوا عن استئناف بعض التجارب خلال سنة.

يقول يوغو توتسوكا Y. Totsuka، وهو أستاذ في معهد أبحاث الإشعاع الكوني التابع لجامعة طوكيو ومدير المرصد المذكور الذي يقع على مسافة 230 كم غرب طوكيو في عمق أحد المناجم: "سنقوم بإعادة بناء الكاشف، وليس هنالك أية مشكلة في ذلك"، لكن هنري سوبل H. Sobel من جامعة كاليفورنيا، وهو فيزيائي وناطق رسمي عن الجانب الأمريكي في هذا العمل المشترك، يقول أنه من الممكن تصوّر احتمال عدم إعادة بناؤه.

وضع المختبر الموجود تحت الأرض الخطوط الأساسية في العالم عام 1998 عندما قدم دليلاً مقنعاً بأن التريينوات لها كتلة. وهذا الاكتشاف الذي يعتقد الكثير من الفيزيائيين بأنه يستحق جائزة نوبل جاء معاكساً لتنبؤات نظرية دامت عقوداً من الزمن. وتؤكد المعطيات بشدة على أن نوعاً محدداً من التريينو الذي منشؤه الغلاف الجوي "يختفي" بالتحول أو الاهتزاز إلى نوع آخر من التريينو بحيث لا يمكن للكاشف رؤيته. وبموجب



مظر لكشاف التريينو سوبر-كاميوكاند التقطت صورته بعد حادث 12 تشرين الثاني وتظهر عدة صفوف من الأنابيب المضاعفة الضوئية الكاملة في أعلى الخزان وفي الأسفل أنابيب محطمة.

في هذه الدراسة، أعدت ماكاروفا [1] طوراً ثنائي البعد معيّن الوجهه، يشبه إلى حد كبير الغرافيت عالي التوجيه والمعالج بالحرارة، لكن له طبقات من جزيئات  $C_{60}$  مترابطة تشاركياً بدلاً من الغرافيت. وفي هذا الطور فقط المعيّن الوجهه يُلاحظ تمغنط ضعيف جداً - ربما كانوا متفائلين جداً بتسميتها بالمغنطيسية الحديدية. يبدو مظهر السلوك المغنطيسي حساساً جداً لشروط الضغط والحرارة التي يتم بموجبها تحضير العيّات. يمكن أن يحدث التمغنط التلقائي ليختفي بتسخين العيّات إلى 700 كلفن لعدة ساعات. ويبدو، بالتالي أن المغنطيسية التي تمت ملاحظتها تكون أصيلة بالنسبة إلى العيّات، مع أن الغريزة يمكن أن تدفع المرء للتفكير باتجاه آخر.

وبصرف النظر عن الحقائق التجريبية، أتوقع أن تكون النتائج التي ذكرتها ماكاروفا وزملائها مشتملة على المزيج الصحيح من المقومات لكي تكون موضع مناقشة. وثمة تساؤلات مهمة لاتزال مطروحة وتتطلب اهتماماً مناسباً. وأهم هذه التساؤلات وهو الأكثر وضوحاً أيضاً: أين هي العزوم المغنطيسية؟ يتوقع الباحثون إمكانية أن تنشأ العزوم من العيوب التي تسببها روابط الفلّرين المحطّمة، أو أنه وبصورة تناوبية، تتطلب بعض الروابط التشاركية إلكترونات واحداً، وسيكون الإلكترون الثاني مسؤولاً عن الترتيب المغنطيسي. هنالك سؤال آخر يتعلق بالترتيب المغنطيسي ذاته، فالتمغنط التلقائي ضعيف جداً، أضعف بمئة مرة من التمغنط المتوقع من التراصف المغنطيسي الحديدي لعزم مغنطيسي واحد في كل جزيء من  $C_{60}$ .

وإذا ما تأكدت هذه النتيجة، فإنها ستمثل تقدماً مفاجئاً في مجال مغنطيسية المواد الخالية من المعادن. ويمكننا أن نتوقع، وسنرحب، بمناقشة واضحة وقوية تساعد في حث الأبحاث على فهم سلوك هذا المغنطيس الكربوني الغريب.

### REFERENCES

- [1] Makarova, T. L. et al. Nature 413, 716-718 (2001).
- [2] Wickmann, H. H. J. Chem. Phys. 56, 976-982 (1972).
- [3] DeFotis, G. C., Palacio, F., O'Connors, C. J., Bhatia, S. N. & Carlin R. L. J. Am. Chem. Soc. 99, 8314-8315 (1977).
- [4] Miller, J. S. et al. J. Chem. Soc. Chem. Commun. 1026-1028 (1986).
- [5] Tamura, M. et al. Chem Phys. Lett. 186, 401-404 (1991).
- [6] Allemand P.M. et al. Science 253, 301-303 (1991).
- [7] Kroto, H. W., Heath, J. R., O'Brien, S. C., Curl, R. F & Smalley, R. E. Nature 318, 162-163 (1985).
- [8] Mrzel, A. et al Chem Phys. Lett 298, 329-334 (1998).
- [9] Narymbetov, B. et al. Nature 407, 883-885 (2000).
- [10] Palacio F. et al. Phys Rev Lett 79, 2336-2339 (1997).
- [11] Mito, M. et al. Polhedron 20, 1509-1512 (2001).
- [12] Miller, J. S. Adv. Mater. 4, 435-438 (1992). ■

العملية قد تستغرق بضع سنوات. ويشير قائلاً: " هذا يعطينا حساسية أقل ، ولكن سنبقى قادرين على البحث عن الترنونات الجوية بالإضافة إلى تشغيل تجربة K2K". ومع ذلك ، ربما لا تكون للمنشأة حساسية الكشف عن معظم الترنونات الشمسية.

وبحلول عام 2007 سيتحقق الهدف الطويل الأمد كاملاً عندما يتم تحديد جدول زمني لتشغيل منشأة المسرع البروتوني اليابانية عالية الشدة المخطط لها والتي تبلغ كلفتها 2.7 بليون دولار. يُعدّ المسرع البروتوني ، وهو مشروع مشترك بين KEK ومعهد أبحاث الطاقة الذرية الياباني (JAERI)، قيد الإنشاء في حرم JAERI في توكاي Tokai ، في ولاية إيباراكى Ibaraki. وتم تصميم هذا المسرع لإطلاق ترنونات بمقدار عشرين ضعفاً مما هو في سوبر-كاميوكاند كما هو الحال في تجربة K2K، مما يسمح للباحثين بالحصول على تفاصيل إضافية عن كيفية اهتزاز الترنونات وتحوي خصائص الترنينو الأخرى. يقول جون ليرند J. Learned، وهو مشترك في سوبر-كاميوكاند ، في جامعة هاواي، في مانوا: " لقد قمنا بصعوبة بحك سطح الترنونات المعروفة".

إن الدعم لإعادة بناء سوبر-كاميوكاند يفوق قدرات المشتركين. يقول جون باكال J. Bahcall، وهو خبير متخصص في الترنينو في معهد الدراسات العليا في برنستون ، في نيوجرسي: " لقد قدّم سوبر-كاميوكاند بعضاً من أهم النتائج في الفيزياء والفلك في السنوات العشر الماضية ولديه الإمكانية للاستمرار في تقديم مساهمات كبيرة إذا ما عاد بكامل استطاعته. ولو كانت لدي المهارات اللازمة لكنت قد ذهبت إلى اليابان من أجل المساعدة في عمليات إصلاحه".

اتخذت وزارة الثقافة موقفاً داعماً ينطوي على تشجيع ماثل ، ويقول أكيرا يوشيكواوا A. Yoshikawa، رئيس قسم معهد الأبحاث التابع للوزارة: " إن الوزير يدرك أهمية هذه المنشأة". ويأمل هنري سوبل أن يلتقي بالمسؤولين في قسم الطاقة الذي يمول حصة الجانب الأمريكي، لمعرفة مقدار الدعم الذي يمكن أن تقدمه. ■

## 5- ما الذي حدث بـ B و C و S ؟\*

حلّت نظرية BCS لغز الناقلية الفائقة. يُلقب هذا الخبر الضوء على تاريخها.

اكتشف الفيزيائي هايك كاميرلينغ أوتّر H. K. Onnes في عام 1911 أن الزئبق يفقد كل مقاومته للتيار الكهربائي لدى تبريده إلى الدرجة 4.2 K بواسطة الهليوم السائل. وهكذا اكتشف أوتّر الناقلية الفائقة - وهي ظاهرة حيرت الفيزيائيين النظريين طوال فترة تزيد على 40 عاماً. وأخيراً، وفي عام 1957 حل المشكلة فيزيائيان شابان كانا يعملان مع أحد العلماء الذين حصلوا على جائزة نوبل. وتمضي أربعة عقود بعد ذلك وتبقى نظرية BCS - وهي الأحرف الأولى من أسماء باردين Barden

قوانين الميكانيك الكمومي ، فإن الجسيمات التي لها كتلة هي فقط التي تستطيع الاهتزاز.

لا يمكن كشف الترنونات مباشرة، ولذلك يحوي مرصد سوبر-كاميوكاند 50 000 طن من الماء عالي النقاوة في خزان قطره 39 متراً وارتفاعه 41 متراً مبطن بـ 11.146 أنبوباً مضاعفاً ضوئياً. وهذه الأنابيب تقوم بمراقبة توهج مميز يعرف باسم إشعاع سيرنكوف الذي ينتج عن التفاعل المتبادل النادر بين الترنونات والجسيمات الذرية في الماء.

في شهر تموز توقفت عمليات الرصد من أجل أعمال الصيانة ، وقام العمال بنزح الخزان للمرة الأولى منذ إنجاز المنشأة في عام 1996 من أجل استبدال حوالي 100 أنبوب محترق. وقع الحادث عندما كانت تجري إعادة تعبئة الخزان استعداداً لاستئناف التجارب في شهر كانون الأول. وقد وصل الماء إلى الصف الحادي والأربعين من أصل 51 صفاً من الأنابيب عندما حدث الانفجار الداخلي الذي دمر جميع الأنابيب والبالغ عددها 7000 أنبوب حيث غاصت في الماء.

والآن يتحتم على المسؤولين تحديد سبب الحادث ، مع أن النظرية الأكثر ترجيحاً هي أن أنبوباً على أرض الخزان انفجر فانطلقت موجة صدم تضخمت في الماء لتحدث تفاعلاً متسلسلاً من الانفجارات الداخلية. وقد أدت الصدمة أيضاً بشكل واضح إلى تصدّع الخزان. يقول توتسوكا أنه من الممكن أن يكون الأنبوب قد تضرر نتيجة ضغط أحدثه العمال الذين كانوا يقفون على وسادة ستيروفوم تقع في أعلى الأنابيب أثناء الإصلاحات، أو من المحتمل أن يكون أحد الأنابيب المستبدلة معيماً . على أي حال، يشير أيضاً إلى أن ثمة نسخة أصغر من المنشأة الحالية تعمل منذ مدة أكثر من عشر سنوات بدون أن تواجه مثل هذه المشكلات .

وفي الوقت الذي تستمر فيه عمليات التحري عن الحادث ، يخطط العلماء الآن لكيفية تسوية الوضع مباشرة. وتستعد للمساعدة في ذلك الجهات الحكومية الراعية للمنشأة المتمثلة بوزارة التربية والثقافة والرياضة والعلوم والثقافة. يقول الوزير أوسكا توياما A. Toyama: "نحن لا نريد أن نقدّم الدعم المادي فحسب، بل نريد أن نقدم أي نوع من الدعم يمكن أن يعيد المنشأة ويجددها بحيث يمكنها استئناف عمليات المراقبة بأسرع وقت ممكن".

ويأتي استئناف تجربة K2K في المرتبة الأولى، حيث سيقوم أحد المسرعات في منظمة أبحاث مسرعات الطاقة العالية KEK في تسوكوبا بإطلاق تيار من الترنونات على مسافة 250 كم إلى الخزان تحت سطح الأرض. وتعتبر النتائج المستخلصة من هذه التجربة التي يطلق عليها اسم تجربة خط القاعدة الطويل، أكثر وثوقية لأن العلماء سيعرفون بدقة عدد الترنونات المصوّبة عند الكاشف بدلاً من تخمينها بالاعتماد على النظرية. ونوّه فيزيائيو KEK في الآونة الأخيرة أن النتائج تبين أن احتمال انعدام الاهتزاز أقل من 3%. ويأملون استئناف هذه التجربة قبل إغلاق المسرع خلال مدة تتراوح بين سنتين وثلاث سنوات.

يقول توتسوكا أنه من المحتمل أيضاً استئناف التجارب خلال سنة بالنصف المتبقي من الأنابيب وبعدها تُضاف البقية عند تصنيعها ، وهذه

\* نُشر هذا الخبر في مجلة Physics World, January 2002. ترجمة هيئة التحرير - هيئة الطاقة الذرية السورية.



أحدث باردين أن يعمل مع تجريبيين عن كسب، ولخص لكوبر وشريفر المعالم الأساسية التي ينبغي أن تحتوي عليها نظرية الناقلية الفائقة: ينبغي أن تحتوي حالة النقل الفائقة على كل من المركبة العادية (أي مركبة النقل غير الفائقة) ومركبة النقل الفائقة، وينبغي أن تكون كل الإلكترونات، التي هي في حالة النقل الفائقة، في حالة كمومية وحيدة، وينبغي أن تكون هناك فجوة طاقة بين حالة النقل الفائقة الأساسية والحالات المثارة الواقعة في الأسفل.

كان أول تقدم كبير تم تحقيقه جاء على يد كوبر. فقد بين في أيلول من عام 1956 بأن الإلكترونات تُشكل أزواجاً دائماً - وهذا ما يُعرف الآن باسم أزواج كوبر - إذا كان يوجد كمون جذبي. وليس مهماً إذا كان هذا الكمون ضعيفاً جداً. لم يكن كوبر يبحث عن أزواج أثناء حساباته، ولكنها هي التي استُبعدت "سقطت" dropped out من الحسابات. وقد اتضح في الحال أن التأثير مع الفونونات سمح للإلكترونات أن يجذب بعضها بعضاً بالرغم من التنافر الكولوني المتبادل فيما بينها.

حصل التقدم الحاسم الثاني في أوائل 1957 عندما كتب شريفر التابع الموجي الذي يصف المنظومة: الإلكترونات التي لها اندفاع وسبين معينان "فوق up" ترتبط دائماً مع إلكترونات ذات اندفاع وسبين معاكسين. فالإلكترونات المفردة تخضع لإحصاء فرمي ومبدأ الاستبعاد، الذي يعني أنه لا يمكن لإلكترونين متماثلين أن يشغلا الحالة الكمومية ذاتها. وعلى كل حال، فإن بعض الأزواج في تابع شيفر الموجي تخضع لإحصاء بوز - ويمكنها هذا الإحصاء من أن تتكاثف في الحالة الكمومية ذاتها، كما تتطلب الناقلية الفائقة - في حين تخضع أزواج أخرى لإحصاء فرمي. وحقيقة كون الأزواج الأخيرة لا تستطيع أن تتكاثف في الحالة الأساسية تؤدي إلى فجوة الطاقة.

استخدم باردين بعد ذلك النظرية حديثة الولادة ليتنبأ بقيمتين لكميتين كانتا قد قيستا حديثاً وهما: الحقل المغنطيسي الحرج الذي تتخرب فوقه الناقلية الفائقة ومعدلات استرخاء السبين النووي. ولقد اتفقت النظرية والتجربة على كلا التقديرين.

في يوم 18 شباط من عام 1957. وصلت مكتب مجلة

Physical Review ورقة علمية قصيرة تحمل عنوان "نظرية مجهرية للناقلية الفائقة" كتبها باردين وكوبر وشريفر. كما ان باردين رتب الأمور لكوبر وشريفر كي يُقدما النظرية الجديدة في لقاء الجمعية الفيزيائية الأمريكية في فيلادلفيا في شهر آذار التالي. ذهب شريفر أولاً إلى فيلادلفيا ثم تبعه كوبر على طائرة لاحقة ومعه الشرائح ولكن شريفر أصيب بارتباك وتشوش في ميني وكان على كوبر أن يُقدّم كلتا المحاضرتين. ورغم أن النظرية ووجهت في البدء ببعض الرفض لكن الدليل التجريبي قديم، بشكل خاص، أول قياس مباشر لفجوة الطاقة في عام 1960.



رجال نظرية BCS (من اليسار) جون باردين، ليون كوبر وروبير شريفر عام 1961.

وكوبر Cooper وشريفر Schrieffer - كإحدى المنجزات المتميزة في الفيزياء النظرية.

مع حلول عام 1957 كان جون باردين اسماً كبيراً في الفيزياء. وكان قد تقاسم في السنة السابقة جائزة نوبل مع وولتر براتين W. Brattain وويليام شوكللي W. Shockley على اختراعهم الترانزستور. ولد باردين عام 1908 - وهي السنة التي مِت فيها أوتز غاز الهليوم لأول مرة، وهو العمل الرائع الذي نال عليه جائزة نوبل - وحصل على درجة الدكتوراة PhD في الفيزياء النظرية تحت إشراف يوجين ويغنر E. Wigner في برنستون.

إن الخاصة الرئيسية المميزة التي يتمتع بها الناقل الفائقة هي درجة حرارة التحول التي تختفي المقاومة دونها، وبما كشف عنه المجرّبون في أوائل الخمسينيات من القرن الماضي أن هذه الدرجة تتناسب عكساً مع الجذر التربيعي للكثافة الذرية. وهذا ما جعل باردين - وهيزرت فروليتش H. Frolich، من جامعة ليفربول في المملكة المتحدة وبصورة مستقلة، أن يستنتجوا أن الناقلية الفائقة سببها التأثير بين الإلكترونات في المعدن واهتزازات البلورة ("الفونونات" phonons). وعلى الرغم من متابعة باردين - وهو في جامعة إيلينوي حالياً - ونظرين آخرين كثيرين العمل في المسألة، فقد بقيت النظرية المجهرية للناقلية الفائقة لغزاً يحتاج إلى تفسير.

## لقاء باردين بكل من كوبر وشريفر

بعد أن تخرّج جون روبرت شريفر من معهد ماسشوسيتس للتقانة (MIT) في عام 1953 عاد إلى مسقط رأسه في ولاية إيلينوي للحصول على درجة الدكتوراة PhD. وعندما شارك على حل مسألة أطروحته، أعطاه باردين قائمة فيها عشر مسائل. كانت الناقلية الفائقة في ذيل تلك القائمة، لكن شريفر اختارها غير هيتاب ولا وجل.

تصوّر باردين أنه أيضاً بحاجة إلى نظريّ يُمنّ كانت نظرية الحقل الكمومي مألوفة لديه، وهي التي كانت مازال جديدة في ذلك الحين، فاتصل مع الحائز على جائزة نوبل تشين نيتنغ يانغ Chen N. Yang في برنستون. رشّح يانغ نظرياً شاباً يدعى ليون كوبر، الذي وصل إيلينوي في شهر أيلول من عام 1955.

تشارك كوبر مع باردين في المكتب في حين استقرّ شريفر، بحكم كونه خريجاً، فيما كان يعرف بمعهد الدراسات المؤخرة Institute for Retarded Studies (سُمي كذلك بسبب الاقتران بين الإلكترونات التي تعتمد على الكمونات المؤخرة)، لقد كانت الناقلية الفائقة مسألة شديدة الصعوبة، ويتذكر كوبر كيف كان هو وشريفر يواسي كل منهما الآخر: "بوب يقول: ما أظن بأنني سأُنجز أطروحتي أبداً، وأنا أقول ما أظن أنني سأحصل على عمل أبداً".

## الحياة بعد BCS

فأدخلت المادة كشكل آخر من أشكال الطاقة تخضع إلى التجزئة موجة - جسيم.

ماذا يعني قولنا أن المادة تسلك سلوك موجة؟ نحن نعلم أن للأمواج تموجات، ولكن نظراً لكون الذرات والإلكترونات صغيرة جداً، فلو كانت أمواجاً لكانت تموجاتها دقيقة جداً. إن قُدَّ التمجوجات الكمومية للإلكترون في ذرة هو أقل من أنغستروم بصورة نموذجية، أي جزء واحد من عشرة بلايين جزء من المتر. لكننا لانحتاج إلى رؤية التمجوجات للكشف عن الأمواج. فالدليل المقبول للسلوك الشبيه بسلوك الموجة هو ظاهرة الانعراج.

إن إزاحة الانعراج سهلة من أجل الضوء. فنموذج الألوان الذي تراه في قوس قزح عندما تنظر إلى سطح قرص متراصّ تسببه أمواج الضوء المنعرجة على العصابات المعدنية اللامعة والمتباعدة بانتظام والتي تُشكّل الخطوط. يمكن رؤية هذا الأثر لأن طول موجة الضوء، وإن يكن صغيراً، فهو كبير بما يكفي لمقارنته بالتباعدات بين الخطوط المتجاورة.

عندما يسقط الضوء القادم من مصباح كهربائي أو من الشمس على قرص متراصّ، فإن كل مركبة من مركبات الضوء "الأبيض" تنحرف في اتجاه تتحكم فيه نسبة طولها الموجي إلى التباعد بين الخطوط على القرص. وعلى وجه التحديد، فمن أجل ضوء طوله الموجي  $\lambda$  يرد بزوايا  $90^\circ$  على شبكة ذات تباعد بين الخطوط قدرة  $d$ ، يحدث الانعراج عند زاوية تعطيها العلاقة  $\sin \theta = \lambda/d, 2\lambda/d, 3\lambda/d$  وهكذا. والأمواج الضوئية المبعثرة من كل الخطوط تُضاف إلى بعضها بصورة مترابطة عند هذه الزوايا الخاصة فقط. إن الأطوال الموجية للضوء المرئي دقيقة (400-700 نانومتر فقط) ولكن إذا كان التباعد بين خطوط الشبكة  $d$  صغيراً بالقدر الكافي، فإن فضل الألوان (بسبب الزاوية  $\theta$ ) يُكشف بسهولة.

إن المثوية موجة - جسيم في ميكانيك الكم تعني أنه ينبغي أن يكون بمقدورنا أن ننجز الملاحظة ذاتها كما وُصفت في الفقرة السابقة، عندما تُستبدل الجسيمات بأمواج الضوء والضوء بالشبكة المادية. فكّر كيف تجعل ذلك القرص المتراصّ خارج حزمة الضوء للحظة ما. لاندعّ الهلع يُصيبك إذا لم تصل إلى حل، فمجموعة بيتلان قدّمته لك.

استخدم بيتلان وزملاؤه طريقة كان قد اقترحها في الأصل فيزيائياً لامعان هما بول ديراك P. Dirac و ب. ل. كاييتزا P.L. Kapitza، في ورقة علمية تقليدية [2] كتبت في عام 1933. حصل كل من ديراك وكاييتزا مؤخراً على جائزة نوبل ولكن ليس على هذا العمل. كانت تلك الورقة العلمية الوحيدة التي كتبها معاً، ويبدو أنها أمر فريد لاقت للنظر. لم تكتب هذه الورقة لتحل الجدل الدائر حول الموجة - الجسيم، وذلك لأن هذا الأمر قد بُدِّئ فيه في أوائل الثلاثينيات من القرن العشرين بالعديد من التجارب لصالح....، كالي من الجسيمات والأمواج، كما تنبأ النظرية الكمومية. ورغم ذلك فقد كتبنا أن انعراج الإلكترونات بواسطة الضوء سيكون تجربة شيقة وممتعة جداً.

إن الشكل في ورقة كاييتزا - ديراك يكشف الحيلة من أجل تشكيل شبكة منتظمة لإشعاع ضوئي (الشكل 1). فكّر كاييتزا وديراك أنه

في الوقت الذي ظهرت فيه ورقة علمية مؤلفة من 30 صفحة عن النظرية في مجلة Physical Review في كانون الأول، كان كوبر في جامعة ولاية أوهايو وكان شريف في جامعة برنغهام في المملكة المتحدة. ولقد تقاسم الثلاثة جائزة نوبل للفيزياء في عام 1972. ويقي باردين، الذي توفي عام 1991، الشخص الوحيد الذي حاز على جائزتي نوبل للفيزياء - رغم أنه كان يقول في أغلب الأوقات بأنه لم يحرز سوى ثلث الجائزة الواحدة. يشغل شريف الآن منصب عالم رئيس في المختبر الوطني للحقل المغنطيسي العالمي في فلوريدا.

غيّر كوبر مجالات اهتمامه كلياً وهو الآن مدير لبرنامج علم الدماغ متعدد المناهج المعرفية في جامعة براون. يقول كوبر بأنه انتقل إلى علم الأعصاب لأنه أعطى معلومات خاطئة "misinformed" - مثل دور هَمْفري بوغازت في مسرحية كارابلانكا. فقد ظنّ خطأً بأنه توجد صلات تقنية بين المنظومات متعددة الإلكترونات والمنظومات متعددة العصبونات. ويقي كوبر مقتنعاً بأن توسيع نظرية BCS سيحلّ لغز الناقلية الفائقة عند درجات حرارة عالية، رغم أن بعض الآليات، غير آية تبادل الفونونات، قد تكون مسؤولة عن ربط الأزواج بعضها مع بعض.

إن مساهمته الكبرى في علم الأعصاب كانت نظرية باينستوك - كوبر - مونرو Bienenstock - Cooper - Monro theory. ولكن ماهي أهمية نظرية BCM؟ يجيب كوبر ليست بقدر أهمية نظرية BCS. ولكن كان عليك أن لانسألني، عليك أن تسأل الذين ينافسوني. ■

## 6- الجسيمات المنساقّة إلى الانعراج\*

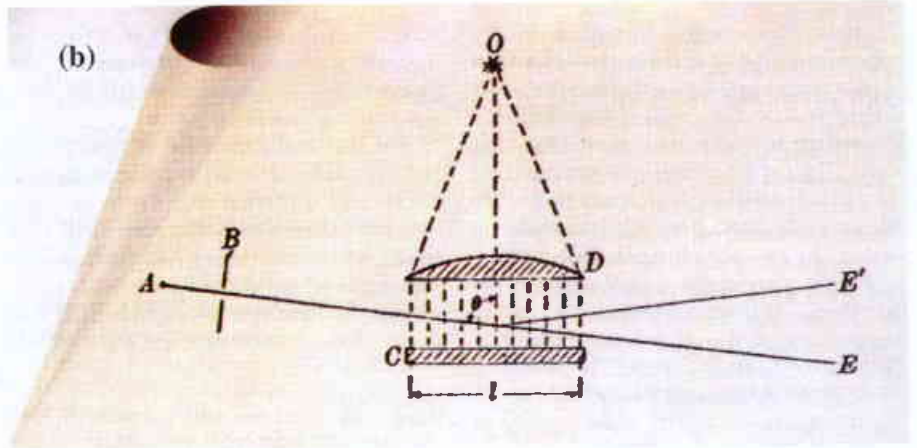
تُبَيّن التجربة أنه يمكن جعل الإلكترونات تنعرج بواسطة أمواج الضوء بعد انقضاء ما يقرب من سبعين عاماً بواسطة اقتراح ذلك لأول مرة. تلقي هذه النتيجة الضوء على القواعد المتبادلة بين المادة والضوء.

مثوية موجة جسيم هي مفهوم تستطيع كل الجسيمات بموجبه أن تسلك سلوك أمواج والعكس بالعكس. إن هذه الفكرة التي تدعو للتحدي والتصدي العقلاني والفكري، وهي واحدة من تنبؤات النظرية الكمومية الرئيسية، جرى اختبارها بطريقة جديدة على يد هزمان بيتلان H. Batelaan وزملائه، في تجربة وردت في مجلة Nature [1].

إن الجدل حول صفات الجسيمات مقابل الخصائص الموجية للضوء أقدم بكثير من النظرية الكمومية. كان نيوتن من المدافعين والمتحمسين الأوائل للطبيعة الجسيمية للضوء. لكنه حصل في العقود الأولى من القرن العشرين أن اتجهت هذه المناقشة إلى مستوٍ جديد ساقها إليه ميكانيك الكم

مرئي تقريباً لأنه مصنوع من شيء ما له نفس الخصائص الضوئية التي للهواء المحيط به تقريباً. وفي تلك الحالة فإن الضوء سيمر مستقيماً من خلاله ولن ينحرف أبداً. وهذا ما جعل تجربة كاييتزا - ديراك الفكرية تبقى بدون اختبار عدة عقود.

لقد تحسّن الوضع عقب اختراع الليزر. إن ليزرات الثنائيات (الديودات) من أنصاف النواقل من نوع الليزر المستمر، كالديودات التي تقرأ الأقراص المتراصّة، ماتزال ضعيفة طاقياً وغير قادرة على تبيان أثر كاييتزا - ديراك بالنسبة للإلكترونات الحرة، بيد أنها يمكن أن تستخدم لانعراج حزم الذرات إذا كان طولها الموجي قريب من خط انتقال ذري (كالخطوط الطيفية التي تحصل عليها من ذرات الزئبق المتفلور). لذا فإن انعراج أمواج المادة بواسطة أمواج مستقرة ضوئية كان أول عرض له باستخدام حزمة من ذرات معتدلة تمرّ من خلال موجة مستقرة ضوئية من ليزر مستمر [3]. أكد غولد و Ruff و بيريتشارد Pritchard في تجربتهم هذه صيغة كاييتزا - ديراك، ويعملهم هذا ساعدوا على بعث الاهتمام في صنف من فيزياء الجسيم - الموجة يعرف اليوم باسم البصريات الذرية atom optics. لقد أدّت تقنيات البصريات الذرية إلى متكشف بوز - أينشتاين الذري atomic Bose - Einstein condensate، والليزرات الذرية وإلى تطورات في الطباعة الحجرية الذرية ذات الكتابة المباشرة.



الشكل 1 - صنع ضوء من المادة، (a) انعراج الضوء على نماذج قوس قزح على سطح قرص متراص. (b) رسم مأخوذ من ورقة كاييتزا وديراك عام 1933 [2] التي تصف طريقة مقترحة لانعراج الإلكترونات (من الطريق AE إلى AE') على موجة ضوئية مستقرة بواسطة منبع ضوئي O، وعدسة مجتمعة D، ومرآة C. يستخدم بيتلان وزملاؤه [1] هندسة مماثلة في تجربتهما.

يُمكن موجة ضوئية مستقرة أن تتمتع بخصائص صحيحة. فموجة ضوئية مستقرة هي مجرد حركة تشبه موجة تهتز لكنها لا تنتقل، كما تفعل اهتزازات خيط الكمان المهتز. إن للموجة المستقرة الضوئية حقلاً كهربائياً مهتزاً صغته حزمتان ضوئيتان منتشرتان باتجاهين متعاكسين ومتراكبتان. اقترح كاييتزا وديراك أنه يمكن تشكيل موجة ضوء مستقرة من إشعاع ينتج عن ذرات الزئبق في مصباح قوسي يتفلور معطياً حزماً ضوئية ذات أطوال موجية حادة وشديدة. إذا استخدمت قرصاً متراصاً لتجعل الضوء ينحرف على مصباح متفلور فإنه سيكون باستطاعتك أن ترى خطوط الانعراج التي كان يفكر فيها كاييتزا وديراك، لأن معظم مصابيح الفلورة تولّد ضوءاً من ذرات الزئبق.

إن الحزمة الإلكترونية التي تسلك فيها الإلكترونات مسارات متوازية (موجّهة) ولها سرعات متماثلة ستنعرج على موجة مستقرة عند زوايا تعطيها الصيغ المماثلة للصيغ التي تصف انعراج الضوء على شبكة - أي عند زاوية تتحدد بنسبة طول موجة الإلكترون إلى دور الموجة المستقرة. (إن دور شبكة الإنعراج الضوئية يساوي نصف الطول الموجي الضوئي، لأنه توجد قمتا شدة لكل دورة في الموجة المستقرة). إن طول موجة دوبروي الكمومية للإلكترون، حسب ما تلمحه النظرية الكمومية، يتناسب عكساً مع اندفاعه p، وفق العلاقة  $h/p = \lambda$  دوبروي حيث h هو ثابت بلانك. وعليه فإن زاوية الانحراف لحزمة إلكترونية ترد بزوايا  $90^\circ$  ينبغي أن تكون مضاعفات صحيحة من  $2h(\lambda p)$  حيث  $\lambda$  هو الطول الموجي للضوء. وهذا يبلغ جزءاً واحداً من مائة جزء من الدرجة أو نحو ذلك من أجل شبكة انعراج الضوء الأخضر ومن أجل إلكترون بطاقة 380 إلكترون فولت، كما في تجربة بيتلان.

لكن هناك معضلة: فالقوة التي يؤثر بها الإشعاع الضوئي على الإلكترونات الحرة ضعيفة جداً. وبعبارة أخرى، إذا رجعنا إلى تجربتنا الأصلية التي استخدمنا فيها القرص المتراص، فالأمر كما لو أن القرص كان غير



بلغ أمد النبضات المتاحة الأكثر قصرًا من الليزر، خلال الثمانينيات من القرن الماضي، حدًا من القصر بشكل مثير - إذ بدأ في بداية العقد من النانوثانية ( $10^{-9}$  ثانية) وانتهى في نهاية العقد إلى الفمتوثانية ( $10^{-15}$  ثانية). ومن ناحية ثانية، فقد بُرهن أنه من الصعب جداً توليد نبضات أقصر من هذه النبضات نظراً لأن أمد النبضة الليزرية لا يمكن أن تكون أقصر من دور اهتزاز الحقل الكهرومغناطيسي. وكنيجة لذلك، لا يمكن لنبضة الليزر المرئي أن تتجاوز عتبة الفمتوثانية. وبالفعل، فإن أقصر النبضات التي تم توليدها بواسطة ليزر يعمل في حدود 800 نانومتر تبلغ حوالي 5-4 فمتوثانية.

يمكن استخدام أمثال نبضات الفمتوثانية هذه في تجارب المطيافية الجزيئية ذات الفصل الزمني من أجل مراقبة الديناميات الجزيئية بمتر زمني غير مسبوق. على كل حال، لا يمكن ملاحظة الإلكترونات المرتبطة بشكل محكم في الذرة بصورة مباشرة بسبب أن معظم الديناميات المناسبة تحصل في مقياس زمن من رتبة الأتوثانية ( $10^{-18}$  ثانية). يتطلب أمد أمثال النبضة الفائقة القصر استخدام مصادر مترابطة من الإشعاع في المجال فوق البنفسجي وأشعة-X. (انظر المقال المنشور في مجلة Physics World عدد أيلول 2001 تحت عنوان من الفمتوكيمياء إلى الأتوفيزياء).

استخدمت أول مقارنة حقيقية لتجاوز هذه القيود "التوليد التوافقي العالي الرتبة". يتم في هذه العملية الحصول على تواترات أعلى وذلك بتبشير حزمة شديدة من نبضات الفمتوثانية على غاز ذري. وبكلام مبسط، تمتص الذرة عدداً من الفوتونات ومن ثم تُصدر فوتوناً مفرداً له طاقة أعلى، وبالتالي له طول موجة أقصر بكثير. ويكون الخرج من الغاز سلسلة "توافقيات" تواتراتها من مضاعفات فردية لتواتر الليزر المسوق. ويمكن للتوافقيات الحاصلة بهذه الطريقة أن يكون طولها الموجي من رتبة عدة نانومترات، بالرغم من أن عدد الفوتونات في كل نبضة توافقية قليل إلى حد ما، لكن أمد التوافقيات هو في نظام الأتوثانية.

بيّنت الدراسات النظرية التي قام بها أولاً فيليب أنطوان P. Antoine وماسيخ لوينشتاين M. Lewenstein عام 1996 في هيئة الطاقة الذرية الفرنسية في ساكلي، وأن لهويلر A. L'Huillier من معهد لوند للتقانة في



عند الحظ السريع - ميشيل هنتشل (على اليسار) و رابهارد كينبرغر في تجربة مطيافية الأتوثانية.

إن قوة التبعر على الإلكترونات الحرة التي يسببها ضوء الليزر أصغر بكثير من بليون مرة من قوة الليزر الذري المؤلف بدقة وعناية، لذا فإنه ينبغي أن يكون الضوء أكثر شدة كي يحدث أي أثر. إن الليزر المستمر لا يمكن جعله قوياً بما يكفي، بينما يمكن لليزر النبضي أن يسدّ هذه الفجوة بسهولة. كان أثر الضوء على الإلكترونات الحرة قد لوحظ لأول مرة [4] باستخدام ليزرات نبضية ضخمة في الستينيات من القرن العشرين، وتمت دراسته بالتفصيل في الثمانينيات منه، بعضها بواسطة بعض التجارب التي تستخدم أمواجاً مستقرة [5]. لم تستخدم هذه التجارب إلكترونات موجهة بصورة كافية لترى القمم الإفرادية عند زوايا مختلفة والتي هي الصفة (الدمغة) المميزة لانعراج الإلكترونات على موجة مستقرة. كان على الاختبار التجريبي الكامل لهذه الفكرة أن ينتظر حتى الآن، أي 40 سنة بعد اختراع الليزر وحوالي 70 سنة منذ أن نشرت ورقة كاينترا - ديراك.

لقد نُفذت تجربة بيتلان وزملائه بشكل جيد وتعتبر سلسلة القمم الإلكترونية عند زوايا تبعر مختلفة على اتفاق بديع مع نظرية كاينترا - ديراك. وهناك سؤال كبير، هو إلى أين يقودنا هذا التقدم في الفيزياء. تقترح مجموعة بيتلان استعماله كأداة طيفية، أو استخدام القمم المتعددة لبناء مقاييس تداخل الإلكترونات. وتستحق هذه الأفكار المتابعة. فهي تنتمي إلى مجال ضيق من البحث الفيزيائي المكثف للتداول في الظواهر الكمومية باستخدام السيطرة الرائعة التي تمتلكها الآن على حقول الليزر. إن الحوسبة الكمومية، والضوء البطيء، والليزر الذرية ومواضيع أخرى مشابهة تنتمي إلى هذا المجال الجديد للتحكم الكمومي. تساعد تجربة بيتلان على ربط هذه التحسينات بأسس النظرية الكمومية.

## REFERENCES

- [1] Freimund, D. L., Afiatoooni, K. & Batelaan, H. Nature 413, 142-143 (2001).
- [2] Kapitza, P.L. & Dirac. P.A.M. Proc. Camb. Philos. Soc.29, 297-300 (1933).
- [3] Gould, P. L., Ruff, G. E. & Pritchard, D. E. Phys. Rev. Lett. 56, 827-830 (1986).
- [4] Bartell, L. S., Roskos, R. R. & Thompson, H. B. Phys. Rev. 166, 1494-1504 (1968).
- [5] Bucksbaum, P. H., Schumacher, D.W. & Bashkansky, M. Phys. Rev. Lett. 61, 1182-1185 (1988). ■

## المراجع

## 7- الأتوفيزياء التجريبية تبلغ سن الرشد\*

طوّر الفيزيائيون كاميرا الأتوثانية التي تستطيع أن تكشف ديناميات الإلكترون

\* نشر هذا الخبر في مجلة Physics World, January 2002. ترجمة هيئة التحرير - هيئة الطاقة الذرية السورية.

ألمانيا أول قياس لمطيافية الأوتونانية ذات الفصل الزمني. لقد درسوا في هذه التجربة تأين غاز الكريبتون وطيف الطاقة الحركية للإلكترونات الفوتونية الناتجة وذلك بتشعيع الذرات بنبضة أشعة-X تدوم  $150 \pm 650$  أوتونانية ونبضة ضوء تحت الأحمر في آن معاً (م). هنتشل وزملاؤه مجلة Nature 414 عام 2001).

وَدَّ الباحثون أشعة -X اللينة المعزولة بتبشير نبضة ليزر تدوم 5 فمتونانية على عينة من غاز الكريبتون ثم أجروا ترشيح الإشعاع الخارج. وقاموا بعد ذلك وفي وقت مترام بتشعيع العينة بنبضة أشعة-X مفردة ونبضة أشعة مرئية حاوية دورات قليلة من الحقل الليزري. أثبت نبضة أشعة-X إلكترونات 4p في ذرات الكريبتون، وتعرض هذه الإلكترونات الفوتونية في الوقت نفسه إلى حقل ليزر، استطاع كراوتز ومعاونوه أن يتحكموا بطاقاتها. وما حصل بشكل مبسط، هو أن الطاقة النهائية للإلكترونات الفوتونية تعتمد على طور الحقل. وتغيير التأخر النسبي بين الليزر ونبضة أشعة-X اللينة، استطاع الباحثون تعديل العرض الطيفي (انظر الشكل 1).

هذا أول مثال عن مطيافية الأوتونانية ذات الفصل الزمني: استطاع كراوتز ومعاونوه أن يضبطوا اللحظة التي تم فيها تأين الإلكترونات خلال 150 أوتونانية. وفي الوقت نفسه، استطاعوا، بفحص التعديل بعناية، تعيين الحد الأعلى الموثوق لدوام نبضة أشعة-X. وبلا شك فإن دوام أشعة-X يقع في حدود مقياس الأوتونانية.

لاشك بأن هذه النتائج الأخيرة قد فتحت الباب إلى حقل جديد من بحوث الليزر - فيزياء الأوتونانية. وبالرغم من أن عواقب هذه الإنجازات يصعب التكهن بها، فإن من الصعب أيضاً المغالاة في تقديرها. ■

## 8- رؤية جديدة للعبور النفقي المغنطيسي\*

تدعم التجارب الأخيرة فكرة أن العيوب البلورية يمكن أن تكون مسؤولة عن العبور النفقي الكمومي للعزوم المغنطيسية في المغناط الجزئية عند درجات الحرارة المنخفضة

إن العزم المغنطيسي لقضيب مغنطيسي نموذجي لايعكس الاتجاه بصورة تلقائية. على أية حال، يمكن للموجات الحرارية أن تقلب عزم جسيم مغنطيسي بمقدار لايتجاوز بضعة نانومتترات. ويمكن تبريد الجسيم إلى مايقارب درجة الصفر المطلق من أجل تخميد هذه العملية، لكن ربما يظل العزم يبحث عن طريقة للقيام بعملية القلب بواسطة العبور النفقي الكمومي. لقد كان العبور النفقي الكمومي للمغنة الموضوع الأساسي لأبحاث استمرت عقوداً من الزمن. مع ذلك وحتى بضع سنوات مضت كان هنالك دليل ظرفي لهذه الظاهرة. وهذا ناجم عن صعوبة تحديد خصائص معظم المنظومات ذات الجسيمات المغنطيسية الصغيرة -

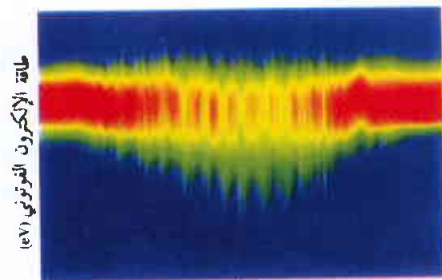
السويد أن التوافقيات المختلفة غالباً ما تكون متشابكة في الطور، وهذا يعني أن مجموعة من التوافقيات المتجاورة تستطيع أن تتداخل بشكل بناء مرتين أثناء كل اهتزاز للحقل الليزري. ويمكنها بهذه الطريقة أن تولد سلسلة من النبضات تدوم كل واحدة منها أقل من الفمتونانية ومفصولة زمنياً عن النبضات المتجاورة بدور الليزر.

منذ ثلاث سنوات قدّم نيكيتاريوس بابادوجيانيس N. Papadogiannis ومعاونوه في مؤسسة البحوث والتفانة هيلاس (FORTH) في جزيرة كريت الإثبات الأول غير المباشر بأن من الممكن استخدام هذه الطريقة لتوليد سلسلة من نبضات الأوتونانية (انظر المقال المنشور في مجلة Physics World عدد شباط عام 2000 تحت عنوان "ظهور علم الأوتونانية التجريبي". أما الإثبات المباشر فقد جاء في العام الماضي عندما قاس بيير أغوستيني P. Agostini في صفلية ومعاونوه في معهد الفيزياء الذرية والجزئية في أمستردام سلسلة من نبضات الـ 250 أوتونانية (مجلة Science عام 2001 P. Paul وزملاؤه).

يبدو حتى ذلك الحين أن استخدام التوليد التوافقي مصدر واعد جداً من أجل نبضات الأوتونانية. ومع ذلك يبقى هنالك قيّدان رئيسيان، الأول هو أنه من المرغوب فيه من أجل تطبيقات المطيافية ذات الفصل الزمني أن يكون هنالك نبضة أوتونانية واحدة معزولة بدل سلسلة من النبضات. والثاني أن شدة هذه السلاسل من نبضات الأوتونانية في الوقت الحاضر صغيرة إلى حدّ كبير بحيث لايمكن استخدامها مباشرة في المطيافية.

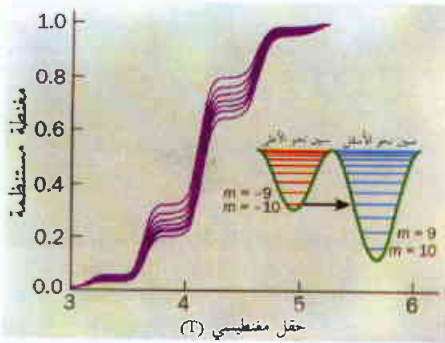
في عام 1997 اقترح كين كولاندر K. Kulander وزملاؤه من مختبر لورانس ليفرمور وباسكال ساليريز P. Salieres وزملاؤه في ساكلي، وهري كابتن H. Kapteyn ومارغريت مورنان M. Murnane، في جامعة متشغان أنه إذا كانت نبضات الليزر الأصلية أقل من 10 فمتونانية، فإن التوافقيات الفردية الحاصلة ستكون أقل من فمتونانية واحدة. ولما كانت نبضة الضوء المرئي تحتوي على عدّة دورات قليلة فقط من نبضة الليزر فإن من الصعب أن يكون هنالك الوقت الكافي لتشكّل التوافقيات. وبدلاً عن ذلك، ستتولد نبضة أشعة -X لينة تدوم عدّة مئات من الأوتونانية.

حقّق الآن فيرنيس كراوتز F. Krauze من الجامعة التقنية في فيينا ومعاونوه من معهد ستياسي للعلوم الجزئية في كندا وجامعة بيلفلد في



الشكل 1- طاقة الإلكترون الفوتوني 4p الصادر من غاز الكريبتون كتابع للتأخير بين نبضة أشعة-X اللينة والنبضة الضوئية.

\* نُشر هذا الخبر في مجلة Physics World, January 2002. ترجمة مكتب الترجمة والتأليف والنشر - هيئة الطاقة الذرية السورية.



الشكل 1- يمكن للانديفاع المغناطيسي لتغناط وحيدة الجزئية القيام بالعبور النفقي من حالات السبين "نحو الأسفل" إلى حالات السبين "نحو الأعلى" عندما يقوم حقل خارجي بحمل سويات طاقة على الجهتين المتقابلتين للحاجز الكموني على التجاوب، كما هو موضح في الشكل المدرج. تقترض مغنطة عتبة من  $Mn_{12}$  الدرجات كلما حمل حقل مغناطيسي المنظومة على مثل هذا التجاوب.

آخر من اللاتناحي يجعل للسبين تفضيلاً آخر ولنقل اتجاه  $x$  بدلاً من اتجاه  $y$  (مع أنه يفضل وبشدة أن يكون مترافقاً على طول  $Z$ ). لكن  $Mn_{12}$  هو جزئي عالي التناظر وهذه الآثار تبدو مع ذلك ضعيفة.

أشار يوجين شودنوفسكي E. Chudnovsky من كلية ليمان في نيويورك ودمتري غارانين D.Garanin من جامعة ماينز Mainz في ألمانيا إلى آلية جديدة لإحداث العبور النفقي في عيوب  $Mn_{12}$  (Phys. Rev. Lett. 2001, 87). إن وصم كلمة "غيب" نابع من اسمه بحد ذاته إذ أنه يتضمن أمراً خاطئاً. ومع ذلك يمكن أن تكون العيوب مصدراً للظواهر الفيزيائية الغنية والمتنوعة. يفترض شودنوفسكي وغارانين أن العيوب في  $Mn_{12}$  تحدث تشوهات في السطح  $x-y$  الذي يمكن أن يحرض العبور النفقي. وفي الوقت الذي كان فيه البحث لا يزال في مرحلة ما قبل الطباعة، اكتشفت أربعة فرق تجريبية دليلاً على دعم فكرة أن العيوب هي المسؤولة عن العبور النفقي في هذه المنظومة.

درس شودنوفسكي وغارانين نوعاً محدداً من العيوب يدعى الخلع الطرفي edge dislocation يدخل فيه مستوى بلوري إضافي عند نقطة ما في البلورة (انظر الشكل 2). ولاتؤثر التشوهات التي أحدثها مثل هذا الخلع في كل جزئيات  $Mn_{12}$  بصورة متساوية. تشوه تلك الجزئيات الموجودة قرب الخلع بصورة أكبر ويمكن أن تحدث عبوراً نفقياً بشكل أسرع. ومع أنه كان يُعتقد بصورة مسبقة أن الجزئيات متماثلة، فإن عمليات الخلع تغير الحالة. وبدلاً من ذلك هنالك توزيع كبير لمعدلات العبور النفقي.

تقدم هذه الفكرة تفسيراً جديداً تماماً لدرجات التجاوب المبينة في التجارب السابقة. فليس لكل سبين جزئي الفرصة ذاتها للعبور النفقي عند تجاوب معين مثل كل سبين آخر كما كان يُعتقد من قبل. في الحالة الجديدة تمثل كل درجة تجاوبية عبوراً نفقياً لمجموعة مختلفة من الجزئيات. في الدرجة الأولى يكون الحاجز عالياً وتستطيع فقط الجزئيات الأقرب إلى الخلع (أي أسرع جزء من توزيع معدلات العبور النفقي) أن تقلب اتجاه سبيناتها. وفي الدرجة التالية يكون الحاجز أخفض إلى حد ما ويستطيع جزء آخر من التوزيع القيام بالعبور النفقي وهكذا.. وبالتالي تقدم لنا كل درجة معلومات حول جزء مختلف من التوزيع.

فالجسيمات لها أشكال وحجوم وخصائص أخرى متنوعة مما يجعل من الصعب مقارنة المعطيات مع النظرية.

لقد تم إحراز تقدم فعلي إلى حد ما منذ بضع سنوات من خلال الأبحاث على المغناط وحيدة الجزئية عالية السبين. وبأبعاد تقارب النانومتر تتكون هذه المغناط عادة من قلب مغناطيسي محاط بمعدّات عضوية. وعندما تبلور في شبكة منتظمة فإن الأيونات العضوية تبقى المغناط المجاورة على انفصال بحيث لا تتأثر إلا بشكل ضعيف. من الناحية المثالية تكون جميع الجزئيات متماثلة بسبب بنائها الكيميائي مما يعني إمكانية تحديد خصائصها بدقة وإمكانية تحليل أية معطيات من الناحية الكمية (انظر "المغناط، والجزئيات، والميكانيك الكمومي" مجلة Physics World March 1999).

ومن بين هذه الجزئيات التي تمت دراستها بشكل معمق أستاذات المنغنيز  $Mn_{12}$ -12. وضمن كل جزئي تكون سبينات ثمانية أيونات  $Mn^{3+}$  (في كل منها  $S=2$ ) متضادة التوازي مع سبينات أربع أيونات  $Mn^{4+}$  (في كل منها  $S=3/2$ ) معطية لـ  $Mn_{12}$  سبيناً كلياً قدره  $S=10$ . أو للتعبير عن ذلك بطريقة أخرى، يكون العزم المغناطيسي لـ  $Mn_{12}$  أكبر بعشرين مرة من العزم المغناطيسي للإلكترون. كما أن سبينه أيضاً يميل إلى أن يشير إما إلى التوازي أو التوازي المضاد لمحور بلوري محدد، المحور  $Z$ . بمعنى آخر، يمتلك  $Mn_{12}$  "حاجراً لامتناهياً" كبيراً.

يمكن نمذجة المنظومة ككمون بئر مزدوج، حيث يتطابق أحد البئر مع الحالة التي يشير فيها السبين "إلى الأعلى" بينما يتطابق الآخر مع السبين الذي يشير "إلى الأسفل" (انظر الشكل المدرج في الشكل 1). سويات الطاقة في كلا البئرين تتطابق مع  $2S+1=21$  وهي القيم المسموحة للعدد الكمومي المغناطيسي،  $m$ . فتطبيق حقل مغناطيسي على طول المحور  $Z$  يغطي الكمون، بحيث يميل السبين لأن يشير إلى أعلى بدلاً من أسفل.

في عام 1995 اكتشفت وزملائي ظاهرة جديدة تدعى العبور النفقي للتمغناط التجاوبي في هذه المادة. وفي درجات حرارة تحت 3K، أوجدنا خطوط (درجات) في حلقات البطء لـ  $Mn_{12}$  (كتلك المبينة في الشكل 1) كلما أدى الحقل المغناطيسي الخارجي إلى ترتيب السويات الطاقة في البئرين المتعاكسين، مما يسمح للسبينات بالعبور النفقي بين البئرين. والعبور النفقي يدفع الجزئيات ذات السبينات المتجهة نحو الأسفل إلى البدء بالتوجه نحو الأعلى.

ومع أنه كان واضحاً أن العبور النفقي كان يحدث في هذه المادة، فلم يكن السبب في ذلك مفهوماً. وطالما أن اللاتناحي الذاتي للجزئيات وللحقل المغناطيسي معاً يشيران على طول المحور  $Z$ ، فإن المركبة  $Z$  للسبين هي كمية مصونة، أي أن  $m$  هو عدد كمومي جيد وأن العبور النفقي بين حالات  $m$  المختلفة غير مسموح به.

ولابد من إضافة شيء آخر للسماح بالعبور النفقي - الشيء الذي يشير في اتجاه مختلف عن  $Z$ . وهذا يمكن أن يكون حقلاً مغناطيسياً عرضانياً ناجماً عن سبينات نووية أو تآثرات ثنائية القطب مع الجزئيات المجاورة. إلا أن هذه الآثار ثبت أنها ضعيفة جداً بحيث تحول دون اعتبار معدلات العبور النفقي الملموسة. يمكن أيضاً تحريض العبور النفقي بتوع

ذلك. حتى في  $Mn_{12}$  لا يبدُ للسبينات النووية وحقول ثنائي القطب من أن تقوم بدور ما في ذلك. ومما هو جلي أنه إذا أردنا في يوم من الأيام استخدام مثل هذه المغناط الصغيرة جداً لتخزين البيانات، لابد من أخذ العيوب بالحسبان. ■

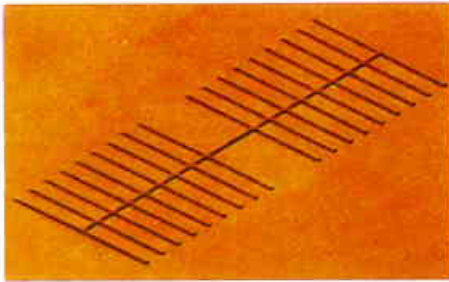
## 9- بلورات فيغور التقليدية تستمر في الحركة\*

ثمة نيطة مكروإلكترونية حديثة وجديدة تعد بإحداث ثورة في فهمنا للبلورات الإلكترونية التي تتشكل عندما تتبرد السوائل الإلكترونية منخفضة الكثافة إلى ما يقارب درجة الصفر المطلق.

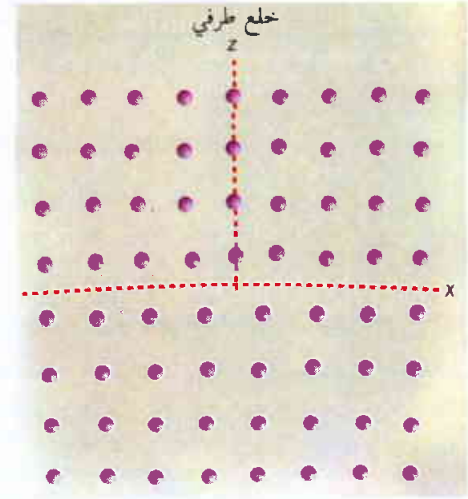
لقد قادت الخواص غير العادية للمنظومات متعددة الإلكترون إلى عدد من الاكتشافات المذهلة في فيزياء المادة الكثيفة خلال القرن الماضي بما فيها الناقلية الفائقة وأثر هول الكومومي الكسري. وتعد هاتان الظاهرتان كموميتين بصورة أساسية بالطبيعة وتحدثان عندما يكون طول موجة دوبروي لإلكترون فرد قابلاً للمقارنة بالفصل الإلكتروني البيني، مع التأثيرات إلكترون-إلكترون التي تقوم بدور أساسي في تحديد حالة المنظومة.

لكن في الطرف المقابل، أي عند حد الكثافة المنخفضة، فقد يتوقع المرء أن تسلك المنظومة الإلكترونية سلوك المائع التقليدي. وفي درجات حرارة منخفضة سيتصلب مثل هذا المائع متحولاً إلى ما يُعرف ببلورة فيغور Wigner crystal، كما تنبأ بها يوجين فيغور E. Wigner في عام 1934. تُشكل الإلكترونات في جسم صلب فيغور بنية فضائية دورية بحيث تنخفض الطاقة الناجمة عن التنافر الكولوني المتبادل.

وحتى الآن لم تلاحظ بلورات فيغور إلا في منظومتين تجريبيتين: إلكترونات فوق سطح الهليوم السائل، وإلكترونات عند السطح البيني للبنى المتغايرة نصف الناقلية. وفي كلا الحالتين يمكن للإلكترونات أن تتحرك في بُعدين فقط. قام حالياً مايك لي M. Lea لدى جامعة رويال هولوي في لندن وزملاؤه بتصنيع بلورة فيغور يبعدين في منظومة



الشكل 1- الإلكترونات تبلور على سطح الهليوم السائل الذي يملأ هذه القنوات المكروية.



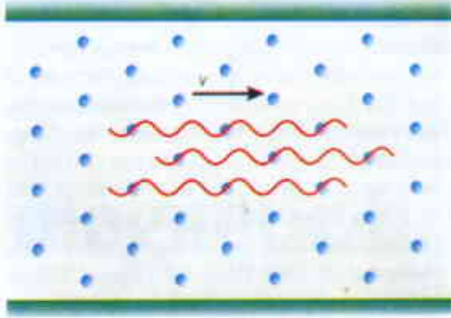
الشكل 2- خلع طرفي في بلورة يحدث تشوهات تستطيع أن تؤدي إلى عبور نفقي في جزيئات  $Mn_{12}$ . تحقق الجزيئات الأقرب إلى الخلع أعلى معدلات للعبور النفقي.

تنبأ النظرية بأن المرء ينبغي أن يكون قادراً على أخذ المعطيات من كل درجة من الدرجات وجمعها مع بعضها لتشكيل منحني أملس يعكس التوزيع الأساسي لمعدلات العبور النفقي. وهذا ما فعله بدقة فريق ميريام ساراشيك Myriam Sarachik في سيتي كوليغ في نيويورك (K M Mertes et al. Phys. Rev. Lett. 2001, 87). قاس الباحثون ذرى الدرجات كتابع لمعدل كس الحقل المغنطيسي، وبتابع إجراءات شونوفسكي وغارانين، كانوا قادرين على إنشاء منحني أملس من المعطيات - وهذه النتيجة تتوافق مع حالة العبور النفقي الذي يقوده الخلع. وبالمقابل وجدوا أنه لا يمكن إنشاء منحني أملس إذا افترض المرء أن العبور النفقي يقوده فقط حقل مغنطيسي عرضاني.

وفي غضون ذلك، قام بيث باركس B. Parks في جامعة Colgate في هاملتون بنويورك، وكذلك بصورة مستقلة، تعاون بين الباحثين في جامعة ولاية فلوريدا وجامعة ولاية مونتانا بقياس عمليات فصل الطاقة بين سوياوات  $m$  المختلفة. وجد كلا الفريقين أن خطوطهم الطيفية لـ  $Mn_{12}$  كانت أعرض من المتبرجج. وهذا يقتضي ضمناً أن ارتفاع حاجز الطاقة يتباين قليلاً من جزيء إلى آخر - وهذا التأثير يمكن توضيحه بدلالة عمليات الخلع.

وثمة اختبار آخر لنظرية شونوفسكي وغارانين أجراه فريق جافير تيجادا Javier Tejada في جامعة برشلونة، إذ حرض الباحثون عمليات الخلع في بلورة  $Mn_{12}$  بتبريدها بسرعة في التبرجين السائل ومن ثم تسخينها بسرعة إلى درجة الحرارة العادية مرة أخرى. ووجدوا بعد هذه المعالجة أن معدل العبور النفقي في العينة ازداد بشكل واضح. وإحداث انخلاعات أخرى فإن المعالجة الحرارية تزيد من عدد الجزيئات التي تشوّهت ومن ثم تستطيع أن تقوم بالعبور النفقي بشكل أسرع.

والسؤال الذي يُطرح هنا هو: هل تعد قصة العبور النفقي برمتها في المغناط الجزيئية عيوباً؟ والجواب بالتأكيد لا. ففي بعض المغناط الجزيئية تكون آلية العبور النفقي مفهومة جيداً وليس للعيوب سوى دور ثانوي في



الشكل 2- عندما تنزاح بلّورة فيغرن (الزرقاء) في القناة المكروية المملوءة بالهليوم السائل، فإنها تولد موجة سطحية (حمراء) بطول موجي يتلاءم مع الفصل الإلكتروني. إن قوة الاحتكاك التي تمارسها البلورات هي تابع لاختطى لسرعة الانزياح،  $v$  ، للبلّورة. يحدث الاحتكاك الأقصى عندما تتساوى سرعة الانزياح وسرعة الطور للموجة.

Dykman من جامعة ميشغان قد اقترحا استخدام بلّورات فيغرن لبناء الحواسيب الكمومية - وهي نبائط يمكن أن تتجاوز في أدائها الحواسيب العادية في مهام محددة (انظر مجلة 1967 284 1999 Science).

تمثّل آخر نبيطة إلكترونية مكروية طوّرها فريق رويال هولوي Royal Holloway تقدماً كبيراً في مجال مناولة بلّورات فيغرن التقليدية، إذ تتألف من قناة مكروية شعيرية قطرها حوالي  $10 \mu m$  مملوءة بالهليوم السائل. تستطيع القناة أن تحتفظ بعدد كبير من الإلكترونات عبرها، لكن مازال الوقت باكراً جداً لكي يمكن اعتبار المنظومة سلك بلّورة فيغرن.

وجد لي Lea وزملاؤه أن حركة بلّورة فيغرن في القناة المكروية تقدّم العديد من الخصائص المشوّقة: أولاً، أثبتوا خاصية اللاتبوتية لنقل بلّورة فيغرن من منطقة خطية (أوميّة) عند فولطية مسوّقة صغيرة جداً. ثانياً، يتبوا أيضاً أن ناقلة بلّورة فيغرن هي أقلّ بشكل بارز منها في الطور السائل. وأخيراً، وجدوا أن استجابة البلورة تصبح لاختطية بشدة عندما تزداد الفولطية المسوّقة، وأن الناقلة تتناقص عندما تزداد سرعة الانزياح،  $v$  ، للبلّورة على طول القناة.

تمارس الإلكترونات ضغطاً كهربائياً على سطح الهليوم السائل وبالتالي تولّد أمواجاً عندما تتحرك أشبه ماتكون بالسفن على الماء. وفي درجات الحرارة المنخفضة يؤدي إصدار هذه الأمواج إلى مقاومة كهربائية. علاوة على ذلك، إن تشكّل بلّورة فيغرن يزيد بشكل جوهري من إصدار الأمواج التي لها طول موجي يتلاءم مع دور الشبيكة الإلكترونية ( انظر الشكل 2). تزداد المقاومة بطريقة تجاوية وتصل إلى حدّها الأقصى عندما تتساوى سرعة انزياح بلّورة فيغرن مع سرعة الطور للموجة الشعيرية المنبعثة.

إن الاقتران للاختطى مع سطح الهليوم يحطم أخيراً بنية بلّورة فيغرن عند فولطية مسوّقة عالية إلى حدّ كافٍ. يُشير لي وزملاؤه إلى أن البلّورة تصبح منزوعة الإلكترونات في وسط القناة، تاركة عصا مشحونة تنزاح مع السرعة التجاوية،  $v_1$  ، وأن حواف البلّورة الأصلية تتحرك بسرعة عالية. وعندما تزداد الفولطية المسوّقة، فإن هذه الحواف السريعة الحركة تنمو بتجميع الإلكترونات التي تفرق عن الجزء المركزي الأبطأ من البلورة. وثمة تحقيقات أخرى ضرورية لتوضيح تفاصيل مثل هذا النقل الإلكتروني غير العادي.

ثالثة - قناة مكروية شعيرية مملوءة بالهليوم السائل (P. Glasson وآخرون. Phys. Rev. Lett. 2001 87 176802). ويمكن أن تؤدي النبيطة المذكورة، التي تم تصنيعها في معهد نيلز بور في كوبنهاغن، إلى تطبيقات في الإلكترونيات المكروية (الشكل 1).

تتمتع أجسام فيغرن الصلبة، التي تمت ملاحظتها في أنصاف النواقل وعلى الهليوم السائل، بخواص مميزة بسبب التراكيز المختلفة للإلكترونات في كل منظومة. وعلى السطح البيني لبنية نصف ناقل متغايرة هنالك تركيز عالٍ نسبياً بصورة نموذجية يبلغ تقريباً  $10^{16}$  إلكترونات في المتر المربع الواحد. ولتصنيع بلّورة نحتاج لضغط التابع الموجي المستوى الداخلي لكل إلكترون، بتطبيق حقل مغنطيسي قوي على سبيل المثال متعامد مع السطح البيني. وتبقى بلّورات فيغرن المستحصل عليها بهذه الطريقة أجساماً كمومية ذاتياً. ومن المهم أيضاً الإشارة إلى السطح البيني لبنية نصف ناقلة متغايرة ليست خالية من العيوب، كالذرات التي تكون في غير موضعها. علاوة على ذلك، هنالك أيضاً كمون متأرجح بسبب قلة المانحين المشحونين بشحنة موجبة.

يمكن أن يكون أيضاً لقدر ضعيل جداً من عدم الانتظام في السطح البيني تأثير مهم في الخواص الماكروسكوبية لجسم صلب فيغرن. على سبيل المثال، إذا كان إلكترون واحد فقط متموضّعاً عند عيب، يمكنه أن يربط البلّورة بكاملها، عندئذ يقوم حقل كهربائي صغير مطبق بمجرد تشويه جسم صلب فيغرن المثبت هذا بدلاً من توليد تيار كهربائي. وهكذا فإن تبلور فيغرن يجبر الإلكترونات الموجودة عند السطح البيني على أن تصبح عازلة. في الواقع هذه هي المرة الأولى التي يلاحظ فيها التحوّل إلى طور بلّورة فيغرن في البنى المتغايرة نصف الناقلة.

لوحظت بلّورة فيغرن فوق الهليوم السائل لأول مرة في مختبرات بل عام 1969. بالمقابل مع البلّورات المتشكّلة في البنى نصف الناقلة، تمثّل الإلكترونات فوق الهليوم السائل نظاماً تقليدياً صرفاً، بتراكيز نموذجية بمعدّل  $10^{12}$  إلكترون في المتر المربع. ومع ذلك ليست بلّورات فيغرن هذه بسيطة كما يبدو. وعلى الرغم من التجارب الكثيرة، يبقى هنالك عدد من التساؤلات الهامة التي لم يُرد عليها: هل التحوّل الطوري من مائع إلى بلورة فيغرن هو تحوّل من المرتبة الأولى أو الثانية، وهل يوجد طور مائع لامتناح يعرف بالطور السداسي؟

إن التطور في فهم النظام الإلكتروني التقليدي أخذ بالتعقيد لاسيما من حيث حقيقة أن بلّورة فيغرن التقليدية هي جسم من الصعب التعامل معه تجريبياً. فالإلكترونات تطفو فوق سطح الهليوم بمقدار  $10 \text{ nm}$  ويمكن فقدانها بسهولة نتيجة اهتزاز خارجي. وينبغي بذل عناية خاصة من أجل ضمان ثبات سطح الهليوم تحت  $0.5 \text{ K}$ ، وهي درجة حرارة الانصهار النموذجية لجسم صلب فيغرن، وينبغي بذل هذه العناية أيضاً عند سوق البلّورة بحقل كهربائي مطبق.

وبصرف النظر عن هذه الصعوبات، تمثل الإلكترونات الموجودة على الهليوم منظومة واعدة إلى حدّ كبير للإلكترونيات المكروية. في الواقع يبن كيموتوشي كونو K. Kono وزملاؤه في جامعة طوكيو أن لهذا المائع ناقلة أعلى من أي ناقل عادي معروف. أضف إلى ذلك، أن فل بلاتسمان P. Platzman من مختبرات بل ومارك دايكمان M.



كمحركات حرارية تُحوّل الحرارة إلى طاقة كهربائية (مفعول سيك Seebeck effect) أو تُحوّل الطاقة الكهربائية إلى تبريد (مفعول بلتييه Peltier effect؛ الشكل 1). ويمكن للنبائط الكهروحرارية المعتمدة على هذين المفعولين أن تُشكل جيلاً جديداً من المولدات والبرادات غير الميكانيكية فيما لو كانت فقط ذات كفاءة أكبر.

لقد ألقى البحث، الذي أجري في رويال هولوي، ضوءاً جديداً على الدينامية اللاخطية لبُوروات فينغر، ويمثل حجر الأساس في مجال تطوير الإلكترونيات على سطوح قزّية. ويمكن لهذه النبائط ذات القناة المكروية الحديثة أن تقوم بدور ثوري في هذا المجال كالدور الذي قام به تصنيع الترانزستور بالنسبة لأنصاف النواقل. ■

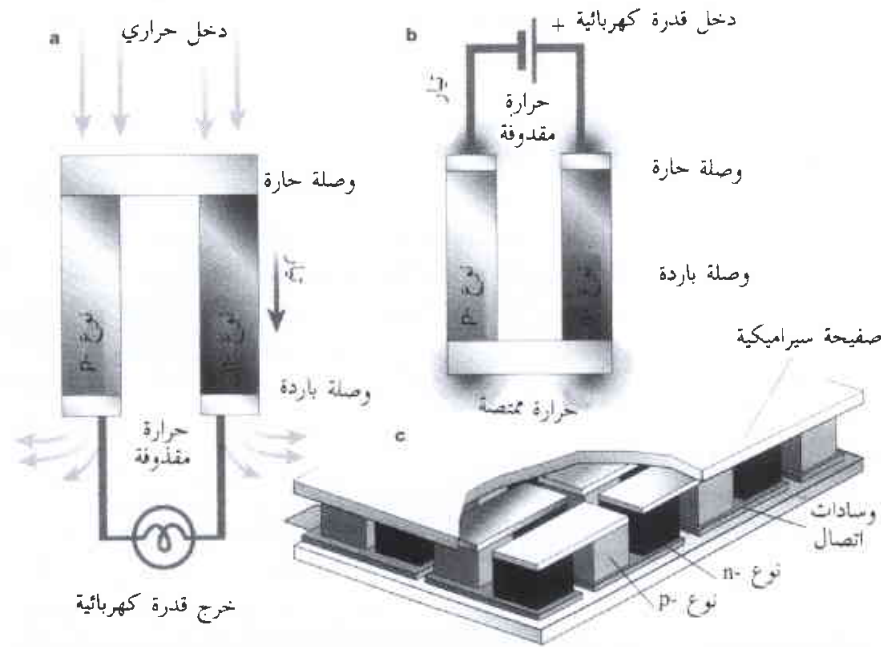
## 10- أنصاف النواقل تصبح باردة\*

في عقد الخمسينيات من القرن العشرين، كانت هنالك آمال بأن تحلّ المزدوجات الحرارية نصف الناقلة محلّ المُبرّدات الميكانيكية، تماماً كما حصل عندما حلّت الترانزستورات نصف الناقلة محلّ الأنابيب الخلاقية. ولاشك بأن مواد جديدة قد تجعل من ذلك هدفاً قريب التحقيق.

لاشيء يُحزّن النعاس مثل محاضرة في علم التحريك الحراري (الترموديناميك)، ولهذا فإننا سنتخطى خوض هذا الموضوع؛ لكننا لا نستطيع أن نتخطى ما ورد في الصفحة 597 من العدد الأخير لمجلة (Nature (Vol.413, 11 Oct., 2001)، حيث قدّم فنكات سوبرامانيان Venkatasubramanian وزملاؤه [1] وصفاً لنبائط مزدوجات حرارية رقيقة الغشاء صنعت من مواد جديدة بحيث يمكنها أن تجعل جميع البرادات ومولدات القدرة في العالم شيئاً من تراث الماضي. يبدو هذا الأمر جيداً للغاية بحيث يصعب تصديقه. حسناً، قد تكون النتيجة برادات نزهة على الأقل.

تعدّ المزدوجات الحرارية المعتمدة على أسلاك معدنية رخيصة، يُعوّل عليها وتستخدم على نطاق واسع لقياس درجة الحرارة. والمزدوجة الحرارية دارة كهربائية بسيطة متشكّلة من ناقلين غير متماثلين متصلين مع بعضهما من إحدى نهايتي كل منهما بحيث تولّد الوصلة فولطية عندما تكون الوصلة والنهائيات السائباتان في درجتَي حرارة متباينتين. لكن المزدوجات الحرارية يمكنها أن تفعل أكثر من مجرّد توليد الفولطية. إنها تستطيع أن تعمل

تبيّن، عقب تطوير أنصاف النواقل في الخمسينيات، أن استبدال أنصاف النواقل بالأسلاك المعدنية يُحسّن كفاءة المزدوجات الحرارية بأكثر من مرتبة واحدة من المقادير. إنه تحسّن كبير، إلا أن التقانة الكهروحرارية العادية تبقى مكلفة جداً وتستهلك الكثير من الطاقة الكهربائية لاستبدال الضاغظ في برّاد المطبخ. لكن النبائط الكهروحرارية من أنصاف النواقل هي نبائط جسم صلب لتحويل الطاقة ذات بنية قوية، ومتحملة، واعتبرت لأمد طويل التقانة المختارة لتزويد القدرة من أجل مهمات الفضاء السحيق التي شملت، مسابر مركبتي الفضاء فوياجر I Voyager I و فوياجر II Voyager II إلى الكواكب الخارجية، ومؤخراً مهمة كاسيني Cassini إلى كوكب زحل. وهي أيضاً نبائط ملائمة بصورة جيدة لنبائط نائية وقاسية على سطح الأرض (كبعض خطوط أنابيب النفط)، كما أنها



الشكل 1- أحلام كهروحرارية تتحوّل إلى حقيقة. المزدوجات الحرارية دارات كهربائية بسيطة تُستخدم لقياس درجات الحرارة بسبب الفولطية المتولّدة عن فروق درجات الحرارة عند الوصلات المتشكّلة من سلكين غير متماثلين أو من نوعين مختلفين من أنصاف النواقل. ويمكن أيضاً استخدام هذه المزدوجات الحرارية لتوليد: (a) قدرة كهربائية، أو (b) تبريد. وتحدّد كفاءة تحويل الطاقة على الخواص الكهروحرارية (هنا أنصاف النواقل من النوع n- والنوع p-) أكثر من اعتمادها على التصميم الهندسي. (c) يمكن لأحدث طراز من المنظومات الكهروحرارية أن يحوي لغاية عدة آلاف من المزدوجات الحرارية المفردة. ومن الممكن تكيف الخصائص الكهربائية والحرارية لتناسب استخدامات محددة، وذلك إما بتعديل عدد المزدوجات الحرارية ضمن السلسلة أو بإجراء تغيير في العوامل الهندسية. وتمثل المواد الكهروحرارية الجديدة التي استنتجها فنكات سوبرامانيان وزملاؤه [1] خطوة رئيسة نحو مزيد من الاستخدام الواسع للتقانة الكهروحرارية بحيث يتعدى مجال الاستخدامات المحدودة حالياً.

\* نُشر هذا الخبر في مجلة Nature, Vol. 413, 11 October 2001. ترجمة هيئة التحرير هيئة الطاقة الذرية السورية.

ملائمة لعملية تبريد من المستوى البسيط في تطبيقات عسكرية وفضائية (كما هو الحال في تبريد كواشف الأشعة تحت الحمراء).

لقد أدى خفض التكلفة، خلال السنوات العشر الماضية، إلى إدخال بزايدات كهحرارية (بلتية) كسلع أو منتجات للمستهلك، مثل سلاّت النزهة الخالية من الثلج (كما تحققت استفادة جيدة من ولاعة السجائر في السيارات). ومقاعد المركبات المكيفة (تبريد أو تسخين) كذلك، أضحت ساعات اليد التي تستمد طاقتها كلياً من حرارة المعصم متوفرة رغم أسعارها الباهظة. لكن الانطلاق إلى ما هو أبعد من مثل هذه الأسواق الملائمة يتطلب أداء أفضل. والمعضلة هنا لا تكمن في التفاصيل الهندسية إنهما في العلم - وبخاصة علم المواد الكهحرارية.

المعضلة هي أن المواد النشطة ذاتها، "ساقاً" نصف الناقل من النوع n و النوع p البيتان في الشكل 1، تُحدّد الكفاءة. فالإلكترونات تحمل التيار المتدفقة في نصف الناقل من النوع n، في حين تحمل التيارات في نصف الناقل من النوع p بواسطة "ثقوب" موجبة الشحنة. وللنوعين مقاومة كهبرائية لا بد من التعلّب عليها كي تقوم المزدوجة الحرارية بعملها. وكل ساق نصف الناقل تنقل الحرارة مباشرة عبر النيطة التي تحدّد من فارق درجة الحرارة الذي تتمكن النيطة من الوصول إليه (من أجل التبريد) أو المحافظة عليه (من أجل توليد القدرة). وهذه الخسارات تقلل من قدرة أي من الساقين على إنتاج أي من الفولطية المفيدة أو التبريد، وذلك تبعاً للاستخدام المطلوب.

ويقاس المدى الذي يمكن أن تصل إليه كفاءة المادة في مزدوجة حرارية ذات تصميم هندسي ملائم بواسطة مجموعة من خواص المادة تعرف باسم "عدد الاستحقاق الكهحراري وهو غير ذي بعد" يكتب عادة بالرمز ZT. ويُعد ZT مصطلحاً مختزلاً للكفاءة. ويتمتع ZT بميزة، أنه يمكن قياسه على ساق مفردة دون الحاجة إلى تصنيع نيطة كاملة. ويمكن ل ZT أن يساوي الصفر، وهذا يعني عدم وجود تحويل للطاقة. وعندما يزداد ZT نحو اللانهاية، تدنو النيطة الكهحرارية مقاربة حدّ كارنو المعتاد للكفاءة، الذي يطبق على المحركات الحرارية كافة (بما فيها محركات الجسم الصلب).

ولكل مادة عدد استحقاق يكون عادةً ذا قيمة صغيرة جداً. وربما كان ضرورياً أن يُخصص مصطلح "المادة الكهحرارية" للمواد التي لها قيمة  $ZT > 0.5$  وهي نادرة كفاية لأن تكون ذات أهمية. ولحقيقة تقارب 40 سنة بقيت قيمة ZT لأفضل المواد المعروفة بين حوالي 0.75 و 1.0؛ ولهذا السبب بالذات تُعدّ أبحاث فنكات سورامانيان وزملائه ذات أهمية بالغة، إذ أخبروا عن قيمة ل ZT قدرها 2.4 في أفلام رقيقة لأنصاف نواقل  $Bi_2 Te_3/Sb_2 Te_3$ . ويبدو أن هذه المواد تحقق قيماً عالية ل ZT؛ بفضل بنيتها غير العادية - شبيكة فائقة متشكّلة بطبقات متناوبة من أنصاف النواقل. وكان الرقم القياسي السابق ل: ZT، قد تم بلوغه عند درجة حرارة الغرفة بواسطة سبيكة جرمية نصف ناقلة تعتمد على  $Bi_2 Te_3$  و  $Sb_2 Te_3$ . ويبدو أن بنية الشبيكة الفائقة تعزز نقل الإلكترونات الحاملة للتيار (والثقوب)، في حين أنها تثبط نقل الفونونات الحاملة للحرارة (اهتزازات مكعبة للشبيكة البلورية)؛ وكلا التأثيرين يرفعان قيمة ZT.

في أواخر الخمسينيات، عندما بدأ ظهور الحقبة الحديثة للعلم الكهحراري وتقائه، بدأ أنه من الممكن أن تقترب كفاءة الكهحراريات من كفاءة البرادات الميكانيكية ومولّدات القدرة؛ ومع حلول السبعينيات، وبسبب عدم إحراز تقدم، كانت هناك قلة تدعم هذا الاحتمال. وقد بلغ الأمر إلى حدّ التخمين بأن قيمة قدرها 1 ل ZT تمثل نوعاً من حاجز كهحراري؛ ومن المؤكّد أن ذلك شكّل حدّاً تجريبياً كاد أن يوقف البحث والتطور. لكن رودولف بوسر Rudolph Buser، الذي كان مشاركاً مع مديرية البصريات الكهبرائية الليلية التابعة للجيش الأمريكي، أهاب بالعلماء، في أوائل التسعينيات، أن يعاودوا البحث في مجال الكهحراريات. وسرعان ما أعقب ذلك تبني برنامج في العلوم الأساسية لزيادة قيمة ZT، وذلك بدعم أساسي من "مكتب البحرية الأمريكي لبحوث البحرية ووكالة مشاريع البحوث المتقدمة في المجال العسكري. وفي أواخر التسعينيات، تمّ تحقيق بعض النجاح إلا أنه حتى تلك الفترة كان من الواجب أن تكون متفانلاً كي تُصدّق بأن الحاجز المذكور أنفاً تمّ كسره [2].

ومع نتائج فنكات سورامانيان وزملائه [1]، غدا حتى المراقبون المشككون وغير المتحمسين منهم، متشجعين بشكل مأمون؛ وأصبحت خواص المواد، عند قياسها بعدد الاستحقاق ZT، أفضل من الحالة الراهنة بما يعادل 2.5 ضعفاً، وتم إثباتها بأكثر من طريقة، وباتت ناجعة عند درجة حرارة الغرفة. ومع أنه كان هنالك متسع من الوقت، لكن أي حدس حول وجود عائق كهحراري عدد استحقاقه  $ZT=1$  يبدو أنه أصبح لاغياً بالتأكيد.

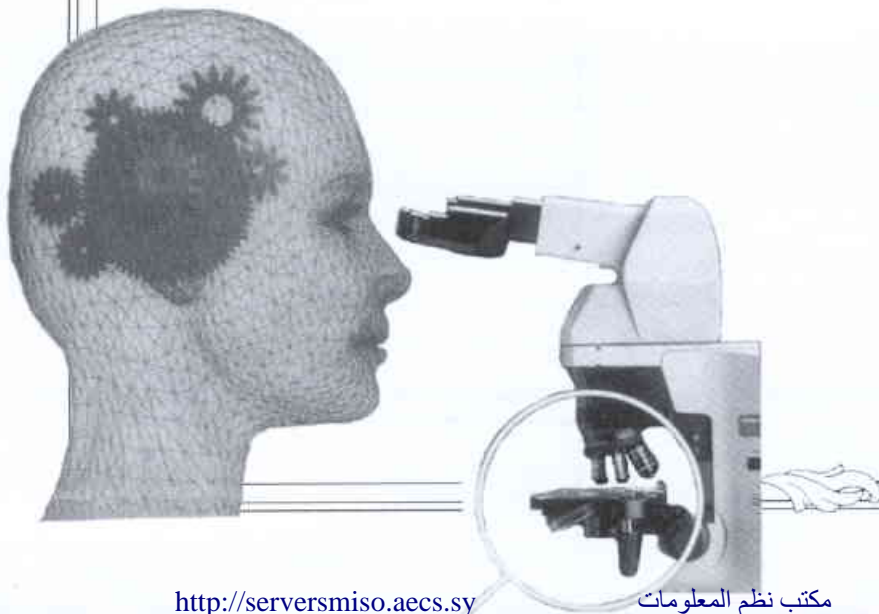
هل حان الوقت كي تستبدل برادك ذا الطراز القديم؟ لم يحن هذا الوقت بعد. فرغم الآمال الواعدة لهذه النتائج الجديدة، تبقى الكفاءة (المقدّرة من ZT) أقل بشكل محسوس من تلك الخاصة بالبرادات التقليدية. ولا يوجد ما يفيد بإمكانية حل المشاكل الهندسية المختلفة أو تلك التي تتعلق بالتكاليف.

من جهة ثانية، قد تكون هذه النتيجة على قدر كافٍ من الجودة لتوسع كبير في مجال التطبيقات العملية. فمعروف أن للمصنعين العصريين قدرة جيدة على خفض التكاليف، كما لا يوجد سبب يوحى بالاعتقاد بأن هذا يمثل الكلمة الأخيرة حول ما يتعلق بالكفاءة. ومعظم الفيزيائيين يتذكرون عندما كان الحدّ الأعلى لدرجات حرارة الانتقال إلى الناقلة الفائقة ثابتاً إلى حدّ ما عند حوالي 32K ( $-250^\circ C$ )، في حين يقع الرقم القياسي الحالي عند 164K ( $-109^\circ C$ ) وهذا لا يزال رقماً بارداً؛ لكن القليل بينهم من سيراهن الآن ضد انتقاله نحو الأعلى. والتجريبيون، بالذات، مغرمون بإثبات أن النظريين على خطأ.

## REFERENCES

- [1] Venkatasubramanian, R., Siivola, E., Colpitts, T. & O'Quinn, B. Nature 413, 597-602 (2001).
- [2] Dubois, L. H. 18th International Conference on Thermoelectrics 1-4 (IEEE, Piscataway, New Jersey, 1999). ■

# ورقات البحوث



# محطة مناخية محمولة مع نظام مراقبة الإشعاع النووي باستخدام المعالج التحكمي المكروي "BASIC-8052"\*

د. علي احمد - سامر أغابي - محمد شفيق ويس.  
قسم الخدمات العلمية - هيئة الطاقة الذرية - ص. ب. 6091 - دمشق - سورية.

## ملخص

تمَّ تصميم وبناء محطة مناخية محمولة قادرة على قياس مختلف العوامل الجوية (وبخاصة حرارة الوسط المحيط، الرطوبة النسبية، الضغط الجوي، سرعة واتجاه الرياح). فقد جرى تحويل المقادير الفيزيائية إلى إشارات كهربائية باستخدام محسّنات مناسبة. وبعد ذلك تمت معالجة هذه الإشارات وتحويلها إلى قيم رقمية يمكن تخزينها ضمن وحدات ذاكرة مناسبة. تمَّ أيضاً بناء نظام إنذار خاص بالإشعاع النووي، على اللوحة الأم للنظام، وذلك لمراقبة مستويات إصدار الإشعاع النووي. يتألف النظام من ثلاثة أجزاء رئيسية: لوحة التحكم، لوحة تحصيل المعطيات، و لوحة تكييف الإشارات. ويتم التحكم بكامل النظام باستخدام المعالج التحكمي المكروي "BASIC-8052".

الكلمات المفتاحية: محطة مناخية، نظام مراقبة إشعاعي، معالج تحكمي مكروي، محددات مناخية.

## مقدمة

الوحدة هي 21.5 V، 3.1 A، 50 W<sub>p</sub> على الترتيب. كما تمَّ تصميم نظام تغذية مساعد في حالة انقطاع التيار الكهربائي.

يتم القياس المباشر للعديد من العوامل المناخية باستخدام محسّنات مناسبة (على سبيل المثال: الحرارة، الضغط، الرطوبة). تُقاس العتبات الفيزيائية ضمن فترات زمنية محددة وتحوّل إشارات الخرج الناتجة إلى قيم رقمية باستخدام مبدل تمثيلي/رقمي "A/D converter" أو مبدلات فولطية إلى تواتر "V/F converter". هذه القيم تتم معالجتها لاحقاً وتُخزن ضمن ذاكرة ولوج عشوائي RAM مناسبة.

تمَّ تصميم قناة الإشعاع، التي تقوم بقياس كثافة الإشعاع النووي، لتعطي إنذاراً صوتياً عندما تتجاوز القيمة المقاسة مستوى معيناً يحدده المستثمر.

## مكونات الحاسوب والبرمجية للنظام

يبيّن الشكل 1 المخطط الصندوقي العام للمحطة المصمّمة. يتألف النظام من جزء رئيس يمثل المعالج التحكمي المكروي ومن العديد من الأجزاء الثانوية التي تقوم بأداء وظائف مثل تحصيل المعطيات وتخزينها وإظهار الخرج. إن التفصيلات التقنية لهذه الأجزاء موضحة فيما يلي:

### لوحة التحكم

تعدّ هذه اللوحة قلب المحطة إذ أنها تحتوي على المعالج التحكمي المكروي "8052AH-BASIC"، وذاكرة ولوج عشوائي RAM بسعة 32 kbytes وذاكرة قراءة فقط قابلة للمحي ضوئياً EPROM بسعة 24 kbytes. يشرف المعالج التحكمي المكروي على كامل عمل المحطة من أتمتة لعمليات القياس والتخزين وذلك من أجل عدد كبير من العتبات. يحتوي المعالج على ثلاثة عدادات/ مؤقتات قابلة للبرمجة ( $T_0$  خاص

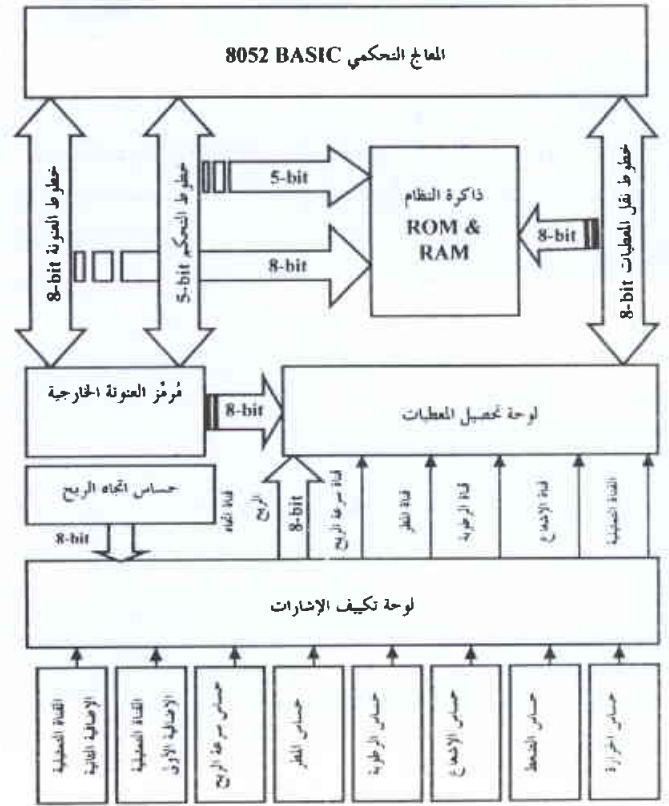
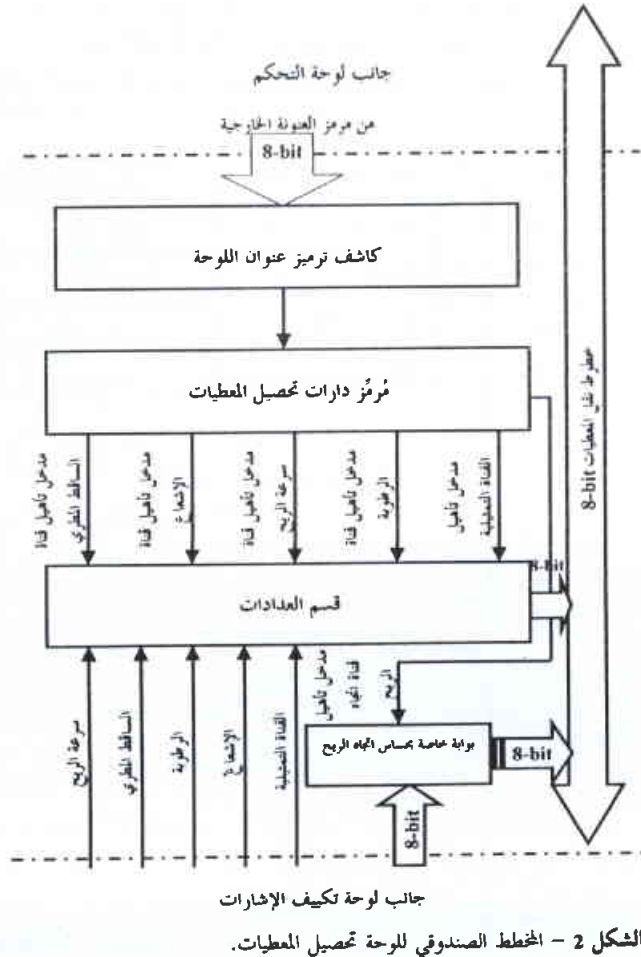
يلعب علم قياس العوامل المناخية دوراً هاماً على الصعيد الوطني والدولي، وذلك لأن معظم نواحي حياتنا يتعلق بشكل مباشر أو غير مباشر بالوسط المحيط. وعليه قامت معظم الدول بإنشاء مؤسسات رصد العوامل المناخية الوطنية الخاصة بها منذ أمد طويل [1]. قديماً، كانت معظم محطات القياس المناخي ميكانيكية ويدوية التشغيل وكان يتم إدخال القيم المقيسة ضمن سجلات مكتوبة بخط اليد قبل نقلها إلى ملفات الحاسوب من أجل عمليات التحليل اللاحقة. لكن معظم هذه المحطات قد تمَّ تطويرها وأصبحت آلية التشغيل وذلك بفضل التطور السريع في الإلكترونيات الرقمية [2].

تمَّ تصميم النظام الموصّف هنا لتخفيض كلفة التجهيزات المادية المستخدمة ونفقة الصيانة. إضافة إلى ذلك، إن هذا النظام بسيط في بنيتة المنطقية ويمكن استخدامه بشكل واسع ضمن العديد من مجالات تحصيل المعطيات والتحكم ونظم التجهيزات الذكية. وذلك يرجع بشكل أساسي إلى استخدام المعالج التحكمي المكروي "BASIC-8052" الذي يحتوي على مترجم لغة "BASIC" مدمج ضمنه. وبهذه الحالة، فإن لغة ال "BASIC"، التي تُعدّ لغة برمجة بسيطة نسبياً، يمكن التعامل معها بفعالية مما يوفر مرونة أكبر في عملية أتمتة أداء المحطة بطريقة بسيطة نسبياً. إحدى الميزات الهامة للنظام هي إمكانية تركيبه وتشغيله في مناطق منعزلة بعيدة عن شبكة الكهرباء العامة. ولتحقيق هذه الميزة تم تزويد المحطة بوحدة شمسية فوتوفولطية (نوع - SM 50-18A2) من إنتاج شركة "SIEMENS" لتأمين التغذية الكهربائية لها. فولطية الدارة المفتوحة  $V_{oc}$ ، و تيار الدارة المقصورة  $I_{sc}$ ، والاستطاعة الأعظمية  $P_{max}$  لهذه

تحتوي الدارة 82C55 على ثلاث بوابات دخل/ خرج لكل منها ثماني خانات. هذه البوابات يمكن برمجتها كمدخل أو مخرج تبعاً للتطبيق المرغوب. في هذا المشروع، تمت برمجة البوابتين A و C كبوابتي خرج في حين تمت برمجة البوابة B كبوابة دخل. وقد تم ذلك ضمن البرنامج التحكمي بكتابة كلمة تحكم مناسبة ضمن سجل التحكم الخاص بالدارة 82C55. جرى استخدام خطوط هذه البوابات، لإنجاز العديد من المهام الإضافية. فعلى سبيل المثال استُخدمت خطوط البوابة A كمدخل انتخاب ضمن ناخب المحطة، واستُخدمت خطوط البوابة C من أجل عملية الفحص الذاتي للمحطة وإصدار إشارة الإنذار "AC-ALARM" في حالة انقطاع التيار الكهربائي. تم استخدام خطوط البوابة B لاستقبال إشارات محسن اتجاه الريح الثمان.

ومن ناحية ثانية تتألف دارة العدادات/ مؤقتات "82C54" من ثلاثة عدادات/ مؤقتات قابلة للبرمجة وفقاً لستة أنماط مختلفة لعدادات أو مؤقتات وذلك حسب الحاجة [3].

تُستخدم دارة كشف ترميز العنوان في هذه اللوحة لتحديد عنوانها في خريطة الذاكرة للنظام، ويُستخدم مُرمز دارة تحصيل العيّنات لانتخاب العنوان المناسب لكل قناة إشارة من اللوحة.



الشكل 1 - المخطط الصندوقي العام للمحطة المناخية.

بساعة الزمن الحقيقي،  $T_1$  خاص بحساب زمن أخذ العيّنات، و  $T_2$  من أجل عمليات التزامن الخاصة بالتخاطب مع الحاسوب عبر الوصلة التسلسلية (RS232). كما يحتوي على خطي مقاطعة ( $INT_0$ ,  $INT_1$ )، وخطي تخاطب تسلسلي، وخط خرج نبضات معدلة العرض PWM، وخط خاص لإرسال المعطيات إلى طابعة تسلسلية خارجية. تواتر العمل للمعالج التحكمي هو (11.0592 MHz).

لوحة التحكم قادرة على قيادة ثماني لوحات تحصيل معطيات في الوقت نفسه مع إمكانية مراقبة المقادير المقيسة مباشرة على شاشة الحاسوب.

### لوحة تحصيل المعطيات

يوضح الشكل 2 المخطط الصندوقي للوحة تحصيل المعطيات التي تحتوي على تسع قنوات دخل مقسمة كما يلي:

- أربعة مدخل رقمية (الإشعاع، سرعة الريح، الساقط المطري والرطوبة).
- أربعة مدخل تمثيلية (حرارة الوسط المحيط، الضغط الجوي، وفتانان احتياطيّتان للاستخدام المستقبلي).
- قناة خاصة مؤلفة من ثماني خانات تستخدم لاستقبال إشارات خرج من محسن اتجاه الريح.

تتألف اللوحة بشكل أساسي من الدارتين الإلكترونيتين 82C54 و 82C55 إضافة إلى كاشف ترميز عنوان اللوحة ومُرمز دارة تحصيل المعطيات.

## لوحة تكيف الإشارات

يوضح الشكل 3 المخطط الصندوقي للوحة تكيف الإشارات. المهام الأساسية لهذه اللوحة تتمثل أولاً بمعالجة المعاملات الناحية المقيسة بمختلف المحتات، وثانياً تحويل هذه المقادير إلى قيم رقمية يمكن نقلها مباشرة إلى وحدة تحصيل المعطيات ليصار إلى معالجتها هناك.

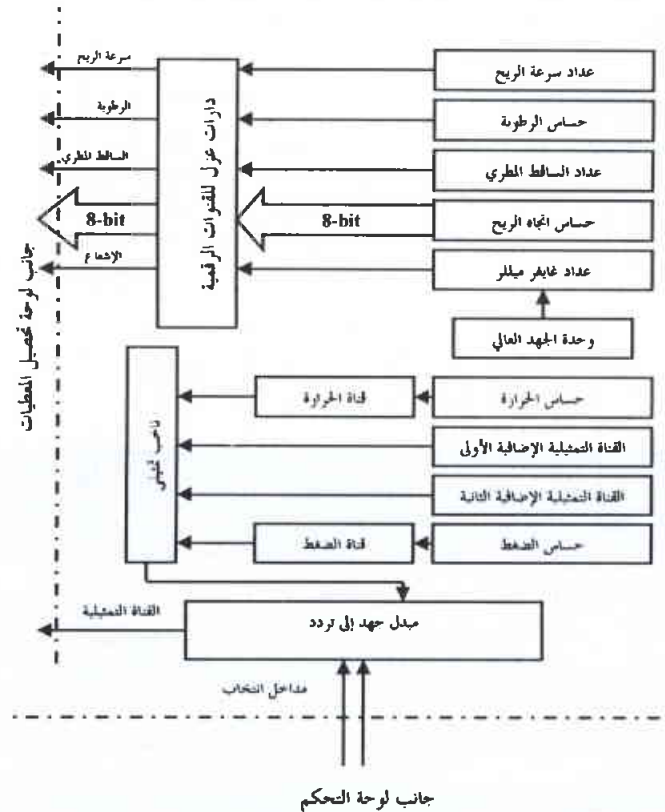
تحتوي الدارة الكاملة لهذه اللوحة على العديد من العناصر الإلكترونية التي تمّ تجميعها لإنجاز مجال واسع من المهام مثل الترشيح والحماية من الضجيج (باستخدام دارات العزل TLC271).

إضافة إلى ذلك، تحتوي اللوحة على مضخم قياس (AD620) يستخدم لتضخيم إشارة خرج محسّن الضغط، وعلى ناخب تمثيلي (AH5010) لمزامنة عملية دخول القنوات التمثيلية على ميدل الفولتية/ تواتر (LM331). يسمح استخدام المبدل V/F بتبديل القيم التمثيلية مباشرة إلى مكافئاتها التواترية.

من المفيد الإشارة هنا إلى أنّ جميع العناصر المختارة في هذا التصميم كانت من نوعية CMOS وذلك لتقليل استهلاك الطاقة وزيادة سرعة العمليات. إضافة إلى ذلك إنّ جميع المضخمات المستخدمة هنا كانت عالية الدقة، منخفضة الاستهلاك للطاقة ومعوّضة حرارياً.

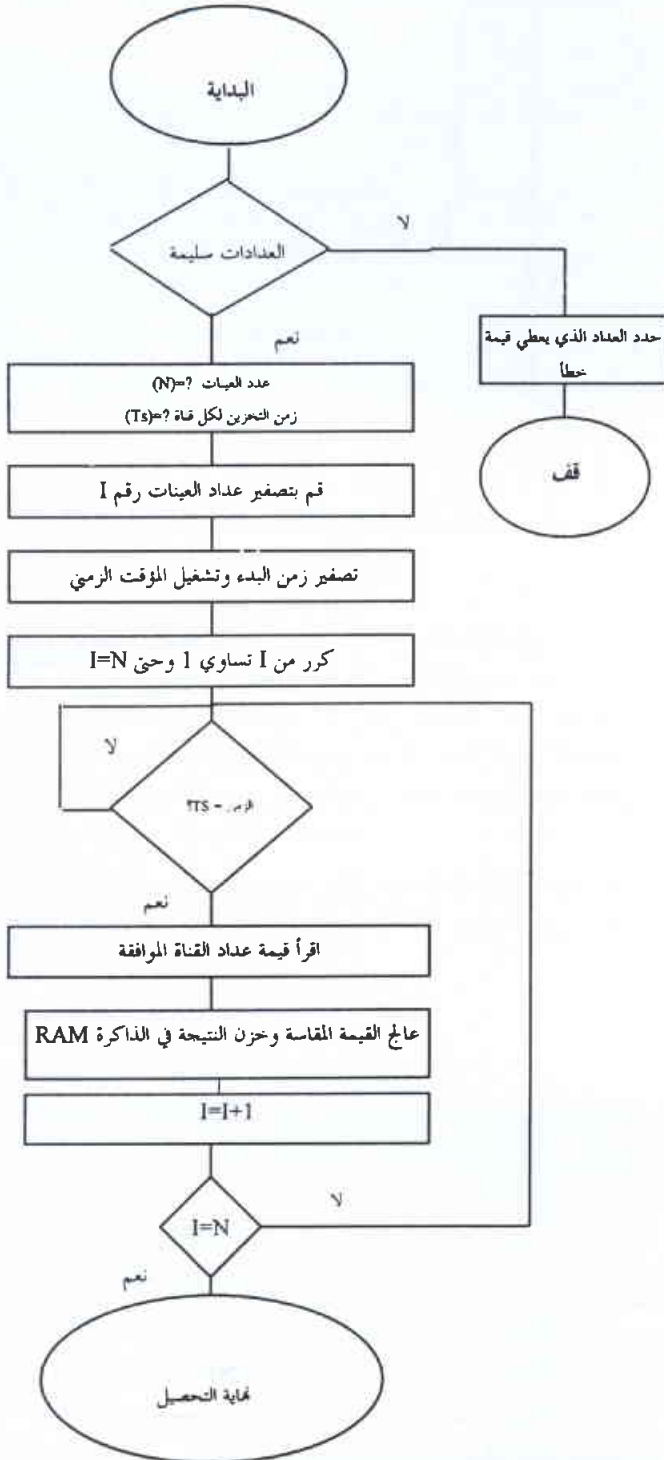
## توصيف البرمجيات

تمّ تصميم برنامج تحكم مكتوب بلغة BASIC-8052 وحُزّن في ذاكرة الـ EPROM ذات السعة 24 kbytes. لقد تمّ تطوير البرنامج بحيث يكون سلس الاستخدام وليقدم الكمّ الأقصى من المعلومات بالمقدار



الشكل 3- المخطط الصندوقي للوحة تكيف الإشارات

الأدنى من التعقيد. يُظهر الشكل 4 المخطط الانسيابي لكامل البرنامج الذي يتألف من سلسلة من البرامج الجزئية التي تتحكم بكامل عمليات النظام وتعالج المقادير الفيزيائية المقيسة، كما تقوم بإظهار النتائج النهائية لهذه المقادير. يمكن تقسيم البرنامج إلى 7 برامج جزئية أساسية تمّ توضيحها في الجدول 1.



الشكل 4 - المخطط الانسيابي لبرنامج التحكم.

الوظيفة	اسم البرنامج الجزئي
- إعطاء القيم الأولية لمعاملات المحطة (زمن وتاريخ بدء القياس، معاملات معايرة المحطات).	التأهيل الأولي (Initialization)
- عنونة جميع عدادات القنوات والبوابات (كلمة التحكم للدارة 82C54 والدارة 82C55).	
تفعيل المؤقتات وكذلك حساب زمن وتاريخ القياس وفقاً لساعة الزمن الحقيقي الخاصة بالمعالج.	التاريخ والزمن
الجزء الأساسي من البرنامج حيث يمكن بواسطته استدعاء وتنفيذ الوظائف التالية:	لائحة الخيارات (MENU)
1 - ضبط التاريخ والزمن.	
2 - بدء قياس جديد.	
3 - إظهار النتائج المخزنة.	
4 - الخروج من البرنامج.	
حساب أزمنة التخزين وأخذ العينات بالإضافة إلى الزمن الكلي للقياس.	إدخال المعاملات
1 - زمن أخذ العينات: هو الفترة الزمنية بين أخذ عيّتين منفصلتين من إشارة ما. ويمكن اختيار هذا الزمن ضمن المجال (ثانية واحدة - 5 ثوان) وفقاً للدقة المطلوبة.	
2 - زمن التخزين: يتم خلال هذا الزمن مراكمة قيم العينات ضمن بؤكم خاص ويتم عدّ العينات ضمن عداد عينات خاص. يتم في نهاية هذا الزمن حساب قيمة الوسطي للعينات المقيسة ثم يتم تخزين هذه القيمة ضمن موقع الذاكرة المناسب.	
3 - زمن القياس الكلي.	
تؤخذ هنا قيمة واحدة في نهاية كل زمن أخذ العينات لكل قناة. ثم يتم إنجاز عمليات ترشيح وتعويض وحساب للوسطي في نهاية كل زمن تخزين وذلك لزيادة الدقة وإنقاص آثار الاخطية والجرف الحراري وإزالة أثر أية عملية قياس خاطئة للإشارات المناخية خلال فترة زمن التخزين الفعلي.	تحصيل المعطيات
يتم تخزين وسطي قيم العينات المقيسة من أجل كل قناة في موقع الذاكرة المناسب وذلك في نهاية كل زمن تخزين.	التخزين
يتم إظهار القيم المخزنة ضمن ذاكرة الولوج العشوائي RAM على شاشة حاسوب محمول وذلك عبر الوصلة التسلسلية RS232.	الإظهار

## آلية تشغيل المحطة

خرج كل من القناتين التمثيليتين على التوالي إلى مدخل المبدل V/F الذي يُطبّق تواتر خرجة على مرحلة تضخيم نهائية قبل إدخاله إلى لوحة تحميل المعطيات.

قيست الرطوبة النسبية (RH) باستخدام محسّ وسعي من نوع (PHILIPS) ذي حساسية (0.6 pF/RH%). تغير إشارة الخرج تواتر هزاز متعدد (نوع LM555) وذلك بتوافق مع تغير الرطوبة النسبية. وتمت معالجة اللاخطية هنا أيضاً بواسطة برمجيات مناسبة باستخدام النقطة التصميمية للمحسّ المقابلة ل (C = 200 pF ± 20% at RH = 76%) وذلك لحساب ثوابت معادلة الرطوبة النسبية كتابع للتواتر. وتغطية كامل مجال الرطوبة النسبية 0% إلى 100%، والذي يقابل مجال تواتر 6100-8000 Hz، كان لا بد من تطبيق المعادلة التالية:

$$RH\% = (252300/f|_{Hz}) - 315$$

أما بالنسبة لقياس سرعة واتجاه الريح فقد تمّ استخدام مبدل ثلاثي الأكواب مع مؤشر اتجاه محليّ الصنع. إن الدارة الإلكترونية لمبدل سرعة الريح مزودة بمحسّ ضوئيّ يصدر نبضة واحدة من أجل كل دورة للمبدل. منطقة عمل محسّ اتجاه الريح كانت ضمن المجال (1-30 m/s) وبحساسية 1 m/s في حين تتكون الدارة الإلكترونية لمؤشر اتجاه الريح من ثمانية محتات ضوئية مثبتة على قاعدة وفقاً للاتجاهات الجغرافية الرئيسة (الشمال والغرب والجنوب والشرق) وللاتجاهات الفرعية (شمال غرب، شمال شرق، جنوب غرب، جنوب شرق). يقوم السهم المصمم بدقة، والذي يتصل بقرص تقطيع، بتحسس اتجاه الريح السائد وتفعيل واحد أو اثنين متجاورين من المحتات الثمانية وذلك لتغطية مجال عمل مقداره 16 اتجاهاً ضمن الـ 360°.

وأخيراً، تمّ قياس الساقط المطري باستخدام محسّ أرجوحة (Tipping Bucket) محليّ الصنع ذي خرج رقمي ويعطي دقة مقداره 0.25 mm مقابل كل تأرجح لأرجوحة المحسّ مع إمكانية زيادة الحساسية باستخدام براغي معايرة خاصة وفقاً للدقة المرجوة.

لقياس الإشعاع النووي للوسط المحيط، تمّ تصميم دارة مراقبة إشعاع خاصة بهذه المحطة. استُخدم أنبوب غايغر ميللر في هذه الدارة من أجل قياس الشدّة الإشعاعية. في هذه الحالة، يكون عدد نبضات خرج الدارة مكافئاً لكمية الإشعاع الساقط. تُشكّل هذه النبضات بعد ذلك باستخدام قاذح شميدت ودارات تكييف إشارة لاحقة لتصبح ملائمة لمدخل العداد (82C54). يبيّن الشكل 5 المخطط الصندوقي للعناصر الأساسية لقناة الإشعاع. ويبيّن الشكل 6 الدارة الإلكترونية التفصيلية لهذه القناة [7].



إلى العداد 82C54 المناسب ضمن لوحة تحميل المعطيات

الشكل 5 - الرسم البياني للقيم المقيسة.

تعتمد المحطة بشكل جوهري على المعالج التحكمي المكروي BASIC-52. لهذا المعالج العديد من المزايا كالسرعة العالية والوثوقية والمرونة وبساطة البرمجة [4]. كما يتمتع بمترجم BASIC داخلي (للتحويل من لغة BASIC إلى لغة الآلة) وذلك لتسهيل برمجة تشغيل كامل المحطة بطريقة سهلة وفعالة. إضافة إلى ذلك، إن استخدام العدادات المرمرجة وبوابات الدخل/ خرج يعطي المزيد من المرونة في استخدام هذا التصميم في العديد من التطبيقات الصناعية. ولإضفاء المزيد من المرونة على عملية كتابة البرنامج من خلال المستثمر فقد تمت إضافة دارتي EPROM خارجيتين (جداذتان 27HCT128) بسعة تخزين مقداره 24 kbytes. كما تمّ تركيب ذاكرة RAM (MT5C2568) بسعة 32 kbytes لتخزين المعطيات المحصلة. علاوة على ذلك، فقد كان من الضروري إضافة بطارية داخلية صغيرة الحجم قابلة لإعادة الشحن (3.6 V-Alkaline) لضمان الاحتفاظ بالمعلومات المخزنة ضمن الذاكرة RAM في حال انقطاع التيار الكهربائي.

## المحسّات

تمّ قياس الضغط الجوي باستخدام محسّ ضغط من النمط الجسري (KPY43A 0-1.6 bar) ويتألف من أربع مقاومات كهروضغطية. حساسية هذا المحسّ كانت 0.028 mV/mb. وقد استُخدم مضخم قياس خاص (AD620) للتعامل مع خرج هذا المحسّ [5]. لزيادة دقة القياس، تمت تغذية المحسّ بواسطة منبع تيار ثابت يستخدم دارة فولتية مرجعية دقيقة ومعوّضة حرارياً بشكل جيد (LM399) [6].

تمّ أيضاً تعويض الأثر الحراري على قياسات الضغط جزئياً باستخدام مقاومة تتعلق قيمتها بدرجة الحرارة الموجودة ضمن جسم هذا المحسّ. وكذلك عولجت لاخطية محسّ الضغط باستخدام برمجيات مناسبة وذلك للحصول على المعادلة النهائية للضغط الجوي P:

$$P|_{mbar} = 1E-5 * f^2 + 0.0523 * f|_{Hz} + 394.07$$

حيث f هو التواتر المكافئ للخرج التمثيلي للمضخم (AD620).

تمّ قياس درجة حرارة الوسط المحيط باستخدام محسّ خطي نصف ناقل (نوع LM335) له مجال عمل 40°C إلى 100°C مزود بمنبع تيار دقيق (LM334) وذلك للحصول على حساسية مقداره (10 mV/°C). درجة الحرارة T تُعطي بالمعادلة:

$$T|_{°C} = (V_{out}|_{mV}/10) - 273$$

حيث V<sub>out</sub> هي فولتية خرج المحسّ.

في كلا المحسّين السابقين يتم تحويل إشارة الخرج التمثيلية إلى قيمة رقمية موافقة باستخدام مبدل خطي للفولتية إلى تواتر V/F (نوع LM331) بمجال عمل (10V/10kHz) للحصول على دقة مقداره (1mV/Hz). استُخدم ناخب سريع (AH5010) لنقل إشارة



قياسات الضغط ( $\pm 4\%$ ) بشكل رئيس إلى آثار اللاخطية والجرف الحراري لهذه المحسّات التي لم يكن بالإمكان تجنبها.

في الحقيقة، لحساب القيم الفيزيائية مباشرة من مكافئاتها التواترية وتقليل آثار اللاخطية والجرف الحراري الخاصة بمحسّات الضغط والرطوبة، لتحسين دقة القياس أيضاً فقد تمّ استخراج معادلتين رياضيتين من النتائج التجريبية لقياسات الضغط والرطوبة. إن استخراج هاتين المعادلتين يمكن اعتباره خطوة أساسية من أجل عمليات الحساب اللاحقة التي سيقوم البرنامج التحكمي بإجرائها.

بيّن الشكل 7 مثلاً عن القياسات المسجلة بواسطة كلتا المحطتين لدرجة الحرارة، والضغط، والرطوبة، وسرعة واتجاه الرياح في مدينة دمشق منطقة المزة (على خط طول 36 درجة شرقاً وخط عرض 33 درجة شمالاً وعلى ارتفاع 730 m عن سطح البحر). تبيّن القياسات وسطي المحددات الفيزيائية المأخوذة وفق زمن تحصيل مقداره 5 ثوانٍ، وزمن تخزين مقداره دقيقتان وزمن قياس كلي مقداره ساعتان. كل نقطة هي عبارة عن الوسطي لـ 24 قياساً متتالياً وذلك لتحسين تكرارية القياسات. المنحنيات البيانية للحرارة واتجاه الرياح تُظهر استقراراً معقولاً، في حين يُلاحظ بعض التغيرات في قياسات سرعة الرياح نظراً للهبوب غير المنتظم للرياح خلال فترة القياس. إضافة إلى ذلك، يظهر المزيد من الاضطرابات في القيم المقاسة للضغط الجوي والرطوبة المبيّنة ضمن منحنياتها وذلك بسبب بعض مظاهر اللاخطية لمحسّاتها الكهروضغطية والوسعية على الترتيب.

### برنامج التحكم

لقد تمّ تصميم وكتابة البرنامج بأسلوب شديد البساطة والفعالية بحيث يعطي المستمر مزيداً من المرونة في تغيير أزمته التخزين وأخذ العيّات لكل قناة في بداية كل عملية قياس. يقوم البرنامج بحساب زمن العمل التقديري الكلي قبل البدء بإجراء القياسات والحسابات، وذلك لتجنب عملية الكتابة مرة ثانية فوق القيم المخزنة سلفاً في ذاكرة تخزين النتائج RAM. كما يتم إظهار قيم زمن العمل الكلي التقديري للقياس وأزمته أخذ العيّات وزمن التحصيل عند بداية تنفيذ البرنامج. في هذه الحالة، يمكن للمستثمر أن يقوم بتخزين النتائج الموجودة في الـ RAM على أداة خاصة (مثلاً على حاسوب محمول) قبل نهاية زمن العمل التقديري الكلي للقياس وبذلك لن يُفقد أي جزء من القيم المقاسة. إضافة إلى ذلك، تتم عملية تأهيل أولي وفحص ذاتي لكل العدادات فور بدء تشغيل البرنامج، ومن ثم تظهر لائحة الخيارات ويصبح النظام جاهزاً لتنفيذ خيارات المستمر.

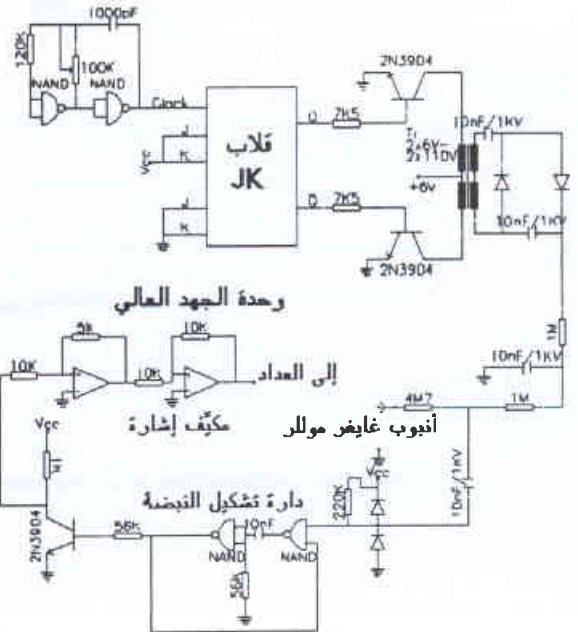
إذا ما تمّ اختيار خيار "بدء قياس جديد" من لائحة الخيارات فإن جميع عمليات القياس والحساب والتخزين تُتقدّ تبعاً.

### وحدة التغذية

لتأمين التغذية الكهربائية المناسبة للمحطة، فقد تمّ تأمين خيارين للتشغيل:

- التشغيل المباشر من الشبكة العامة AC - 220V.

- التشغيل من بطارية 12V يمكن إعادة شحنها باستخدام لوحة خلايا فوتوفولطية PV (SM 50-18A2). يتم توصيل اللوحة PV مع وحدة تحكم



الشكل 6 - المخطط الصندوقي لقناة الإشعاع.

ونظراً لأهمية مراقبة الإشعاع، فقد تمّ اتخاذ العديد من الإجراءات الأساسية لذلك. فعلى سبيل المثال، تتم مقاطعة عمل البرنامج الأساسي مباشرة عند اكتشاف أي إشعاع في الجو، ويتم إصدار إنذار صوتي للدلالة على ذلك.

### الأداء

تمّ إنجاز العديد من الاختبارات التجريبية للتأكد من أداء المحطة مع التركيز على التكرارية، والدقة والمرونة في القياسات، لذلك فقد تمّت مقارنة قياسات المحطة مع قياسات محطة معيارية نمساوية الصنع METOS (نوع MET93V2). إضافة إلى ذلك قورنت قياسات درجة الحرارة والرطوبة النسبية والضغط الجوي وسرعة الرياح مع قياسات المقاييس الرقمية المعيارية التالية ذات الـ 3 خانوات:

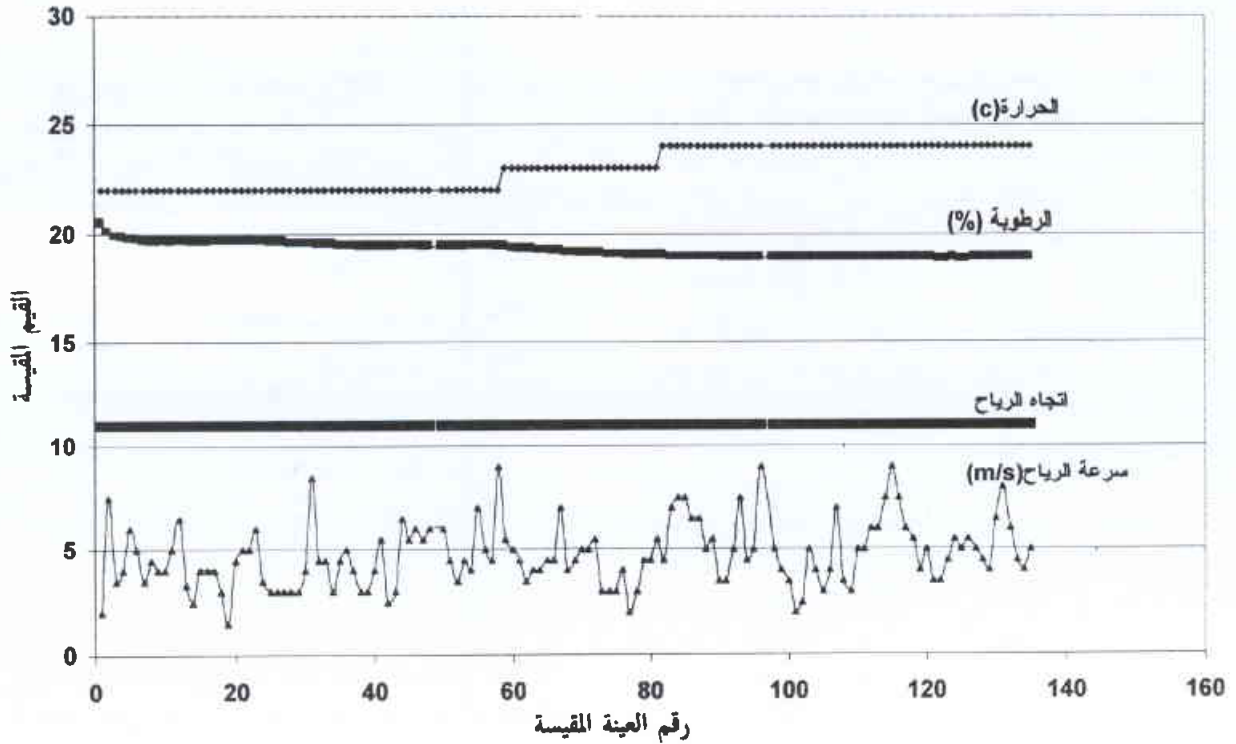
(أ) مقياس درجة الحرارة والرطوبة النسبية LUTRON Ht-3001 ذو المجال الحراري ( $0-60^{\circ}\text{C}$ ) ومجال الرطوبة النسبية ( $10-95\%$ ).

(ب) مقياس سرعة الرياح LUTRON AM-4202 ذو المجال ( $0.2-40\text{ m/s}$ ).

(ت) مقياس التخيلية Hastings Model 760 الخاص بقياس الضغط ذو المجال ( $0-1000\text{ mb}$ ).

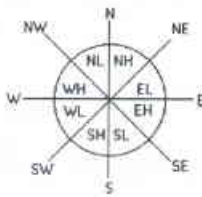
أظهرت النتائج المأخوذة من كلتا المحطتين ومن المقاييس الرقمية توافقاً جيداً نسبياً بانحراف معياري لا يزيد عن  $1-3\%$  من أجل درجة الحرارة وسرعة الرياح، ويحدود  $3-5\%$  من أجل قياسات الضغط والرطوبة. الدقة الجيدة التي حصلنا عليها في نتائج قياسات الحرارة وسرعة الرياح تعود بشكل أساسي إلى السلوك الخطي والحساسية العالية للمحسّات المستخدمة. في حين تعود الدقة القليلة الملاحظة في قياسات الرطوبة ( $\pm 3\%$  ضمن المجال  $10-70\%$  و  $\pm 4\%$  ضمن المجال  $70-100\%$ ) وفي

## النتائج التجريبية

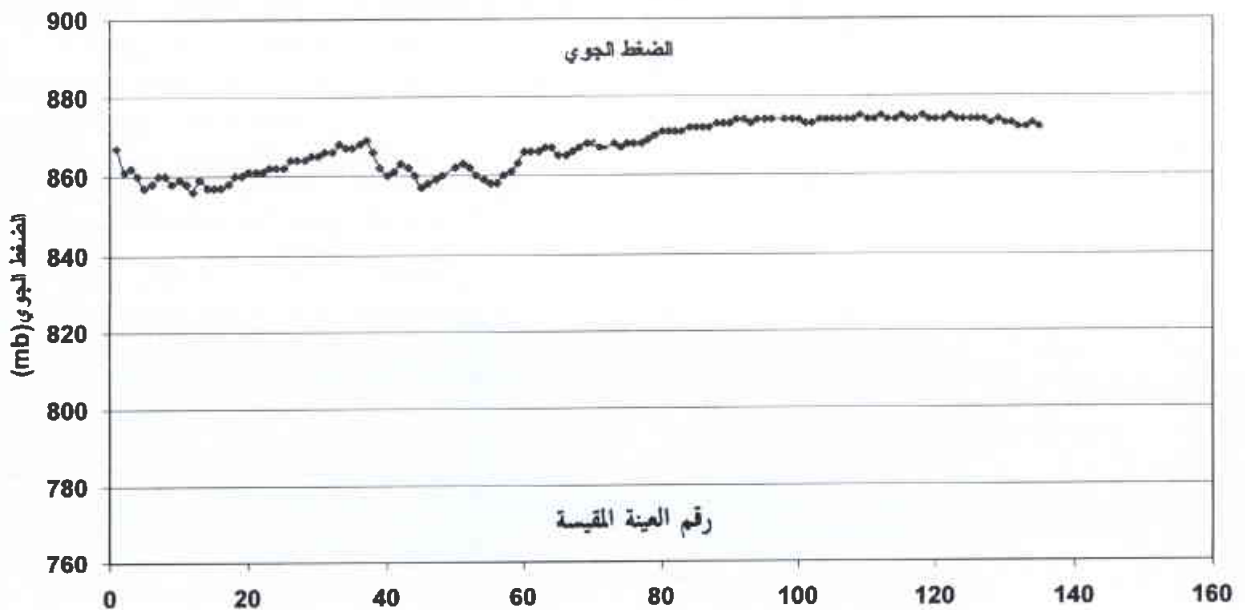


- A -

ضمن مخطط اتجاه الرياح:



0:NW	1:WH	2:W	3:WL
4:SW	5:SH	6:S	7:SL
8:SE	9:EH	10:E	11:EL
12:WE	13:NH	14:N	15:NL



- B -

الشكل 7 - الدارة الإلكترونية التفصيلية لقناة الإشعاع.

قيماً دقيقة نوعاً ما لكون الأخطاء الناتجة عن القياسات الرقمية صغيرة مقارنة بالقيم المقيسة بالطرائق اليدوية التقليدية. وأكثر من ذلك، تمكنا المحطة من التعامل مع كميات كبيرة من المعطيات وبمعدلات تحصيل عالية. يمكن تلخيص ميزات هذه المحطة على النحو التالي:

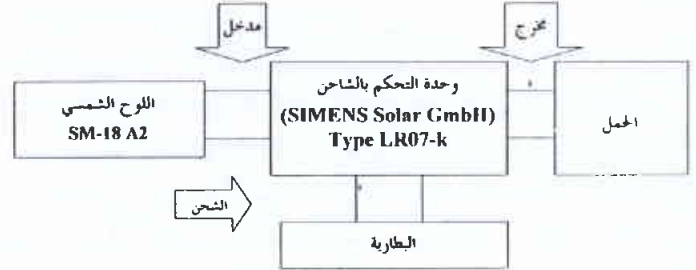
- بساطة الدارات الإلكترونية وبساطه برنامج التحكم.
- الدقة العالية في قياس المحددات الفيزيائية.
- استهلاك الطاقة المنخفض نتيجة لاستخدام الدارات الإلكترونية المصنعة بتقنية (CMOS).
- إمكانية مراقبة وقياس الإشعاع النووي.
- إمكانية التشغيل التلقائي للمحطة بعيداً عن الشبكة العامة نظراً لوجود ميزة التغذية بالطاقة الشمسية بواسطة الألواح الفوتوفولطية ضمنها.
- يمكن للمحطة أن تعمل لمدة 60 يوماً وذلك وفقاً لزمن التخزين المختار.
- مساوية التشغيل كانت قليلة، ويتعلق مجملها بلاخطية المحطات المستخدمة كمحسّ الرطوبة والضغط الجوي.

## REFERENCES

## المراجع

- [1] Kind, D. & Quinn, T. (1995). Metrology: Quo Vadis? IEEE Transactions on Instrumentation and measurement., 44: 85-89.
- [2] Tu, G., Malik, O. P., Liu, P. & Bu, Z. (1991). 8096-Single ship microcomputer based system. Proceedings of IEEE Western Canada Conference on Computer, Power and Communications Systems in a Rural Environment., May 29-30, Regina, Saskatchewan, Canada., 26-29.
- [3] Intel (1989). Microprocessors and Peripherals Handbook. Intel Corporation., 6: 64-109.

وسيطرة (SIEMENS Solar GmbH Type LR07\_k) وكذلك مع بطاريات تخزين كما هو موضح في الشكل 8. تُحمى اللوحة من التضريل الجزئي بواسطة مقومات إلكترونية لتمرير التيار. تم استخدام مبدل (DC-DC) نوع (PM862) لتأمين الفولطيات (+15 V, -15 V) من فولطية البطارية (+12 V).



الشكل 8 - المخطط الصندوقي لنظام التغذية باستخدام الخلايا الفوتوفولطية (PV).

## الاستنتاج

أظهر التشغيل الكامل للمحطة لمدة تزيد عن 12 شهراً أداءً جيداً ومرناً بدون أعطال جديّة أو كبيرة. إضافة لذلك، فإنّ القيم المقيسة المسجلة تُعدّ

- [4] Intel (1989). MCS BASIC-52 User's Manual. Swindon Press LTD., 215 pp.
- [5] Analog Devices (1988). Linear Products Databook. Analog Devices Corporation., 4: 49-60.
- [6] National Semiconductor (1993). Data Acquisition Databook. National Semiconductor Corporation., 4: 83-91.
- [7] IAEA (1985). Nuclear Electronics Laboratory Manual. IAEA publications., 163-166.■



# النمذجة الرياضية لليزر CO<sub>2</sub> النبضي الهجين\*

د. بشار عبد الفتي - مصطفى حمادي

قسم الخدمات العلمية - هيئة الطاقة الذرية - ص.ب. 6091 - دمشق - سورية

## ملخص

تمّ تبني نموذج تيلر-لانداو Teller-Landau لدرجات الحرارة الست، الذي يصف ديناميكية إصدار نمط وحيد لليزر TEA-CO<sub>2</sub>. استخدم هذا النموذج لوصف آلية الحصول على نبضات خرج عالية الاستطاعة نسبياً من ليزر CO<sub>2</sub> الهجين TE-TEA أو CW-TEA المؤلف من قطاعي الضغط العالي والضغط المنخفض. يسمح النموذج الرياضي المقترح بدراسة آلية تحديد الهزاز TEA بنمط طولي وحيد انطلاقاً من العرض الضيق لغصابة الكسب في قطاع الضغط المنخفض، كما يسمح النموذج بدراسة تأثير وسائط الدخول الليزري على وسائط نبضة الخرج الليزري الناعمة. إضافة إلى ذلك، نوّقت الحلول العددية لجملة معادلات المعدل التفاضلية غير الخطية للنموذج المقترح. تصف هذه الحلول شدة الحقل الإشعاعي وانعكاس الإسكان وعمليات انتقال الطاقة. أبدت القيم المحسوبة لقيمة الاستطاعة العظمى وطاقات النبضة الكلية وعرض النبضة.. إلخ توافقاً جيداً مع القيم المقاسة تجريبياً.

الكلمات المفتاحية: نمذجة، ليزر CO<sub>2</sub>، هجين.

## مقدمة

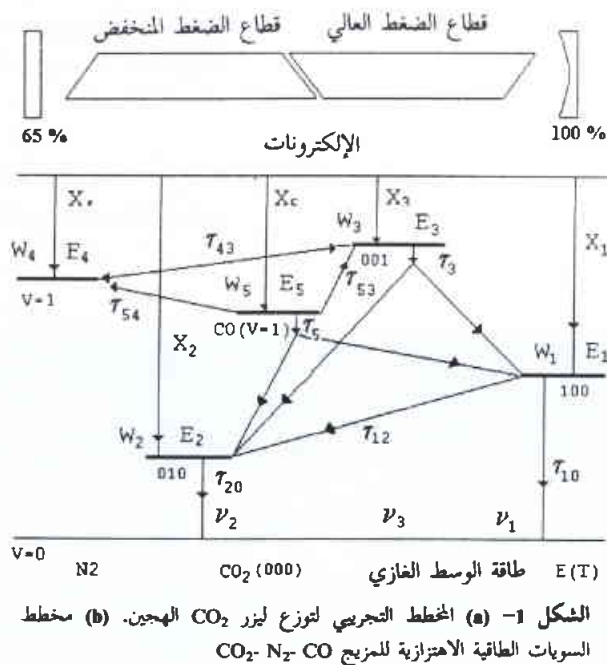
الضوئية غير الخطية في الغازات والبلازما... إلخ.

تستخدم تشكيلة الليزر الهجين، والذي يدخل فيه قطاع الانفراغ TEA وقطاع الضغط المنخفض نسبياً TE أو CW ضمن تجويف ليزري واحد، على نطاق واسع للحصول على نمط طولي وحيد في ليزر TEA-CO<sub>2</sub> (انظر الشكل 1a). وبسبب العرض الضيق لغصابة الكسب في قطاع الضغط المنخفض، يتم اختيار التواتر الوحيد بالقرب من خط المركز عند قذح القطاع TEA. يمكن للقطاع TEA أن يهتز بأنماط طولية متعددة، حيث يتم نشوء كل نمط منها عند معدل الإصدار التلقائي نفسه تقريباً.

لقد دُرست تقنية التشغيل بنمط وحيد لليزر CO<sub>2</sub> الهجين باعتماد نموذج ثلاث سويات طاقة [1,4]. قام مؤلفو هذه الأعمال بتبسيط العمليات الفيزيائية التي تحدث في المزيج الغازي CO<sub>2</sub>, N<sub>2</sub>, He باستخدام البنية ذات السويات الأربع والتي تصف التطور الزمني لكثافة الإسكان في السوية الليزرية العليا والدنيا والحالة المثارة للأزوت. النتائج التجريبية الواردة في [1] هي 140 mJ/cm<sup>3</sup> كقيمة عظمى لطاقة النبضة مع ذروة للاستطاعة تبلغ 300 kW، في حين أظهرت القيم النظرية في [1] 70 mJ/cm<sup>3</sup> كقيمة

يُعدّ عرض غصابة الكسب لليزر TEA-CO<sub>2</sub> كبيراً (~3GHz) بالمقارنة مع تباعد الأنماط الطولية والذي يبلغ 71 MHz تقريباً من أجل طول مجاوب ليزري قدره 210 cm [1-3]. نتيجة لذلك، تُبدي نبضة الخرج لليزر CO<sub>2</sub>، الناتجة عن انفراغ مستعرض (TEA) بضغط عالٍ قدره 1 ج، إمكانية تعديل (أو تكييف) زمني temporal modulation كبيرة جداً ناتجة عن الفرق الصغير في تواترات أنماط التجويف المختلفة، ويعود تعديل هذا النمط إلى عملية التوسيع الضخفي للانتقال الليزري. تظهر عادة عملية التعديل المذكورة في المجال 10-100 MHz، مما يُتيح استخدام الليزر الهجين في عدد من التطبيقات المختلفة. ونتيجة لوجود عدة أنماط (تواترات) محورية في نبضة الخرج فإن عملية كشف نبضات ليزر CO<sub>2</sub> تكون معقدة.

توجد متطلبات عدة عند استخدام الليزر في التطبيقات المختلفة منها: إمكانية اختيار دقيق للتواتر، نبضة خرج ناعمة، عرض غصابة ضيق نسبياً ونبضة خرج عالية الاستطاعة نسبياً. تُستخدم هذه التطبيقات في رادار الأشعة تحت الحمراء، وتحديد المدى، ودراسة علم المواد وفي التأثيرات



\* نشرت ورقة البحث هذه في مجلة Optics & Laser Technology, 2001

للطاقة العظمى و 150 kW لذروة الاستطاعة العظمى. هذه النتائج العددية  $\frac{dE_5}{dt} = N_e(t)(1-f)N_{CO_2}W_5X_5(T) - \frac{E_5 - E_5(T, T_3)}{\tau_{53}(T, T_3)}$  لا تتوافق مع المعطيات التجريبية، ويعود ذلك إلى بساطة النموذج الفيزيائي المستخدم في وصف ديناميكية ليزر CO<sub>2</sub>.

تم في هذا العمل استخدام وتعديل نموذج تيلر-لانداو (نموذج درجات الحرارة الست) الذي يصف العمليات الفيزيائية المختلفة في الميزج الغازي الفعّال CO<sub>2</sub>, N<sub>2</sub>, He في قطاعي الضغط العالي والمنخفض لليزر CO<sub>2</sub> الهجين (انظر مخطط السويات الطاقة المختلفة في الشكل 1b).

### النموذج الرياضي

تصف المعادلات التالية تغير كثافة الطاقة المختزنة كتابع للزمن في النمط التناظري ونمط الانحناء والنمط غير المتناظر لحزمة CO<sub>2</sub> في قطاعي الضغط العالي والمنخفض (i=1,2) على التوالي [7,6,5]:

تصف المعادلة التالية التغير الزمني لكثافة الطاقة المختزنة في الميزج الغازي:

$$\begin{aligned} \frac{dE}{dt} = & \frac{E_1 - E_1(T)}{\tau_{10}(T)} + \frac{E_2 - E_2(T)}{\tau_{20}(T)} \\ & + \left(1 - \frac{W_1}{W_3} - \frac{W_2}{W_3}\right) \frac{E_3 - E_3(T, T_1, T_2)}{\tau_3(T, T_1, T_2)} \\ & + \left(1 - \frac{W_4}{W_5}\right) \frac{E_5 - E_5(T, T_4)}{\tau_{54}(T, T_4)} \\ & - \left(1 - \frac{W_3}{W_5}\right) \frac{E_5 - E_5(T, T_3)}{\tau_{53}(T, T_3)} \\ & + \left(1 - \frac{W_1}{W_5} - \frac{W_2}{W_5}\right) \frac{E_5 - E_5(T, T_1, T_2)}{\tau_5(T, T_1, T_2)} \end{aligned} \quad (5)$$

تُحدّد درجة حرارة الميزج الغازي ( $T_V \approx T_R \approx T_{gas}$ ) في القطاع TEA والليزر الهجين بالمعادلة السابقة أيضاً. المعادلات (1)-(6) هي معادلات تيلر-لانداو (نموذج درجات الحرارة الست).

لنعتبر نمطين اهتزازيين من الحزمة الليزرية شدتهما I<sub>1</sub>, I<sub>2</sub>. يؤخذ النمط الأول بحيث يقع في مركز خط الإصدار، في حين يكون المقطع العرضي للنمط الثاني أقل بمقدار المعاملين K<sub>1</sub>=0.94، K<sub>2</sub>=0.067 في كلا القطاعين [8,4]. لذلك يُعطى التغير الزمني لكثافة الحقل في التجويف الليزري في قطاعي الضغط العالي والمنخفض على التوالي بالمعادلتين التاليتين [7,6]:

$$\begin{aligned} \frac{dU_1}{dt} = & -\frac{U_1}{\tau_c} + c\nu U_1 W \Delta N_h + c\nu U_1 W \Delta N_e \\ & + \nu h P(J_1) N_{001h} S + \nu h N_{001e} P(J) S \end{aligned} \quad (7)$$

$$\begin{aligned} \frac{dU_2}{dt} = & -\frac{U_2}{\tau_c} + c\nu U_2 K_1 W \Delta N_h + c\nu U_2 K_2 W \Delta N_e \\ & + \nu h K_1 P(J_1) N_{001h} S + \nu h K_2 N_{001e} P(J) S \end{aligned} \quad (8)$$

تعطي العلاقة التالية شدة الحزمة الليزرية بشكل مستقل في القطاع TEA والليزر الهجين على التوالي:

$$I_i = U_i c \quad (i = 1, 2)$$

حيث أن 1-f معامل التفكك لجزيئات CO<sub>2</sub>، و ΔN<sub>h</sub>، ΔN<sub>e</sub>، N<sub>001h</sub>، و N<sub>001e</sub> كثافة الإسكان المعكوس في السويتين الليزريتين العليا والدنيا في قطاعي الضغط العالي والمنخفض لليزر الهجين. كافة الثوابت والوسائط الفيزيائية في المعادلات (1)-(8) تُعطى بالتفصيل في [7,6,5].

أخيراً توصف عملية الضخ الكهربائي في القطاع TEA بالتابع التجريبي التالي:

$$N_e(t) = N_0 [1 - \text{EXP}(-t)] \text{EXP}(-2t)$$

$$\begin{aligned} \frac{dE_1}{dt} = & N_e(t) N_{CO_2} W_1 f X_1(T) \\ & + cW \Delta N W_1 (U_1(t) + K_i U_2(t)) / h \\ & + \left(\frac{W_1}{W_3}\right) \frac{E_3 - E_3(T, T_1, T_2)}{\tau_3(T, T_1, T_2)} - \frac{E_1 - E_1(T)}{\tau_{10}(T)} \\ & - \frac{E_1 - E_1(T_2)}{\tau_{12}(T_2)} + \left(\frac{W_1}{W_5}\right) \frac{E_5 - E_5(T, T_1, T_2)}{\tau_5(T, T_1, T_2)} \end{aligned} \quad (1)$$

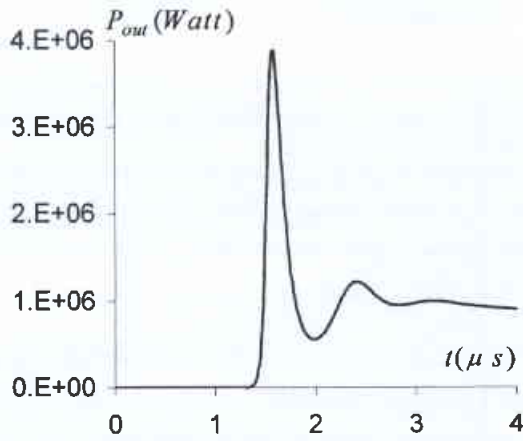
$$\begin{aligned} \frac{dE_2}{dt} = & N_e(t) N_{CO_2} W_2 f X_2(T) \\ & + \left(\frac{W_2}{W_3}\right) \frac{E_3 - E_3(T, T_1, T_2)}{\tau_3(T, T_1, T_2)} - \frac{E_2 - E_2(T)}{\tau_{20}(T)} \\ & + \frac{E_1 - E_1(T_2)}{\tau_{12}(T_2)} + \left(\frac{W_2}{W_5}\right) \frac{E_5 - E_5(T, T_1, T_2)}{\tau_5(T, T_1, T_2)} \end{aligned} \quad (2)$$

$$\begin{aligned} \frac{dE_3}{dt} = & N_e(t) N_{CO_2} W_3 f X_3(T) - cW \Delta N W_3 (U_1(t) \\ & + K_i U_2(t)) / h - \frac{E_3 - E_3(T, T_1, T_2)}{\tau_3(T, T_1, T_2)} \\ & + \frac{E_4 - E_4(T_3)}{\tau_{43}(T)} + \left(\frac{W_3}{W_5}\right) \frac{E_5 - E_5(T, T_3)}{\tau_{53}(T, T_3)} \end{aligned} \quad (3)$$

يُعطى تغير كثافة الطاقة المختزنة في واحدة الحجم لجزيئات الآزوت مع الزمن في قطاعي الضغط العالي والمنخفض بالمعادلة التالية:

$$\begin{aligned} \frac{dE_4}{dt} = & N_e(t) N_{N_2} W_4 X_4(T) \\ & - \frac{E_4 - E_4(T_3)}{\tau_{43}(T)} + \left(\frac{W_4}{W_5}\right) \frac{E_5 - E_5(T, T_4)}{\tau_{54}(T, T_4)} \end{aligned} \quad (4)$$

يُعطى تغير كثافة الطاقة المختزنة في واحدة الحجم لجزيئات CO<sub>2</sub> مع الزمن في قطاعي الضغط العالي والمنخفض بالمعادلة التالية:



الشكل 4 - شكل النبضة الأصلية لليزر TEA عند ضغط كلي 720 Torr ونسبة ضغط 1:2:3.

برنامج بلغة فورتران باستخدام طريقة رونغ - غوتا لحل جملة هذه المعادلات. أجريت عملية التكامل باعتبار الخطأ المعياري  $\epsilon \leq 10^{-4}$ . يسمح البرنامج المكتوب في هذا العمل بدراسة تأثير وسائط الدخول الليزري على خرج نبضة ليزر CO<sub>2</sub> الهجين المختزلة.

اعتمدت في حالة ليزر TE-TEA الأبعاد الهندسية،  $L=170$  cm،  $F=0.118$ ،  $F_1=0.141$ ،  $R_{out}=0.90$  في حين اعتمدت في حالة الليزر CW-TEA الوسائط الهندسية،  $L=210$  cm،  $F=0.286$ ،  $F_1=0.476$ ،  $R_{out}=0.65$  من أجل معامل تفكك  $1-f=0.8$  وعند الشروط البدائية التالية لمعادلات المعدل [6,5]:

$$E_i(t=0) = W_i N_i \frac{1}{\text{EXP}(W_i / kT) - 1} \quad (i=1,2,\dots,5)$$

$$U_m(t=0) = 10^{-9} \quad (\text{erg/cm}^3) \quad (m=1,2)$$

$$T(t=0) = 300 \text{ K}$$

### نتائج الحسابات والمناقشة

#### حالة ليزر CO<sub>2</sub> TE-TEA الهجين

يُظهر الشكل 2 نبضة الليزر الأصلية في حالة القطع ذي الضغط العالي (TEA) من أجل ضغط كلي 760 Torr ونسب ضغط في المزيج الغازي CO<sub>2</sub>:N<sub>2</sub>:He=1:1:8. تُعطى مميزات النبضة المذكورة كما في الجدول 1.

حيث كانت شدة الحقل الكهربائي المطبق إلى التركيز الكلي للجزيئات  $E/N=6.54 \cdot 10^{-16}$  V. cm<sup>2</sup>. هذا يعني أن الفولطية العالية المطبقة يساوي تقريباً 40 kV، حيث أن طول كل قطب يساوي 24 cm وتفصل القطبين مسافة 2.5 cm [9,2].

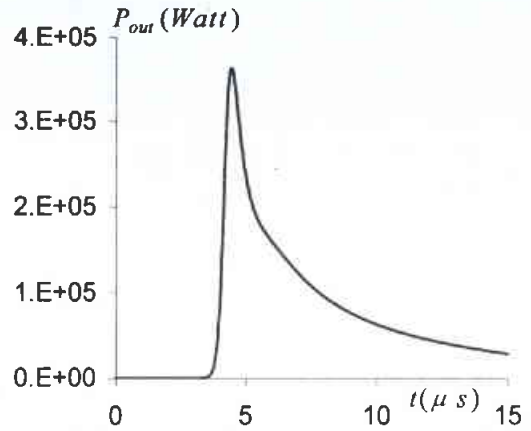
يبين الشكل 3 نبضة ليزر CO<sub>2</sub> الهجين المختزلة والتي تُعطى مميزات في الجدول 1.

يلاحظ من الشكلين 3، 2، والجدول 1 أن الاستطاعة العظمى لقيمة نبضة خرج الليزر الهجين تساوي 10% تقريباً من قيمة الاستطاعة

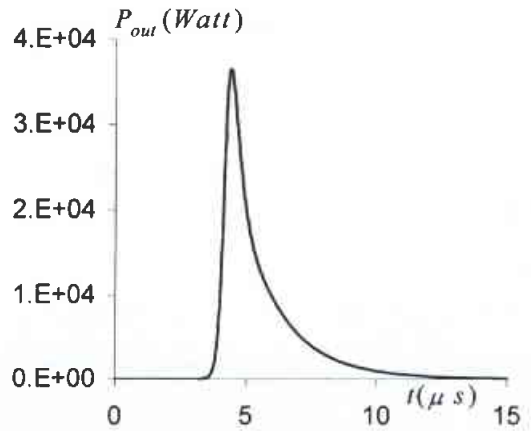
حيث أن  $N_0=7 \times 10^{13}$  (e/cm<sup>3</sup>) في القطاع TEA (في حالة الليزر الهجين TE-TEA) و  $N_0=11.13 \times 10^{13}$  (e/cm<sup>3</sup>) (في حالة الليزر الهجين CW-TEA). عموماً، يمكن تقدير قيمة كثافة الإلكترونات باستخدام شدة تيار الانفراغ، أو التوتر، والسعة، والحجم الفعال للنمط الأساسي TEM<sub>00</sub>. تم حساب النتائج في هذا العمل عند الخط P(20)-10.6 μm في قطاعي الضغط العالي والمنخفض.

### الحلول العددية لمعادلات المعدل

تمثل معادلات المعدل (1)-(8) جملة معادلات تفاضلية عادية غير خطية. تصف هذه المعادلات ديناميكية الإصدار في كلا قطاعي الليزر وشدة الإصدار الليزري في الليزرين TE-TEA و CW-TEA. طُوّر



الشكل 2 - النبضة الأصلية لقطاع الضغط العالي 760 Torr (ونسبة ضغط 1:1:8).



الشكل 3 - نبضة الليزر الهجين TE-TEA عند ضغط عالٍ 760 Torr و ضغط منخفض 17.8 Torr (ونسبة ضغط 1:1:8).

الجدول 1

	$I_v^{\max}$ (erg/cm <sup>2</sup> s)	$P_{out}^{\max}$ (kW)	$E_{out}$ (mJ/cm <sup>3</sup> )	$\tau_{del}$ (μs)	عرض النبضة (ns)
TEA	$9.86 \cdot 10^{13}$	363	100.1	3.49	277
هجين	$0.99 \cdot 10^{13}$	36.5	18.4	3.12	194

الجدول 2

	$I_v^{max} (erg/cm^2s)$	$P_{out}^{max} (kW)$	$E_{out} (mJ/cm^3)$	$\tau_{del} (\mu s)$	عرض النبضة (ns)
TEA	$2.58 \cdot 10^{14}$	3890	2700	1.385	167
هجين	$1.99 \cdot 10^{13}$	301	123	1.385	130
المعطيات التجريبية [1]		300	140	0.9	80

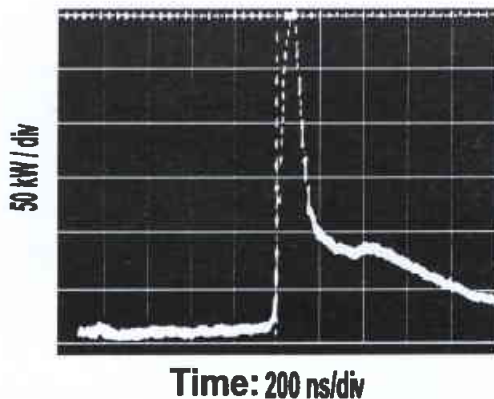
هذه تُعطي مميزات هذه النبضة في الجدول 2، حيث كانت نسبة شدة الحقل الكهربائي المطبق إلى التركيز الكلي لجزيئات المزيغ الغازي  $E/N = 8.12 \times 10^{-16} \text{ V} \cdot \text{cm}^2$ . هذا يعني أن الفولطية العالية المطبقة تساوي تقريباً 64 kV، حيث أن طول كل قطب يساوي 60 cm وتفصل القطبين مسافة 3.4 cm [1].

بيّن الشكلان 5، 6 شكل نبضة خرج الليزر الهجين المحسوبة والمقيسة تجريبياً على التوالي وبالشروط الفيزيائية والهندسية نفسها. يمكن أن نلاحظ من الشكلين 5، 6 والجدول 2 أن القيمة المحسوبة العظمى لاستطاعة قمة النبضة المختزلة والطاقة الكلية في النبضة هي بتوافق جيد مع المعطيات التجريبية عند تشغيل قطاعي الضغط العالي والمنخفض معاً [11,4,1].

يمكن أن نلاحظ أيضاً أن القيمة العظمى لمشددة أو استطاعة النبضة المختزلة لليزر  $\text{CO}_2$  الهجين يمكن أن تبلغ 8-10% من قيمة الشدة العظمى لنبضة ليزر  $\text{CO}_2$  الأصلية. الاختلاف في قيمة عرض نبضة الكسب المعدلة وزمن تأخيرها يمكن أن يعزى إلى نواقص النموذج.

يلاحظ من الشكل 7 أن أفضل قيمة لنسب الضغط في المزيغ الغازي بين القيم المستخدمة من أجل الحصول على استطاعة أفضل عند ضغط كلي يساوي 720 Torr هي النسبة 1:3.

تولد في المجاوب ضياعات كثيرة نتيجة إدخال القطاع CW بداخل التجويف الليزري، لذلك فإن الضياعات بالدورة الواحدة round trip تتغير في مجال واسع، وبالتالي من الممكن تأكيد أن التشغيل يحصل عند مراتب الأنماط العرضية الأدنى وذلك باعتبار أن الضياعات العالية المرتبة تخضع لها أنماط المراتب العليا (تُعدّ هذه الضياعات عملياً ذات فائدة كبيرة) وذلك نتيجة إدخال قطاع الضغط المنخفض بداخل التجويف الليزري [13,12,3,1].



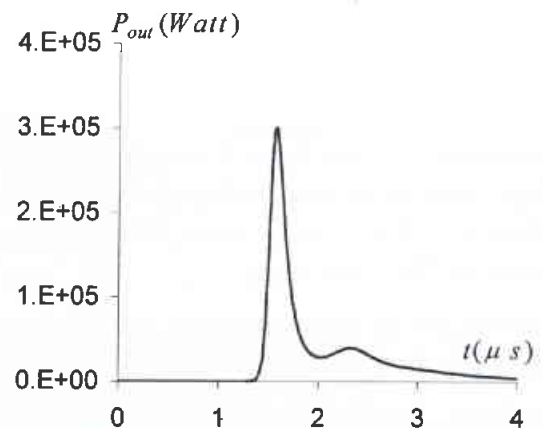
الشكل 6 - نبضة ليزر  $\text{CO}_2$  الهجين CW-TEA التجريبية عند ضغط عال 720 Torr بنسبة ضغط 1:2:3 وضغط منخفض 10 Torr بنسبة 1:3:18 [1].

العظمى لقمة النبضة الأصلية لليزر TEA مع زمن التأخير نفسه. ويكون عرض نبضة الليزر الهجين المختزلة يساوي 77% تقريباً من عرض النبضة الأصلية لليزر TEA النبضي (نبضة خرج الليزر لقطاع الضغط العالي تؤثر كبدرة لبناء شدة الحقل في التجويف الليزري لقطاع الضغط المنخفض). يُستخدم هذا النوع من الليزر في التطبيقات المتغيرة (heterodyne). وتكمن الفكرة الأساسية في عمل هذا الليزر بضبط الضغط في القطاع TE بحيث يكون عرض عُصابة الكسب (FWHM) في درجة حرارة الغرفة) مساوياً لتواتر الفصل بين الأنماط المحورية بعد ضبط طول التجويف. وباختيار الضغط سيكون هنالك بشكل اعتيادي نمط محوري واحد لخط مُعطي هو المفضل بغض النظر عن التغيرات الناتجة عن الحرف الحراري [10].

إذا كانت الأنماط المحورية متناظرة بالنسبة لخط المركز، يمكن أن يحدث الاهتزاز بتواترين، وهذا يحصل فقط عند مجال صغير لطول التجويف الليزري. ويمكن وصف ذلك رياضياً بالمعادلتين 7 و 8. تكمن أهمية استخدام الليزر TE-TEA الهجين من وجهة النظر التجريبية المحضة بالتخلص من جملة التبريد الضرورية في الليزر  $\text{CO}_2$  المستمر، وإمكانية استخدام مجموعة الفولطية العالية نفسها التي تستخدم في قطاع الضغط العالي.

#### حالة ليزر $\text{CO}_2$ CW-TEA الهجين

يظهر الشكل 4 النبضة الأصلية لليزر قطاع الضغط العالي (TEA) من أجل ضغط كلي 720 Torr ونسب للضغط في المزيغ الغازي



الشكل 5 - نبضة الليزر الهجين CW-TEA عند ضغط كلي عال 720 Torr وضغط منخفض 10 Torr بنسبة ضغط 1:3:18.

ثانياً: إذا تم تشغيل ليزر قطاع الضغط المنخفض فوق العتبة ستوجد عند ذلك سوية إضافية من الإشعاع في التجويف قبل تشغيل قطاع الضغط العالي. لقد اعتُبر وجود الإشعاع المذكور في البرنامج الحاسوبي الذي أُعد في هذا العمل لوصف آلية عمل ليزر CO<sub>2</sub> الهجين. عندما يُثار قطاع الضغط المنخفض، يكون الظهور المبكر للنبضة مسؤولاً عن عوز تكرار النمط، لذلك يتطور نمط واحد بداخل عُصابة الكسب الضيقة بشكل أسرع من الأمام الأخرى وبالتالي يستنزف انعكاس الإسكان المعكوس قبل أن تصل الأمام الأخرى إلى السويات المطلوبة.

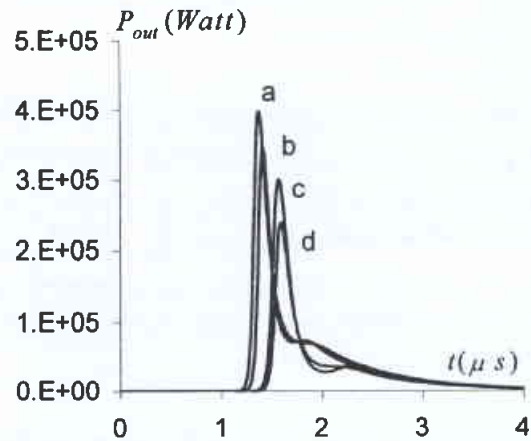
#### الخاتمة

طُوّر في هذا العمل نموذج رياضي يُمكن من التنبؤ بالميزات المختلفة لنبضة ليزر CO<sub>2</sub> الهجين. يعتمد التقريب المقترح على استخدام نموذج تيلر-لانداو لدرجات الحرارة الست، الذي يصف ديناميكية الإصدار في كلا قطاعي الضغط العالي والمنخفض. ويمكن باستخدام مفهوم الليزر الهجين الحصول على انتقاء تواتر جيد دون إدخال ضياعات إضافية في ليزر TEA CO<sub>2</sub>. نذكر أن لليزر الهجين تطبيقات في حقول التقانة والعلوم الأساسية المختلفة. على سبيل المثال دراسة تبعثر طومسون، دراسات علم المواد، قياس طاقة أطراف تفاعل الاندماج، القطع والتشكيل، الكيمياء الضوئية، كمنبع تصادم لقياس درجة الحرارة أو كمنبع ضخ لليزر 385 μm D<sub>2</sub>O المستخدم كمنبع تصادم لإثارة الأمواج الكهرومغناطيسية الساكنة في البلازما [12,1].

نذكر أخيراً أن التركيب الهجين لا يقتصر على ليزر CO<sub>2</sub>. يمكن الحصول على التشغيل بتواتر وحيد في كل الانتقالات باستخدام غازات أخرى ومزيج غازي مختلف، إضافة إلى ذلك يمكن توليف التواتر على كامل عرض عُصابة الكسب الليزري.

#### REFERENCES

- [1] Gondhalekar A., Heckenberg N.R., and Holzhhauer E. The mechanism of single frequency operation of hybrid-CO<sub>2</sub> laser. IEEE Journal of Quantum Electronics, QE-11 (1975), 103-108.
- [2] Dallas N. Barr. Hybrid TE-TEA CO<sub>2</sub> laser. Optical society of America 1981, Vol.20(9), 1500-1502.
- [3] Gondhalekar A., Holzhhauer E. and Heckenberg N.R. Single longitudinal mode operation of high-pressure pulsed CO<sub>2</sub> laser. Physics letters, V46A number 3, November (1973), 229-230.
- [4] Heckenberg N. R. Single longitudinal mode operation of pulsed CO<sub>2</sub> lasers. July 1975. IPP-IV/83.
- [5] Soukeih M., Abdul Ghani B., Hammadi M. Mathematical modeling of CO<sub>2</sub> TEA laser. Optical & laser technology 30 (1998) 451-457.



الشكل 7 - علاقة الاستطاعة المحسوبة لليزر الهجين بالزمن عند نسب الضغوط التالية: a:1:1:3, b:2:1:6, c:1:2:3, d: 1:1:4

لقد تمحورت محاولة اختيار الأمام الطولية على حقيقة أن الضياعات الحاصلة في التجويف الليزري تتغير بشكل سريع بتغير التواتر، ولهذا يكون تطور نمط واحد أسرع من تطور الأمام الأخرى خلال تطور النبضة pulse development.

يكون لقطاع الضغط المنخفض ذي الكسب المنخفض أيضاً في الليزر الهجين تأثيران على نشوء النبضة بواسطة القطاع العالي الضغط (TEA). أولاً: يُعدّ تزايد كسب التجويف في الدورة الواحدة خلال عُصابة تواتر ضيقة مقابلة توسع دوبلر لخط الإصدار، ويكون هذا العرض حسب المعطيات التجريبية مساوياً 60 MHz في حين يكون التباعد عند الأمام الطولية مساوياً 71 MHz تقريباً من أجل طول للمجاوب يبلغ 210 cm، لذلك سيحدث تزايد إضافي في الكسب لنمط طولي وحيد.

#### المراجع

- [6] Soukeih M., Abdul Ghani B., Hammadi M. Mathematical modeling of TE CO<sub>2</sub> laser with SF<sub>6</sub> as a saturable absorber. Optical & laser technology 31(1999), 601-611.
- [7] Smith K. and Thomson R.M. Computer Modeling of gas laser N.Y. Plenum Press 1978.
- [8] Koichi Sasaki. Self mode locking of a hybrid CO<sub>2</sub> laser with two transversely excited atmosphere sections. Jpn. J. Appl. Phys.35 (1996) (5A):2692-3.
- [9] Gilbert. J., Lachambre. L., Rheault F., and Fortin R. Dynamics of the CO<sub>2</sub> atmospheric pressure laser with transverse pulse excitation, Canadian journal of physics 1972, Vol. 50. 2523-2535.
- [10] Tatsuya Shinozaki, Akira Suda, Keigo Nagasaki, and Hideo Tashiro. Wideband tuning of a high-pressure CO<sub>2</sub> laser by means of intracavity active frequency shift Jpn. J Appl. Phys. Vol. 36 (1997) pp 7202-7206.



- [11] Lee N. and Aggarwal R. L. Single longitudinal mode TEA CO<sub>2</sub> laser with tilted intracavity Etalon. Optical society of America 1977, Vol. 16(10), 2620-2621.
- [12] Koichi TEA CO<sub>2</sub> laser for long pulse operation with feedback stabilization. Japanese Journal of Applied Physics, Vol.29, No 8 August 1990 pp.1459-1465.
- [13] Koichi Sasaki, Hiroataka OHNO, Takaharu Fujii and Takashige Tsukishima. Two-frequency operation of a hybrid TEA CO<sub>2</sub> laser and its application to two-frequency pulse injection locking. Japanese Journal of Applied Physics, Vol.29, No. 12 August 1990 pp. L2226-L2228.■



# دراسة مصدر عينات سيراميك أثرية من موقع مار تقلا (عين منين/سورية) بطريقة الفلورة بأشعة X باستخدام نظير مشع\*

د. إلياس حنا بكرجي - جهاد قرجوه

قسم الفيزياء - هيئة الطاقة الذرية - ص. ب. 6091 - دمشق - سورية

د. إبراهيم عثمان

قسم تكنولوجيا الإشعاع - هيئة الطاقة الذرية - ص. ب. 6091 - دمشق - سورية.

## ملخص

طبقت طريقة الفلورة بأشعة X باستخدام نظير مشع لتحليل 35 قطعة من عينات خزفية أثرية من موقع مار تقلا - عين منين في سورية. شُغعت العينات باستخدام المنبع المشع  $^{109}\text{Cd}$ ، وقيست لمدة 1000 ثانية. استخدمت تراكيز العناصر العنقودي وطريقة تحليل المركبات الأساسية. العينات المدروسة كانت قد صنفت سابقاً ولكن ليس بشكل كافٍ ومكتمل عن طريق الشكل والنموذج. بينت الدراسة بأن المادة الأساسية raw material لمعظم العينات 94% يمكن اعتبارها مأخوذة من مصدرين مختلفين.

الكلمات المفتاحية: الفلورة بأشعة X، سيراميك، مار تقلا، تحليل متعدد المتغيرات

## المقدمة

اهتم علماء الآثار، لسنوات عديدة، بدراسة مصدر العينات الفخارية، حيث أنها وسيلة أساسية لاستخلاص معلومات تاريخية. اعتمدت دراسة المواقع الأثرية في سورية بشكل أساسي على تصنيف العينات وفقاً لشكلها الخارجي بغية استخلاص معلومات حول احتمال وجود علاقات بين الشعوب، فالمعروف أن الشعوب التي أنتجت هذه البضائع، لم تكن تعيش معزلة عن بعضها. إن تصنيف العينات وفقاً لخصائصها المتعلقة بالشكل الخارجي ولزخرفتها، هو إحدى التقنيات المتبعة لوضع هذه العينات ضمن مجموعات متميزة.

طبقت طرائق تحليلية حديثة، بغية دراسة مصدر العينات، واعتمدت هذه الطرائق على التركيب العنصري لهذه العينات. ونذكر منها طريقة التحليل بالتنشيط النيوتروني [1-3]، والبلازما المتولدة تحريضياً [4]، والفلورة بأشعة X (XRF) [5-7]. طبقت في هذه الدراسة طريقة الفلورة بأشعة X باستخدام نظير مشع بهدف تحديد التركيب العنصري لعينات موقع مار تقلا في مدينة عين منين الواقعة على بعد 20 كم شمال شرق مدينة دمشق. قسمت العينات الـ 35 التي حللت إلى أربعة أنواع مختلفة وفقاً لشكلها الخارجي والزخرفي؛ وهي تعود للحضارة الرومانية، والبيزنطية والإسلامية، وذلك خلال الحقبة الزمنية الممتدة من القرن الثالث قبل الميلاد حتى القرن الحادي عشر بعد الميلاد.

## التجربة

### تحضير العينات

نُظِّفت العينات بكشط الطبقة السطحية، ثم طُحنت لمدة 10 - 15 دقيقة بمطحنة أعات، وبعد ذلك جُففت عند الدرجة  $150^\circ\text{C}$  لمدة 24 ساعة.

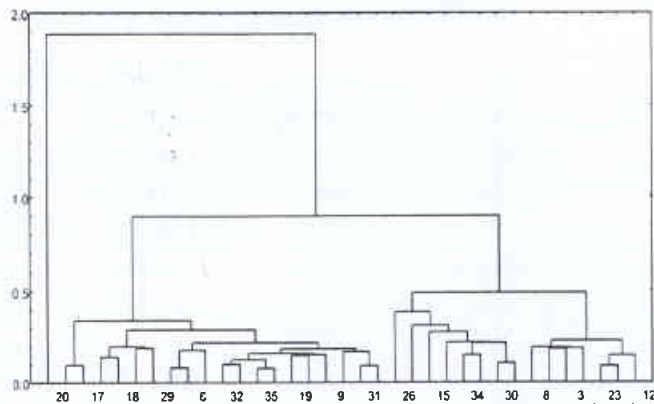
### التجهيزات والقياسات

حُلِّلت عينات البودرة المضغوطة على شكل أقراص، ولا ضرورة هنا لأخذ عينات متساوية الوزن حيث أن القيمة النسبية للقياسات هي المطلوبة فقط باستخدام طريقة الفلورة بأشعة X. شغعت العينات بالمنبع المشع  $^{109}\text{Cd}$  وقيست لمدة 1000 ثانية. حُلِّلت كل عينة ثلاث مرات وأخذ وسطي القيم الناتجة. استخدم لجمع الطيف كاشف Si(Li) بمقدرة فصل 180 eV عند القمة 5.9 keV للمنتج. وكان النظام مربوطاً بحاسب (Pentium 400) متضمن كرت محلل متعدد الأقفية. جرى تحليل الطيف وحساب تراكيز العناصر، باستخدام برنامج منظومة التحليل بأشعة X quantitative X-ray analysis system (QXAS) من الوكالة الدولية للطاقة الذرية (IAEA).

استُخدمت العينات العيارية: Soil-7(IAEA), SL-1(IAEA), GSR-3(China) لحساب الدقة، وأظهرت تكرارية التحليل أن الانحراف المعياري النسبي (RSD) أقل من 5% لأي عنصر محلل.

\* نشرت ورقة البحث هذه في مجلة Nuclear Science and Techniques, May 2001.

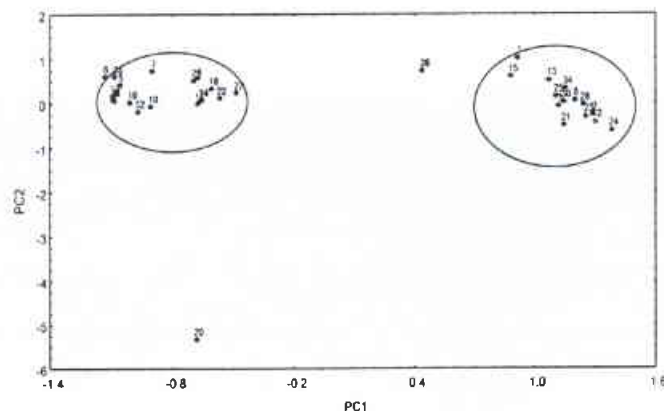
## النتائج والمناقشة



الشكل 1- التوزع العنقودي الناتج من التركيب الكيميائي للعينات المدروسة. محور السينات يمثل العينات، ومحور العنقود يمثل التباعد بين العينات.

يظهر مرتبة ومستوى التجمع وكذلك الفروق بين العينات منفردة. يوضح الشكل 1 الذي يمثل التجمع العنقودي المحصول عليه باستخدام الربط الفردي كقاعدة تجمع وفقاً للمسافة الإقليدية Euclidean distance، أن هناك ثلاث مجموعات. المجموعة الأولى تحوي 7 عينات (12، 2، 23، 24، 3، 21، 8)، وتتضمن المجموعة الثانية 8 عينات (25، 30، 28، 34، 13، 15، 1، 26). أما الثالثة فتتضمن العينات المتبقية باستثناء العينة رقم 20.

لا يمكن الجزم، من الشكل 1، إذا كان يمكن اعتبار المجموعتين الأولى والثانية مجموعة واحدة أو مجموعتين منفصلتين. ويهدف التأكد، أخضعت العينات لطريقة التحليل بالمركبات الأساسية (PCA). حملنا نتائج الربط على المركب الأول والثاني (PC1، PC2)، وهذان المركبان كافيان في حالتنا حيث أنهما يمثلان 91.1% من التغير الكلي (انظر الجدول 2). نلاحظ من الشكل 2 أن عينات المجموعتين الأولى والثانية تجمعت في مجموعة واحدة، باستثناء العينة 26. يتبين أيضاً أن العينة 20 منفصلة بشكل واضح عن بقية العينات. بناء على هذه النتائج يمكن اعتبار هاتين العنيتين خارج مجال العينات المدروسة أو أنهما من مصادر مختلفة.



الشكل 2- توزع العينات الناتج من التحليل بالمركبات الأساسية (PC1، PC2) من معطيات التركيب الكيميائي.

يبين الجدول 1 القيمة الوسطى والصغرى والعظمى، والانحراف المعياري لتراكيز العناصر المقيسة في الـ 35 عينة المحللة. كما هو واضح من الجدول 1 فإن 13 عنصراً موجوداً في أكثر العينات كانت قد حُدِّدت. ويظهر بوضوح من هذا الجدول وجود اختلاف كبير في تراكيز العناصر. بهدف تحديد أدق لمصدر العينات، تم ربط التركيب للعينات بطرائق إحصائية مختلفة [8-10]، واستخدمت في هذه الدراسة طريقة التحليل العنقودي، والتحليل بطريقة المركبات الأساسية كطرائق إحصائية متعددة المتغيرات multivariate statistical methods. وقبل إخضاع المعطيات للطرائق الإحصائية، يجب أخذ بعض المعايير بعين الاعتبار. فمن الضروري إدخال العينات التي تحوي على أقل قيم مفقودة من تراكيز العناصر في جملة المعطيات data set، كما أنه من الضروري مراعاة الدقة التي قيست بها هذه العناصر. وبالاعتماد على هذه المعايير، استبعدت العناصر As، Ga، Mn ولم تدخل في التحليل الإحصائي، حيث أن قيم تراكيزها لم تكن موجودة في أكثر من 50% من العينات المحللة.

أضف إلى ذلك أنه بالرغم من كون قيم الانحراف المعياري النسبي للقيم المقيسة لعنصر الرصاص بحدود 5%، فإن قيم التراكيز لهذا العنصر لم تدخل في مجموعة المعطيات للتحليل الإحصائي، وذلك لأن التغيرات في قيم التراكيز لهذا العنصر كانت كبيرة جداً، ويعود ذلك ربما لهجرة الرصاص من سطح العجينة الفضارية إلى داخلها، ولهذا السبب وجدنا أن إدخال عنصر الرصاص في التحليل العنقودي والتحليل بالمركبات الأساسية يمكن أن يؤدي إلى الخطأ في دراسة العينات.

استخدم برنامج Statistica في عملية التحليل المتعدد المتغيرات، وتم تحويل التركيز العنصري للعينات قبل إخضاعها للتحليل الإحصائي، على أساس اللوغاريتم العشري لخفض تأثير الفروق في التراكيز.

يستخدم التحليل العنقودي، الذي يضع العينات في مجموعات متمايزة، كتنقّص أولي للمعطيات، وتعرض النتائج على شكل مخطط

الجدول 1- الوسطى و القيمة الصغرى و القيمة العظمى، والانحراف المعياري لتراكيز العناصر في عينات السيراميك من الموقع الأثري مار تقلا/ عين منين.

العنصر	الوسطى	قيمة صغرى	قيمة عظمى	انحراف معياري
As	14.20	12.0	29.9	4.09
Ca	10.41	0.65	27.5	7.87
Fe	3.439	0.27	7.10	1.12
Ga	20.87	19.0	28.5	2.64
Mn	315.9	115	715	191
Nb	22.97	4.0	48.6	17.8
Pb	82.11	10.0	656	160
Rb	41.99	3.60	59.5	10.0
Sr	265.7	90.9	455	104
Ti	0.614	0.30	1.20	0.32
Y	25.84	5.0	54.3	15.6
Zn	112.1	28.7	183	33.6
Zr	322.8	54.8	703	247

أخيراً فإن هذه النتائج تؤدي إلى تأكيد استخدام مصدرين غضاريين مختلفين في تصنيع عينات سيراميك مار تقلا. إن التحليل الدوري للغضار المحلي سيؤكد إذا كان هذان المصدران محلين أم لا.

### الخاتمة

إن الربط بين XRF والتحليل الإحصائي هو طريقة مساعدة لعلماء الآثار السوريين الذين لا يزالون يعتمدون في التصنيف على الشكل الخارجي، وهو صعب جداً في حال وجود كسر فخارية. في هذا العمل، وبالاعتماد على التحليل العنقودي والتحليل بالمركبات الأساسية لتركيز 13 عنصراً تم قياسها بشكل كمي بطريقة الفلورة بأشعة X مع استخدام نظير مشع، أمكن تقسيم غالبية العينات من الكسر الفخارية الـ 35 إلى مجموعتين تباينان من حيث قيم تراكيز العناصر المحللة.

### REFERENCES

- [1] Pike H H M, Fulford M G. Archaeometry, 1983, 25: 77
- [2] Kuleff I, Djingova R. J Radioanal Nucl Chem, 1986, 99: 345
- [3] Kilikoglou V, grimanis A P. J Radioanal Nucl Chem, 1990, 141:347
- [4] Kilikoglou V, Bassidakos Y, doonan R C, Stratis J. J Radioanal Nucl Chem, 1997, 216: 87
- [5] Punyyadeen C, Pillay A E, Jacobson L, White G. X-ray spectrometry, 1997, 26: 249

الجدول 2- عامل التحميل لتسعة عناصر، تحليل المركبات الأساسية.

العناصر	العامل-1	العامل-2
Ca	-0.857*	0.331
Fe	0.269	0.900*
Nb	0.963*	0.188
Rb	0.244	0.899*
Sr	-0.820*	0.493
Ti	0.972*	0.119
Y	0.942*	0.305
Zn	-0.401	0.811*
Zr	0.964*	0.187
النسب مبعراً بالعوامل%	60.1	31.0

ملاحظة: الحمولة المعلمة ب \* < 0.700

### المراجع

- [6] Pio S, Prat P, Zucchiatti A, Lucarelle F, Mando P A, Varaldo C. Nucl Inst Meth, 1996, B 117:311
- [7] Yu K N, Miao J M. X-ray spectrometry, 1996, 25: 281
- [8] Vaz J E, LaBrecque J J, Cruxent J M. Fresenius J Anal Chem, 1979, 358: 529
- [9] De Sena E, Landsberger S, pena J T, swisseman S. J Radioanal Nucl Chem, 1995, 196: 223
- [10] Mirti P, Casoli A. Annali di Chimica, 1995, 85: 519. ■



# تشكيل مركب خشب - بلاستيك من أنواع أشجار سورية بالتحريض بأشعة غاما\*

د. الياس حنا بكرجي - نعمان سلمان

قسم الكيمياء - هيئة الطاقة الذرية - ص.ب 6091 - دمشق - سورية.  
هارون القصيري

قسم تكنولوجيا الإشعاع - هيئة الطاقة الذرية - ص.ب 6091 - دمشق - سورية.

## ملخص

حضرت مركبات خشب - بلاستيك (Wood-plastic composites (WPC) من خمسة أنواع من الخشب السوري ذي المواصفات الرديئة نسبياً. واستخدم لهذه الغاية ثلاثة مونوميرات هي الأكريلاميد (AM) بوتيل ميثا أكريلات (BMA) و الستيرين (ST)، واستخدم الميثانول كعامل مضخم (swelling solvent). حرضت عملية البلمرة الإشعاعية عند عدة جرعات إشعاعية 10، 20، و 30 kGy ومعدل جرعة 3.5 kGy/h بواسطة المنبع المشع  $^{60}\text{Co}$ . قيس بعض الخواص الفيزيائية لمركب خشب-بلاستيك المشكل، وبشكل رئيسي الحمولة البوليميرية (Polymer loading) وتحمل الضغط (Compression strength). وجد أن الحمولة البوليميرية تتناقص بشكل تقريبي مع ازدياد كثافة الخشب المستعمل.

الكلمات المفتاحية: مونومير، مركبات، تشعيع، بوليميرات، خشب.

بشكل منتظم بورق زجاج وجففت بفرن عند الدرجة  $70^\circ\text{C}$  تحت خلاء 6.7 kPa. لمدة 24 ساعة، للتخلص من الماء الحر. لم تعالج المونوميرات الثلاثة الأكريلاميد (AM)، بوتيل ميثا أكريلات (BMA) و الستيرين (ST)، وإنما استخدمت كما استلمت من شركة E. Merck. تركت عينات الخشب مغموسة بشكل كامل لمدة 24 ساعة تحت خلاء 6.7 kPa. في محلول المونومير مع الميثانول بتركيز مختلفة للمونومير (10-90%). يعمل الميثانول، المستخدم كعامل مضخم، على تضخيم السلولوز لركيزة الخشب وذلك لتسهيل عملية دخول المونومير [8]. أخرجت العينات المغمورة ومسحت بشكل حذر بقطعة قماش للتخلص من المحلول الزائد ومن ثم وضعت في أكياس من البولي إيثيلين، وشععت بجرعات مختلفة (10، 20، 30 kGy) في خلية غاما ( $^{60}\text{Co}$ ) الموجودة في هيئة الطاقة الذرية السورية، وذلك عند معدل جرعة 3.5 kGy/h. جففت العينات المشععة حتى الوصول إلى وزن ثابت وذلك في فرن عند درجة الحرارة  $80^\circ\text{C}$  وخلاء 6.7 kPa. وذلك للتخلص من المونومير غير المتبلر ومن الميثانول. حددت الحمولة البوليميرية (PL) من زيادة وزن العينات بعد تشعيعها وتجفيفها كما يلي:

$$PL \% = \frac{Wt_{WPC} - Wt_{Wood}}{Wt_{Wood}} \times 100 \quad (1)$$

حيث  $Wt_{WPC}$  و  $Wt_{Wood}$  هما وزن الخشب غير المعالج و وزن مركب خشب-بلاستيك على الترتيب.

قيست قوة تحمل الضغط (CS) للمركب الناتج باستخدام جهاز INSTRON (model 1011, UK). القياسات كانت بالنسبة إلى عينات الخشب غير المعالج أي:

## مدخل

يستعمل الخشب بشكل واسع في البناء وفي الصناعة ولكنه سريع التخزب والتأثر بالعوامل البيئية، وكذلك فإنه حساس جداً عند تعرضه للحشرات والعفن [1]. وتعرض الصناعة المتعلقة بالأخشاب في سورية لكثير من المشاكل بسبب العوز للأخشاب ذات النوعية الجيدة كمادة أولية من أنواع الأشجار المتوفرة.

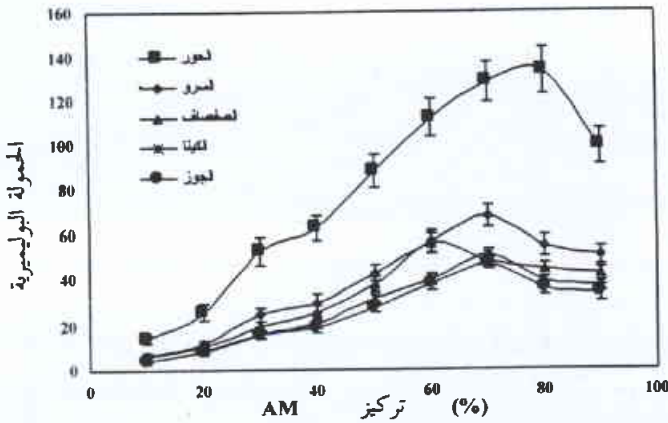
يمكن تحسين مواصفات الخشب الرديء المتوفر بكثرة بواسطة إدخال بوليمير داخل الخشب لتغيير خواصه [2-6]. قدمت التجارب التي أدت إلى إنتاج مركب خشب-بلاستيك حلاً فيما يتعلق بمشاكل حفظ الخشب [7].

يمكن لمركبات خشب-بلاستيك أن تحل محل أنواع الخشب الغالي المستخدمة في البناء. يشرب الخشب بشكل عام بالمونوميرات، تحت الفراغ وذلك قبل التشعيع الذي يحرض على البلمرة للمونومير. تتضمن هذه الورقة نتائج دراستنا حول تحضير مركب خشب-بلاستيك من أنواع خشب متوفرة تجارياً في سورية وذلك بواسطة البلمرة الإشعاعية.

## العمل التجريبي

اختيرت خمسة أنواع من الخشب السوري لهذا العمل وهي الحور (Populus alba)، ( $d=340 \text{ kg/m}^3$ )، السرو، (Cupressus sempervirens)، ( $d=460 \text{ kg/m}^3$ )، الصفصاف (Salix alba)، ( $d=490 \text{ kg/m}^3$ )، الكينا (Eucalyptus rostrata)، ( $d=560 \text{ kg/m}^3$ )، وأخيراً خشب الجوز (Juglans regia)، ( $d=580 \text{ kg/m}^3$ ). صقلت عينات الخشب بأبعاد (0.6 x 1 x 10 cm).

\* نشرت ورقة البحث هذه في مجلة Radiation Physics and Chemistry, 2000.



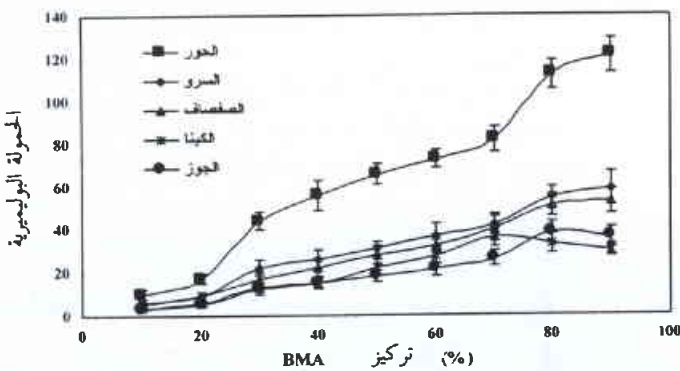
الشكل 2- الحمولة البوليميرية في أنواع الخشب المستخدمة، باستخدام مونومير الأكريلاميد عند الجرعة 30 kGy.

من الأعلى إلى الأخفض، للأكريلاميد مع أنواع الخشب الخمسة المستخدمة هو:

حور < سرو < صفصاف < كينا < جوز

حصلنا على أعلى حمولة بوليميرية مع مونومير BMA وهي (PL = 121%) مع خشب الحور أيضاً عند تركيز 90% ل BMA في الميثانول. يظهر الشكل 3 أن الحمولة البوليميرية في هذا النظام تزداد مع ازدياد تركيز المونومير في الميثانول، وتصل إلى قيمة عظمى عند تركيز 90% ل BMA وذلك من أجل جميع أنواع الخشب المستخدم باستثناء خشب الجوز وخشب الكينا حيث أعلى حمولة بوليميرية كانت عند تركيز 80% و 70% لمونومير BMA على الترتيب.

ترتيب القيم العظمى للحمولة البوليميرية التي حصلنا عليها مع مونومير ال BMA مع أنواع الخشب الخمسة كان مشابهاً لما حصلنا عليه مع ال AM.



الشكل 3- الحمولة البوليميرية في أنواع الخشب المستخدمة، باستخدام مونومير بوتيل ميتا أكريلات عند الجرعة 30 kGy.

يظهر الشكل 4 مردود الحمولة البوليميرية لمونومير الستيرين كتابع تركيزه في الميثانول وذلك في أنواع الخشب المستخدمة، وتظهر المعطيات بأن الستيرين يعطي أقل مردود حمولة بوليميرية من بين المونوميرات الثلاثة المستخدمة. أعلى قيمة للحمولة البوليميرية لمونومير الستيرين كانت مع

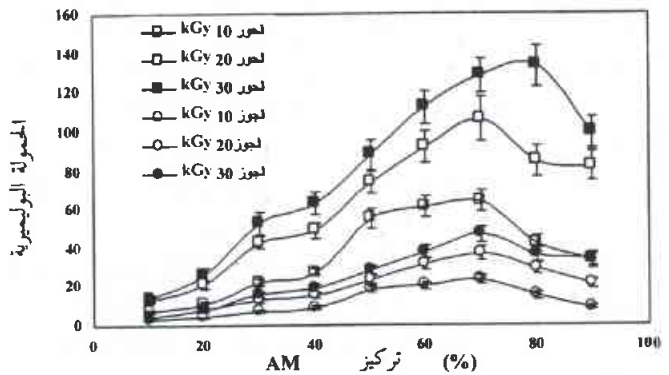
$$C_f = \frac{CS_{WPC}}{CS_{Wood}} \quad (2)$$

حيث  $C_f$  هي عامل قوة تحمل الضغط و  $CS_{WPC}$  قوة تحمل الضغط للمركب خشب-بلاستيك و  $CS_{Wood}$  قوة تحمل الضغط للخشب غير المعالج.

## نتائج ومناقشة

### تأثير جرعة التشميع على الحمولة البوليميرية لـ WPC

لتقصي دور الجرعة الإشعاعية على الحمولة البوليميرية وإيجاد الجرعة الإشعاعية المثلى، اخترنا نوعين من الخشب المستخدم في هذه الدراسة هما خشب الحور وخشب الجوز لأن لهما أصغر كثافة ( $d = 340 \text{ kg/cm}^3$ ) وأعلى كثافة ( $d = 580 \text{ kg/cm}^3$ ) على الترتيب. شُعت عينات الخشب عند الجرعات 10، 20، و 30 kGy باستخدام مونوميري ال AM و ال ST المنحلين بالميتانول بترافيز مختلفة. كما تظهر المعطيات في الشكل 1، فإن الحمولة البوليميرية تزداد مع ازدياد الجرعة الإشعاعية وتصل إلى قيمتها العظمى عند الجرعة 30 kGy في كلا نوعي الخشب والمونوميرات. أعلى قيمة للحمولة البوليميرية، عند هذه الجرعة، كانت 133% و 47% عند التركيز 70% و 80% للأكريلاميد لنوعي الخشب المستخدم. كانت

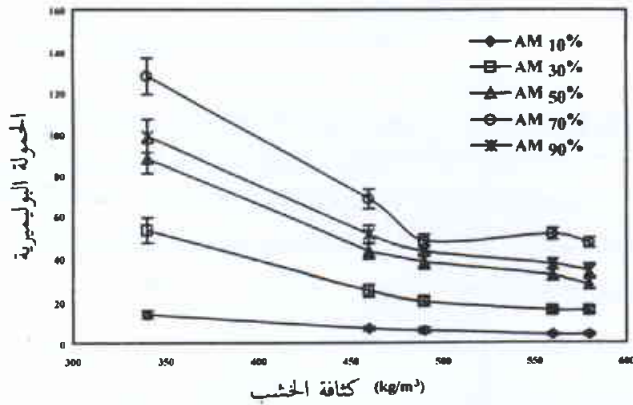


الشكل 1- الحمولة البوليميرية في خشب الحور والجوز كتابع للجرعة الإشعاعية، باستخدام مونومير الأكريلاميد.

النتيجة مشابهة مع مونومير الستيرين حيث ازدادت الحمولة البوليميرية PL مع الجرعة الإشعاعية ووصلت إلى قيمة عظمى 54% عند تركيز 90% للستيرين وذلك مع خشب الحور وعند قيمة عظمى 18% عند تركيز 60% للستيرين وذلك مع خشب الجوز عند الجرعة الإشعاعية 30 kGy. والقيم الموجودة على الشكل هي وسطي قيمتين لعينتين.

### تأثير المونومير على الحمولة البوليميرية

يبين الشكل 2 الحمولة البوليميرية (PL) للأكريلاميد في أنواع الخشب الخمسة. تظهر النتائج أن خشب الحور ( $d = 340 \text{ kg/cm}^3$ ) يعطي أعلى حمولة بوليميرية (PL = 133%) بين أنواع الخشب الخمسة وذلك عند تركيز 80% للأكريلاميد. كما تظهر النتائج أن الحمولة البوليميرية PL تتناقص مع ازدياد كثافة الخشب. إن ترتيب قيم الحمولة البوليميرية،



الشكل 5- الحمولة البوليميرية كتابع لكثافة الخشب لأنواع الخشب المستخدمة بتركيبات مختلفة للأكريلاميد في الميتانول (v/v).

أكثر، بشكل عام، للماء من الأخشاب المصنوعة منها هذه المركبات.

### خلاصة

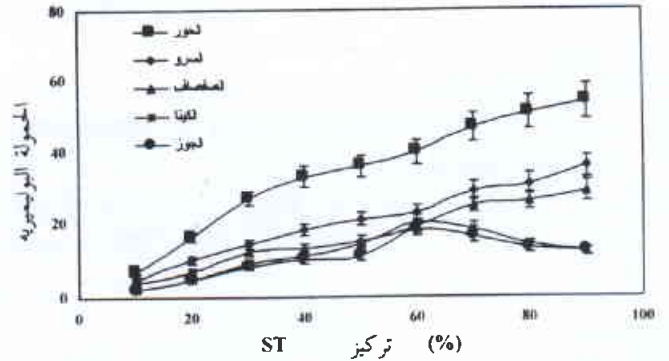
درسنا في هذا العمل إمكانية تحسين مواصفات خمسة أنواع من أخشاب أشجار تنمو محلياً وذلك بعد تشكيل مركبات خشب- بلاستيك. من معطيات الحمولة البوليميرية الناتجة في أنواع الخشب الخمسة المستخدمة تبين أن الحمولة البوليميرية تزداد مع ازدياد الجرعة الإشعاعية للجرعات المستخدمة 10 و 20 و 30 kGy، وأن الحمولة البوليميرية تتناقص مع ازدياد كثافة الخشب. كما بينت هذه الدراسة، أن تحمل الضغط، في أنواع الخشب المستخدمة، تحسنت عند تشكيل مركبات خشب-بلاستيك مقارنة مع الأخشاب غير المعالجة.

الجدول 1- عامل تحمل الضغط ( $C_f$ ) لأنواع مختلفة من الخشب السوري عند الحمولة البوليميرية الأعلى للمونوميرات المختلفة المستعملة.

أنواع الخشب	AM		BMA		ST	
	PL	$C_f$	PL	$C_f$	PL	$C_f$
الحور	133	2.10	121	1.52	54	1.15
السرو	68	1.71	59	1.20	36	1.09
الصفصاف	56	1.38	53	1.15	29	1.07
الكينا	47	1.33	36	1.11	20	1.06
الجوز	51	1.30	38	1.12	18	1.04

### REFERENCES

- [1] Sheikh N. and Afshar Turomi F. (1993) Radiation induced polymerization of vinyl monomers and their application for preparation of wood-plastic composites. Radiat. Phys. Chem. 42, 179.
- [2] Czikovszky T. (1992) Radiation processing of wood-plastic composites. In Radiation Processing of Polymers,



الشكل 4- الحمولة البوليميرية في أنواع الخشب المستخدمة، باستخدام مونومير الستيرين عند الجرعة 30 kGy.

خشب الحور عند تركيز 90% للستيرين في الميتانول. إن القيمة العظمى للحمولة البوليميرية في خشب السرو والصفصاف كانت أيضاً عند تركيز 90% للستيرين، بينما كانت القيمة العظمى للحمولة البوليميرية في خشب الكينا وخشب الجوز عند تركيز 60% للستيرين. وكما في حال مونوميري الأكريلاميد وبوتيل ميتا أكريلات فإن الحمولة البوليميرية تتناقص مع تركيز الخشب. يرسم الشكل 5 معطيات الحمولة البوليميرية مقابل كثافة الخشب عند تراكيز مختلفة للـ AM. تبين أن تسرب أو دخول السائل إلى الخشب يتعلق بالبنية وكذلك التركيب الكيميائي للخشب [9]. ويبدو أيضاً أن هناك استيعاباً أكبر للمونومير كلما نقصت كثافة الخشب. من المهم، أخيراً، التنويه إلى أن الستيرين هو الأرخص من بين المونوميرات الثلاثة المستخدمة.

### تأثير المونومير على تحمل الضغط

تحسين تحمل الضغط للمركب خشب-بلاستيك في أنواع الخشب الخمسة المستخدمة مبين في الجدول 1. إن المونومير في مركب خشب-بلاستيك يؤخر انطباق خلايا الجدار عند التعرض لقوة ضاغطة [1]. تظهر المعطيات بأن مونومير الـ AM زاد من قيمة CS 110% مقارنة مع 52 و 10% من أجل BMA و ST على الترتيب وذلك من أجل خشب الحور. إن مركبات خشب-بلاستيك المحتوية على AM تظهر زيادة في CS (حوالي 35%) في جميع أنواع الخشب، ما عدا خشب الكينا وخشب الجوز، بينما يظهر خشب الحور الحاوي على BMA تحسناً في قيمة CS. زيادة تحمل الضغط مفيدة جداً من أجل بعض حالات البناء، من جهة ثانية فإن مركبات WPC مقاومة

Singh A and Silverman J (eds.), Hanser, Munich, pp 121-148.

- [3] Iya V.K. and Majali A.B. (1978) Development of radiation processed wood- polymer composites based on tropical hardwood. Radiat. Phys. Chem. 12, 107.
- [4] Karpov V.L. and Malinck Y.M. (1961) Radiation makes better wood. Nucleonis.19, 88

- [5] Kent J.A., Winston A., Boyle W.R., Loos W. and Ayres J.E. (1965) Preparation of wood-plastic combinations using gamma radiation to induce polymerization. USAEC Reports, ORO 658.
- [6] Sia J.F. and Mayer J.A. (1966) Comparison of the properties of heat and radiation cured WPC. Forest Products Journal. 16, 47.
- [7] Czikovszky T. (1968) Wood-plastic combination. Atomic Energy Review, VI, No. 3, 99 pp. IAEA, Vienna.
- [8] Dworjany P.A. and Garnett J.L. (1989) The role of multifunctional acrylates in radiation grafting and curing reactions. Radiat. Phys. Chem. 33, 429.
- [9] Lunda A.E. (1966) Preservative penetration variations in Hickory. Forest Products Journal. 16, 28.■





# تطور أبعاد وحجم الخصى، وعلاقتها بالعمر، ووزن الجسم وحجم الآباء في حملان ذكور العواس النامية\*

د. سليمان سلهب

قسم الإنتاج الحيواني - كلية الزراعة - جامعة دمشق

د. معتر زرقاوي، د. محمد راتب المصري

قسم الزراعة - هيئة الطاقة الذرية - ص.ب 6091 - دمشق - سورية

محمد فاضل وردة

إدارة دراسات الثروة الحيوانية - المركز العربي للدراسات المناطق الجافة والأراضي القاحلة - دمشق

رياض قاسم

مركز الكرم لتربية الأغنام وتحسين المراعي - السلمية

## ملخص

استُخدم 96 من حملان ذكور العواس، بعمر 2-3 أشهر، نشأت وريبت تحت نظام شبه مكثف لقياس تطور طول الخصية، وعرضها، ومحيطها وحجمها، وعلاقتها مع تطور نمو الجسم. تمَّ التحري عن تأثيرات حجم الآباء، وعمر ووزن جسم الحملان، وخط الإنتاج (حليب أو لحم)، ونوع الولادة ووزن الجسم عند الولادة و الفطام، على تطور مؤشرات الخصية الأربعة وذلك من مرحلة الفطام عند عمر شهرين إلى 17 شهراً. لم تلاحظ فروق معنوية بين قياسات الخصية اليمنى واليسرى. حدثت أعلى زيادة في مؤشرات الخصية بين عمر 7 إلى 10 أشهر عند وزن جسم حي قدره 34.6 كغ. أثر فقط حجم الآباء، وعمر ووزن الجسم على نمو الخصى ( $P > 0.05$ ). ارتبطت قياسات الخصى ( $P > 0.01$ ) كل واحدة منها بالأخرى ( $r = 0.68-0.97$ ). وقد تزايدت بصورة خطية وكان ارتباطها مع وزن الجسم أعلى من العمر.

الكلمات المفتاحية: قياسات الخصية، وزن الجسم، أغنام العواس.

## المواد والطرائق

## مقدمة

أُجريت هذه الدراسة في مركز مرج الكرم لتربية الأغنام وتحسين المراعي قرب السلمية التي تقع شرق مدينة حماة، سورية. منذ عام 1973، ينفذ كل من المركز العربي للدراسات المناطق الجافة والأراضي القاحلة (أكساد) ووزارة الزراعة والإصلاح الزراعي في سورية برنامج انتخاب لتحسين أغنام العواس. تمَّ تأسيس خطي إنتاج من أغنام العواس المحسنة، الأول للحليب والآخر للحم.

استُخدم ما مجموعه 96 حملاً ذكراً من العواس، بعمر 2-3 أشهر، بمتوسط وزن جسم حي إجمالي قدره 19.6 كغ وبانحراف معياري يبلغ 4.2 كغ. أتى ما مجموعه 64 حملاً (46 حملاً فردية الولادة و 18 حملاً توأمية الولادة) من خط الحليب و 32 حملاً (18 حملاً فردية الولادة و 14 حملاً توأمية الولادة) من خط اللحم.

قُدِّم للحملان 500 غ من الأعلاف المركزة المحتوية على الشعير (65%)، ونخالة القمح (15%)، وكسبة بذرة قطن (18%)، ومعادن وفيتامينات (2%). إضافة لذلك، كان يسمح للحيوانات بالرعي على مرعى جيد النوعية، يحتوي على الأتريلكس والشعير. كما قُدِّم الماء وتبن القمح بشكل حر.

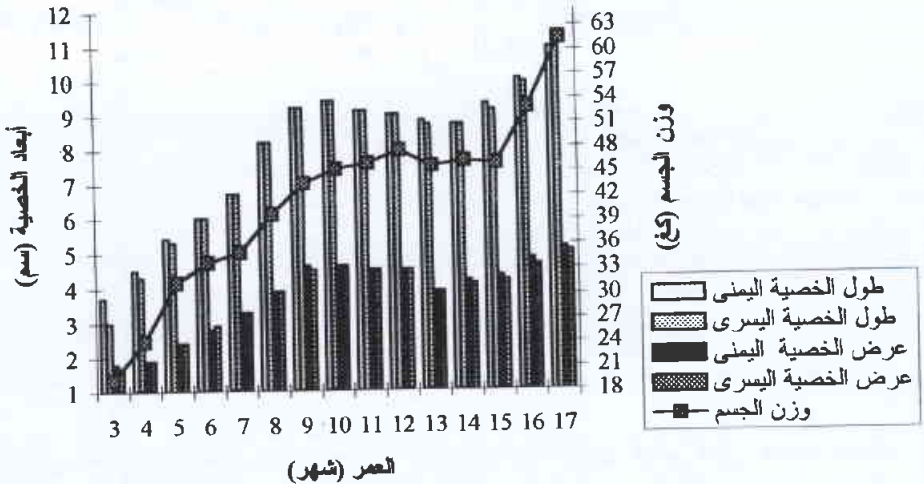
يُعد العواس ذو الإلية ثلاثي الغرض من أهم سلالات الأغنام في الشرق الأوسط. تُربي أغنام العواس بشكل كبير في سورية (13 مليون)، العراق (6 مليون)، الأردن (1.7 مليون)، المملكة العربية السعودية (1.6 مليون)، لبنان (0.25 مليون)، الكويت (0.04 مليون)، [1] وفي تركيا (1 مليون) [2]. إن ميزات المرغوبة، مثل شهرة لحمها وحليبها، وقدرتها الفائقة على التأقلم مع نظم بيئية مختلفة، ومقاومتها العالية للأمراض، وتحملها لدرجات الحرارة الشديدة، وقدرتها على السير لمسافات طويلة طلباً للكأ، وتميزها الكبير بالقطع، وتحملها لظروف التغذية والإدارة المختلفة، شجعت المربين في الدول العربية [3] وغير العربية، مثل قبرص [4]، وأستراليا [5]، لتربية أغنام العواس.

يمكن أن يتم انتخاب الخصوبة للأغنام من خلال انتخاب المعايير المرتبطة في الحملان الذكور الفتية مثل حجم الخصية [6]. يُعد تحليل قياس تطور الخصى ذا أهمية كبيرة بسبب ارتباطه الكبير بالنشاط التناسلي [7]. بما أن المعطيات المتعلقة بتطور الخصى بعد الفطام في العواس السوري محدودة، أُجريت التجربة الحالية لقياس تطور مؤشرات خصية متعددة، والعوامل المؤثرة فيها، وعلاقة مؤشرات الخصية مع نمو الجسم عند الحملان الذكور النامية.

\* نشرت ورقة البحث هذه في مجلة Small Ruminant Research, 40 2001.

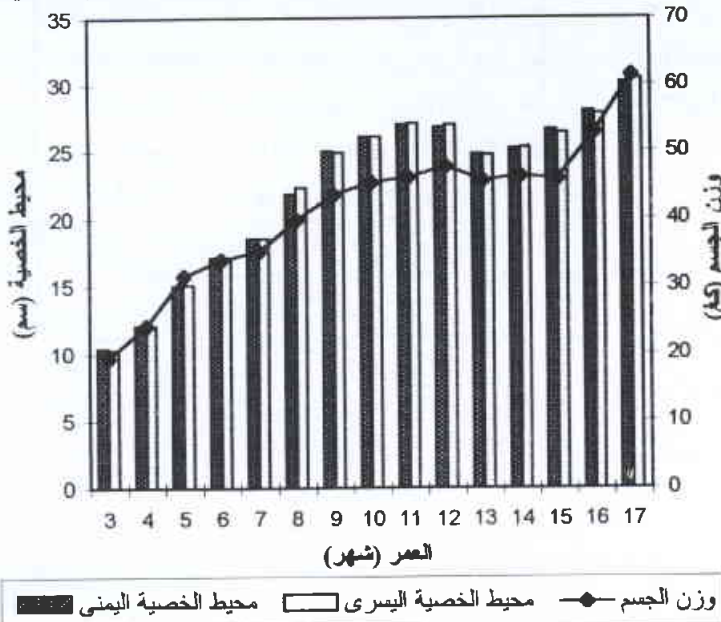
## النتائج والمناقشة

لم تلاحظ فروق معنوية بين متوسطات الخصية اليسرى واليمنى، وبين الولادات الفردية والولادات التوأمية، أو بين خط الحليب وخط اللحم لأي مؤشر من مؤشرات الخصية المدروسة خلال فترة التقصي. تأثرت قياسات الخصية معنوياً ( $P > 0.01$ ) بحجم الآباء، وعمر الحملان، ووزن جسم الحملان عند القياس.



الشكل 1- تطور أبعاد الخصى ووزن الجسم عند حملان ذكور العواس من عمر 3 إلى 17 شهراً.

تعرض الأشكال 1-3 تطور طول الخصية، وعرضها، ومحيطها، وحجمها بالنسبة إلى وزن الجسم. كان هناك تزايد تدريجي وخطي



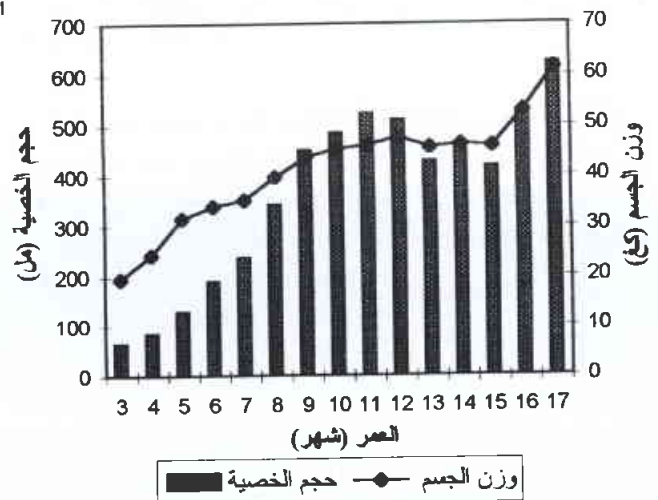
الشكل 2- تطور محيط الخصية ووزن الجسم عند حملان ذكور العواس من عمر 3 إلى 17 شهراً.

في حجم الخصى من عمر 3 إلى 17 شهراً. من ناحية ثانية، وكتيجة لفقدان في وزن الجسم خلال أشهر الشتاء (عندما كان عمر الحيوانات المدروسة. عوضت الزيادة السريعة في وزن الجسم عند عمر 16 و 17 شهراً الانخفاض السابق في الوزن واستجابت مؤشرات الخصية تبعاً لذلك. كانت الزيادة في طول الخصية، وعرضها ومحيطها بين 3 و 17 شهراً من العمر تشابه نسبياً (300%-330%) تطور وزن الجسم (330%). ولكن الزيادة في حجم الخصية كانت أعلى بثلاثة أضعاف (1008%) نمو وزن الجسم أو مؤشرات الخصية الثلاثة الأخرى.

أظهرت نتائج تحليل الارتباط بين قياسات الخصية والعوامل المؤثرة على تطور الخصية أن وزن جسم حملان العواس النامية كان أكثر ارتباطاً مع قياسات الخصية المختلفة من العمر (الجدول 1). وكما هو متوقع، كانت

عندما كان عمر الحيوانات 3 أشهر، قيس طول الخصى، وعرضها، ومحيطها، وحجمها وأوزان الجسم مرة كل أسبوعين لمدة 14 شهراً. أحضرت كل خصية إلى الجزء الظهري من الصنف وقيس محيطها بشريط قماشي مرن. كما استخدمت دالة القياس Caliper لقياس طول وعرض كل خصية بعد دفع كل منهما باتجاه الصنف. قُيم حجم الخصى بحجم الماء المزاج.

أخضعت المتوسطات والانحرافات المعيارية للمؤشرات المدروسة كافة إلى التحليل بالحاسوب وتحليل التباين باستخدام النموذج الخطي العام. تضمن النموذج العوامل التالية كمصادر التباين: حجم الأب (الوزن عند التلقيح)، وحجم الأم (الوزن عند الولادة)، وعمر الحملان، ووزن الحملان عند الميلاد وعند الفطام وعند كل قياس، ونوع الولادة وخط الإنتاج. حُللت الخصى اليمنى والخصى اليسرى بشكل مستقل. قُدّرت معاملات الارتباط والتقدير بين قياسات الخصى وكل من عمر الكيش ووزن الجسم. حُسبت معادلات الانحدار بين العوامل المذكورة أعلاه.



الشكل 3- تطور حجم الخصية ووزن الجسم عند حملان ذكور العواس من عمر 3 إلى 17 شهراً.

انقسام الخلايا الجراثومية ونشاط تكوّن النطاف ووصول الحملان الذكور إلى سن البلوغ في هذه المرحلة [12].

ارتبط عمر ووزن الجسم الحي عند حملان ذكور العواس إيجابياً مع قياسات الخصية الأربعة ( $r=0.51-0.91$ ,  $P > 0.01$ ، الجدول 1). ومن ناحية ثانية، كان لوزن الجسم علاقة ارتباط أكبر مع قياسات الخصية مقارنة مع العمر. كانت أعلى معاملات ارتباط محسوبة تلك التي في محيط الخصية ( $r=0.81-0.91$ ). وبصورة مشابهة، أورد كل من [13] و [14] علاقات ارتباط عالية المعنوية، ولكن بقيم أقل، بين وزن الجسم ومؤشرات الخصية.

ارتبطت مؤشرات الخصية إيجابياً مع بعضها البعض ( $r = 0.61 - 0.97$ ,  $P > 0.01$ ). يمكن أن يؤمن قياس محيط الخصية تقديراً مفيداً للدلالة على نمو الخصية نظراً لأن علاقات الارتباط بينه وبين قياسات الخصية الأخرى كانت الأعلى. توافقت هذه النتائج مع ما وجدته [15] و [13].

تصف معادلات الانحدار المعروضة في الجدول 2 العلاقة بين أبعاد الخصي (سم) أو الحجم (مل) والعمر (شهر) إضافة إلى وزن الجسم الحي (كغ) للحملان الذكور. يثبت هذه المعادلات أن لقياسات الخصي علاقة إيجابية مع وزن الجسم وعمر الحملان الذكور. تتوافق هذه النتائج مع ما وجدته [16] و [8].

### استنتاجات

تقودنا نتائج هذه الدراسة إلى الافتراض أن مرحلة البلوغ الجنسي عند ذكور حملان العواس في القطعان المحسنة، بالاعتماد على الزيادة الحادة في أبعاد الخصية، بدأت بعمر يقارب 7 أشهر وبمتوسط وزن جسم حي قدره 34.6 كغ. ومع ذلك، يتطلب الأمر إجراء دراسات لاحقة حول هرمون التستوسترون ونشاط تكوّن النطاف لتأكيد النتائج الحالية.

الجدول 2- علاقات التقدير ( $R^2$ ) ومعادلات الانحدار لتطور الخصي والمتغيرات المؤثرة في حملان العواس النامية.

المؤشر	معادلات الانحدار	$R^2$
محيط الخصية	$Y = 2.27 + 1.1 \text{العمر} + 0.77 \text{وزن الجسم} \pm 0.03$	0.90*
طول الخصية	$Y = -0.41 + 0.26 \text{العمر} + 0.33 \text{وزن الجسم} \pm 0.2$	0.87*
عرض الخصية	$Y = 0.71 + 0.053 \text{العمر} + 0.16 \text{وزن الجسم} \pm 0.03$	0.45*
حجم الخصية	$Y = -167.0 + 21.8 \text{العمر} + 7.57 \text{وزن الجسم} \pm 0.6$	0.85*

\*  $0.01 > P$

الجدول 1- معاملات الارتباط بين قياسات الخصي والعوامل المؤثرة في حملان العواس النامية.

القياسات	المعاملات بين القياسات				
	2	3	4	5	6
العمر	0.79	0.81	0.78	0.51	0.79
وزن الجسم	-	0.91	0.90	0.61	0.88
محيط الخصية	-	-	0.97	0.68	0.95
طول الخصية	-	-	-	0.67	0.93
عرض الخصية	-	-	-	-	0.68
حجم الخصية	-	-	-	-	-

\* المعاملات كافة معنوية إحصائياً ( $P > 0.01$ )

القياسات المختلفة للخصي مرتبطة إيجابياً ومعنوياً ( $P > 0.01$ ) مع بعضها البعض (الجدول 1).

يعرض الجدول 2 معادلات الانحدار بين قياسات الخصية، العمر والوزن مع تقديرات معامل التحديد. تؤكد كل الصفات المسجلة وجود علاقات خطية بين قياسات الخصية ووزن الجسم عند ثبات العمر.

إن منحى تطور الخصية الملاحظ في هذه الدراسة كان يشابه ذلك الذي وصفه [8] عند حملان العواس في العراق، ومن قبيل [9] عند الحملان الليبية ذات الإلية.

أعلى نمو في كل قياسات الخصية (الأشكال 1-3) بدأ عند عمر 7 أشهر عندما وزنت الحملان بالمتوسط 34.6 كغ واستمرت حتى عمر 9 أشهر عند وزن 42.2 كغ. تشابه هذه النتائج تلك المعلن عنها من قبيل [10] الذين وجدوا أن أعلى معدل لنمو الخصي كان بين عمر 7 إلى 10 أشهر وعند وزن تراوح بين 28-34 كغ، و 33-38 كغ، على التوالي. ولكن في دراسات أخرى، أقر أن أعلى نمو حدث بعمر أبكر، عند 3-7 أشهر في الأغنام الليبية ذات الإلية [9] وبعمر 4 إلى 5 أشهر في حملان العواس اللبنانية [11]. يشير النمو السريع للخصي إلى بدء مرحلة

### REFERENCES

- [1] Tleimat, F. 1996. Encyclopedia of Arab sheep breeds. Department of Studies of Animal Wealth, The Arab Center for the Studies of Arid Zones and Dry Lands. ACSAD/AS/P155, Damascus Syria.
- [2] Pekel, E., Gursoy, O., Ozcan, L. and Torun, O. 1994. Breeding strategies of Turkish Awassi sheep. In: Strategies

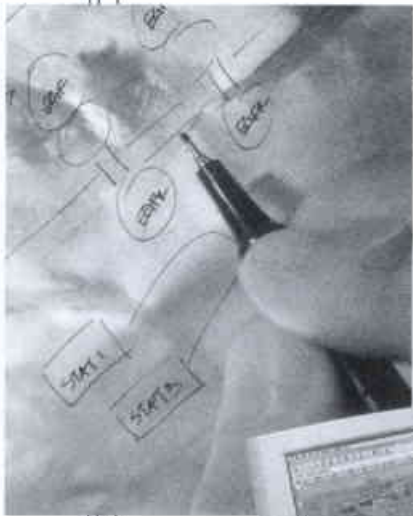
### المراجع

- for the Development of Fat- Tail Sheep in the Near East. EAPP Publication No. 68, pp 32-36.
- [3] ACSAD, 1996. The Technical Annual Report. Department of Studies of Animal Wealth, The Arab Center for the Studies of Arid Zones and Dry Lands. ACSAD/AS/AR 24, Damascus, Syria.
- [4] Constantinou, A. and Mavrogenis, A.P. 1987. Environmental breed and heterosis effects on lamb

- mortality and weights of crossbreed sheep. In: Proceedings of ICAPAZ. Damascus, pp 705-715.
- [5] Lightfoot, J. 1988. The Awassi fat tail sheep. J.Agric. Western Australia 29:107-119.
- [6] Land, R.B. and Carr, W.R. 1975. Testes growth and plasma LH concentration following hemicastration and its relationship with female prolificacy in sheep. J. Reprod. Fert. 41: 495-501.
- [7] El-Wishy, A.B. and El-Sawaf, S.A. 1971. Development of sexual activity in male Damascus goats. Indian Journal of Animal Sciences 41:350-56.
- [8] Ghannam, S.A.M., Medhat, M.N. and El-Tawil, A. 1977. Puberty in Awassi ram lambs. 11. Development of the testes, epididymis and seminal vesicles. Z. Tierzuchtg Zuchtgsbiol 94: 235-241.
- [9] Madani, M.O.K., Rahal, M.S., Zawia, M.T. and Eluwhaishi B.A. 1989. Puberty and early sexual development in Libyan fat- tailed ram lambs. Bri. Vet. J. 145: 276-288.
- [10] Haboby, A.A., Alkass, A.E. and Ishak, M.A. 1994.- Growth pattern of some sexual organs during pubertal period of docked Awassi and Hamadani rams. IPA, J. Agric. Res. 4:76-85.
- [11] Barr, A.M. 1969. The post noted development of the testes and epididymis in the Awassi rams under Lebanese environment. Megon Ser. Sci. : 30: 1-17.
- [12] Salisbury, G.W., Van Demark, N.L. and Lodge, J.R. 1978. Physiology of reproduction and artificial insemination of cattle. W.H. Freeman and Company, San Francisco, U.S.A.
- [13] Foster, R.A., Ladds, P.W., Hoffmann, D. and Briggs, G.O. 1989. The relationship of scrotal circumference to testicular weight in rams. Aust. Vet. J. 66: 20-22.
- [14] Alkass, J.E., Juma, K.H. and Raweh, A.M. 1987. Testis characters and sperm reserve of horned-Vs. Polled- Sired Awassi Yearling rams. Zanco-Vol 5 (supplement) 7-14.
- [15] Celis, G., Rodriguez, R.O.L and Quintal, F.J. 1987. Correlation of scrotal circumference and some body measurements with testis weight in Pelibuey rams. An. Breeding. Abst. 62(5): Abst. 217. P.27.
- [16] Mukosa- Mugerwa, E. and Azaz, Z. 1992. Relationship of testicular growth and size to age, body weight and onset of puberty in Menz ram lambs. Theriogenology, 38: 979-988.



# التقارير العلمية



# تأثير مستويات مختلفة من ملوحة مياه الري على نمو وتشكل العقد الجذرية وكفاءة تثبيت الآزوت الجوي في نبات السيسبان *Sesbania aculeata Pers*، وعلى نمو نبات عباد الشمس *Helianthus annuus L* باستخدام تقانة $^{15}\text{N}$ \*

د. فواز كردعلي، فريد العين

قسم الزراعة - هيئة الطاقة الذرية - ص. ب. 6091 - دمشق - سورية.

## ملخص

دُرِس تأثير مستويات مختلفة من ملوحة مياه الري (1.1 - 33 ديسي سيمنز/م) على تشكل العقد الجذرية وإنتاج المادة الجافة وتثبيت الآزوت الجوي في نبات السيسبان. درس هذا التأثير أيضاً على نمو نبات عباد الشمس الذي استعمل، إضافة إلى ذلك، كنبات مرجعي لقياس كفاءة تثبيت الآزوت الجوي في نبات السيسبان وفق طريقة التخفيف النظيري للآزوت  $^{15}\text{N}$ . أدى ري النوعين النباتيين بمياه مالحة ذات ناقلة كهربائية أكثر من 4 ديسي سيمنز/م إلى انخفاض في النمو، وكان التأثير في نبات السيسبان أكثر منه في نبات عباد الشمس. ازدادت النسبة المئوية للآزوت الجوي المثبت في نباتات السيسبان المروية بمياه ناقليتها الكهربائية 4 ديسي سيمنز/م مقارنة بالشاهد. أما في معاملات الري الأكثر ناقلة (حتى 12 ديسي سيمنز/م) فقد كان التأثير سلبياً. بينت هذه النتائج إمكانية ري السيسبان وعباد الشمس المزروعين في تربة مالحة بمياه مالحة ذات ناقلة كهربائية مقدارها 8 و 12 ديسي سيمنز/م على التوالي، أو يمكن ري النوعين النباتيين بمياه ذات تراكيز متزايدة من الملوحة خلال فترة النمو.

الكلمات المفتاحية: السيسبان، عباد الشمس، ملوحة، تثبيت الآزوت الجوي.

## مقدمة

استخدام مياه متعددة درجة الملوحة في ري هذا النوع النباتي، إضافة إلى أنواع أخرى، عسى أن تؤثر سلباً على أداؤها. لذلك هدف هذا البحث إلى دراسة تأثير مستويات مختلفة من ملوحة مياه الري على تشكل العقد الجذرية وإنتاج المادة الجافة وتثبيت الآزوت الجوي في نبات السيسبان المزروع في تربة مالحة، وذلك في تجربة أصص. كما درس هذا التأثير أيضاً على نمو طراز من نبات عباد الشمس والذي استعمل، إضافة إلى ذلك، كنبات مرجعي لقياس كفاءة تثبيت الآزوت الجوي في نبات السيزبانيا وفق طريقة التخفيف النظيري للآزوت  $^{15}\text{N}$ .

## المواد والطرائق

زرعت بذور نبات السيسبان والطراز الوراثي (G-342) من نبات عباد الشمس. في أصص سعتها عشرون كيلو غراماً، مملوءة بتربة مالحة جمعت من حوض الفرات الأدنى في دير الزور. بلغ عدد الأصص أربعة وعشرون أصيصاً لكل نوع نباتي، وضعت في ظروف مناخية طبيعية، بحيث احتوى كل أصيص نباتين. أضيف إلى كل أصيص ما يقابل 20 كغ N/هكتار من سماد كبريتات الأمونيوم الموسوم  $(^{15}\text{NH}_4)_2\text{SO}_4$  بنسبة إغناء مقدارها 9.7037% فوق الحد الطبيعي. وتم تنظيم عملية ري الأصص جميعاً مع الحفاظ على عدم انخفاض رطوبة التربة عن حدود 60% من السعة الحقلية خلال التجربة.

رويت جميع النباتات، خلال الخمسة عشرة يوماً الأولى، بمياه عادية غير مالحة. ثم رويت، بعد ذلك، بتراكيز مختلفة من مياه مالحة، بعد أن تم

تنشتر الأراضي الملحية في سورية، رئيسياً، في حوض الفرات، وتتراكم الأملاح في تلك المواضع نتيجة لشدة بخر الماء لسوء الصرف، ويسبب ذلك خروج مساحات كبيرة من الأراضي الزراعية من الاستثمار.

إن كل نبات هو نتاج الظروف التي ينمو فيها، ويُعتبر مقياساً للوسط الذي يعيش فيه. فبعض الأنواع النباتية تستطيع أن تتحمل درجة من الملوحة أعلى مما تتحملها أنواع أخرى. وتمتلك النباتات تبايناً وراثياً واسعاً، حيث يبدي أكثر من 100 نوع منها بعضاً من المقاومة الطبيعية للملوحة. لذلك فإن من أجدى الطرق وأنجعها - حالياً - أن تستثمر الأراضي الملحية المستعبدة من الزراعة بوضعها الراهن، وذلك بزراعتها بنباتات متحملة للملوحة ذات فوائد اقتصادية وبيئية واجتماعية هامة، وريها بالمياه الجوفية المالحة، وتدعى هذه الطريقة "الزراعة الحيوية - المالحة" (Bio-Saline Agriculture).

تتصف بعض النباتات البقولية - منها السيسبان - بقدرتها على النمو في تربة ملحية، فقد استعمل هذا النوع في إعادة الغطاء النباتي إلى مساحات كبيرة من الأراضي المتأثرة بالملوحة. إضافة إلى ذلك، تستطيع نباتات أخرى النمو في ييحات مالحة وتستخدم في استثمار هذه الأراضي لأهداف اقتصادية وغذائية (عباد الشمس، اللفت الزيتي...).

بالرغم من النجاح الأولي لزراعة نبات السيسبان في الأراضي المتأثرة بالملوحة في حوض الفرات الأدنى في سوريا، هنالك حاجة لدراسة تأثير

\* تقرير مختصر عن تجربة استطلاعية حقلية أجرت في قسم الزراعة - هيئة الطاقة الذرية السورية.

في النوعين المدروسين منسجمة مع إنتاج المادة الجافة. تأثير مياه الري المالحه على العقد الجذرية وكفاءة تثبيت الآزوت الجوي في نبات السيسبان المزروع في تربة مالحة:

استطاعت سلالات الريزوبيا المستوطنة في التربة تشكيل عقد على جذور نبات السيسبان في معاملات الملوحة كافة، ما عدا النباتات التي رويت بمياه جوفية مالحة ذات ناقلية كهربائية 33 ديسي سيمنز/ م (EC5)، حيث لوحظ تثبيط كامل لتشكيل العقد الجذرية.

كان تأثير الملوحة في مياه الري على كميات الآزوت المثبت أكثر حدة منه على النسب المثوية للآزوت المثبت في نبات السيسبان، فقد بلغت النسب المثوية للآزوت المثبت 42 و 61 و 44 و 38 و 1 و 51% في المعاملات EC1 و EC2 و EC3 و EC4 و EC5 و EC6 على التوالي، في حين كانت الكميات المثبتة 303 و 511 و 247 و 131 و 1 و 274 مع N/ أصيص، بالترتيب السابق ذاته.

أدى ري نباتات السيسبان بمياه منخفضة الملوحة (4 ديسي سيمنز/م)، على نحو غير متوقع، إلى زيادة كفاءة تثبيت الآزوت الجوي (Ndfa%) بمعدل 45%، وإلى زيادة في كمية الآزوت المثبت بمعدل 68%، مقارنة بالشاهد. وقد تراقف ذلك مع وجود أثر إيجابي ولكنه غير معنوي في إنتاج المادة الجافة والآزوت الكلي، مقارنة بالشاهد.

لم يسبب ري نبات السيسبان بمياه مالحة ذات ناقلية كهربائية مقدرها 8 ديسي سيمنز/ م انخفاضاً معنوياً في نسبة وكمية الآزوت المثبت، مقارنة بالشاهد المروي بمياه عادية. أما زيادة مستوى الملوحة في مياه الري إلى 12 ديسي سيمنز/ م، فإن الانخفاض في نسبة وكمية الآزوت المثبت كان معنوياً، في حين سبب الري بمياه جوفية عالية الملوحة (33 ديسي سيمنز/ م) تثبيطاً كاملاً في تشكل العقد الجذرية وفي كفاءة تثبيت الآزوت الجوي. أما عند ري النباتات بتراكيز متزايدة من الملوحة، بدءاً من مياه معتدلة الملوحة وانتهاءً بمياه عالية الملوحة (من 1.1 وحتى 33 ديسي سيمنز/ م، المعاملة EC6) فإن الكفاءة التثبيتية للآزوت الجوي لم تنخفض معنوياً بالمقارنة مع الشاهد.

لهذه الدراسة أهمية تطبيقية في إدارة الأراضي والمياه المالحة من حيث استخدام المياه المالحة في ري النباتات. فقد بينت النتائج إمكانية ري نباتات السيسبان وعباد الشمس، المزروعة في تربة مالحة، بمياه مالحة ذات ناقلية كهربائية مقدرها 8 ديسي سيمنز/ م بالنسبة للنوع الأول، و 12 ديسي سيمنز/ م بالنسبة للنوع الثاني، أو يمكن ري النوعين النباتيين بمياه ذات تراكيز متزايدة من الملوحة خلال فترة النمو. وبالتالي استثمار الأراضي الملحية والمياه الجوفية المالحة ذات قيمة اقتصادية.

من المفيد إجراء دراسات حقلية طويلة المدى تتعلق بدراسة تأثير الري بمياه مالحة على خواص التربة بهدف وضع استراتيجية مناسبة لاستخدام المياه المالحة في الري بهدف ديمومة استثمار الأراضي الملحية والمياه الجوفية المالحة في الإنتاج الزراعي.

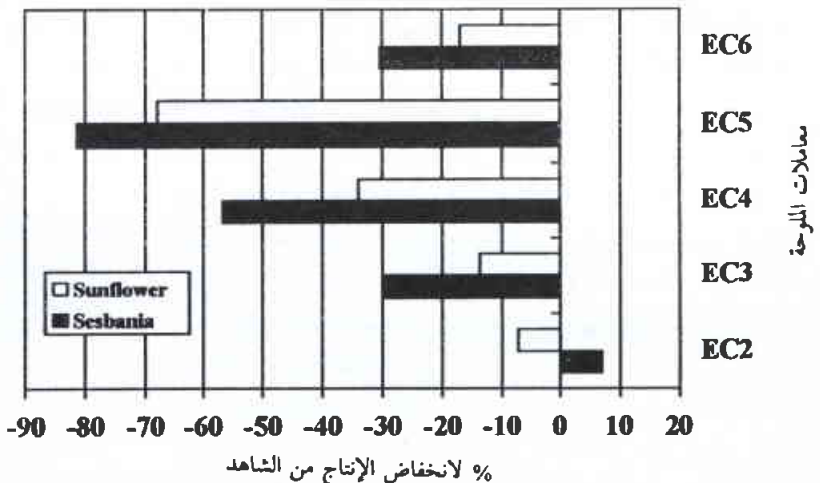
تحضيرها بمزج مياه جوفية مالحة جلبت من منطقة حوض الفرات الأدنى (ناقليتها الكهربائية 33 ديسي سيمنز/ م) مع مياه مالحة (ناقليتها الكهربائية 1.1 ديسي سيمنز/ م). تم الحصول، بنتيجة المزج هذا، على مستويات مختلفة من ملوحة مياه الري والتي بلغت ناقليتها الكهربائية 4.03، و 8.03، و 12.3 ديسي سيمنز/ م. وبالنتيجة، استعملت ست معاملات اختلفت، عن بعضها البعض، بمستوى الملوحة في مياه الري، وهي: 1.1 و 4.03 و 8.03 و 12.3 و 33 ديسي سيمنز/ م، أما في المعاملة السادسة، فقد رويت النباتات بتراكيز متزايدة من ملوحة مياه الري (بدءاً من 1.1 وحتى 33 ديسي سيمنز/ م) بفواصل زمني مقداره خمسة عشر يوماً بين التركيز والآخر. وتم ترميز المعاملات الست السابقة بالرموز التالية: EC1 و EC2 و EC3 و EC4 و EC5 و EC6 على التوالي.

حصدت النباتات بعد 90 يوماً من الإنبات، وجرى تقدير الوزن الجاف للأجزاء الهوائية وللجذور في نباتي السيسبان وعباد الشمس. وتم تقدير عدد العقد الجذرية المتشكلة على الجذور الجانبية والرئيسية لنبات السيسبان. كما تم تقدير الآزوت الكلي في النباتات والنسب المثوية وكميات الآزوت المثبتة والممتصة من التربة ومن السماد.

## النتائج والمناقشة

تأثير مياه الري المالحه على إنتاج المادة الجافة والآزوت الكلي في نباتي السيسبان وعباد الشمس النامي في تربة مالحة:

تبين من هذه الدراسة عدم وجود تأثير معنوي لمياه الري المنخفضة الملوحة (EC2) على إنتاج المادة الجافة للنوعين المدروسين مقارنة بالشاهد (EC1). في حين سبب ري النباتات بمستويات ملوحة أعلى (EC3 و EC4 و EC5) انخفاضاً معنوياً في إنتاج المادة الجافة، وكان التأثير أكثر حدة في نبات السيسبان منه في نبات عباد الشمس. أما في المعاملة (EC6) فقد كانت نسبة انخفاض إنتاج المادة الجافة تماثل القيمة المتحصل عليها جراء ري النباتات بمياه مالحة ذات ناقلية كهربائية مقدرها 8 ديسي سيمنز/ م (الشكل 1). من ناحية أخرى، كانت كميات الآزوت الكلي



الشكل 1- تأثير مستويات مختلفة من ملوحة مياه الري في النسب المثوية لانخفاض إنتاج المادة الجافة من إنتاج الشاهد EC1 (1.1 ديسي سيمنز/ م) في نباتي السيسبان وعباد الشمس. (EC2 4.03، EC3 8.03، EC4 12.3، EC5 33، و EC6 من 1.1 وحتى 33 ديسي سيمنز/ م).

# توزع النظير $^{137}\text{Cs}$ في العينات الإسمنتية بعد التصلب وأثر الغسل

د. صلاح الدين تكرتي، أحمد فارس علي

قسم تكنولوجيا الإشعاع وقسم الرقابة - هيئة الطاقة الذرية - ص. ب. 6091 - دمشق - سورية

## ملخص

تمت دراسة توزع النظير  $^{137}\text{Cs}$  في العينات الإسمنتية المصنعة بشكل أسطواني ومكعب، بصورة تماثل الواقع الحقيقي لحفظ النفايات المشعة المثبتة بالإسمنت بعد معالجتها في محطات المعالجة. سجل تعداد النشاط الإشعاعي ( $^{137}\text{Cs}$ ) للطبقات المنزوعة من العينة لمعرفة التوزيع قبل وبعد الغسل. أظهرت النتائج أن توزع النظير المشع المدروس غير متجانس ضمن عدة طبقات اعتباراً من السطح، غير أن التجانس يأخذ مكانة في أغلب الطبقات داخل العينة المدروسة وصولاً إلى السطح السفلي للعينة الذي أظهر تغيراً طفيفاً في توزع النظير المشع. أما بالنسبة للعينات المغسولة فقد أظهر توزع النظير المشع سلوكاً مغايراً لما لوحظ في العينات المدروسة قبل الغسل.

الكلمات المفتاحية: البيئة، النفايات المشعة، التوزيع النظيري، الغسل، الانتشار.

## مقدمة

مكعب طول ضلعه 4 cm، باستخدام قوالب بلاستيكية صنعت خصيصاً لهذا البحث، بحيث يكون الوجه العلوي للقالب البلاستيكي مفتوحاً على الهواء للمساعدة في خروج الماء أثناء التجفيف. مزجت كمية من الإسمنت البورتلاندي الجاف مع كمية من الماء الحاوي على النظير المشع  $^{137}\text{Cs}$ ، بحيث تكون نسبة الماء إلى الإسمنت 3/1. وبعد صب العجينة الإسمنتية في القوالب البلاستيكية، تركت العجينة في القالب لمدة ثلاثة أيام للتماسك وبعدها تم نزع القالب وتركت العينات لتجف في الهواء العادي لمدة أسبوعين. كان تركيز السيزيوم في العينات الأسطوانية 1000 Bq أما بالنسبة للعينات المكعبة فإن تركيز السيزيوم فيها 9663 Bq. وضعت العينات الخاضعة لعملية الغسل في حوضين يحتويان على مياه بئر دير الحجر في المركز الثاني للهيفة بحجم مقداره 2 لتر لكل حوض. يحتوي الحوض الأول على العينة المكعبة والثاني على العينة الأسطوانية.

تم قياس توزع النشاط الإشعاعي للعينات المدروسة قبل وبعد الغسل بقشط 1 mm من العينة يدوياً وبدءاً من السطح العلوي المكشوف للهواء. استمرت عملية القشط شاقولياً نحو الأسفل حتى الوصول إلى السطح السفلي، الذي يمثل عمق العينة (40 mm) للمكعب و (55 mm) للأسطوانة. وقد استخدمت مطيافية غاما لقياس النشاط الإشعاعي للعينات. تحتوي المطيافية على بلورة Ge(HP) عالية النقاوة وكفاءة قياس، efficiency، مقداره 20% ومربوطة مع محلل الأتية وعداد زمني. وقد تم ضبط نافذة القياس على قمة طيف غاما للنظير  $^{137}\text{Cs}$  مقداره 662 keV.

يتزايد الاهتمام حالياً بمتطلبات حماية البيئة من الملوثات بصفة عامة وبكل ما يتعلق بموضوع النفايات المشعة بصفة خاصة في أعقاب حادثة تشيرنوبل عام 1986، وما صاحبها من انتشار للعديد من النظائر المشعة عبر الحدود الإقليمية بين الدول المجاورة وما سبب ذلك من أضرار وقلق المختصين والحكومات والجمهور على السواء.

تأخذ دراسة النفايات المشعة أهمية خاصة أثناء إنشاء المحطات النووية وذلك بإعداد مخططات مسبقة للتخلص من النفايات. واعتمدت عدة طرائق لمعالجة النفايات المشعة منها: استخلاص عدد من النظائر المشعة التي يمكن استخدامها من جديد أو مزج النفايات السائلة مع الإسمنت ووضعها في حاويات خاصة. تأخذ جميع الافتراضات السابقة لانتشار المواد المشعة حالة التوزيع المتجانس للنظائر المشعة ضمن مواد تثبيتها، ولم تدرس حالات عدم التجانس وكذلك دور العيوب المتشكلة في مواد التثبيت (الإسمنت). وهكذا فهدف البحث هو محاولة إيضاح توزع النظير المشع  $^{137}\text{Cs}$  ضمن العينة الإسمنتية ووضع تصور فيزيائي ورياضي لإمكانية تفسير توزع هذا النظير أثناء تصلب العينة الإسمنتية وماذا يطرأ على التوزيع بعد الغسل بالماء لفترة زمنية طويلة.

## المراحل العملية

صُنعت العينات الإسمنتية على شكلين هندسيين مختلفين: الشكل الأول أسطواني بطول 5.5 cm وقطر القاعدة 4 cm. والشكل الثاني



## تحليل النتائج والمناقشة

يمكن تفسير هذه التغيرات في النشاط الإشعاعي (سطح - وسط - أسفل) بفكرة ارتحال جزيئات الماء في الإسمنت من الأسفل والوسط نحو السطح أثناء التصلب. إذ أن هجرة جزيئات الماء هذه تتوافق مع سحب بعض ذرات النظير المشع مؤدية إلى زيادة في تركيز العنصر المشع عند السطح أو المحلول. أما التغيرات الملاحظة في الطبقات السفلية فيمكن تفسيرها من خلال ظاهرة الثقالة التي يمكن أن تلعب دور الساحب للنظير المشع، خاصة وأنه من العناصر الثقيلة، ولكن بحدود قليلة جداً. وعندما تمت مقارنة النشاط الإشعاعي للسطوح المغلفة بدلالة العمق، فقد وجد أن قيمة التوزع تبقى قريبة من قيمة التجانس. تم تمثيل توزيع النظير قبل الغسل بالعلاقة الرياضية التالية:

$$F(x) = \frac{\alpha}{\beta(x_{ii} - x)^2 + 1} + \gamma \quad (1)$$

حيث يمثل  $F(x)$  تابع توزيع النظير المشع بدلالة العمق  $x$ ، ويمثل  $x_{ii}$  العمق عندما تكون قيمة التوزع متجانسة. أما  $\alpha$  و  $\beta$  و  $\gamma$  فهي عوامل عشوائية حيث  $\alpha$  و  $\gamma$  دون أبعاد و  $\beta$  تعطى بـ  $\text{mm}^{-2}$ .

الجدول التالي يبين العوامل العشوائية التي استخرجت من تطبيق العلاقة السابقة على القيم التجريبية.

العينة	$\alpha$	$\beta(\text{mm}^{-2})$	$\gamma$	دقة التحليل الرياضي
الأسطوانية	42	128	0.95	85.4%
المكعبة	27	94	0.84	79.5%

تم الاعتماد على تشكيل عدد المواقع الفراغية التي تساعد على الهجرة في تفسير تغيرات توزيع النظير المشع بعد الغسل (القيم التجريبية في الشكلين 3، 4). فإذا كان عدد المواقع في الشبكة الناتجة بعد الغسل  $N$  وأن هناك  $n$  ذرة من  $^{137}\text{Cs}$ . تستطيع الوصول إلى  $N$ ، فإن النسبة  $n/N$  تمثل عدد ذرات  $^{137}\text{Cs}$  المحتمل وجودها في الموقع المدروس (الطبقة)، وتعطى علاقة الاحتمالية كما يلي:

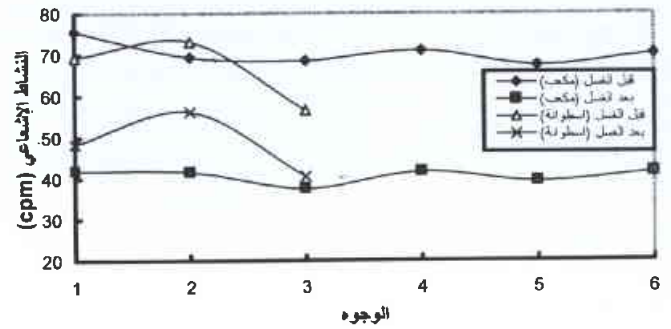
$$P_m = C_n^m \left(\frac{1}{N}\right)^m \left(1 - \frac{1}{N}\right)^{n-m} \quad (2)$$

وباعتبار أن  $m$  تمثل عدد ذرات  $^{137}\text{Cs}$  التي لها نفس الموقع في الطبقة  $i$ ، فإن الحد الأول من الطرف الثاني للمعادلة السابقة يعطى بالعلاقة التالية:

$$C_n^m = \frac{n!}{\{m! (n-m)!\}} \quad (3)$$

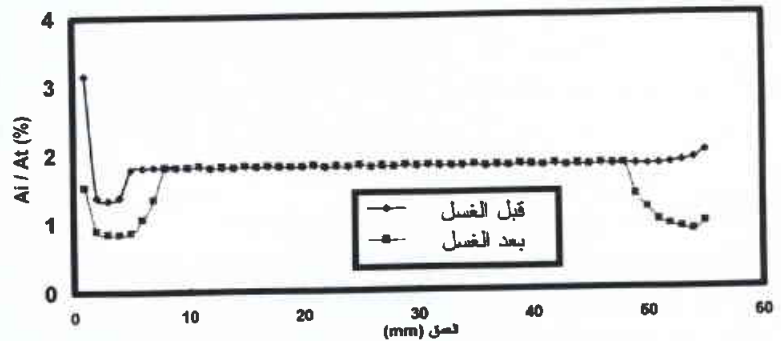
وبما أن قياس النشاط الإشعاعي للطبقة المنزوعة يعني وجود  $^{137}\text{Cs}$  في الطبقة المذكورة، أي زيادة تركيز  $^{137}\text{Cs}$  المهاجرة من الأعماق نحو الطبقة المنزوعة. وبالتالي فإن النشاط الإشعاعي للطبقة يعطى بالعلاقة التالية:

تم قياس النشاط الإشعاعي مقدراً بـ (cps) لكافة سطوح العينات المخضرة (المكعبة والأسطوانية) قبل وبعد الغسل كما هو موضح في الشكل 1. فوجد أن سطوح المكعب كافة متماثلة في النشاط الإشعاعي، قبل الغسل، ما عدا السطح العلوي الملاصق للهواء أثناء التجفيف وكذلك الحال بالنسبة إلى الأسطوانة. أما العينات المغسولة فقد أظهرت النتائج انخفاضاً ملحوظاً في النشاط الإشعاعي (cps)، الأمر الذي دعا إلى قياس النشاط الإشعاعي لمياه الغسيل. بينما كان النشاط الإشعاعي لسطوح العينات المغسولة منسجماً مع ما لوحظ لحالة ما قبل الغسل.

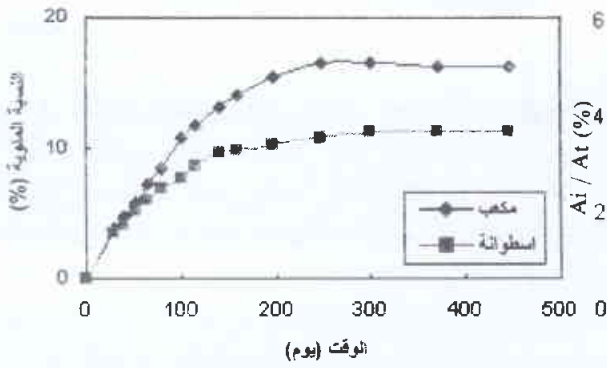


الشكل 1 - تغيرات النشاط الإشعاعي لسطوح العينات الإسمنتية المدروسة.

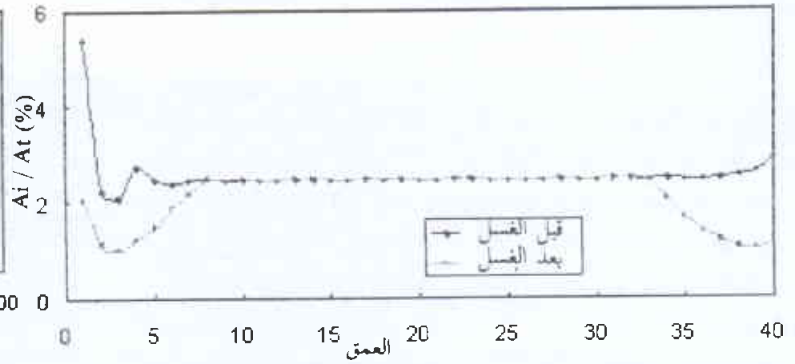
سجلت تغيرات توزيع النظير  $^{137}\text{Cs}$  قبل وبعد الغسل، العينة الأسطوانية في الشكل 2 والعينة المكعبة في الشكل 3، كنسبة مئوية للنشاط الإشعاعي في الطبقة المقشوفة لسماكة 1 mm من العينة على النشاط الإشعاعي الكلي للعينة،  $(A_i/A_t, \%)$ ، كتابع للعمق (mm). فقد لوحظ من خلال الأشكال وجود تركيز إشعاعي كبير على السطح متميزاً عن باقي مناطق التوزع الداخلية، كما وجد اختلاف طفيف في قيمة التوزع في نهاية العينة المدروسة أيضاً، بينما لوحظ توزيع متجانس في الوسط. أما الشكل الرابع فيمثل النسبة المئوية للنشاط الإشعاعي لمياه الغسيل  $(A_g/A_t, \%)$ ، حيث  $A_g$  تمثل النشاط الإشعاعي للماء في يوم القياس و  $A_t$  تمثل النشاط الإشعاعي الكلي للعينة، والتي تعتبر المكمل للنشاط الإشعاعي المفقود من العينات (المكعبة والأسطوانية) أثناء الغسل.



الشكل 2 - توزيع النظير  $^{137}\text{Cs}$  في العينة الأسطوانية قبل وبعد الغسل.



الشكل 4 - تغيرات النشاط الإشعاعي لمياه الغسل.

الشكل 3 - توزيع النظير  $^{137}\text{Cs}$  في العينة المكعبة قبل وبعد الغسل.

التجريبية (fitting) بتطبيق المعادلة الأخيرة، تبين أن دقة المقارنة متوسطة (حوالي 75%)، أي يمكن تفسير النتائج وفق علاقات الاحتمال السابقة.

تزداد قيمة النشاط الإشعاعي المقيس في مياه الحوض بسرعة في بداية الزمن (أيام) حتى تصل إلى قيمة متوسطة لا تلبث أن تزداد ببطء شديد ولدى مقارنة معدل هجرة  $^{137}\text{Cs}$  في العينات المكعبة والأسطوانية تبين أن ذرات  $^{137}\text{Cs}$  تهجر بمعدل أكبر في حالة العينة المكعبة منها في حالة العينة الأسطوانية. ■

$$A_i = \rho P m \lambda \frac{n}{N} + A_h \quad (4)$$

حيث  $\rho$  تمثل معامل احتمالية وجود  $m$  ذرة من  $^{137}\text{Cs}$  في نفس الموقع و  $\lambda$  معامل التفكك الإشعاعي، حيث أن الفعالية الإشعاعية تساوي حاصل جداء معامل التفكك الإشعاعي بعدد الذرات المتفككة، بينما تمثل  $A_h$  قيمة متوسطة للنشاط الإشعاعي ابتداءً من الطبقة العاشرة وحتى الطبقات القريبة من النهاية (أي قيمة التوزع المتجانس). ولدى التحقق من القيم

## تعديل الكود EXTERMINATOR-2 واستثماره على الحاسب الشخصي\*

د. محمد البرهوم، سلمان محمد، ياسر كاملة

قسم الفيزياء - هيئة الطاقة الذرية - ص.ب 6091 - دمشق - سورية.

ملخص

لقد تم تعديل الكود EXTERMINATOR-2 لتسهيل استعماله، فقد استبدلت شاشة الحاسب بملف خارجي تتم كتابة معطيات الدخل فيه بدلاً من إدخالها للكود من شاشة الحاسب. تسمح نسخة الكود المعدلة هذه بإدخال تعليمات استخدام الكود في ملف الدخل وبالتالي توفير الوقت اللازم لاستشارة دليل الاستعمال. يمكن إدخال السطور الفارغة وسطور التعليق في ملف الدخل في أي مكان دون التسبب في أية إشكاليات في قراءة ملف الدخل من قبل الكود. أضيفت إلى الكود خدمات الرسم والمعالجة الأوتوماتيكية لملف خرج الكود، بعد تعديله برمجياً وتمكيننا من تشغيله على حواسيبنا الشخصية.

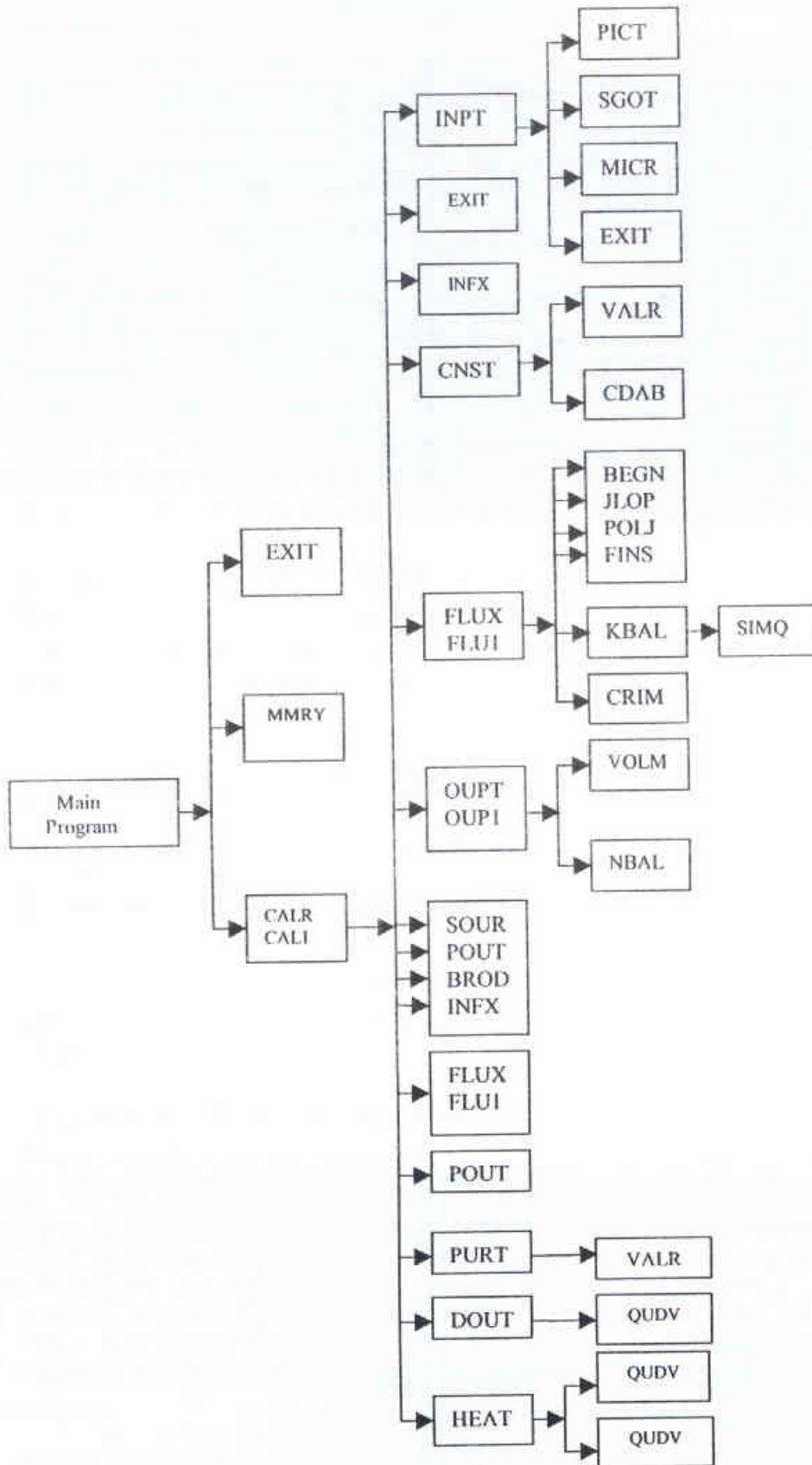
الكلمات المفتاحية: كود، تعديل، برنامج جزئي، تعليمات.

### توصيف وتشغيل الكود EXTERMINATOR-2

معينة ضمن الكود الذي يقوم كلياً بحل معادلة الانتشار ببعدين في الهندستين الأسطوانية والديكارتية. لم تعمل نسخة الكود EXTERMINATOR-2 هذا الترجمة باستخدام المترجم LAHEY

يعمل الكود حسب المخطط الصندوقي الموضح في الشكل 1، حيث يُعبر كل اسم وارد في صناديق المخطط عن برنامج جزئي يقوم بتنفيذ مهمة

\* تقرير مختصر عن دراسة علمية حاسوبية أجرت في قسم الفيزياء - هيئة الطاقة الذرية السورية.



الشكل 1 - مخطط صندوقي لعمل البرنامج الرئيسي في الكود EXTERMINATOR-2.

4.1 على حواسيبنا إلا بعد إجراء الكثير من التعديلات داخل البرامج الجزئية المؤلفة للكود.

### ملف دخل الكود EXTERMINATOR-2 المعدل

يمكن إجمال التعديلات الحاصلة على الكود فيما يخص ملف الدخل بما يلي:

- البطاقة رقم (2) قسمت إلى ثلاثة أجزاء وتقرأ من ثلاثة سطور متتالية كل منها يحتوي على 12 معلومة بدلاً من تواجد 36 معلومة على سطر واحد.

في هذا الوضع يمكن للمستثمر أن يضع معلومته أينما يشاء على السطر ولا يشترط إلا المحافظة على الترتيب الأساسي للمعلومات على السطر.

- قسمت البطاقة رقم (3) إلى بطاقات مختلفة مشابهة وهكذا بالنسبة لغالبية البطاقات التي يتألف منها دخل الكود.

أما البطاقات التي لم تقسم فقد تم تحريرها من الانتساق الثابت وأصبحت بانتساق حر (بطاقة رقم 8 مثلاً).

يمكن تلخيص فوائد الوضع الجديد لملف الدخل بما يلي:

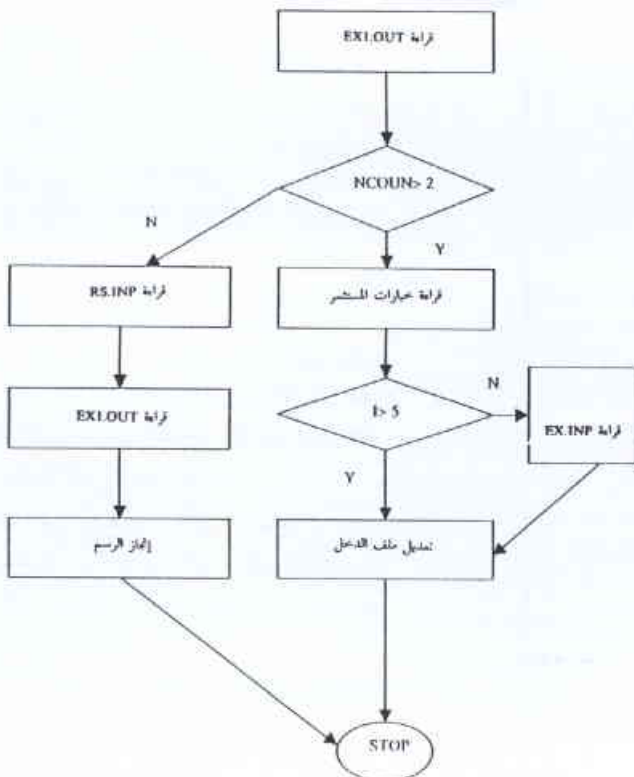
- التحرر من ضرورة الكتابة المنسقة على الشاشة والتي تحمل المساوىء التالية:

أ - لا يظهر موضع المؤشر على الشاشة مما يجعل الكتابة في موقع معين صعبة جداً ويضطرر المستثمر إلى عد المواضع مع التقدم في إدخال المعطيات مما يتسبب في أخطاء كتابة يصعب تجنبها.

ب - عند حصول خطأ على الشاشة يترجم إلى خطأ قراءة عند الكود مما يسبب في توقف الكود عن العمل وعودة المستثمر إلى كتابة (إدخال) جميع المعطيات على (من) الشاشة من جديد.

إن محتوى البندين أ و ب يبين سبب كون استخدام الكود بسهولة ولا اضطراب لإعادة كتابة جميع المعطيات وإنما تصحح المعلومة الخاطئة فقط.

- إذا ما أضيفت إلى الكود (كما فعلنا) نتائج أعمال أخرى [3] من الخدمات أمكن



الشكل 3- مخطط تفاعل البرنامج ask1.for مع الكود EXTERMINATOR-2 مع الملفات الأخرى.

ملف دخل الكود قبل معرفة خيارات المستر في الرسم) ومعالجة خرج الكود للحصول على المعطيات اللازمة للتمثيل ومن ثم تمثيلها فعلياً على الشاشة.

### النتائج

يتضح مما سلف أن مجمل العمل في هذه الدراسة تمخض عن تحويل كود قديم نسبياً صعب الاستعمال ولكنه يؤدي المهمة العلمية الموكلة إليه بشكل جيد إلى كود مزود بكافة التسهيلات التي تؤمن سهولة في الاستعمال وسرعة ووضوحاً في إظهار النتائج على شاشة الحاسب مباشرة دون الحاجة إلى معالجة المعطيات الخرجية للكود والتي تقوم برامج خدمات الرسم بمعالجتها بشكل أوتوماتيكي موفرة الجهد والوقت على المستر.

يمكن إظهار توزع التدفق التروني لأية مجموعة ترونية ولأي عمود أو سطر من الشبكة المثلثة للمسألة والمتواجدة في ملف خرج الكود، كما يمكن إظهار كيفية تقارب معامل التكاثر التروني إلى القيمة النهائية إضافة إلى خيار إظهار هذين المقدارين معاً (في تشغيل واحد للكود).

### REFERENCES

- [1] EXTERMINATOR-2 A FORTRAN IV Code for Solving Multi-group Neutron Diffusion Equations in two Dimensions. T. B. Fowler, M. L. Tobias, D. R. Vondy. Oak Ridge National Laboratory, U. S. Atomic Energy Commission. Aprile 1967.

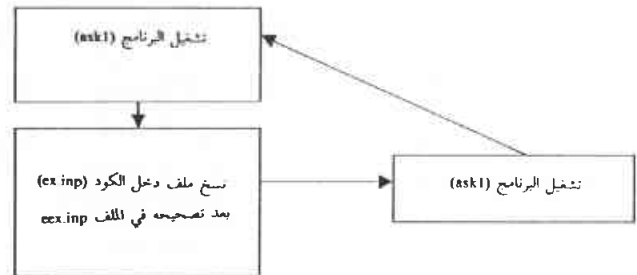
### المراجع

كتابة ما نشاء من التعليقات والإيضاحات على ملف الدخل دون أن يتسبب هذا بأخطاء قراءة في الكود (يمكن مثلاً إضافة دليل استعمال الكود مباشرة إلى ملف الدخل وبالتالي وضع الخيارات أمام المستر مباشرة دون الحاجة إلى استشارة دليل الكود المطبوع).

### ملف الخرج الجديد وخدمات الرسم المضافة إلى الكود

لم يكن الكود EXTERMINATOR-2 ملف خرج يلجأ إليه المستر لمعرفة نتائج حساباته التي اختارها في ملف الدخل (الآن وعلى الشاشة سابقاً) بل كان يتلقى هذه المعلومات على الشاشة مباشرة وهذا يحول دون إمكانية الإمعان بها وتحليلها بروية ناهيك عن الجدول دون إمكانية رسمها.

لقد تم تشكيل ملف خرج (EX.OUT) يجمع النتائج ويمكن للمستمر، بعد تعديل الكود، أن يقوم بإظهار نتائج حساب توزع التدفق لأية مجموعة ترونية ولأي عمود أو سطر من الشبكة المثلثة للمسألة. للتوصل إلى هذه الخدمة المريحة في إظهار المعطيات تمت كتابة برنامج بلغة الفورتران (ask1.for) وتمت ترجمته بالترجم Microsoft 5.1 نظراً لعدم وجود نسخة من الكود EXTERMINATOR-2 عاملة على هذا المترجم وبالتالي لا يمكن ضمه إلى الكود. لذلك تطلب الأمر إنشاء ملف تجميعي للتشغيل يعمل حسب المخطط الموضح في الشكل (2)، أما البرنامج فيقوم بالتفاعل مع الكود حسب المخطط الصندوقي الموضح في الشكل (3).



الشكل 2- المخطط الصندوقي للملف التجميعي (w.bat) مشغل برنامج الرسم (ask1.for).

يبين الشكل (3) مخططاً عاماً لكيفية تفاعل وتخطب البرنامج مع الكود، إلا أنه في الواقع توجد ملفات أخرى تدخل في عملية إنجاز الرسم غير موضحة في الشكل، كما أن هناك آليات معقدة لتحويل خيارات المستر إلى معطيات في ملف دخل الكود EXTERMINATOR-2 ومن ثم تشغيل الكود بالخيارات الجديدة (التي قد لا تكون موجودة في

- [2] الكود الفطن سيركو - 1 كرد المفاعل وحيد البعد والمعتمد على حل معادلة الانتشار، د. محمد البرهوم، المهندس علي عبد، السيد سلمان محمد. تقرير عن دراسة علمية حاسوبية - قسم الفيزياء - ه ط ذ س - ف/ت د ع 218 - نيسان 1998.

- [3] تطوير الكود الهيدروحراري HYDMIN بما يلائم حالة المفاعل MNSR المستقرة. تقرير عن دراسة علمية حاسوبية - قسم الفيزياء - ه ط ذ س - ف/ت د ع 360 - كانون الأول 2000. ■

## إعداد نظام استعلام مناخي\*

د. عماد خضير، محمد مرفق نصري

قسم الفيزياء - هيئة الطاقة الذرية - ص. ب 6091 - دمشق - سورية

### ملخص

رُكبت محطة مناخية مؤتمتة في المركز الثاني لهيئة الطاقة الذرية في منطقة دير الحجر، جنوب شرق مدينة دمشق في نهاية العام 2000. وتقوم ستة محطات مناخية وزراعية بتسجيل قياسات درجة حرارة الهواء والرطوبة النسبية ومقدار الهطول المطري وصافي الإشعاع وسرعة الرياح واتجاهها. وبُرمجت وحدة تحصيل البيانات لتسجيل قراءات ساعية ويومية وشهرية بالإضافة لإمكانية مراقبة بعض العناصر المناخية كاتجاه الرياح وسرعتها في الزمن الحقيقي. وتتصل وحدة التحصيل بواسطة مودمين وكابل اتصال طوله 300 m وبسرعة نقل معطيات وقدرها 9600 bps بحاسب التحكم الذي يقوم بالتخزين النهائي للسجلات والمحطات المناخية. أيضاً، يقوم الحاسب بفرز حسابات يومية وشهرية للقيم الحدية والمتوسطات وتقدير المجاميع.

أعد نظام استعلام مناخي متطور ومتوافق مع بروتوكول اتصالات الإنترنت بغية تسهيل استرجاع البيانات المناخية اللحظية والتاريخية بصورة جداول أو مخططات بيانية (ستاتية أو دينامية) عبر "خدمة المعلومات" على الشبكة الحاسوبية وذلك تبعاً لمتطلبات المستثمر من حيث المدى الزمني (يوماً أو أسبوعياً أو شهرياً أو سنوياً أو من التسجيلات التاريخية).

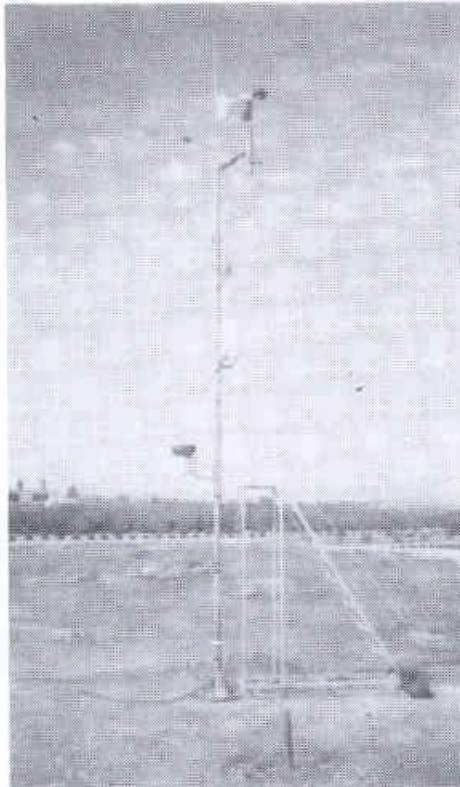
الكلمات المفتاحية: برج رصد جوي، محطات، زمن حقيقي، شبكة محلية، نظام استعلام، الإشعاع الصافي، المناخ، الطقس.

التجارب عند تحليل تباين نتائج التجارب بواسطة اختبارات إحصائية مناسبة كاختبار تحليل التباين /ANOVA/ مثلاً.

### محطة مناخية مؤتمتة

رُكبت في المركز الثاني لهيئة الطاقة الذرية في منطقة دير الحجر  $36^{\circ} 28' N$  و  $33^{\circ} 21' E$  وعلى ارتفاع 617 m عن سطح البحر محطة مناخية مؤتمتة لقياسات ساعية لستة عناصر مناخية وهي: درجة حرارة الهواء  $T$  (C°) air temperature ومعدل الرطوبة النسبية (%) relative humidity H ومعدل الهطول المطري P(mm) precipitation وسرعة الرياح واتجاهها & wind speed (m/s) direction & degrees والإشعاع الصافي net radiation Q (W/m<sup>2</sup>).

وقد جرى ربط وحدة تحصيل القياسات المناخية بصورة مباشرة on-line، بواسطة كابل اتصال من النوع UPT-Cat.5 بطول يقارب 300 m وبسرعة نقل معطيات قدرها 9600 bps بالحاسب الشخصي المتحكم ويتم بصورة مؤتمتة بعد خمس دقائق من تمام الساعة من كل يوم تحصيل السجلات المناخية المقيسة

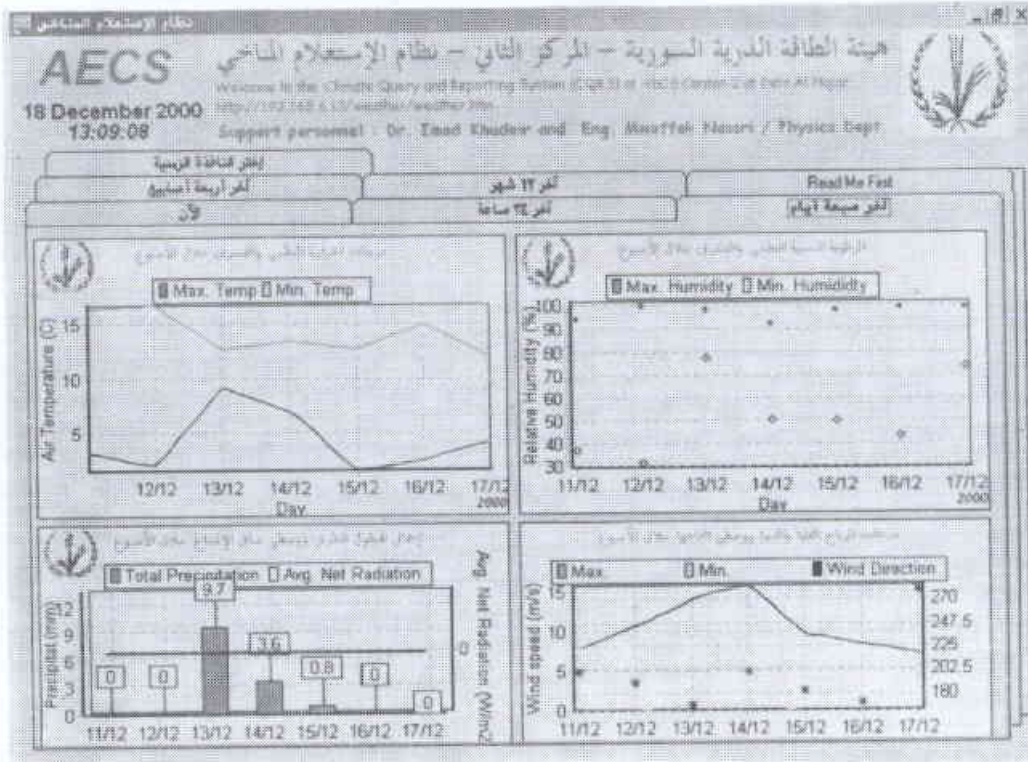


الرسم التوضيحي 1- منظر عام للمحطة المناخية المؤتمتة المركبة في المركز الثاني لهيئة الطاقة الذرية السورية.

### مقدمة

يعتمد تلوث البيئة بملوثات خارجية، كتسرب عنصر مشع من مدخنة مفاعل بحث أو طاقة، على عوامل تصنف طبيعة الظروف المناخية السائدة خلال حادثة التسرب وبعدها. حيث تقوم الرياح بنقل ونثر الملوثات بينما تقوم الأمطار بغسل هذه الملوثات من الهواء وترسيبها على سطح الأرض. وتتطلب معظم الكودات الحاسوبية التي تقوم بنمذجة مختلف سيناريوهات حوادث التسرب توفر المعطيات عن عدد من العوامل المناخية، كسرعة واتجاه الرياح وتصنيف الاستقرار الجوي ومعدل الهطول المطري والرطوبة النسبية ودرجة حرارة الهواء. وقد تربط أنظمة الطوارئ النووية للمنشآت النووية الكبيرة كمفاعل بحث من النمط الأول أو محطة توليد طاقة نووية بأنظمة مناخية بشكل مباشر on-line بغية التقدير السريع لمستوى التضضر الإشعاعي ومناطقه عند حدوث تسرب إشعاعي. ومن جهة أخرى، تدخل المعاملات المناخية كعوامل مؤثرة غير متحكم بها في تجارب الإنتاج الزراعي (النباتي والحيواني) والتقانة الحيوية، الأمر الذي يستوجب توفر سجلات مناخية خلال فترة

\* تقرير مختصر عن عمل تقني أنجز في قسم الفيزياء - هيئة الطاقة الذرية السورية.



الرسم التوضيحي 2- الواجهة الافتتاحية لنظام الاستعلام المناخي CQRS المعد على شبكة الحواسيب في المركز المناخي

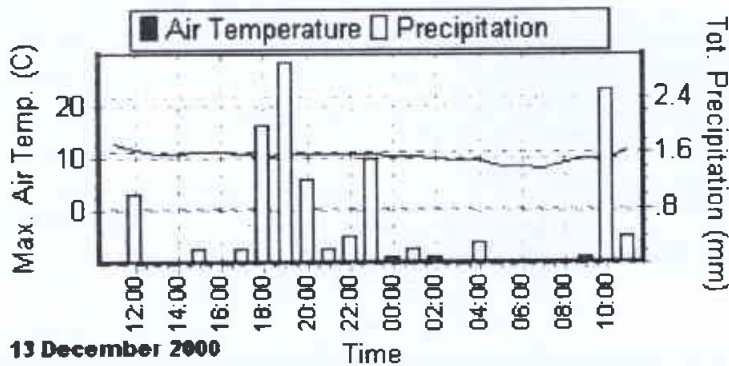


محسّن تسجيل الإشعاع الصافي

### نظام الاستعلام المناخي

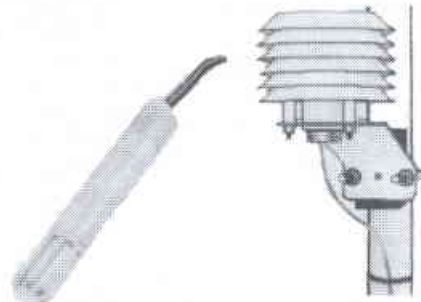
أعد نظام الاستعلام المناخي -Climate Query/Reporting System- وفق برمجية مرئية RTDN-Real Time Display Monitor و CQRS متوافقة مع Delphi تسمح للمستثمر بالاطلاع على السجلات والمخططات البيانية (الديناميكية) للعناصر المناخية المقيسة آنفة الذكر

أعلى درجة حرارة للهواء وإجمالي الهطل المطري لكل ساعة

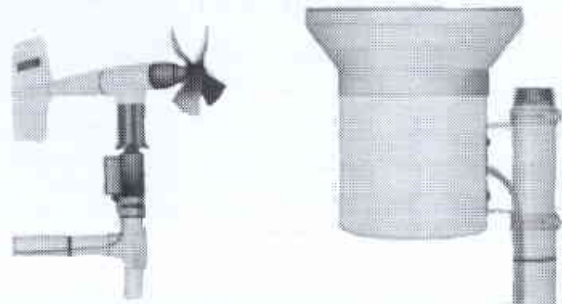


الرسم التوضيحي 3- مخطط 24 ساعة للهطول المطرية وأعلى درجة حرارة.

خلال الساعة الماضية. ويتم فرز قيم حدية (عظمى وصغرى) يومية، خمس دقائق بعد منتصف كل ليلة، لدرجات الحرارة والرطوبة وسرع الرياح وإيجاد مجاميع الهطولات اليومية والشهرية والسنوية. وبنين فيما يلي رسوم توضيحية للمحسّنات المركبة على صار المحطة المناخية.



محسّن تسجيل درجة حرارة الهواء والرطوبة النسبية



محسّن تسجيل سرعة واتجاه الرياح

محسّن تسجيل الهطل المطري

File Edit View Favorites Tools Help

Address: http://192.168.6.13/

## AECS Center-2 Computer LAN

HOME

The information service of the Atomic Energy Commission of Syria (unofficial).

خدمة المعلومات  
مكتب الطاقة الذرية السورية

hits since August 10th, 2000.

Departments Quality The Library Applications

Services Internet Links Sport Weather

What's new Contents Search Exit Weather Documentary Statistics WebCam Center-1 Clock/Calendar Panorama Brain Teaser Slide Show Music Center Game Zone Special events Guest Book

Avg. wind direction	Local meteo-conditions on day : <b>28 May 2001</b> at time : <b>11:46:11</b>	Wind Speed <b>0.98</b> [m/s]	Air Temperature <b>34.17</b> [°C]	Relative Humidity <b>11.35</b> [%]	Hourly rainfall <b>0</b> [mm]
---------------------	---	------------------------------------	---	--	-------------------------------------

## Weather

طقس , Hava , La Météo , Het Weer , El Tiempo , Das Wetter

HOME

An Automated Weather Station (AWS) has been installed at the Center 2 [link]. On-line measurements of : wind speed and direction, air temperature, humidity, precipitation, and net radiation are displayed in a static and dynamic time frames.

new

Climate Query/Reporting System (CQS)  
N.B. Oper with 192.168.6.13/133 as  
طابع الإحصاء والتقارير

148 hits since 24 Oct. 2000

Running Areas | Connected Organizations  
Site | Services | Location | Software Manuals | FAQ | Tour |  
WMO GUIDE ON DATA MANAGEMENT |  
Automatic Weather Stations for Agriculture

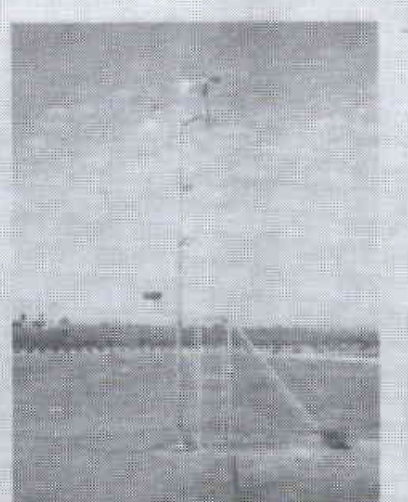
### Weather & Climate

Tables | Charts

**CAMPBELL SCIENTIFIC, INC.**

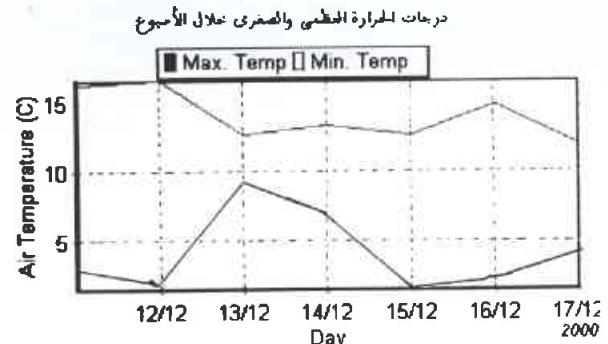
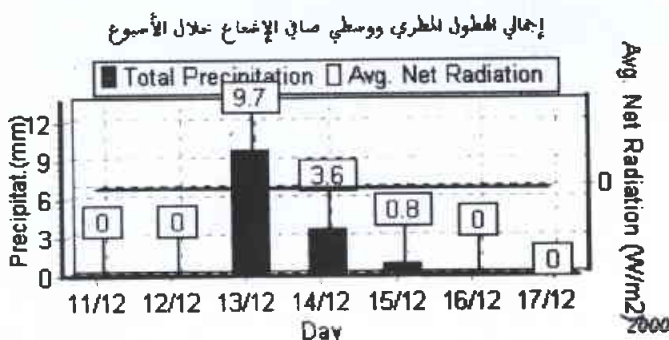
For further details contact :

Dr. Imad Khudair or Eng. Mwaffak Nassri for



الجدول 1- التسجيلات المناخية الحدية والمجموعية والمتوسطات لأيام الأسبوع الثاني من شهر كانون الأول لعام 2000.

Date	Year	Max. Temp (C)	Min. Temp (C)	Max. Hum (%)	Min. Hum (%)	Max. Spd (m/s)	Min. Spd (m/s)	Avg. Net Rad (W/m2)	Tot. Precip. (mm)	Wind spd (m/s)	Vec1 Dir (degrees)	Vec2 Dir (degrees)
10 12	2000	16.24	3.164	94.8	37.25	7.74	0	29.87	0	2	200.8	55.7
11 12	2000	16.61	2.091	99.7	31.49	10.39	0	39.54	0	3.349	189.1	45.42
12 12	2000	12.67	9.16	97.7	77.9	14.21	.784	15.77	9.7	5.066	168.2	13.88
13 12	2000	13.37	6.984	92.6	50.65	15.78	.686	28.84	3.6	5.478	200.6	31.95
14 12	2000	12.7	1.556	97.7	50.02	9.6	0	44.02	.8	2.665	182.2	42.96
15 12	2000	14.87	2.531	98.9	43.32	8.33	0	47.36	0	3.379	171.3	21.91
16 12	2000	12.03	4.269	98.8	74	7.25	0	24.84	0	2.006	279.5	62.48
17 12	2000	16.81	4.236	97	46.12	3.528	0	37.61	0	1.108	296.2	63.76



الرسم التوضيحي 4- المخططات الأسبوعية للعناصر المناخية المقيسة في الأسبوع الثاني من ك 1 لعام 2000.

الحدية والمجموعية والمتوسطات لأيام الأسبوع الثاني من شهر كانون الأول لعام 2000. أما بالنسبة للمخططات البيانية، فيبين الرسم التوضيحي 3 تسجيلات 24-h لأعلى درجة حرارة للهواء وإجمالي الهطول لكل ساعة بين يومي 12-13/12/2000. ويبين الرسم التوضيحي 4 المخططات البيانية للقياسات المناخية الحدية المسجلة في أسبوع.

وذلك ضمن مدى زمني يختاره المستثمر. كما ويقوم النظام بإخراج جداول قياسات مناخية ومخططات بيانية ستاتيكية بصورة ساعية ويومية وشهرية. ويبين الرسم التوضيحي 2 الواجهة الإفتاحية للنظام والذي يمكن طلبه من خلال الصفحة المناخية لخدمة المعلومات على الشبكة الحاسوبية في المركز الثاني. وعلى سبيل المثال، يبين الجدول 1 التسجيلات المناخية

## REFERENCES

- [1] Sensors' Instruction Manuals, Campbell Scientific, Inc. 1997.
- [2] Standard for determining meteorological information at nuclear power sites, Ammerican Nuclear Society, ANSI/ANS-2.5-1984.

## المراجع

- [3] CR10x Datalogger: Overview and instruction manual. Campbell Scientific, Inc. 1998.
- [4] Atmospheric stability evaluation based on net radiation for applications in dose estimation, Bulletin of radiation protection, Jul-Dec 1991, V. 14(3-4). P27-30.
- [5] Meteorological reports for ICARDA experiment stations in syria and Lebanon, 1991/1992.■



# إزاحة الكاديوم من حمض الفسفور بواسطة الاستخلاص سائل - سائل بمذيب الـ TOPO في الكيروسين\*

د. سعد الدين خرفان

مكتب التعدين المائي - هيئة الطاقة الذرية - ص.ب 6091 - دمشق - سورية

## ملخص

يوجد الكاديوم في جميع أنواع الفسفات بتراكيز تتراوح بين 1 - 90 ppm. وأثناء هضم صخر الفسفات بواسطة حمض الكبريت المركز ينتقل بين 70-80% وزناً من الكاديوم إلى حمض الفسفور بينما يتخلف 20-30% وزناً في الفسفوجيسوم الصلب. ومن حمض الفسفور ينتقل الكاديوم إلى الأسمدة الفسفاتية. وقد تسبب وجود 1 ملغ/ لتر من الكاديوم في الماء في حدوث مرض العظام عرف باليابانية باسم itai-itai. وتسمى معظم القوانين البيئية إلى تخفيض نسبة الكاديوم في الأسمدة الفسفاتية باستمرار. وقد أجريت عدة بحوث لتخفيض نسبة الكاديوم في حمض الفسفور. واستخدم بعض هذه البحوث المبادلات الأيونية. كما استخدم بعضها الآخر مذيبات قلوية مثل ثلاثي أكسيد الأمين TOA. واستخدم كثير من البحوث مذيبات فسفوعضوية معروفة مثل Cyanex 302. درست هذه الورقة استخلاص الكاديوم من حمض الفسفور بواسطة المذيبات الفسفوعضوية حيث جرب الـ TBP والـ D2EHPA والـ TOPO في الكيروسين. وقد وجد أن المذيب الأفضل هو الـ TOPO في الكيروسين. وتبين أن الاستخلاص يزداد بشكل كبير بزيادة تركيز أيون الكلور Cl ويتناقص بشكل طفيف مع زيادة درجة الحرارة كما أنه يزداد مع زيادة تركيز المذيب. وقد وجد أن زيادة تركيز الكاديوم تؤدي إلى نقص الاستخلاص مع بقاء تركيز الكلور ثابتاً. وكذلك فإن استخلاص الكاديوم يزداد بزيادة تركيز خماسي أكسيد الفسفور وبقاء تركيز الكلور ثابتاً.

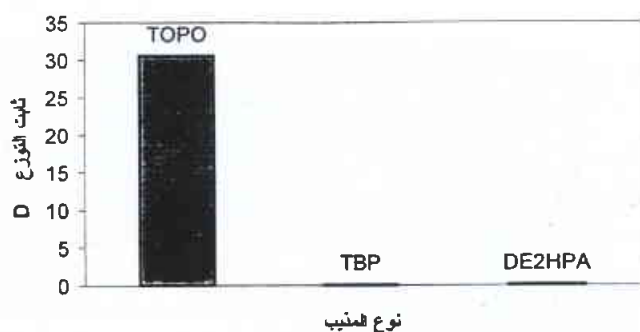
الكلمات المفتاحية: كاديوم، استخلاص، حمض الفسفور، توبو.

## مقدمة

## النتائج والمناقشة

### اختيار المذيب الفسفوعضوي المناسب

أجريت تجربة لاستخلاص الكاديوم بواسطة المذيبات الفسفوعضوية الأكثر شيوعاً مثل TBP و TOPO و DEHPA في الكيروسين. مُنَّلت النتائج في الشكل 1 الذي يُظهر أن المذيب TOPO هو الأقوى لاستخلاص الكاديوم من حمض الفسفور بوجود أيون الكلور.



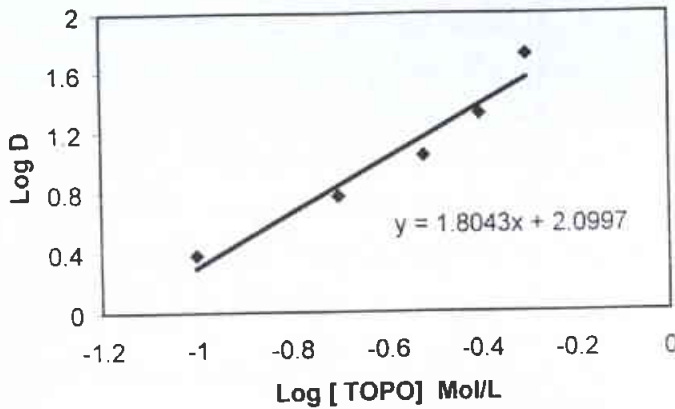
الشكل 1- تأثير نوع المذيب على ثابت التوزيع D.

يوجد الكاديوم في جميع أنواع الفسفات ولكن بتراكيز مختلفة. حيث يتراوح تركيزه بين 1 إلى 90 ppm. وهو مسؤول عن مرض يصيب العظام سمي باليابانية itai-itai. وقد تسبب وجود 1 ملغ/ لتر من الكاديوم في الماء حدوث هذا المرض. ويتعزز هذا التأثير إذا تراكب وجوده مع الزنك والنحاس حيث يزداد إلى عدة أمثال. وأثناء تصنيع حمض الفسفور بالطريقة الرطبة ينتقل معظم الكاديوم من الفسفات إلى الحمض ومنه بعد ذلك إلى الأسمدة الفسفاتية. ويتبقى بحدود 20% منه تقريباً في الفسفوجيسوم. وتختلف نسبة التوزيع بين الحمض والفسفوجيسوم بحسب شروط التشغيل في مفاعل حمض الفسفور وبحسب الطريقة المستخدمة وبحسب طبيعة الفسفات الخام. وقد وجد أن زيادة مركبات الكلور تؤدي إلى زيادة انتقاله إلى الحمض. وفي حمأة حمض فسفور بتركيز 30%  $P_2O_5$  وزناً وجدت تراكيز مرتفعة من الكاديوم. وتنص معظم القوانين البيئية على أن لا يتجاوز الحد الأعلى للكاديوم 20 ppm في الأسمدة الفسفاتية، إذ أن الكاديوم في السماد ينحل بالماء ومن ثم ينتقل إلى الغذاء.

\* تقرير مختصر عن دراسة علمية مخبرية أجريت في مكتب التعدين المائي - هيئة الطاقة الذرية السورية.

### تأثير تركيز المذيب TOPO في الكيروسين على استخلاص الكاديوم من حمض الفسفور

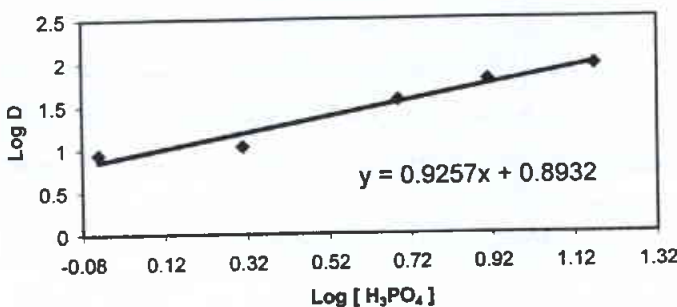
أجريت تجربة على استخلاص الكاديوم من حمض فسفور مخبري واستخدم مذيب الـ TOPO بتركيزات 0.1 و 0.2 و 0.3 و 0.4 و 0.5 مول/ لتر في الكيروسين. مُثِّلَت النتائج في الشكل 4 على شكل لوغاريتم ثابت التوزع Log D مقابل الـ [TOPO] مول/ لتر. والمنحني الناتج عبارة عن خط مستقيم ميله = 1.8. ومن هذا الخط يتبين أن زيادة تركيز الـ TOPO في الكيروسين تؤثر إيجابياً على استخلاص الكاديوم من حمض الفسفور السوري. كما تبين أن جزئيين من المذيب TOPO يشتركان في تفاعل الإذابة.



الشكل 4- تأثير تركيز المذيب TOPO على ثابت التوزع D.

### تأثير تركيز $P_2O_5$ على استخلاص الكاديوم من حمض الفسفور

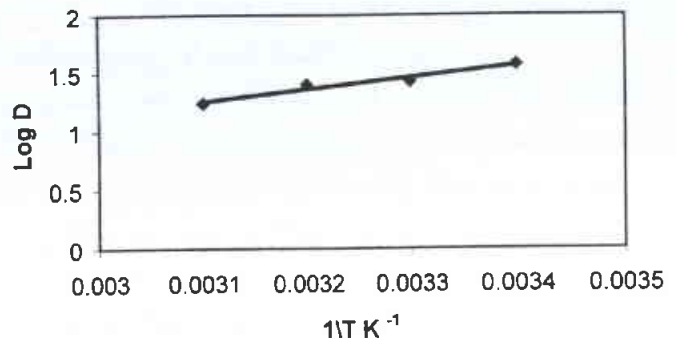
أجريت تجربة لمعرفة تأثير حمض الفسفور على استخلاص الكاديوم منه حيث غيرت تراكيز  $P_2O_5$  من 14% وزناً إلى 50% وزناً. وقد مُثِّلَت هذه النتائج على شكل Log D بدلالة  $\text{Log [H}_3\text{PO}_4]$  في منحني على الشكل 5. الناتج عبارة عن خط مستقيم ميله = 0.9. ومنه نجد أن زيادة تركيز حمض الفسفور يؤدي إلى تشكيل معقدات مع الكاديوم تزيد من فرص تفاعله مع المذيب TOPO وبالتالي تزيد من استخلاصه.



الشكل 5- تأثير التركيز المولي لحمض الفسفور على ثابت التوزع D.

### تأثير درجة الحرارة على استخلاص الكاديوم

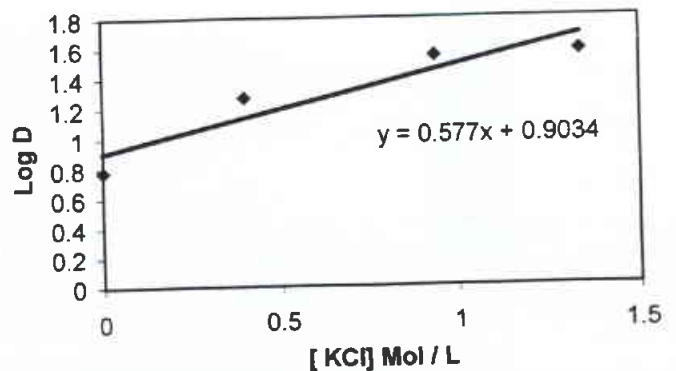
أجريت تجربة على حمض فسفور مخبري واستخدمت درجات حرارة مختلفة (20 و 30 و 35 و 46 م). مُثِّلَت النتائج من هذه التجربة في الشكل 2 على شكل لوغاريتم ثابت التوزع Log D بدلالة مقلوب درجة الحرارة بالكلفن  $1/T$ . ومن الشكل يتبين أن العلاقة هي على شكل خط مستقيم ميله  $-E/R = 0.6306$  ويمكن من هذه العلاقة حساب طاقة التنشيط  $E = -5.24 \text{ J/mol}$ . ومن هذه العلاقة نستنتج أن ارتفاع درجة الحرارة يؤثر سلباً على استخلاص الكاديوم من حمض الفسفور ضمن هذه الشروط.



الشكل 2- تأثير درجة الحرارة على ثابت التوزع D.

### تأثير تركيز أيون الكلور على استخلاص الكاديوم من حمض الفسفور

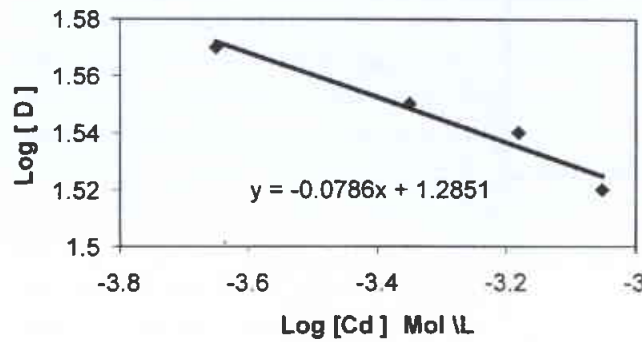
أجريت تجربة على استخلاص الكاديوم من حمض فسفور مخبري ومُثِّلَت تركيز الكلور في الحمض من 0 إلى 100 غ/ لتر. مُثِّلَت النتائج في الشكل 3 على شكل لوغاريتم ثابت التوزع Log D بدلالة تركيز أيون الكلور على شكل  $\text{Log [Cl]}$  مول/ لتر. ونجد من الشكل أن العلاقة هي على شكل خط مستقيم وأن ميل هذا الخط = 0.58. ومنه نستنتج أن استخلاص الكاديوم من وسط حمض الفسفور يتم بشكل أفضل بوجود وسط كلوري. ويعود السبب إلى تشكيل أيون الكلور لمعقدات مع الكاديوم قابلة للاستخلاص كما تبين لباحثين آخرين [2، 5].



الشكل 3- تأثير تركيز KCl على ثابت التوزع D.

## تأثير تغير تركيز الكاديوم على استخلاص الكاديوم من حمض الفسفور

أجريت تجربة لمعرفة تأثير تركيز الكاديوم على استخلاصه من حمض الفسفور ومثلت هذه النتائج في الشكل 7 على شكل Log D بدلالة تركيز الكاديوم Log [Cd] ملغ/ لتر. والناجج عبارة عن خط مستقيم ميله = -0.07. ومنه نستنتج أن زيادة تركيز الكاديوم مع بقاء تركيز أيون الكلور ثابتاً لا تؤدي إلى زيادة الاستخلاص بل على العكس فإنها تؤثر سلباً بشكل طفيف على استخلاصه من حمض الفسفور. ■

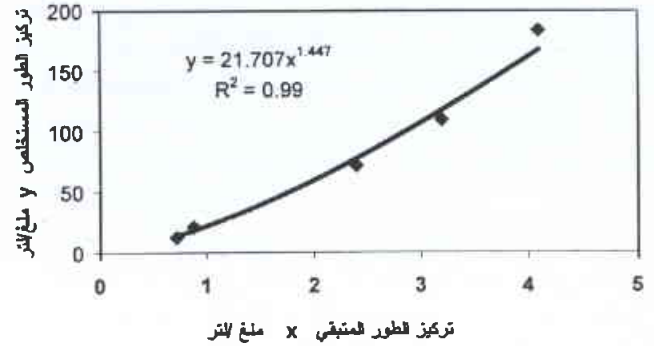


الشكل 7- تأثير تغير تركيز الكاديوم على ثابت التوزع D.

## منحني الاستخلاص ثابت الحرارة Isotherm

أجريت عدة تجارب لحساب منحني الاستخلاص عند درجة حرارة ثابتة 20 م. مثلت النتائج في الشكل 6. ويبين المنحني الناتج منحني الاستخلاص ثابت الحرارة (20 م) عند هذه الشروط. ويمكن وضع هذه العلاقة على الشكل الأنسب التالي:

$$Y = 21.7 X^{1.447}$$



الشكل 6- أيزوثيرم منحني استخلاص الكاديوم بتركيز 100 KCl g/l.

## معامل الهضم والقيمة الطاقية لبعض المخلفات الزراعية نتيجة تأثير أشعة غاما والمعاملات الكيميائية\*

د. محمد راتب المصري

قسم الزراعة - هيئة الطاقة الذرية - ص. ب 6091 - دمشق - سورية.

### ملخص

أجريت التجارب لدراسة التغيرات في قيم معامل الهضم الظاهري للمادة العضوية في الزجاج (IVOMD) والطاقة الاستقلالية (ME) والطاقة الصافية لإنتاج الحليب (NEL) لتبن القمح وقشرة بذرة عباد الشمس وخشب تفل الزيتون وبذور ثمار النخيل وقشرة الفول السوداني بعد معاملتها بالرش بتركيزات مختلفة من حمض هيدروبروميك (HBr) وهيدروكسيد الصوديوم (NaOH) (0، 3، 6 مل HBr و 3، 6 غ NaOH / 25 مل ماء / 100 غ مادة جافة) أو بعد تعرضها إلى جرعات مختلفة من أشعة غاما (0، 20، 40، 60 كيلو غراي). أشارت النتائج إلى أن المعاملتين الكيميائيتين HBr أو NaOH أدتا، وبشكل مؤكد إحصائياً ( $P < 0.05$ )، إلى زيادة قيم ME و IVOMD و NEL للمخلفات الزراعية المتبردة كافة باستثناء بذور ثمار النخيل حيث انخفضت تلك القيم. واختلفت المخلفات الزراعية في معدل استجابتها للمعاملتين الكيميائيتين بتركيزهما المختلفة، بمعنى أن الزيادات في قيم IVOMD و NEL الناجمة عن تأثير هاتين المعاملتين لم تكن متماثلة. وكانت التغيرات في المعايير المدروسة على أشدها عند استخدام المعاملتين الكيميائيتين بتركيز 6%. ولم يلاحظ تأثير مؤكد إحصائياً ( $P < 0.05$ ) للتشعيع على قيم IVOMD و ME و NEL للمخلفات المعاملة كافة. كما لم تؤثر إحصائياً المعاملة المشتركة بالتشعيع وبهيدروكسيد الصوديوم أو حمض هيدروبروميك على قيم IVOMD و ME و NEL مقارنة مع المعاملات الكيميائية المنفردة.

الكلمات المفتاحية: مخلف، معامل هضم، طاقة، كيميائية، تشعيع.

\* تقرير مختصر عن تجربة استطلاعية حقلية أجريت في قسم الزراعة - هيئة الطاقة الذرية السورية.

## مقدمة

إحصائياً من معدلات الزيادة في قيم معامل الهضم والطاقة الاستقلابية والطاقة الصافية لإنتاج الحليب مقارنة مع المعاملة الكيميائية المنفردة.

لوحظ ارتفاع مؤكد إحصائياً ( $P < 0.05$ ) في قيم الطاقة الاستقلابية والطاقة الصافية لإنتاج الحليب في العينات المعاملة بـ HBr أو NaOH كافة، باستثناء بذور ثمار البلح. ولم تستجب المخلفات الزراعية التجريبية للمعاملات الكيميائية بنفس المستوى من حيث الزيادة المتحصل عليها في قيم الطاقة الاستقلابية والطاقة الصافية لإنتاج الحليب. وكانت التغيرات في قيم ME و NEL نتيجة لتأثير المعاملات الكيميائية بـ HBr أعلى من المعاملات بـ NaOH، وكما كانت التغيرات في المعايير المدروسة على أعلاها نتيجة للمعاملات الكيميائية بتركيز 6%. ولم تستطع المعاملة المشتركة باستخدام جرعات منخفضة من أشعة غاما (20-60 كيلو غراي) مع هيدروكسيد الصوديوم أو حمض هيدروبروميك من زيادة معدلات الارتفاع في قيم ME و NEL للمخلفات الزراعية المدروسة، مقارنة مع المعاملات الكيميائية المنفردة.

إن الزيادات الملحوظة في المعايير المدروسة للمواد المعاملة بـ HBr أو NaOH يمكن أن تعود إلى الانخفاض في مكونات الجدار الخلوي بما أدى غالباً إلى زيادة في أشكال المواد الكربوهيدراتية الذاتية السهلة الهضم. كذلك، أشارت النتائج أن قيم IVOMD و ME و NEL ترتبط بشكل سلبي مع تراكيز الألياف الخام (CF) ( $r = -0.92$ ,  $r = -0.90$ ,  $r = -0.87$ ) ومع قيم ألياف المنظف المتعادل ( $r = -0.96$ ,  $r = -0.94$ ,  $r = -0.91$ ) على التوالي. عند المعاملة بالقلوي، يصبح مركبا اللغنين والهيميسلولوز ذائبين كما يتضخم مركب السلولوز. إن الاستجابة للمعاملات الكيميائية مرتبطة بنوع المخلفات المعاملة وطبيعة المواد اللغنينية وإلى كميات السلولوز واللغنين في المخلف. وجد أن المعاملات الكيميائية لم تستطع رفع قيم ME و NEL في المخلف الزراعي على كميات منخفضة جداً من المواد اللغنينية. كما هو الحال في بذور ثمار البلح (DPS). يتبع حمض هيدروبروميك إلى مجموعة الهالوجينات الحامضية والتي يمكن أن يكون لها فعل أعلى من مجموعة القلويات على الجدران الخلوية. وبذلك فإن الزيادات في قيم ME و NEL نتيجة للمعاملة بـ HBr كانت أعلى نسبياً من المعاملة بـ NaOH.

لم تتمكن المعاملة بالتشعيع (20-60 كيلو غراي) للمخلفات الزراعية المدروسة من رفع قيم ME و NEL ويمكن أن يعود ذلك إلى القدرة الضعيفة لجرعات التشعيع المنخفضة نسبياً في تحطيم المواد اللغنينية. إن الزيادات في قيم معامل هضم المادة العضوية والطاقة الاستقلابية و NEL في المعاملات المشتركة يمكن أن تعود بشكل رئيس إلى تأثير المعاملات الكيميائية حيث لم يلاحظ وجود تأثير التشعيع بجرعات منخفضة على المعايير المدروسة. إن المعاملة بهيدروكسيد الصوديوم أقل كلفة وأكثر أماناً للاستخدام من قبل العمال مقارنة مع حمض هيدروبروميك. وينصح بمعاملة المخلفات الزراعية الغنية بالمواد اللغنينية بهيدروكسيد الصوديوم واستخدامها في تغذية الحيوانات، حيث تعمل على تحسين الوضع التغذوي للحيوانات في المناطق الحافة وشبه الحافة والتي تفتقر إلى المراعي والمصادر العلفية نظراً لقلّة الموارد المائية فيها. إن لحشب تفل الزيتون قيمة غذائية منخفضة جداً ولا ينصح باستخدامه كمادة علفية. بينما لبذور ثمار البلح معامل هضم وطاقة استقلابية مرتفعان وينصح باستخدامها في تغذية الحيوانات بعد جرشها وتكسيدها، دون الحاجة إلى تطبيق أية معاملة إضافية. ■

تشكل المخلفات الزراعية نسبة عالية من الكتلة الحيوية، وإن استخدامها وتدويرها هام من وجهة نظر اقتصادية وبيئية. تحتوي هذه المخلفات على نسبة عالية من المواد اللغنينية المنخفضة في معامل هضمها وقيمتها الغذائية وطاقاتها الهضمية. تم تطبيق المعاملات الكيميائية والفيزيائية لرفع القيمة الغذائية للمخلفات الزراعية اللغنينية. استخدمت المعاملة بجرعات عالية من أشعة غاما لخفض مكونات الجدار الخلوي في بعض المخلفات الزراعية. وأدت المعاملة المشتركة باستخدام جرعات عالية من أشعة غاما (200 كيلو غراي) والمعاملة باليورينا إلى ارتفاع معدل الزيادة في قيم الطاقة الهضمية لبعض المنتجات الزراعية الثانوية مقارنة مع المعاملة المنفردة الكيميائية. وإن الكلفة المرتفعة للجرعة العالية (200 كيلو غراي) يمكن أن تكون عاملاً محدداً لاستخدام هذه التقنية. الغرض من العمل الحالي دراسة التغيرات في قيم معامل هضم المادة العضوية في الزجاج والطاقة الاستقلابية والطاقة الصافية لإنتاج الحليب في بعض المخلفات الزراعية تحت تأثير جرعات منخفضة نسبياً من أشعة غاما (20-60 كيلو غراي) والمعاملة بـ HBr أو حمض هيدروبروميك أو بهيدروكسيد الصوديوم كمحاولة لرفع قيمتها الغذائية.

## نتائج ومناقشة

تمت معاملة عينات من تبن القمح (WS)، قشرة بذرة عباد الشمس (SSS)، خشب تفل الزيتون (OCW)، بذور ثمار البلح (DPS) وقشرة الفول السوداني (PS) وخشب تفل الزيتون (الجزء المتبقي عن نخل تفل الزيتون قطر ثقبه 2.5 مم للحصول على عجينة تفل الزيتون) بتركيزات مختلفة من محلول حمض هيدروبروميك (47% HBr) أو هيدروكسيد الصوديوم (NaOH)، 6.30 مل HBr و 6.3 غ NaOH / 25 مل ماء / 100 غ مخلف كمادة جافة. وضعت العينات المعاملة كيميائياً في أكياس نايلون مغلقة وشععت بجرعات 0، 20، 40، 60 كيلو غراي بأشعة غاما  $^{137}\text{Cs}$  (خلية غاما) وبمعدل جرعة 2.91 كيلو غراي في الساعة، تحت الشروط نفسها من الحرارة والرطوبة. حضنت العينات على درجة 39 مئوية مع سائل الكرش ومزيج من محلول وسطي في سيرينغات زجاجية لحساب معامل الهضم الظاهري للمادة العضوية في الزجاج (IVOMD) والطاقة الاستقلابية ME والطاقة الصافية لإنتاج الحليب (NEL) عن طريق تقدير حجم الغاز الناتج عن تحضين العينات المدروسة إضافة إلى تقدير مكوناتها الغذائية. جمع سائل الكرش من ثلاث كباش (عرق العواس) مزود كل منها بناسور كرش. أشارت النتائج إلى وجود زيادات معنوية ( $P < 0.05$ ) في قيم معامل هضم المادة العضوية لكافة العينات المعاملة بـ HBr أو هيدروكسيد الصوديوم (NaOH)، ما عدا بذور ثمار البلح. وتم الحصول على أعلى زيادة في قيم IVOMD عند المعاملة بـ HBr 6% وبلغت 18% (WS) و 21% (SSS) و 43% (OCW) و 14% (PS)، وكانت الزيادات عند المعاملة بـ NaOH 6%: 21% (WS) و 25% (SSS) و 19% (OCW) و 20% (PS). لم يلاحظ وجود تأثير مؤكد إحصائياً للمعاملة بأشعة غاما (20-60 كيلو غراي) على معامل الهضم الظاهري وعلى قيم الطاقة الاستقلابية والطاقة الصافية لإنتاج الحليب. كما أن المعاملة المشتركة للتشعيع مع HBr أو مع NaOH لم ترفع بشكل مؤكد

# تقدير الكفاءة الثبوتية للأزوت الجوي في زراعة مختلطة من السيبسان *Sesbania aculeata* وذرة السورغوم العلفية *Sorghum* باستعمال تقانة الأزوت $^{15}\text{N}$ 1: دراسة حقلية في ظروف غير مألوفة\*

د. فواز كرد علي، د. خلف خليفة، د. مصدق جانان  
قسم الزراعة - هيئة الطاقة الذرية - ص. ب 6091 - دمشق - سورية.

## ملخص

أجريت تجربة حقلية في ظروف غير مألوفة على السيبسان وذرة السورغوم العلفية المزروعين بشكل منفرد وبشكل مختلط بنسب (1:1، 1:2، 2:1) لتقدير إنتاج المادة الجافة والأزوت الكلي إضافة إلى تقدير نسب وكميات الأزوت المثبت والأزوت الممتص من التربة ومن السماد باستعمال طريقة التخفيف النظيري للأزوت  $^{15}\text{N}$ . ازدادت النسب المثوية للأزوت المثبت في نباتات السيبسان عند اتباع أسلوب الزراعة المختلط بالمقارنة مع أسلوب الزراعة المنفرد للسيبسان. نجمت هذه الزيادة رئيسياً من انخفاض مقدرة السيبسان على امتصاص أزوت التربة، نتيجة المنافسة الحادة مع ذرة السورغوم، وبالتالي زيادة اعتماد السيبسان على الأزوت الجوي لسد احتياجاته من هذا العنصر. انخفضت الحدة التنافسية على امتصاص أزوت التربة بين السيبسان والذرة عند زراعتهما بشكل مختلط في المعاملة التي حوت خطين سيبسان وخط ذرة بحيث امتص النوعان النباتيان كميات متساوية من أزوت التربة والسماد. لقد أظهرت هذه الدراسة أن اتباع أسلوب الزراعة المختلط للسيبسان والذرة بنسبة 2:1 مناسبة من حيث كمية الأزوت الكلي، وقيمة LER للأزوت الكلي، والأزوت المثبت إضافة إلى التوازن الحاصل في امتصاص أزوت التربة بين المحصولين.

الكلمات المفتاحية: السيبسان، ذرة السورغوم، زراعة مختلطة، تثبيت الأزوت الجوي.

## مقدمة

## المواد والطرائق

جرت التجربة في تربة غير مألوفة باستعمال المعاملات التالية: ذرة السورغوم العلفية (زراعة منفردة) سيبسان (زراعة منفردة)، زراعة مختلطة من السيبسان والذرة (سطر سيبسان وسطر ذرة، سطران سيبسان وسطر ذرة، سطر سيبسان وسطران ذرة). استعملت تقنية التخفيف النظيري  $^{15}\text{N}$  لتقدير مصادر الأزوت المختلفة (تثبيت، سماد، تربة) في النبات.

## النتائج والمناقشة

يُعد هذا البحث أول دراسة تتطرق إلى نظام زراعة مختلطة لنبات السيبسان وذرة السورغوم العلفية، حيث بينت النتائج ما يلي:

1 - تراوحت كميات الأزوت المثبتة في السيبسان، خلال الفترة الكاملة للتجربة، من 77 حتى 105 كغ N/هـ، ولكن لم تلاحظ فروق معنوية في كميات الأزوت المثبتة بين مختلف المعاملات على الرغم من تفوق المعاملة (2 سيبسان: 1 سورغوم) على بقية المعاملات الأخرى. أما من حيث النسب المثوية للأزوت المثبت فقد كانت مرتفعة في السيبسان المختلط مقارنة مع السيبسان المنفرد، حيث بلغت القيم 39، 62، 83

يعتبر اتباع أسلوب الزراعة المختلط للنباتات البقولية والنباتات النجيلية من أساليب الزراعة المتبعة في العديد من دول العالم. بين عدد من الباحثين أهمية هذا الأسلوب من الزراعة من حيث زيادة إنتاج المادة الجافة وكفاءة تثبيت الأزوت الجوي ورفع كفاءة استثمار الأراضي الزراعية إلى الدور الإيجابي لمخلفات النباتات في التغذية الأزوتية للمحاصيل اللاحقة. لقد بينت بعض الدراسات أهمية زراعة ذرة السورغوم بشكل مختلط مع أنواع مختلفة من النباتات البقولية، ولا توجد أي دراسات سابقة حول زراعة السيبسان مع ذرة السورغوم، وبالتالي يعد هذا العمل جديداً لتقييم سلوك هذين النوعين النباتيين في نظام الزراعة المختلط، بحيث تهدف إلى تقييم الزراعة المختلطة لنبات السيبسان وذرة السورغوم العلفية المزروعين بنسب مختلفة، وذلك من حيث إنتاج المادة الجافة والأزوت الكلي وكفاءة استعمال الأرض وتثبيت الأزوت الجوي بالمقارنة مع الزراعة المنفردة لهما، إضافة إلى تقييم حدة المنافسة بين الأنواع المدروسة في امتصاص أزوت التربة.

\* تقرير مختصر عن تجربة استطلاعية حقلية أجريت في قسم الزراعة - هيئة الطاقة الذرية السورية.

السيبان والذرة عند زراعتها بشكل مختلط في المعاملة التي حوت خطين سيبان وخط ذرة بحيث امتص النوعان النباتيان كميات متساوية من أزوت التربة والسماذ.

3 - لم يلاحظ وجود احتمال لانتقال الأزوت من السيبان إلى الذرة في معاملات الزراعة المختلطة كافة.

4 - يُعد اتباع أسلوب الزراعة المختلط السيبان والذرة بنسبة 2: 1 مناسباً من حيث كمية الأزوت الكلي، قيمة LER للأزوت الكلي، والأزوت المثبت إضافة إلى التوازن الحاصل في امتصاص أزوت التربة بين المحصولين. ■

90% في السيبان في المعاملة المنفردة والمعاملات المختلطة (2 سيبان: 1 سورغوم، 1 سيبان: 1 سورغوم، 1 سيبان: 2 سورغوم) على التوالي. يعود السبب في زيادة النسب المثوية للأزوت المثبت في نباتات السيبان في الزراعة المختلطة مقارنة بالمنفردة إلى انخفاض مقدرة السيبان على امتصاص أزوت التربة، نتيجة المنافسة الحادة مع ذرة السورغوم، وبالتالي زيادة اعتماد السيبان على الأزوت الجوي لسد متطلباته من هذا العنصر.

2 - كانت حدة المنافسة، بين النوعين، على امتصاص أزوت التربة مرتفعة في المعاملتين (سطر سيبان وسطر ذرة) و(سطر سيبان وسطران ذرة) في حين انخفضت الحدة التنافسية على امتصاص أزوت التربة بين

## دراسة خلية ليثولوجية صناعية لحجز النورم النفطي المطروح بجوار حقول النفط السورية\*

محسن علي موسى

قسم الجيولوجيا - هيئة الطاقة الذرية - 6091 - دمشق - سورية.

### ملخص

حددت في هذه الدراسة نوعية ومواقع واحتياطي الفضاريات (الطين) وبعض الصخر والحصى في القطر، وإمكانية استخدامها في صنع خلية ليثولوجية كحاجز جيولوجي طبيعي، طبقاً لإحدى الخيارات البديلة المعمول بها دولياً، بهدف التخلص النهائي من نفايات النورم (NORM) النفطية طويلة عمر النصف وضعيفة السوية الإشعاعية، كون حاجز كهذا يخدم بيئياً وأمان لعشرات آلاف السنين عبر طبقاته المتعددة.

الكلمات المفتاحية: غضار، صخر، حصى، خلية ليثولوجية، نفايات النورم النفطية، بيئة.

### مقدمة

النورم، وعلى سوية النشاط الإشعاعي لها. فهناك بدائل عدة يمكن تطبيقها، كل على حدة، للتخلص من نفايات النورم النفطية الرئيسية ذات الأصناف الثلاثة، المياه المنتجة مع النفط والرواسب الحرفشية ورواسب الحمأة (طين ووسخ مترسب).

إلا أن المياه المنتجة مع النفط تسببت في تلوث التربة السطحية في مواقع عدة لإنتاج النفط السوري، وذلك لعدم إعادة حقن المياه المنتجة مع النفط آنذاك في التشكيلات الجيولوجية العميقة ثانية أو في حواملها النفطية الأم بعيداً عن المياه الجوفية. مما يستدعي وضع خطة إلى تلافية الأخطار التي سيستج عنها تلوث المياه الجوفية، وتعرض الإنسان والبيئة في المنطقة لخطر التلوث الإشعاعي المباشر، مع العلم أن حوادث التلوث هذه لن تتكرر ثانية، نتيجة لإجراءات مسؤولة أوعزت باستخدام تقنية إعادة المياه المنتجة مع النفط بحقنها إلى التشكيلات الجيولوجية العميقة ثانية، وعدم إلقائها على السطح.

وحتى يتم التمكن من معالجة الوضع الحرج الحالي في مواقع التربة الملوثة، يقترح الاستفادة من استخدام تقنية التغطية بالحاجز الطبيعي

إن الحلول القاضية بالتخلص من نفايات النورم (NORM) النفطية معقدة جداً وتنطوي على عتبة إحصائية لمشاكل فنية واجتماعية يمكن أن تستمر لآلاف السنين. فعلى سبيل المثال يبلغ عمر النصف للراديويم  $^{226}\text{Ra}$  1602 سنة. فينبغي لذلك أن تتضمن خطط التخلص النهائي من هذه النفايات ذات التركيز الإشعاعي المنخفض من الراديويم  $^{226}\text{Ra}$  (حيث تقع عادة ضمن المجال 2-75 بكريل/غ) [API, 1992] مسؤولية كبيرة تتعلق بتقديم حماية للإنسان والبيئة، وذلك بالاعتماد على التنبؤات طويلة الأمد في حساب تقدير تحليل الأمان لمواقع التخلص النهائية. وتعتبر مشكلة النفايات الطبيعية المشعة (NORM) النفطية من المشاكل الحديثة نسبياً، بسبب التعرف والتنبه المتأخر لها، وكان ذلك وللمرة الأولى في بحر الشمال (أوائل الثمانينيات من القرن المنصرم نتيجة أعمال صيانة للمعدات النفطية)، ولاحقاً في مواقع إنتاجية للنفط في الولايات المتحدة الأمريكية وتابع هذا تدريجياً في جميع الدول المنتجة للنفط. فالخيارات المعتبرة من أجل التخلص من هذه النفايات تعتمد بشكل رئيس على كمية

\* تقرير مختصر عن دراسة علمية مكثبة أنجزت في قسم الجيولوجيا - هيئة الطاقة الذرية السورية.

وقدرته على عزلها من عوامل التعرية والتجوية ولفترات زمنية كافية لاضمحلال الراديوم  $Ra^{226}$  إلى عمر النصف لتتجاوز آلاف السنين، مع تحديد نوعية ومواقع واحتياطي الغضاريات والحصى والصخر المناسب في بناء هذه الخلية، الشكل 2. مع التنويه إلى أن أراضي القطر تفتقر إلى بعض الصخور النارية مثل الغرانيت، مما يجعل استخدام الصخور والحصى البازلتية والكلسية والكلسية الدولوميتية بديلاً حتمياً لتلك.

كما وأنه بشكل عام تزداد درجة العزل مع ازدياد عمق الدفن والبدايل المعمول بها دولياً مرتبة حسب تسلسل ازدياد درجة العزل وفقاً لسوية تركيزها، الشكل 3. فالأعمال الأولى التي يمكن التوصية بها لإنجاز هذا العمل الهام بنجاح تام، هي:

- الاعتماد على الخبرات والمعطيات المتوفرة عن مواقع التربة الملوثة من خلال مشاريع ودراسات جيولوجية وهندرجية سابقة.

- البدء في أقرب وقت ممكن بتنفيذ مهمات حفلية لإجراء الاختبارات اللازمة (حفلية وفي المخبر) للحصول على نتائج دقيقة وموثقة عن نوعية الغضار السوري في المواقع الاحتياطية والقريبة قدر الإمكان من مواقع التلوث، بغية دراسة خصائصه المسامية والنغودية. حيث يقترح مبدئياً المواقع التالية: (T<sub>4</sub>)، منخفض حمص، الرقة). تقضي مواقع تكشف الصخر والحصى المفترض أن تكون صالحة لتشكيل الخلية من حيث الخصائص الميكانيكية (الصلابة والمقاومة لعوامل التعرية والتجوية) ويقترح مواقع الصخور البازلتية المتكشفة في أقصى شمال شرق القطر وشمال

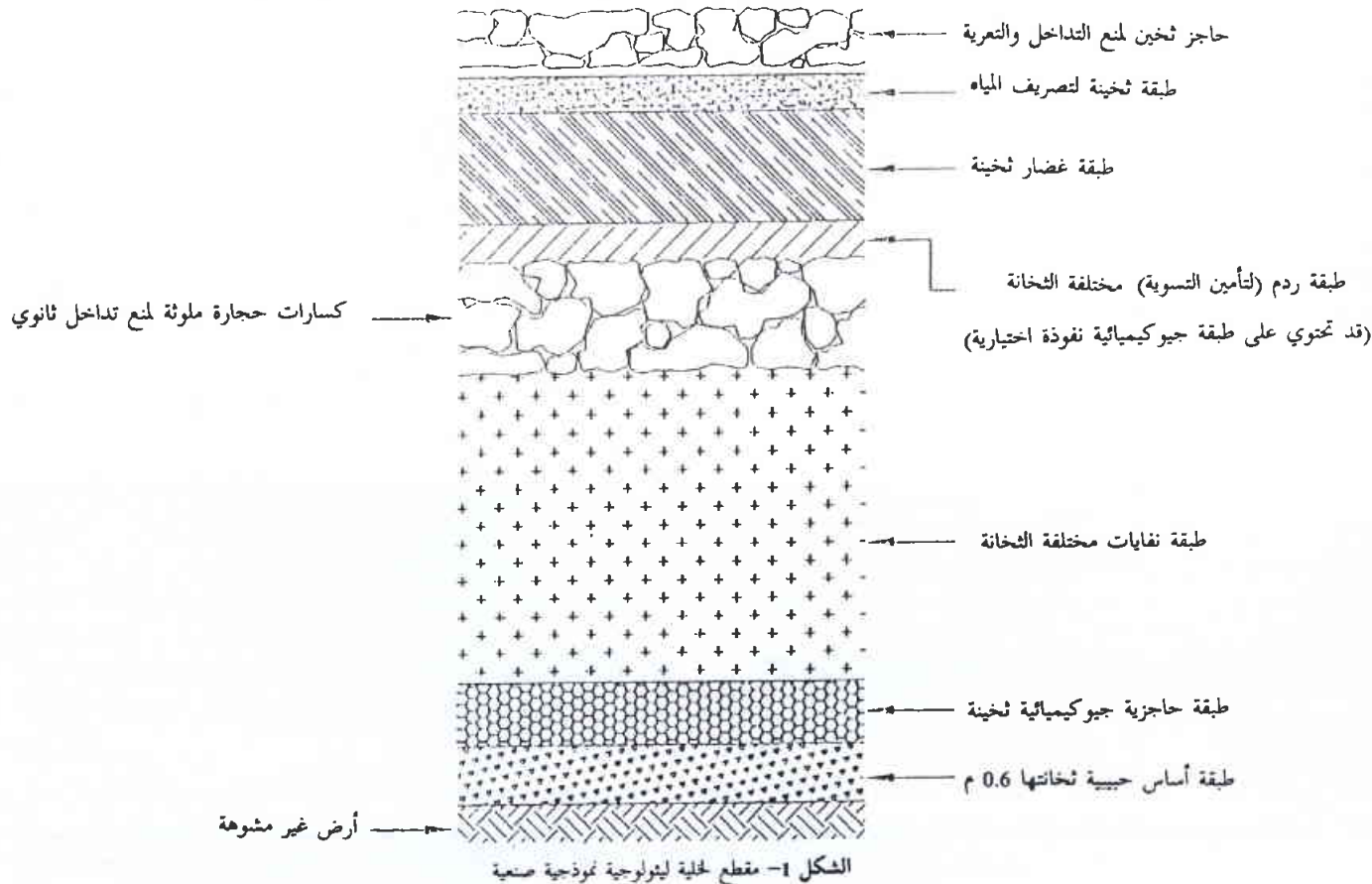
(الحاجز الجيولوجي) المعمول بها دولياً، كي لا تحدث عملية التلوث المباشر على السطح أو الانحلال (الخطرة) من جراء انتقال الراديوم  $Ra^{226}$  عبر المياه الجوفية إلى الغلاف الحيوي للأرض. ويتألف جدار الخلية الليثولوجية النموذجية (خصائص صخرية) بشكل عام من طبقات متتالية من مواد جيولوجية طبيعية، مثل الغضار (الطين) والصخر والحصى والتربة النظيفة من التلوث الإشعاعي والعدسة (الحصى الناعم)، لتشكيل حاجزاً طبيعياً يحول دون نفوذ مياه الرشح - من جميع الجوانب - إلى طبقة التربة الملوثة.

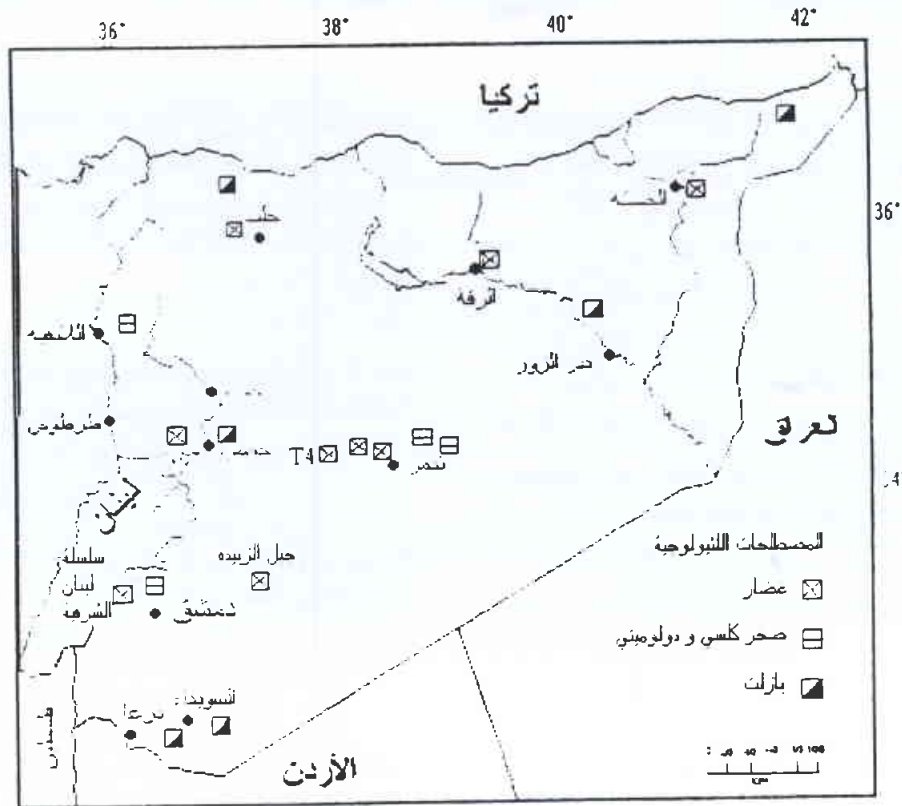
لذا تعتبر مسألة دراسة صلاحية المواد الداخلة في عملية هندسة الخلية الليثولوجية، مثل الغضار والصخر والحصى المناسبة والصالحة، من الأعمال الهامة والرئيسة في مشروع حصر التربة الملوثة في القطر.

### نتائج ومناقشة

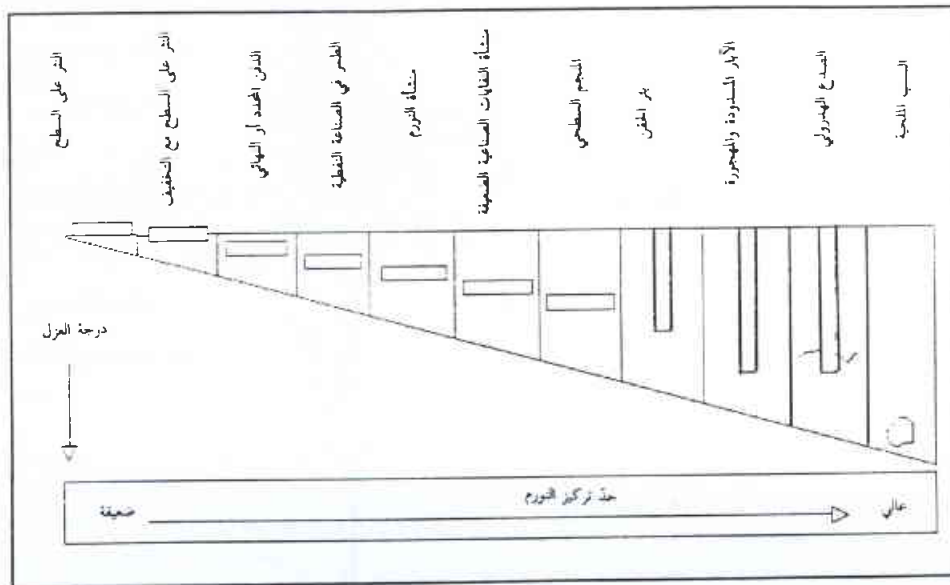
تهدف هذه الدراسة بشكل رئيس إلى تقديم اقتراح أولي يفيد في التمكن من حصر التربة الملوثة بالراديوم  $Ra^{226}$  في القطر بطريقة التغطية بالحاجز الطبيعي (الحاجز الجيولوجي) المعمول به دولياً للتخلص النهائي من نفايات النورم بأنواعها.

يدخل في إطار هذا العمل الاستشاري مقياس هامة من شأنها العمل للوصول إلى اختيار خلية نموذجية فنية تتناسب مع الوضع الراهن للتربة الملوثة، الشكل 1. حيث يتطلب الأمر بالدرجة الأولى منع إمكانية تسرب المياه السطحية أو الجوفية إلى طبقة النفايات المشعة (التربة الملوثة) عبره





الشكل 2- توزع المنشآت النووية والصخور الكلسية والدولوميتية والبارلتية المقترح استغلالها في بناء الخلية الليثولوجية.



الشكل 3- درجة حصر نفايات النورم (NORM) وفقاً لسوية تركيزها. [Suhas Bodwadkar, 1992]

- إنشاء نموذج/ موديل/ مصغر للخلية الفنية المقترحة لإمكانية تحديد سير العمل في المواقع بشكل مبسط ومنظم واطلاع الجهات المسؤولة على خطة العمل.

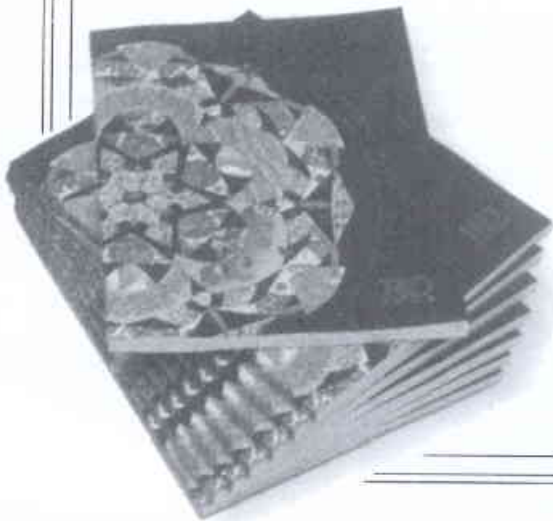
- مشاركة خبرات محلية وأجنبية في تنفيذ هذا المشروع، وتكليف الخبرات المعنية بهذه التقانات فقط. ■

غرب دير الزور، والعائدة للعرم الرباعي والبيليوسين ومواقع الصخور الكلسية الدولوميتية في شمال شرق تدمر العائدة للعرم الجوراسي والكرتاسي.

- تحديد مواقع صالحة لإنشاء مثل تلك الخلايا الصناعية عليها، حيث يقترح هنا أن تقام على تلال مرتفعة بعيداً عن مياه تجمع الأمطار والسيول وفي الأماكن النائية (البادية مثلاً).



# كتب حديث مختارة



# 1- فيزياء مكاشيف الجسيمات

## The Physics of Particle Detectors

تأليف: د. غرين

عرض وتحليل: شلدون ل. ستون\*\*

الإتلافية (أو تلك التي تعد في أساسها لإتلافية) ونبائط الامتصاص المخربة للجسيمات.

وفي هذا الكتاب، عولجت المادة التمهيديّة بطريقة بديهية إلى حد ما دون اللجوء إلى اشتقاقات دقيقة جداً. وكان التوجه الأخير ناجحاً حيث يعلن المؤلف بصراحة أسلوبه هذا ثم يُحيلنا إلى توصيات أكثر دقة وصرامة. وقد اختلفت في نوعيتها بعض الأجزاء ضمن الفصول. فكانت ممتازة تلك الأجزاء التي عالجت مواضيع الإشعاع الانتقالي، والحقول المغنطيسية، ومقياسية كمية الحرارة الهدرونية والكهرطيسية؛ كما كان الشرح واضحاً لهذه المجالات مع تقديم أمثلة عليها. وقد تمّ بعناية شرح الفكرة الأساسية التي تقيّد باعتماد الإشعاع الانتقالي على العديد من معابر الأوساط الرقيقة. وبشكل خاص، كانت المناقشات المتعلقة بمقياسية كمية الحرارة واضحة تماماً. أما الجزء المتعلق بإشعاع شيرنكوف فقد عولج بشكل أقل جودة مما سبق. فمن حيث المبدأ، فقيّد الاختلافات ما بين العتبية ونبائط التصوير الحلقي؛ كما لم تناقش مصادر الخطأ المتعلقة بنصف القطر الحلقي.

ولم يرد في الكتاب ذكر للعديد من منظومات RICH الضخمة المتبركة (Rich Imaging Cherenkov) والتي جرى بناؤها في التسعينيات من أجل التجارب المعروفة باسم: DELPHI، وSLD، و BABAR، و III CLEO، كما أن قائمة المراجع كانت ناقصة حول هذا الموضوع. إضافة لما سبق ذكره، لم يُغطّ الكتاب المواضيع الهامة والتي نذكر منها، على سبيل المثال، منظومات تتبع الليف الوامض ومكاشيف العنصورة pixel. على أية حال، من المتوقع أن يحدث عجز في التغطية ضمن عمل بهذا القدر من الإحاطة والشمول.

ويُعدّ كتاب "فيزياء مكاشيف الجسيمات" رقيقاً مرغّباً به ومكملاً لأعمال أخرى تشمل مجلدات تقدم تفاصيل أكثر بشأن تقانات محددة أو توفر اشتقاقات أكثر دقة وصرامة. ومن بين الأعمال الأخرى المنوه بها نذكر سلسلة كتب صادرة عن دار الطباعة والنشر لجامعة كامبردج بعنوان: "مكاشيف الجسيمات" للمؤلف Klaus Grupen (1996)؛ وكتباً أخرى بالعناوين التالية:

- ◆ "تقنيات لتجارب الفيزياء النووية وفيزياء الجسيمات" للمؤلف William R. Leo (Springer-Verlag, 1994)؛
- ◆ "مدخل إلى الفيزياء التجريبية للجسيمات للمؤلف Richard Fernow (Cambridge U. Press, 1986)؛
- ◆ "مكاشيف لإشعاع الجسيمات" للمؤلف Konrad Kleinknecht (Cambridge U. Press, 1998)؛
- ◆ "كشف الجسيمات بحجرات الانجراف" - للمؤلفين Walter Blum و Luigi Rolandi (Springer-Verlag, 1994)؛
- ◆ "علم الأجهزة في فيزياء الطاقة العالية" للمؤلف Fabio Sauli (World Scientific, 1992).

تعد مكاشيف الجسيمات ضرورية لمجال واسع من دراسات فيزياء الطاقة العالية سواء الكونية منها أو تلك المتعلقة بالسرعات. فالمكاشيف تتيح لنا رؤية أجسام متنوعة مثل النترينوات neutrinos الوافدة إلينا من المستعرات الفارقة، ومن اضمحلالات الميزونات mesons المحتوية على كواركات ثقيلة، إضافة إلى البوزونات المعيارية. كذلك، يمكن بواسطة مكاشيف الجسيمات تحقيق مكتشفات مستقبلية كبوزون هغز Higgs boson المفترض، إضافة إلى قياسات ذات أهمية حاسمة مثل انتهاك "شحنة اقتران الندية (CP) charge conjugation - parity" في اضمحلالات ميزون B. مع ذلك، غالباً ما يجري تجاهل العلم الحقيقي الخاص بآليات عمل المكاشيف كما يجري، في كثير من الأحيان، التفاضلي عن إجراء تدريب عام على تقانة المكاشيف. وكتاب دان غرين بعنوان "فيزياء مكاشيف الجسيمات" يبذل جهداً عظيماً كي يُقدّم في مجلد واحد، جميع المقومات الأساسية اللازمة لاستيعاب أولي لآليات عمل معظم المكاشيف التي تستخدم في فيزياء الجسيمات.

وهذا الكتاب المنوه به موجه إلى طلاب الدراسات العليا وإلى باحثين آخرين في حقل فيزياء الجسيمات الأولية التجريبية. ويعد غرين، مؤلف الكتاب، القائد الذي أشرف على بناء مكاشيف CMS لمصادم الهدرون الضخم، بروتون - بروتون، بطاقة 14 TeV لدى مختبر CERN. وتتألف المكاشيف على غرار CMS من مجموعات مكاشيف ثانوية عديدة subdetectors يعتمد كل منها على تقانة مختلفة ويوجد لكل منها وظيفة وحيدة. وهذا الكتاب، بدلاً من تركيزه على المعرفة المباشرة اللازمة لبناء منظومة محددة، يتفحص أسس الفيزياء وراء الجسيمات مع المادة وكيف يذو ممكناً استغلال هذه التأثيرات لإظهار بعض من خواص الجسيمات - ككتلتها وانذفاعها الخططي، وطاقتها، على سبيل المثال.

"فيزياء مكاشيف الجسيمات" كتاب مليء بالرؤى المتعمقة ويُعدّ أداة تثقيفية مفيدة. (فعلى سبيل المثال، استخدمت، في هذا الكتاب، طريقة هندسية لاستنتاج حقيقة أن سلم المقاطع العرضية النووية هو بمثابة العدد الذري مرفوعاً إلى القوة 2/3). كذلك، زُود هذا الكتاب بالمسائل عند نهاية كل فصل منه بحيث أضحى ممكناً اعتباره الأساس لمقرر يدرّس في مدرسة صيفية مثلاً. وجرى أيضاً، في هذا الكتاب، تقديم نظرات عامة فيما يتعلق بكامل منظومات الكشف ووضع تمييز واضح ما بين القياسات

\* By Dan Green, Cambridge U. Press, New York, 2000

\*\* شلدون ل. ستون: جامعة سيراكيوز، سيراكيوز، نيويورك.

- العرض والتحليل عن مجلة: Physics Today, August 2001. ترجمة هيئة التحرير - هيئة الطاقة الذرية السورية.

يعدّ كتاب مدخل إلى الدينامية اللاخطية التجريبية لمؤلفه لورانس ن. فيرجن Lawrence N. Virgin فريداً من نوعه، يعالج فيه المؤلف موضوعاً رياضياتياً إلى أبعد حدّ من وجهة نظر تجريبية، إذ يدمج فيه فيرجن النظرية والتجربة جيداً. فالمتدثون في مجال الدينامية اللاخطية ونظرية الشواش سيجدون مقدمة المفاهيم في الكتاب سهلة الاستيعاب ومعروضة بطريقة فيزيائية ذات مغزى رفيع. كذلك سيكون الكتاب مفيداً للمتخصصين في الشواش واللاخطية، في مقارنة التجارب مع النماذج النظرية. لقد كان فيرجن بارعاً في الميكانيك النظري والتطبيقي واستخدام تجارب ميكانيكية رائعة كمنطلق للبحث في السلوك اللاخطي والنماذج الرياضياتية.

يستعرض فيرجن في الفصلين الأول والثاني من الكتاب نظرية الاهتزازات الخطية، بما فيها الاهتزازات القسرية والتجارب. وفي الفصل الثالث يقدم مفاهيم عن الفضاء الطوري، ومقاطع بوانكاريه 'Poincare'، والتشعبات في سياق هزاز بسيط. ويعرض في الفصلين الرابع والخامس النموذج الرياضياتي لحسيم في كمون بترين والتماثل الميكانيكي في بنية محدّبة. وفي الفصول السادس والسابع والثامن والتاسع والعاشر ينتقل فيرجن بالقارئ إلى عالم الاهتزازات الشواشية، مستخدماً نموذجاً التجريبي لهزاز ذي بترين. إذ يقدم الأفكار عن الاهتزازات اللاخطية الحرة، والسلوك التوافقي الجزئي، والترابط الذاتي، وأساس (ج. أس) لياونوف، بالإضافة إلى مقاطع بوانكاريه الكسرية التجريبية الرائعة مع مقارنات مع الحلول الرقمية. كما أنه يناقش فكرة الهروب من بئر كمونية.

في الفصل الحادي عشر يقدم فيرجن وصفاً لتجربة ميكانيكية أخرى تعتمد على نابض تقسية، ويناقش حاذب يوشيسوك يودا Yoshisuke Ueda الياباني مع لاخطية مكعبة بحتة. ويمثل هزاز الصدم تحت انقطاع حادّ ثنائي الخطية تجربة أخرى تم تحليلها في الفصل الثاني عشر. ويختتم فيرجن كتابه ببعض قضايا التشعب الشاملة المتعلقة بالحركات شبه الدورية، وحدود الحوض الكسورية، ونظرية ميلنيكوف Melnikov، والحركات الانتقالية الشاملة.

يجري فيرجن تدقيقاً واقعياً على النظرية ويوضح النشاط التجريبي للظواهر اللاخطية. وفي نهاية كتابه يصف أيضاً تجربة ذات دارة كهربائية، من أجل الذين يرغبون باستكشاف الشواش بفولطيات بدلاً من حركات ميكانيكية.

يعدّ كتاب فيرجن واضحاً ودقيقاً. إذ يحوي بعض المعادلات الرياضياتية، لكن الطابع العام فيه يميل نحو التوضيح الفيزيائي مع عروض مرئية وتصويرية. ويُنصح بوضع هذا الكتاب في مكتبات الطلاب والباحثين في مجال العلوم اللاخطية. ■

إضافة لما سبق، تُعدّ محاضر الجلسات الصادرة عن مختلف المدارس الفكرية والمؤتمرات موارد عظيمة في هذا المجال.

ومن محاضر الجلسات ذات الصلة نذكر تلك الخاصة بالجمعية العالمية لمسرعات المستقبل (ICFA) بعنوان " المدارس الفكرية حول علم الأجهزة في الفيزياء الأولية للجسيمات "Schools on Instrumentation in Elementary Particle Physics" والتي قامت بإصدارها تبعاً دور النشر التالية:

◆ C. W. Falbjan (1988) World Scientific - تحرير وإعداد J. E. Pilcher و

◆ J. C. Angus (1992) World Scientific - تحرير وإعداد J. C. Angus ورفاقه؛

◆ G. Herrera Corral (1998) AIP Press - تحرير وإعداد M. Sosa Aquino و

◆ Sehban Kartal (2000) AIP Press - تحرير وإعداد

وهناك أيضاً سلسلة بعنوان "Beauty 1993 - 2000"، والتي جرى نشر الأخيرة منها في المجلد A446 لعام 2000 من مجلة Nuclear Instruments and Methods، إضافة إلى محاضر الجلسات الخاصة بثلاثة مؤتمرات حول إشعاع شيرنكوف تم نشرها في مجلة: Nuclear Instruments and Methods in Physics Research، وصدرت بالعناوين الثلاثة التالية:

(1) "تقنيات تجريبية للتصوير الضوئي بشيرنكوف"، المجلد (1994) A343 - تحرير وإعداد Eugenio Nappa و Thomas Ypsilantis؛  
(2) "تقنيات ونتائج للتصوير الضوئي بشيرنكوف في الفيزياء العالية الطاقة"، المجلد A371 (1966) - تحرير وإعداد Tord Ekelof؛  
(3) "تحسينات في تقنيات واستخدامات التصوير الضوئي بشيرنكوف"، المجلد A488 (1999) - تحرير وإعداد Amos Breskin، Rachel Checkik، و Thomas Ypsilantis. ■

## 2- مدخل إلى الدينامية اللاخطية التجريبية: دراسة حالة في الاهتزازات الميكانيكية Introduction to Experimental Nonlinear Dynamics: A Case Study in Mechanical Vibration

تأليف: لورانس ن. فيرجن

عرض وتحليل: فرنسيس س. مون\*\*

★ By Lawrence N. Virgin. Cambridge U. Press, New York 2000

\*\* لورانس ن. فيرجن: دار نشر كامبردج - نيويورك.

- العرض والتحليل عن مجلة: Physics Today, August 2001. ترجمة مكتب الترجمة - هيئة الطاقة الذرية السورية.

# تعريف بمنشورات هيئة الطاقة الذرية المعدّة للبيع

## Publications of the AEC of SYRIA

السعر (ل.س من داخل القطر) ( \$ من خارج القطر)	الشكل	منشورات عامة
15 ل.س \$ 3	كتيب مطبوع Printed Book	1- النظائر المشعة في الحياة اليومية (ترجمة دائرة الإعلام والترجمة والنشر) Isotopes Day Life
40 ل.س \$ 9	كتيب مطبوع Printed Book	2- ما يجب أن يعرفه الطبيب الممارس في معالجة المتعرضين للإشعاع What The General Practitioner (MD) Should Know About Medical Handling of overexposed Individuals (ترجمة قسم الوقاية والأمان)
80 ل.س \$ 7	كتاب مطبوع Printed Book	3- مستويات التدخل المقدرة لمواجهة تلوث الطعام بالنظائر المشعة (إرشادات للتطبيق بعد الانتشار الواسع للتلوث الإشعاعي الناتج عن حادث نووي كبير) Derived Intervention Levels for Radionuclides in Food (ترجمة الدكتور إبراهيم عثمان)
160 ل.س \$ 15	كتاب مطبوع Printed Book	4- تشعيع الغذاء (تقنية لحفظ الغذاء وتحسين سلامته) Food Irradiation (A technique for Preserving and Improving the Safety of Food) (ترجمة الدكتور نجم الدين شرابي)
250 ل.س \$ 25	كتاب مطبوع Printed Book	5- نظرية الكم وقصتها الغريبة (ترجمة محمد وائل الأناسي) L'étrange Histoire des Quanta
160 ل.س \$ 8	كتاب مطبوع Printed Book	6- حقائق حول تشعيع الأغذية سلسلة نشرات الحقائق صادرة عن المجموعة الاستشارية الدولية لتشعيع الأغذية Facts about Food Irradiation (ترجمة الدكتور نزار حمد)
100 ل.س \$ 10	كتاب مطبوع Printed Book	7- الإشعاع: الجرعات - الآثار - المخاطر (ترجمة الدكتور إبراهيم عثمان - المهندسة مها عبد الرحيم) Radiation: Doses, Effects, Risks
100 ل.س \$ 6	كتيب مطبوع Printed Book	8- دروس من حوادث وقعت في منشآت التشعيع الصناعية Lessons Learned From Accidents In Industrial Irradiation Facilities (ترجمة الدكتور محمد قفّع)
200 ل.س \$ 10	كتاب مطبوع Printed Book	9- الاختبارات اللاتلافية: طريقة التصوير الشعاعي الصناعي (تأليف الدكتور وفيق حرارة) Industrial Radiography Method
300 ل.س \$ 25	كتاب مطبوع Printed Book	10- الطاقة الذرية لأغراض عسكرية (ترجمة مكتب الترجمة والتأليف والنشر) Atomic Energy for Military Purposes
300 ل.س \$ 25	كتاب مطبوع Printed Book	11- معجم المصطلحات العلمية والتقنية (إنكليزي-عربي) (طبعة جديدة موسعة) Dictionary of Technical Terms in the Field of Atomic Energy
350 ل.س \$ 15	كتاب مطبوع Printed Book	12- تثبيت النيتروجين الحيوي للآزوت الجوي (تأليف الدكتور فواز كرد علي) Biological Nitrogen Fixation

ملاحظة: يمكن طلب هذه المنشورات من مكتب الترجمة والتأليف والنشر في هيئة الطاقة الذرية - دمشق - شارع 17 نيسان - هاتف 6111926/7.

**Key Words**

waste, digestibility, energy, chemical, irradiation.

★ A short report on a field exploratory experiment achieved in the Department of Agriculture, Atomic Energy Commission of Syria.

**MEASUREMENT OF N<sub>2</sub> FIXATION IN SESBANIA ACULEATA  
PERS. AND SORGHUM BICOLOR L. GROWN IN INTER-  
CROPPING SYSTEM USING <sup>15</sup>N TECHNIQUE  
1: FIELD EVALUATION UNDER NON-SALINE CONDITIONS\***

F. KURDALI, K. KHALIFA, M. JANAT

*Department of Agriculture, Atomic Energy Commission, P. O.Box 6091, Damascus, Syria.*

**ABSTRACT**

A field experiment on Sesbania and Sorghum bicolor grown in monocropping and in intercropping system was conducted under non-saline conditions to evaluate dry matter production, total N yield, soil N uptake and N<sub>2</sub>-fixation using <sup>15</sup>N isotope dilution method. Three different row ratios of sesbania (ses) and sorghum (sor) were subjected in the intercropping system (2 ses: 1 sor; 1ses: 1sor and 1ses: 2sor row ratio).

Percentages of N<sub>2</sub> fixation in the intercropped sesbania were considerably enhanced compared with the pure stand of sesbania. This was mainly attributed to the depletion of soil N resulting from the greater apparent competitiveness of sorghum for soil N, and consequently, a greater dependence of sesbania on N<sub>2</sub> fixation. However, the degree of the intraspecific competition for soil N uptake was affected by the proportion of crops in the mixture, and it was considerably reduced in the 2 ses: 1sor row ratio. This was demonstrated when an equal depletion of soil and fertilizer N uptake occurred for both crops. Row intercropping with crops grown in alternation of two rows of sesbania with one row of sorghum, seemed to be the most adequate row ratio in terms of total N yield, LER, N<sub>2</sub>-fixation and soil N uptake balance of the component crops.

**Key Words**

sesbania aculeata, sorghum bicolor, intercropping, N<sub>2</sub>-fixation.

★ A short report on a field exploratory experiment achieved in the Department of Agriculture, Atomic Energy Commission of Syria.

**STUDY OF AN ENGINEERED LITHOLOGICAL CELL TO  
ISOLATE THE OIL NORM BESIDE SYRIAN OIL FIELDS\***

M. ALI-MOUSSA

*Department of Geology, Atomic Energy Commission, P. O.Box 6091, Damascus, Syria.*

**ABSTARCT**

This study has defined types and sites in addition to reserves estimation of clays and rocks (limestone, dolomitic limestone, basalt) and pebbles in Syria, and the possibility of using them in making a lithological cell (natural geological barrier). This option is adopted according to international disposal alternatives. The aim of construction of type cell is to achieve a permanent disposal of low level activity oil NORM - waste (long halftime) and to protect the human health and safety of the environment for tenth of thousands of years through its multi natural layers.

**Key Words**

clays, rocks (limestone, dolomitic limestone, basalt), pebbles, lithological cell, oil NORM-waste, environment.

★ A short report on a office scientific study achieved in the Department of Geology, Atomic Energy Commission of Syria.

## REMOVAL OF CADMIUM FROM PHOSPHORIC ACID BY LIQUID-LIQUID EXTRACTION WITH TOPO IN KEROSENE<sup>★</sup>

S. KHORFAN

*Hydrometallurgy Office, Atomic Energy Commission, P. O. Box 6091, Damascus, Syria.*

### ABSTRACT

Cadmium is present in all phosphate rocks in concentrations ranging from 1 to 90 ppm. During digestion of the rocks with concentrated sulfuric acid, 70-80% wt of Cd is transferred into the phosphoric acid liquid phase while 20-30% wt remains in the phosphogypsum solid phase. So eventually Cd is transferred from the rocks into the phosphatic fertilizers. It is well known for sometime that Cd is poisonous and the presence of 1 mg/l of Cd in water caused bone illness called itai-itai in Japanese. Most environmental agencies are concerned about reducing the content of phosphatic fertilizers from Cd.

Several studies were undertaken to reduce Cd in phosphoric acid. Some experimented with ion-exchange. Others with basic solvents such as Tri Octyl Amine TOA while others used commercial phosphoorganic solvents such as Cyanex 203.

This paper studied the extraction of Cd from phosphoorganic solvents such as TBP, D2EHPA and TOPO in kerosene. TOPO was found to give the best extraction efficiency especially in the presence of chloride medium. The extraction was found to increase with an increase of the chloride ion concentration and the TOPO concentration. Temperature had a slight negative influence on extraction. Increasing the concentration of Cd or phosphoric acid while keeping the chloride concentration constant had a negative effect on extraction.

### Key Words

*Sesbania aculeata, Helianthus annuus, salinity, N<sub>2</sub>-fixation.*

★ A short report on a laboratory scientific study achieved in the Hydrometallurgy Office, Atomic Energy Commission of Syria.

## DIGESTIBILITY AND ENERGETIC VALUE OF AGRICULTURAL WASTES AS AFFECTED BY GAMMA IRRADIATION AND CHEMICAL TREATMENTS<sup>★</sup>

M. R. AL-MASRI

*Department of Agriculture, Atomic Energy Commission, P. O.Box 6091, Damascus, Syria.*

### ABSTRACT

Experiments were carried out to study the changes in the values of in-vitro apparent organic matter digestibility (IVOMD), metabolizable energy (ME) and net Energy lactation (NEL) of wheat straw, sunflower seed shell, olive cake wood, date palm seeds and peanut shell after spraying with different concentrations of hydrobromic acid (HBr) and sodium Hydroxide (NaOH) (0, 3, 6 ml HBr and 3, 6 g NaOH/25 ml water/100 g DM) or after exposure to various doses of gamma radiation (0, 20, 40, 60 kGy).

Results indicated that, except for the date palm seeds, the chemical treatments with either HBr or NaOH significantly ( $P < 0.05$ ) increased IVOMD, ME and NEL values for all treated samples. The experimental agricultural wastes did not respond equally to the chemical treatments investigated, i.e., they differ in the induced increases pertaining to their IVOMD, ME and NEL. The highest changes in the studied parameters due to chemical treatments were obtained when applying the 6% concentration. There was no significant effect ( $P < 0.05$ ) of irradiation on IVOMD, ME and NEL values for all treated samples. Moreover, the combined treatments of irradiation and hydrobromic acid or sodium hydroxide were found to have no significant effect on the IVOMD, ME and NEL values compared to the individual chemical treatments.

## MODIFICATION OF EXTERMINATOR-2 PC-VERSION\*

**M. ALBARHOUM, S. MOHAMAD, Y. KAMLEH**

*Department of Physics, Atomic Energy Commission P.O. Box 6091, Damascus, Syria*

### ABSTRACT

EXTERMINATOR-2 has been modified to make it friendly usable. The input file now is an external file substituting the tedious screen inputting mode.

The new version of code allows instructions to be written in the input file saving so the time for learning them from the Code Manual. Comment and blank lines inserting is also allowed in the input file. Graphics services and automatic selection of represented data from the output file of EXTERMINATOR-2 are now available with the code. Other programming modifications were also necessary to run the code on our PCs.

### Key Words

code, modification, subroutine, instructions

---

\* A short report on a computer scientific study achieved in the Department of Physics, Atomic Energy Commission of Syria.

---

## SETTING UP OF CLIMATE QUERY AND REPORTING SYSTEM (CQRS)\*

**I. KHUDEIR, M. NASSRI**

*Department of Physics, Atomic Energy Commission of Syria, P. O. Box 6091, Damascus, Syria*

### ABSTARCT

An automated Weather Station (AWS) was installed at the AECS center-2 at the end of year 2000. Six climatic and agricultural sensors were fitted that measure air temperature, relative humidity, precipitation, net radiation, and wind speed/ direction. The data logger was programmed to collect hourly readings and perform daily, weekly, and monthly calculations of averages, means, extreme values etc. The control and final storage PC was connected on-line to the data logger via a 300 m UTP cable and a couple of short haul modems operating at 9600 bps.

A Climate Query and Reporting System (CQRS) consisting of static and dynamic climate tables and charts in a time frame as specified by the user was developed, using Delphi visual programming tools, and is briefly explained. CQRS is accessible through the weather home page of the "Information Service" on the intra-net web site of the center-2.

### Key Words

meteorological tower, sensors, CR10X, real time, intranet, query system, net radiation, climate, weather.

---

\* A short report on a technical work achieved in the Department of Physics, Atomic Energy Commission of Syria.

---

---

**REPORTS**


---

**EFFECT OF DIFFERENT SALINE WATER LEVELS ON GROWTH, NODULATION, AND N<sub>2</sub>-FIXATION BY SESBANIA ACULEATA PERS, AND ON GROWTH OF HELIANTHUS ANNUUS L. USING <sup>15</sup>N TRACER TECHNIQUE\***

**F. KURDALI, F. ALAIN**

*Department of Agriculture, Atomic Energy Commission, Damascus, Syria, P. O. Box 6091.*

**ABSTRACT**

Effect of different levels of salinity of the irrigation water having electrical conductivities (EC<sub>w</sub>) in a range 1.1 to 33 dS/m on nodulation dry matter production and N<sub>2</sub> fixation by dhaincha (*Sesbania aculeata* Pers) was evaluated in a pot experiment. Such an effect was also studied on sunflower (*Helianthus annuus* L) as a reference crop for measuring N<sub>2</sub>-fixation by the legume crop using a <sup>15</sup>N isotope dilution method. Irrigation with water having EC<sub>w</sub> of more than 4.03 dS/m reduced plant growth and the reduction was more pronounced in *S. Aculeata* than in *H. Annuus*. %N<sub>2</sub> fixation was significantly enhanced under a moderate salinity level in irrigated water (EC<sub>w</sub> of 4.3 dS/m), whereas, small effects were obtained at higher saline water levels (up to 12.3 dS/m). The results indicated that *Sesbania aculeata* and *Helianthus annuus* grown in saline soils can be irrigated either with water having up to 8.03 dS/m for the former and 12.3 dS/m for the latter species, or with gradually increased levels of salinity for both of them.

**Key Words**

*Sesbania aculeata, Helianthus annuus, salinity, N<sub>2</sub>-fixation.*

---

\* A short report on a field exploratory experiment achieved in the Department of Agriculture, Atomic Energy Commission of Syria.

---

**INITIAL DISTRIBUTION OF <sup>137</sup>Cs IN CEMENT SPECIMENS AND THE EFFECT OF LEACHING\***

**S. TAKRITI, A. F. ALI**

*Departments of Radiation Technology and Radiation Protection, Atomic Energy Commission P.O. Box 6091, Damascus, Syria*

**ABSTRACT**

The distribution of <sup>137</sup>Cs in cylindrical and cubic cement specimens was investigated before and after leaching at room temperature. The results showed that the initial distribution is inhomogeneous at the edges and has the same homogeneity at the center of the samples before and after leaching. Theoretical analysis was performed to describe these observations.

**Key Words**

environment, radioactive waste, distribution of <sup>137</sup>Cs, leaching.

---

\* A short report on a scientific research achieved in the Department of Radiation Technology and Radiation Protection, Atomic Energy Commission of Syria.

---



## GAMMA-RADIATION-INDUCED WOOD-PLASTIC COMPOSITES FROM SYRIAN TREE SPECIES<sup>★</sup>

E. H. BAKRAJI, N. SALMAN

*Department of Chemistry, Atomic Energy Commission, P.O.Box 6091, Damascus, Syria.*

H. AL-KASSIRI

*Department of Radiation Technology, Atomic Energy Commission, P.O.Box 6091, Damascus, Syria.*

### ABSTRACT

Wood-plastic composites (WPC) have been prepared with five low-grade woods, native to Syria, using three monomer systems; acrylamide, butylmethacrylate, and styrene, with methanol as the swelling solvent. Polymerization was induced at various radiation doses (10, 20, and 30 kGy) at a dose rate of 3.5 kGy/h using a <sup>60</sup>Co gamma radiation source. Some physical properties of WPC, namely polymer loading and compression strength have been measured. The polymer loading decreases approximately with increasing density of the wood species used.

### Key Words

monomer, composites, irradiation, polymer, wood.

★ This paper appeared in *Radiation Physics and Chemistry*, 2000.

## DEVELOPMENT OF TESTICULAR DIMENSIONS AND SIZE, AND THEIR RELATIONSHIP TO AGE, BODY WEIGHT AND PARENTAL SIZE IN GROWING AWASSI RAM LAMBS<sup>★</sup>

S. SALHAB

*Department of Animal Production, Faculty of Agriculture, University of Damascus.*

M. ZARKAWI, M. R. AL-MASRI

*Division of Animal Production, Department of Agriculture, Atomic Energy Commission.*

M. F. WARDEH

*Department of Studies of Animal Wealth, The Arab Center for the Studies of Arid Zones and Dry Lands.*

R. KASSEM

*Al-Kraime Center for Sheep Breeding and Range Improvement, Salameih, Hama.*

### ABSTRACT

Ninety-six Awassi ram lambs, aged 2-3 months, raised and managed under a semi intensive system were used to measure development of testicular length, width, circumference and volume, and their association with development of body growth. The effects of parental size, age and body weight of lambs, production line (dairy or meat), type of birth and weight at birth and weaning on development of the four testicular parameters from weaning at 2-17 months of age were investigated. No significant differences were observed between measurements of the left and right testis. The highest increase in testicular parameters occurred between 7 and 10 months of age at 34.6 kg live body weight. Only parental size, age and body weight affected testicular growth ( $P < 0.05$ ). Measurements of testes were correlated ( $P < 0.01$ ) with each other ( $r = 0.68-0.97$ ). They increased progressively and were correlated with body weight more than with age.

### Key Words

testicular measurements, body weight, Awassi sheep.

★ This paper appeared in *Small Ruminant Research*, 40, 2001.

**Key Words**

meteorological station, radiation monitoring system, micro controller, atmospheric parameters.

★ This paper appeared in *Meteorological Applications*, 2001.

## MATHEMATICAL MODELING OF HYBRID CO<sub>2</sub> LASER★

B. ABDUL GHANI, M. HAMMADI

*Department of Scientific Services, Atomic Energy Commission, P.O. Box 6091, Damascus, Syria*

**ABSTRACT**

A Teller-Landau six-temperature model describing the dynamic emission of single mode TEA CO<sub>2</sub> laser has been adapted. This model has been also used to describe the mechanism of obtaining relatively high-power output pulses from hybrid TE-TEA or CW-TEA CO<sub>2</sub> laser consisting of high and low-pressure sections. The suggested mathematical model allows to investigate the mechanism which limits the TEA oscillation to single longitudinal mode (SLM) due to the narrow gain bandwidth of low-pressure section, and also to study the effect of the laser input parameters on the smooth output laser pulse parameters. In addition, numerical solutions, of non-linear rate equation system of suggested model are quantitatively discussed. The solutions describe the radiation field intensity, the population inversion, and the energy transfer processes. The calculated values of maximum peak power, total energy in pulse, pulse width, etc. are in a very good agreement with the observed experimental values.

**Key Words**

modeling, hybrid, CO<sub>2</sub> laser.

★ This paper appeared in *Optics & Laser Technology*, 2001.

## PROVENANCE STUDIES OF ARCHAEOLOGICAL CERAMICS FROM MAR-TAKLA (AIN-MININ, SYRIA) USING RADIO-ISOTOPE X-RAY FLUORESCENCE METHOD★

E. H. BAKRAJI, J. KARAJOU

*Department of Physics, Atomic Energy Commission, P. O. Box 6091, Damascus, Syria*

I. OTHMAN

*Department of Radiation Technology, Atomic Energy Commission, P. O. Box 6091, Damascus, Syria*

**ABSTRACT**

The radioisotope X-ray fluorescence method was applied to studies of the provenance of the ceramics fragments originated from the Mar-Takla site in Syria. The samples were irradiated 1000s by a <sup>109</sup>Cd radioisotope source and 13 elements (Ca, Ti, Mn, Fe, Zn, Ga, As, Rb, Sr, Y, Zr, Nb, and Pb) were determined in 35 samples. The data were subjected to two multivariate statistical methods, cluster and principal components analysis (PCA). It was shown from the combination of the statistical techniques and the determination of elemental composition of the samples that 94% of the analyzed ceramic samples can be considered to be manufactured using two sources of raw materials.

**Key Words**

X-ray fluorescence, ceramics fragment, provenance, multivariate analysis

★ This paper appeared in *Nuclear Science and Techniques*, May 2001.

## NUCLEAR DATA RELEVANT TO THE PRODUCTION AND APPLICATION OF DIAGNOSTIC RADIONUCLIDES\*

S. M. QAIM

*Institut für Nuklearchemie, Forschungszentrum Jülich, Germany*

### ABSTRACT

The types of nuclear data and their quality required in the production and application of diagnostic radionuclides are outlined. The radioactive decay data determine the suitability of a radioisotope for in vivo tracer studies, both from the imaging and internal radiation dose considerations. The nuclear reaction cross section data allow optimisation of production routes. Both reactors and cyclotrons are used for production purposes. The nuclear data needed in the two cases and their present status are discussed. Special attention is paid to radionuclides suitable for emission tomography (PET and SPECT). The controversy about reactor vs cyclotron production of the widely used  $^{99}\text{Mo} / ^{99\text{m}}\text{Tc}$  generator system is discussed. Some special considerations in cyclotron production of radionuclides are outlined. The need of accurate data near reaction thresholds, the constraint of available particles and their energies at a small cyclotron, the influence of increasing incident particle energy, and the formation of isomeric impurities are discussed in detail. The role of nuclear model calculations in predicting unknown data is considered.

### Key Words

diagnostic radionuclides, decay data, Internal radiation dose, nuclear reaction cross section, production yield, radionuclidic purity, isomer ratio, nuclear model calculations, emission tomography, single photon emission computed tomography (SPECT), positron emission tomography (PET).

---

\* This article appeared in *Radiochimica Acta*, Vol 89, 2001. It has been translated into Arabic by Translation, Composition & Publication Office, Atomic Energy Commission of Syria.

---

### PAPERS

---

## A PORTABLE METEOROLOGICAL STATION PLUS NUCLEAR RADIATION MONITORING SYSTEM USING A BASIC-8052 MICRO-CONTROLLER\*

A. AL- MOHAMAD, S. AGHABI, C. WEISS

*Department of Scientific Services, Atomic Energy Commission, P. O. Box 6091, Damascus, Syria*

### ABSTRACT

A portable meteorology station capable of measuring various atmospheric parameters (mainly ambient temperature, relative humidity, atmospheric pressure, wind speed and direction) was designed and built. The physical quantities were converted to electrical signals using suitable sensors. These signals were then processed and transferred to digital values to be stored in suitable memories. A nuclear radiation alarm system was also built, on the main board, to monitor the nuclear radiation releases levels. The system consists of three main parts: control board, data acquisition board and signals conditioning board. The overall system is controlled by a BASIC-8052 micro-controller.

---

**ABSTRACTS OF THE SUBJECTS PUBLISHED IN THIS ISSUE**


---

**ARTICLES**


---

**NUCLEAR DATA FOR MEDICAL APPLICATIONS:  
AN OVERVIEW\***
**S. M. QAIM**
*Institut für Nuklearchemie, Forschungszentrum Jülich, Germany*
**ABSTRACT**

A brief introduction to nuclear data in medicine is given. The choice of a radioisotope for medical application demands an accurate knowledge of radioactive decay data. Short-lived single photon and  $\beta^+$ -emitters are preferred for diagnostic investigations, and longer-lived corpuscular radiation emitting radioisotopes for endoradiotherapy. The nuclear reaction cross section data, on the other hand, are needed for optimising the production routes. Besides radioactive isotopes, the use of ionising radiation in therapy is discussed. External radiation therapy has achieved an important place in medicine. The role of nuclear data is briefly discussed; they are needed for radiation dose calculations. The hitherto rather neglected activation products in proton therapy are considered. The methodology of development of a nuclear data file for medical applications is outlined.

**Key Words**

nuclear reaction, cross section, decay data, diagnosis, therapy, data file.

---

\*This article appeared in *Radiochimica Acta*, Vol 89, 2001. It has been translated into Arabic by Translation, Composition & Publication Office, Atomic Energy Commission of Syria

---

**IN VIVO FUNCTIONAL IMAGING WITH SPECT AND PET\***
**H. HERZOG**
*Institute of Medicine, Forschungszentrum Jülich GmbH, D-52425 Jülich, Germany*
**ABSTRACT**

Nuclear medicine methods permit the visualisation of a variety of metabolic and physiological processes all over the body. Although planar scintigraphy has been found useful for many questions, detailed spatial information about the diseased organ can only be obtained with tomographic methods. Dependent on the radionuclide involved, two different tomographic procedures are available: single photon emission computed tomography (SPECT) and positron emission tomography (PET). The first part of this paper describes shortly the historical development of these methods as well as their technical and methodological basics. To elucidate the large variety of possible applications, an overview of SPECT and PET procedures utilised in research as well as in clinical practice are presented. Furthermore, both methods are compared and their individual advantages are pointed out.

**Key Words**

attenuation, label, malignant, perfusion, radionuclide, system, tomography, tracer.

---

\*This article appeared in *Radiochimica Acta*, Vol 89, 2001. It has been translated into Arabic by Translation, Composition & Publication Office, Atomic Energy Commission of Syria.

---

---

**REPORTS**

(Unpublished works of the Syrian A. E. C. Staff)

---

- EFFECT OF DIFFERENT SALINE WATER LEVELS ON . . . . . F. KURDALI, F. ALAIN . . . . . 86  
GROWTH, NODULATION, AND N<sub>2</sub>-FIXATION BY SESBANIA ACULEATA PERS,  
AND ON GROWTH OF HELIANTHUS ANNUUS L. USING <sup>15</sup>N TRACER TECHNIQUE
- INITIAL DISTRIBUTION OF <sup>137</sup>Cs IN CEMENT SPECIMENS . . . . . S. TAKRITI, A. F. ALI . . . . . 88  
AND THE EFFECT OF LEACHING
- MODIFICATION OF EXTERMINATOR-2 PC-VERSION . . . . . M. ALBARHOUM, . . . . . 90  
S. MOHAMAD, Y. KAMLEH
- SETTING UP OF CLIMATE QUERY AND REPORTING . . . . . I. KHUDEIR, . . . . . 93  
SYSTEM (CQRS) M. NASSRI
- REMOVAL OF CADMIUM FROM PHOSPHORIC ACID BY . . . . . S. KHORFAN . . . . . 97  
LIQUID-LIQUID EXTRACTION WITH TOPO IN KEROSENE
- DIGESTIBILITY AND ENERGETIC VALUE OF AGRICULTURAL . M. R. AL-MASRI . . . . . 99  
WASTES AS AFFECTED BY GAMMA IRRADIATION AND CHEMICAL TREATMENTS
- MEASUREMENT OF N<sub>2</sub> FIXATION IN SESBANIA ACULEATA . . . . F. KURDALI, . . . . . 101  
PERS. AND SORGHUM BICOLOR L. GROWN IN K. KHALIFA, M. JANAT  
INTERCROPPING SYSTEM USING <sup>15</sup>N TECHNIQUE  
I: FIELD EVALUATION UNDER NON-SALINE CONDITIONS
- STUDY OF AN ENGINEERED LITHOLOGICAL CELL TO . . . . . E. ALI-MOUSSA . . . . . 102  
ISOLATE THE OIL NORM BESIDE SYRIAN OIL FIELDS

---

**SELECTED NEW BOOKS**

(Review and analysis)

---

- THE PHYSICS OF PARTICLE DETECTORS . . . . . BY: D. GREEN . . . . . 106  
OVERVIEW & ANALYSIS: SHELDON L. STONE
- INTRODUCTION TO EXPERIMENTAL NONLINEAR . . . . . BY: LAWRENCE . . . . . 107  
DYNAMICS: A CASE STUDY IN MECHANICAL VIBRATION N. VIRGIN  
OVERVIEW & ANALYSIS: FRANCIS C. MOON

---

**ABSTRACTS OF THE SUBJECTS PUBLISHED IN THIS ISSUE IN ENGLISH.** . . . . . 116

---

# CONTENTS

---

## ARTICLES

---

- NUCLEAR DATA FOR MEDICAL APPLICATIONS: ..... S. M. QAIM ..... 7  
AN OVERVIEW
  - IN VIVO FUNCTIONAL IMAGING WITH ..... H. HERZOG. .... 16  
SPECT AND PET
  - NUCLEAR DATA RELEVANT TO THE PRODUCTION ..... S. M. QAIM ..... 31  
AND APPLICATION OF DIAGNOSTIC RADIONUCLIDES
- 

## NEWS

---

- ULTRAVIOLET NANOLASER ..... *PHYSICS WORLD* ..... 44
  - WHERE DID ALL THE ANTIMATTER GO ? ..... *PHYSICS WORLD* ..... 44
  - A MAGNET MADE FROM CARBON ..... *NATURE* ..... 46
  - SHOCK WAVE MAY HAVE KNOCKED ..... *SCIENCE* ..... 47  
OUT JAPANESE NEUTRINO DETECTOR
  - WHAT EVER HAPPENED TO B, C AND S ? ..... *PHYSICS WORLD* ..... 48
  - PARTICLES DRIVEN TO DIFFRACTION ..... *NATURE* ..... 50
  - EXPERIMENTAL ATTOPHYSICS COMES OF AGE ..... *PHYSICS WORLD* ..... 52
  - NEW VISION OF MAGNETIC TUNNELLING ..... *PHYSICS WORLD* ..... 53
  - CLASSICAL WIGNER CRYSTALS MOVE ON ..... *PHYSICS WORLD* ..... 55
  - SEMICONDUCTORS ARE COOL ..... *NATURE* ..... 57
- 

## PAPERS

(Published worldwide by the Syrian A. E. C. Staff)

---

- A PORTABLE METEOROLOGICAL STATION PLUS NUCLEAR ... A. AL- MOHAMAD et al ..... 60  
RADIATION MONITORING SYSTEM USING A BASIC-8052 MICRO-CONTROLLER
- MATHEMATICAL MODELING OF HYBRID CO<sub>2</sub> LASER ..... B. ABDUL GHANI et al ..... 68
- PROVENANCE STUDIES OF ARCHAEOLOGICAL CERAMICS ..... E. H. BAKRAJI et al ..... 74  
FROM MAR-TAKLA (AIN-MININ, SYRIA) USING RADIOISOTOPE  
X-RAY FLUORESCENCE METHOD
- GAMMA-RADIATION-INDUCED WOOD-PLASTIC ..... E. H. BAKRAJI et al ..... 77  
COMPOSITES FROM SYRIAN TREE SPECIES
- DEVELOPMENT OF TESTICULAR DIMENSIONS AND SIZE, ..... S. SALHAB et al ..... 81  
AND THEIR RELATIONSHIP TO AGE, BODY WEIGHT  
AND PARENTAL SIZE IN GROWING AWASSI RAM LAMBS

**Notice: Scientific matters and different inquiries; subscriptions, address changes, advertisements and single copy orders, should be addressed to the journal's address:**

**Damascus, P.O. Box 6091 Phone 6111926/7, Fax 6112289, Cable; TAKA.**

**Subscription rates, including first class postage charges:**

a) Individuals	\$ 30 for one year
b) Establishments	\$ 60 for one year
c) For one issue	\$ 6

**It is preferable to transfer the requested amount to:**

**The Commercial Bank of Syria N-13 P.O. Box 16005 Damascus-Syria account N-3012|2**

**Cheques may also be sent directly to the journal's address.**

**The views expressed in any signed article in this journal do not necessarily represent those of the AEC of Syria, and the commission accepts no responsibility for them.**



# AALAM AL-ZARRA

JOURNAL OF THE ATOMIC ENERGY COMMISSION OF SYRIA

*A journal published in Arabic six times a year, by the Atomic Energy Commission of Syria. It aims to disseminate knowledge of nuclear and atomic sciences and of the different applications of atomic energy.*

N<sup>o</sup> 79

17th Year

MAY/JUNE 2002

*Managing Editor*

***Dr. Ibrahim Othman***

*Director General of A. E. C. S.*

*Editorial Board*

***Dr. Tawfik Kassam*** (*Editor In-Chief*)

***Dr. Mohammed Ka'aka***      ***Dr. Fouad Al-Ijel***

***Dr. Ahmad Haj Said***      ***Dr. M. Fouad Al-Rabbat***